



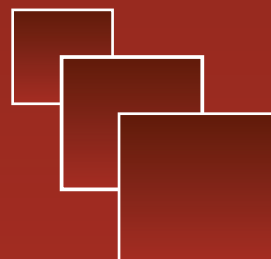
# Вестник

Уральского  
государственного  
университета  
путей сообщения

Научный журнал

**Herald**  
of the Ural State University  
of Railway Transport

Scientific journal



Научный журнал  
«Вестник Уральского государственного  
университета путей сообщения»  
**№ 3 (7), 2010 год**

**Главный редактор,  
научный редактор**  
Василий Михайлович Сай

**Литературный  
и выпускающий редактор**  
Людмила Станиславовна Барышникова

**Техническое редактирование  
и верстка**  
Андрей Викторович Трубин

**Дизайн обложки**  
Ольга Петровна Игнатьева

**Переводчики**  
Елена Владимировна Ершова  
Анна Викторовна Бочкарева

**Учредитель и издатель:**  
Уральский государственный  
университет путей сообщения  
(УрГУПС)

**Адрес для корреспонденции:**  
620034, Екатеринбург,  
ул. Колмогорова, 66, УрГУПС,  
редакция журнала  
«Вестник УрГУПС»

**Телефон редакции:** (342) 367-41-41.  
**Веб-сайт:** [www.vestnik.usurt.ru](http://www.vestnik.usurt.ru);  
**e-mail:** [vestnik@usurt.ru](mailto:vestnik@usurt.ru).

Журнал издается по решению  
ученого совета университета  
©УрГУПС

Свидетельство о регистрации  
средства массовой информации  
Роскомнадзор ПИ № ФС77-38188  
от 30 ноября 2009 г.

Отпечатано в издательстве  
Уральского государственного  
университета путей сообщения,  
620034, Екатеринбург,  
ул. Колмогорова, 66.

Подписано в печать 25.10.2010.

Тираж 300. 1-й з-д.: 1-100.  
Формат 70×100/16.  
Заказ № 769.

Scientific journal «Herald of the  
Ural State University of Railway Transport»  
**№ 3 (7), 2010**

**Editor-in-chief,  
Science editor**  
Vasily M. Say

**Script and copy editor**  
Lyudmila S. Baryshnikova

**Technical editing and make-up**  
Andrey V. Trubin

**Cover design**  
Olga P. Ignatjeva

**Translators:**  
Elena V. Ershova  
Anna V. Bochkareva

**Founder and publisher:**  
The Ural State University of  
Railway Transport (USURT)

**Correspondence address:**  
‘Herald of USURT’ editorial office  
The Ural State University of  
Railway Transport  
66 Kolmogorov Street,  
620034, Ekaterinburg,

**Telephone:** +7 (342) 367-41-41.  
**Web-site:** [www.vestnik.usurt.ru](http://www.vestnik.usurt.ru);  
**e-mail:** [vestnik@usurt.ru](mailto:vestnik@usurt.ru).

The journal is published by the decision of  
University Academic Board  
©USURT

Certificate of registration of mass media  
by the Federal Service for Supervision  
in the sphere of communications,  
information technology and mass communications  
(Roskomnadzor) PI № FS77-38188  
of November 30, 2009.

Printed in the Publishing house  
of the Ural State University of  
Railway Transport  
66 Kolmogorov Street,  
620034, Ekaterinburg.

Passed for printing 25.10.2010.

Circulation 300. 1-й з-д.: 1-100.  
Format 70×100/16.  
Order № 769.

## **Международный редакционный совет**

**Кейт Бурнхам**, профессор, Университет г. Ковентри, факультет машиностроения и вычислительной техники, Великобритания

**Владимир Анциферов**, д-р техн. наук, профессор академик РАН, Пермь, Россия

**Петер Копачек**, профессор, Венский технологический университет, Венский институт транспорта и робототехники, интеллектуальный транспорт и робототехника, Вена, Австрия

**Владимир Цыганов**, д-р техн. наук, профессор, Институт проблем управления Российской академии наук, Москва, Россия

**Марек Ситаж**, профессор, Силезийский технический университет, транспортный факультет, кафедра «Железнодорожный транспорт», Польша

**Клаус Беккер**, профессор, Университет прикладных наук г. Кельна, Институт автомобильной техники, лаборатория NVH, Германия

**Василий Сай**, д-р техн. наук, профессор, Уральский государственный университет путей сообщения, Екатеринбург, Россия

## **Редколлегия**

**Вовк Алексей Александрович**, д-р эконом. наук, профессор, МГУПС, Москва

**Воскресенская Тамара Петровна**, д-р тех. наук, профессор, СибГИУ, Новокузнецк

**Воробьев Александр Алексеевич**, д-р техн. наук, профессор, МГУПС, Москва

**Ефимов Александр Васильевич**, канд. техн. наук, профессор, УрГУПС, Екатеринбург

**Корнилов Сергей Николаевич**, д-р тех. наук, профессор, МГТУ, Магнитогорск

**Нестеров Валерий Леонидович**, д-р тех. наук, профессор, УрГУПС, Екатеринбург

**Сапожников Валерий Владимирович**, д-р техн. наук, профессор, С.-ПГУПС, Санкт-Петербург

**Черемисин Василий Титович**, д-р техн. наук, профессор, ОмГУПС, Омск

**Щурин Константин Владимирович**, д-р техн. наук, профессор, ОГУ, Оренбург

**Тимофеева Галина Адольфовна**, д-р ф.-м. наук, профессор, УрГУПС, Екатеринбург

## **International editorial board**

**Keith Burnham**, professor, Coventry University, Faculty of Engineering and Computing, Great Britain

**Vladimir Antsiferov**, DSc, professor, academician of Russian Academy of Sciences, Perm, Russia

**Peter Kopachek**, professor, Vienna University of Technology, Vienna institute of transportation and robotics, intelligent transportation and robotics, Vienna, Austria

**Vladimir Tsyganov**, DSc, professor, Russian Academy of Sciences, Institute of Control Sciences, Moscow, Russia

**Marek Sitarz**, professor, Silesian University of Technology, Faculty of Transport Railway Engineering Department, Poland

**Klaus Becker**, professor, Cologne University of Applied Science, Institute of Automotive Engineering, NVH Laboratory, Germany

**Vasily Say**, DSc, professor, The Ural State University of Railway Transport, Ekaterinburg, Russia

## **Editorial board**

**Efimov Alexander Vasilievich**, DSc, professor, The Ural State University of Railway Transport, Ekaterinburg

**Timofeeva Galina Adolfovna**, DSc, professor, The Ural State University of Railway Transport, Ekaterinburg

**Nesterov Valery Leonidovich**, DSc, professor, The Ural State University of Railway Transport, Ekaterinburg

**Vovk Alexei Aleksandrovich**, DSc, professor, Moscow State University of Railway Transport, Moscow

**Vorobiev Alexander Alexeevich**, DSc, professor, Moscow State University of Railway Transport, Moscow

**Sapozhnikov Valery Vladimirovich**, DSc, professor, Saint-Petersburg State University of Railway Transport, Saint-Petersburg

**Cheremisin Vasily Titovich**, DSc, professor, Omsk State University of Railway Transport, Omsk

**Voskresenskaya Tamara Petrovna**, DSc, professor, Siberian State Industrial University, Novokuznetsk

**Kornilov Sergey Nikolaevich**, DSc, professor, Magnitogorsk State Technical University, Magnitogorsk

**Shchurin Konstantin Vladimirovich**, DSc, professor, Orenburg State University, Orenburg

# Содержание

## ФИЗИКА СЛОЖНЫХ СИСТЕМ

- 4 **В. К. Першин, Вл. К. Першин.** Феноменологическое моделирование фазовых превращений в смектических жидких кристаллах
- 29 **Н. В. Буланов, Б. М. Гасанов.** Интенсификация теплообмена и цепная активация центров кипения при использовании эмульсий с низкокипящей дисперсной фазой

## ЭКОНОМИЧЕСКАЯ ТЕОРИЯ

- 38 **Т. В. Кошкарова.** Инновационное развитие транспортного комплекса

## МАТЕМАТИЧЕСКИЕ МОДЕЛИ ТЕХНОЛОГИЧЕСКИХ ПРОЦЕССОВ

- 46 **А. Л. Казаков, А. В. Дронова.** Применение обобщенного метода характеристических рядов для построения кусочно-аналитических решений уравнений с частными производными
- 56 **С. В. Сизый.** Об определяемости градуированных сетей

## МЕХАНИКА МАШИН И РОБОТОВ

- 64 **А. П. Буйносов.** Влияние разности диаметров бандажей на износ колесных пар тягового подвижного состава

## ОРГАНИЗАЦИЯ И ЛОГИСТИКА

- 74 **Т. П. Воскресенская, О. Д. Покровская.** Методика и алгоритмизация принятия решений по формированию терминальной сети в регионе
- 85 **В. В. Литовский.** Пространственный анализ развития инфраструктуры северных территорий Урала, Приуралья и территорий Западной Сибири

## ОРГАНИЗАЦИЯ ОБРАЗОВАТЕЛЬНОГО ПРОЦЕССА

- 95 **В. А. Антропов, Е. Н. Морозова.** Кадровая политика саморазвития предприятий
- 105 **О. В. Куликова, А. А. Конов.** Диагностика сформированности общекультурных компетенций в процессе выполнения системы контрольно-обучающих мероприятий

## ИНТЕЛЛЕКТУАЛЬНАЯ СОБСТВЕННОСТЬ

- 116 Способ повышения психофизиологической устойчивости работающих к стрессогенным факторам производственной среды

## В ДИССЕРТАЦИОННЫХ СОВЕТАХ

- 118 Отзыв А. В. Дмитренко на диссертацию «Развитие методов этапного овладения перевозками на двухпутных линиях при обращении длиннооставных поездов»
- 121 Отзыв О. Н. Ларина на диссертацию «Обоснование параметров маршрутной сети городского наземного пассажирского транспорта»

# Contents

## PHYSICS OF COMPLEX SYSTEMS

- 4 **V. K. Pershin, Vl. K. Pershin.** Phenomenological Modeling of Phase Transition in Smectic Liquid Crystals
- 29 **N. V. Bulanov, B. M. Gasanov.** Heat Transfer Enhancement and Boiling Centers Chain Activation Using the Emulsions with Low-boiling Internal Phase

## ECONOMICS

- 38 **T. V. Koshkarova.** Innovative Development of Transportation Industry

## MATHEMATIC MODELS OF TECHNOLOGICAL PROCESSES

- 46 **A. L. Kazakov, A. V. Dronova.** Application of Characteristics Series Generalized Method for Sectionally Analytical Equations' Solutions Construction with Partial Derivatives
- 56 **S. V. Sizy.** About Graded Network Detection

## MECHANICS OF MACHINES AND ROBOTS

- 64 **A. P. Buiunsov.** Influence of Tires' Diameters Difference on Wear of Motive Power Wheel Pairs

## ORGANIZATION AND LOGISTICS

- 74 **T. P. Voskresenskaya, O. D. Pokrovskaya.** Decision-making Method and Algorithmization of Terminal Network Formation in the Region
- 85 **V. V. Litovskiy.** Analysis of Infrastructure Development of Northern Territories of the Urals, Transurals and Territories of Western Siberia

## STUDY PROCESS ORGANIZATION

- 95 **V. A. Antropov, E. N. Morozova.** Personnel Policy of Enterprises' Self-development
- 105 **O. V. Kulikova, A. A. Konov.** Diagnosis of Students' Cultural Competences in the Process of Control Educating Events Accomplishment

## INTELLECTUAL PROPERTY

- 116 Method of increasing employees' psycho-physiological stability to stressors of industrial environment

## IN DISSERTATION COUNCILS

- 118 A. V. Dmitrenko's review on thesis 'Development of methods of step-wise mastering of transportation on two-track lines by long trains operation'
- 121 O. N. Larin's review on thesis 'Explanation of route network parameters of urban land public transport'

# ФИЗИКА СЛОЖНЫХ СИСТЕМ

УДК 532.783

*В. К. Першин, Вл. К. Першин*

## Феноменологическое моделирование фазовых превращений в смектических жидких кристаллах

UDC 532.783

*V. K. Pershin, Vl. K. Pershin*

## Phenomenological modeling of phase transition in smectic liquid crystals

### Аннотация

Дано полное решение базовой феноменологической модели возвратного мезоморфизма — модели Ваза–Доана. Проведена классификация возможных топологических типов диаграмм смектических жидких кристаллов в случаях сильной, скомпенсированной и слабой трансляционно-ориентационной связи при различных знаках параметра этой связи. Выяснено, что механизмом осуществления возвратных превращений в моделях, подобных модели Ваза–Доана, является специфическое искривление границ сосуществования различных фаз в пространстве управляющих параметров относительно прямолинейных путей термодинамической эволюции мезоморфных систем. В рамках метода сечений бифуркационного множества выполнена проверка термодинамической стабильности различных фазовых состояний, описываемых моделью Ваза–Доана. Показано, что термодинамически устойчивая смена реэнтрантных фаз, реализуемая в модели Ваза–Доана при повышении температуры, включает возвратное смектическое состояние, а анонсированная в оригинальной теории последовательность переходов «нематик — смектик — нематик» осуществляется в области метастабильности.

### Ключевые слова:

смектические жидкие кристаллы; фазовые превращения; возвратный мезоморфизм; теория Ландау–де Жена; модель Ваза–Доана.

### Abstract

The authors give a full solution of the basic phenomenological model of reentrant mesomorphism of Vaz and Doane's model. The classification of possible topological diagram types of smectic liquid crystals in case of strong compensated and weak broadcast and orientation interconnection by different parameter signs of this interconnection was developed. It was found out that the mechanism of implementing phase transitions in the models similar to Vaz and Doane's model is the specific bending of coexistence borders of different phases in the control parameters environment relative to rectilinear ways of mesomorphic systems' thermodynamic evolution. Within the frameworks of the cutset method of bifurcation set the check of thermodynamic stability of various phase states, described by Vaz and Doane's model, has been implemented. It is shown that thermodynamic stable change of reentrant phases, realized in Vaz and Doane's model by temperature increase, includes the reentrant smectic state and the declared in the original theory consistency of transitions 'nematic — smectic — nematic' is fulfilled in the sphere of metastability.

### Key words:

smectic liquid crystals; phase transitions; reentrant mesomorphism; Landau–de Gen theory; Vaz and Doane's model.

Сведения об авторах: **Виталий Константинович Першин**, д-р физ.-мат. наук, профессор, зав. кафедрой «Физика» Уральского государственного университета путей сообщения; Екатеринбург, Россия. Тел.: (343) 245–31–22. E-mail: VPershin@physics.usurt.ru

**Владимир Константинович Першин**, д-р физ.-мат. наук, профессор (Уральский государственный экономический университет).

About the author: **Vitaliy K. Pershin**, DSc, Professor, Head of 'Physics' department of the Ural State University of Railway Transport; Ekaterinburg, Russia. Tel.: +7 (343) 245–31–22.

**Vladimir K. Pershin**, DSc, Professor, the Ural State University of Economics, Ekaterinburg, Russia.

Известное эмпирическое положение о том, что между макроскопической симметрией и энтропией системы нет вполне определенной взаимосвязи, в физике жидких кристаллов (ЖК) стало непреложным фактом после того, как Клэдис сообщила о существовании в растворе цианобифенилов нематической мезофазы (НЖК), возникающей при более низких температурах, чем смектическая (СЖК) [1, 2]. Это явление, получившее название возвратного (или реэнтрантного) мезоморфизма, в дальнейшем широко изучалось, и было обнаружено при действии высокого давления, в обычных условиях, в гомогенных веществах и разнообразных смесях [1–4]. Несколько позднее были найдены многократно возникающие фазы, включающие ЖК [5] и изотропно-жидкое [6, 7] состояния.

При решении проблем возвратного мезоморфизма основными считаются модели Клэдис [1] и Ваза–Доана [8], которые описываются соответственно термодинамическими потенциалами

$$G^{\text{Cladis}} = \frac{y_1 Q^2}{2} + \frac{\gamma Q^4}{4} + \frac{y_2 S^2}{2} + \frac{bS^4}{4} + \frac{\eta Q^2 S^2}{2}, \quad (1)$$

$$G^{\text{Vaz-Doane}} = G^{\text{Cladis}} - \frac{\beta Q^3}{3}, \quad (2)$$

где параметры  $\gamma, b, \beta, \eta$  — материальные константы,  $Q, S$  — параметры ориентационного и трансляционного порядка соответственно,  $y_1$  и  $y_2$  — функции термодинамических переменных. Ниже в потенциалах (1), (2), в духе теории Ландау–де Жена [9], полагается, что параметры  $\gamma, b, \beta$  являются положительными величинами, параметр  $\eta$  может быть величиной произвольного знака, а функции

$y_1$  и  $y_2$  линейно зависят только от температуры. Пути термодинамической эволюции конкретных мезогенов в координатах  $(y_2, y_1)$  являются прямые линии, направленные из третьего квадранта декартовой системы координат  $(y_2, y_1)$  в ее первый квадрант. При этом прочие термодинамические параметры считаются хотя и произвольными, но фиксированными.

Важность моделей Клэдис и Ваза–Доана обусловлена тем обстоятельством, что разработанный в них математический формализм лежит в основе двух различных направлений в физике возвратного мезоморфизма. В рамках феноменологического подхода первое направление основано на введении априорных зависимостей материальных констант от температуры и/или от других термодинамических величин, а в микроскопических теориях — на введении аналогичных зависимостей в гамильтонианы. В частности, введение особой зависимости параметра  $\eta$  биквадратичной трансляционно-ориентационной связи от температуры в термодинамический потенциал (1) позволило Клэдис [1] описать термотропные возвратные фазовые переходы в последовательности НЖК — СЖК — НЖК — ИЖ, наблюдаемой в эксперименте.

В работе [10] модель Клэдис проанализирована более тщательно, чем это сделано в первоисточнике. В результате, удалось дать ответ на вопрос о возможности описания иных экспериментально наблюдаемых фазовых переходов в ЖК и, в частности, определить условия реализации возвратных превращений в последовательности СЖК — НЖК — СЖК — НЖК — ИЖ.

Широко цитируемая работа Ваза–Доана [8] является первым теоретическим исследованием, в котором представлена возможность описания

возвратных состояний в схеме НЖК — СЖК — НЖК без введения априорных зависимостей управляющих параметров от термодинамических переменных, — и это, безусловно, шаг вперед по сравнению с классом моделей типа модели Кэдис. В настоящее время известно относительно малое число работ этого направления [11–16], и поэтому особенно актуальным является полное понимание структуры базовой модели Ваза–Доана. Модель Ваза–Доана, на первый взгляд, дает как качественное (рис. 1, а), так и количественное (рис. 1, б) объяснение экспериментальных данных. Однако в оригинальной теории [8] эта модель изучалась без проверки условий термодинамической устойчивости

возвратных состояний. Эти условия последовательно рассмотрены в настоящей работе на основе специально разработанного для этой цели метода сечений бифуркационного множества (см. также [15]). Это, в частности, позволило определить различные топологические типы фазовых диаграмм ЖК в модели Ваза–Доана и выяснить необходимые и достаточные условия реализации возвратных превращений в ней. В результате, впервые корректно показано, что модель Ваза–Доана действительно описывает возвратные превращения, но не в последовательности НЖК — СЖК — НЖК, как было анонсировано в работе [8], а в иной: СЖК — НЖК — СЖК.

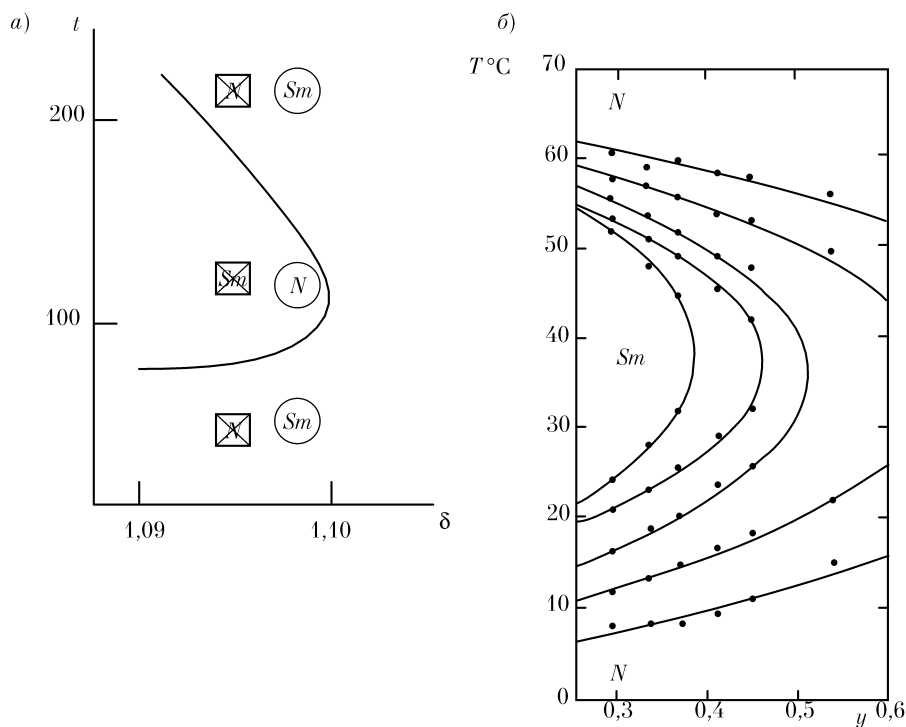


Рис. 1. Фазовая диаграмма с возвратными фазовыми переходами в теории Ваза–Доана а — зависимость температуры  $t = T_{NA} - T_{NA}^*$  от параметра  $\delta$  в модели Ваза–Доана пропорционального относительной концентрации одного из компонентов в смеси мезогенных соединений. В квадратах помечены фазовые состояния, предсказанные в модели Ваза–Доана, в кружках — в настоящей работе; б — графики зависимости температуры возвратных превращений в теории (сплошные линии) и в эксперименте (точки) от относительной концентрации  $y$  мезогенных соединений (в эксперименте — цианосоединений 60 СВ в 80 СВ)

### Условия устойчивости фазовых состояний

Условия стационарности потенциала (2) позволяет записать уравнения состояния физической системы в виде

$$\begin{cases} y_1 Q - \beta Q^2 + \gamma Q^3 + \eta Q S^2 = 0, & (3) \\ y_2 S + b S^3 + \eta Q^2 S = 0, & (4) \end{cases}$$

допускающем четыре типа решений: изотропно-жидкое ( $IL$ )

$$Q = S = 0, \quad (5)$$

пластическое ( $Pl$ )

$$Q = 0, y_2 + b S^2 = 0, \quad (6)$$

нематическое ( $N$ )

$$S = 0, y_1 - \beta Q + \gamma Q^2 = 0, \quad (7)$$

смектическое ( $Sm$ )

$$\begin{cases} y_1 - \beta Q + \gamma Q^2 + \eta S^2 = 0 \\ y_2 + b S^2 + \eta Q^2 = 0. \end{cases} \quad (8)$$

Исходя из (2)–(4) найдем матрицу устойчивости физической системы:

$$\text{Hes} = \begin{bmatrix} y_1 - 2\beta Q + 3\gamma Q^2 + \eta S^2 & 2\eta QS \\ 2\eta QS & y_2 + 3b S^3 + \eta Q^2 \end{bmatrix}, \quad (9)$$

которая на решениях (5)–(8) принимает, соответственно, формы:

$$\text{Hes}(IL) = \begin{bmatrix} y_1 & 0 \\ 0 & y_2 \end{bmatrix}, \quad (10)$$

$$\text{Hes}(Pl) = \begin{bmatrix} y_1 - \frac{\eta y_2}{b} & 0 \\ 0 & -2y_2 \end{bmatrix}, \quad (11)$$

$$\text{Hes}(N) = \begin{bmatrix} -2y_1 + \beta Q & 0 \\ 0 & y_2 - \left(\frac{\eta}{\gamma}\right)y_1 + \frac{\beta\eta Q}{\gamma} \end{bmatrix}, \quad (12)$$

$$\text{Hes}(Sm) = \begin{bmatrix} -\beta Q + 2\gamma Q^2 & 2\eta QS \\ 2\eta QS & 2b S^2 \end{bmatrix}. \quad (13)$$

Гессиан матрицы (9)  $IL$ -,  $Pl$ -,  $N$ -,  $Sm$ -фаз можно, согласно (5)–(8), (10)–(13), представить следующим образом:

$$\text{Hes} \Big|_{IL} = y_1 y_2, \quad (14)$$

$$\text{Hes} \Big|_{Pl} = -2y_2 \left( y_1 - \frac{\eta y_2}{b} \right), \quad (15)$$

$$\begin{aligned} \text{Hes} \Big|_N &= (-2y_1 + \beta Q) \times \\ &\times \left( y_2 - \frac{\eta y_1}{\gamma} + \frac{\beta\eta Q}{\gamma} \right), \end{aligned} \quad (16)$$

$$\text{Hes} \Big|_{Sm} = 2QS^2(-b\beta + 2Q(b\gamma - \eta^2)). \quad (17)$$

Из формул (1), (2), (10), (11), (14), (15) следует, что сепаратрисы и области устойчивости  $IL$ - и  $Pl$ -состояний в модели Ваза–Доана оказываются такими же, как и в модели Кэ́лэдис [1].

Сепаратриса  $N$ -фазы, согласно (7), (12), состоит из двух прямых

$$y_1 = 0, y_1 = \frac{\beta^2}{4\gamma} \quad (18)$$

и параболы, которая параметрически (с параметром  $Q$ ) задается следующим образом:

$$\begin{cases} y_1 = \beta Q - \gamma Q^2 \\ y_2 = -\eta Q^2 \end{cases}. \quad (19)$$

Прямая  $y_1 = \beta^2/(4\gamma)$  в (18) является одной из границ устойчивости  $N$ -фазы, поскольку на ней происходит вырождение корней уравнения (7):

$$Q^+ = \frac{1}{2\gamma}(\beta + \sqrt{\beta^2 - 4\gamma y_1}), \quad (20)$$

$$Q^- = \frac{1}{2\gamma}(\beta - \sqrt{\beta^2 - 4\gamma y_1}), \quad (21)$$

которые при  $y_1 > \beta^2/(4\gamma)$  становятся комплексно сопряженными.

Из (17) видно, что при  $b\gamma - \eta^2 \leq 0$  гессиан  $\text{Hes}|_{Sm} \leq 0$  и, следовательно,  $Sm$ -фаза при этом условии является неустойчивой. При  $b\gamma - \eta^2 > 0$  бифуркационное множество  $Sm$ -фазы включает в себя как подмножество сепаратрисы  $IL$ -,  $Pl$ - и  $N$ -состояний (когда уравнения (8) переходят, соответственно, в (5), (6) и (7)) и, кроме того, добавляется еще одна сепаратриса  $Sm$ -фазы, уравнение которой

$$y_1 = \left(\frac{\eta}{b}\right)y_2 + \frac{b\beta^2}{4(b\gamma - \eta^2)} \quad (22)$$

является следствием равенств (8) и  $Q = (b\beta/2)(b\gamma - \eta^2)^{-1}$  (см. формулу (17)).

Вышесказанное и соотношения (8), (9), (19), (22) приводят к тому, что дальнейший анализ должен проводиться отдельно для случаев  $b\gamma - \eta^2 > 0$ ,  $b\gamma - \eta^2 = 0$  и  $b\gamma - \eta^2 < 0$  при положительных и отрицательных значениях параметра биквадратичной трансляционно-ориентационной связи.

**Топология фазовой диаграммы в случаях сильной и скомпенсированной трансляционно-ориентационной связи при  $\eta > 0$**

Будем считать величину  $\eta$  положительной. Для этого случая на рис. 2 приведены морсовские типы экстремального поведения термодинамического потенциала (2) на решении (6) (рис. 2, а), а также области устойчивости  $IL$ - (рис. 2, б) и  $Pl$ -фаз (рис. 2, в).

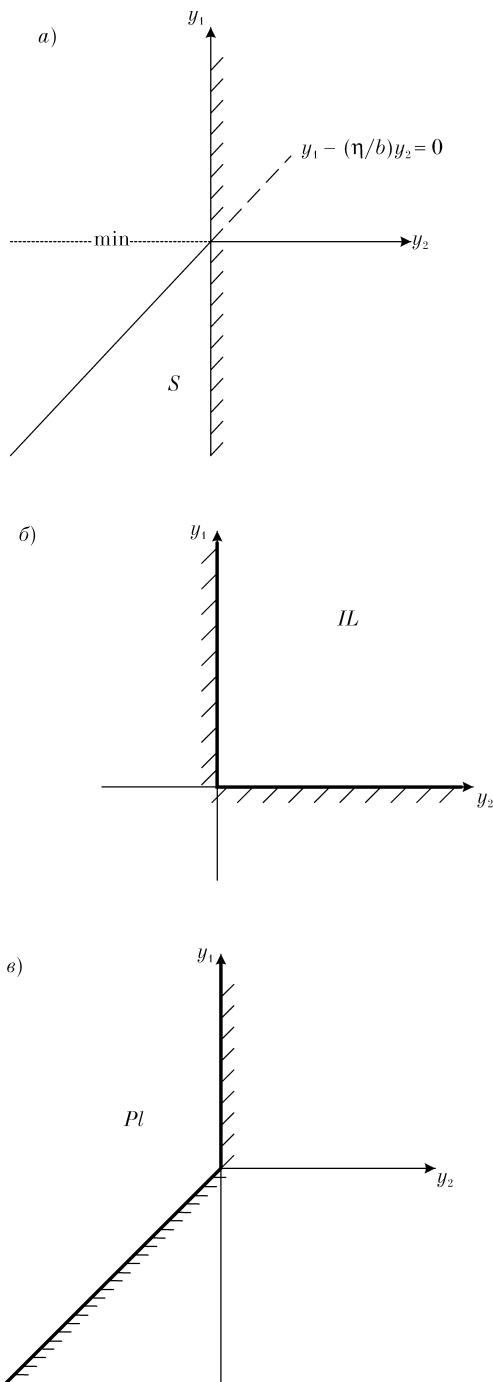


Рис. 2. Особенности модели Ваза–Доана смектического жидкого кристалла при  $\eta > 0$ . Морсовские типы экстремального поведения термодинамического потенциала на пластическом решении (а) и области существования изотропно-жидкой (б) и пластической (в) фаз

На рис. 3, а, согласно формулам (18), (19), изображено бифуркационное множество  $N$ -фазы и проведено его сечение  $A-B-C-D-E-F-G-H$ , параллельное оси  $O_{y_1}$ . На рис. 3, б в координатах  $(Q, y_1)$  построены графики трех функций: параболы (см. первое уравнение системы (19)) и двух прямых:

$$y_1 = \frac{\beta Q}{2}, \quad (23)$$

$$y_1 = \frac{\gamma y_2}{\eta} + \beta Q, \quad (24)$$

которые на рис. 3, б обозначены индексами 1 и 2. По прямым (23), (24) отштрихованы те части плоскости

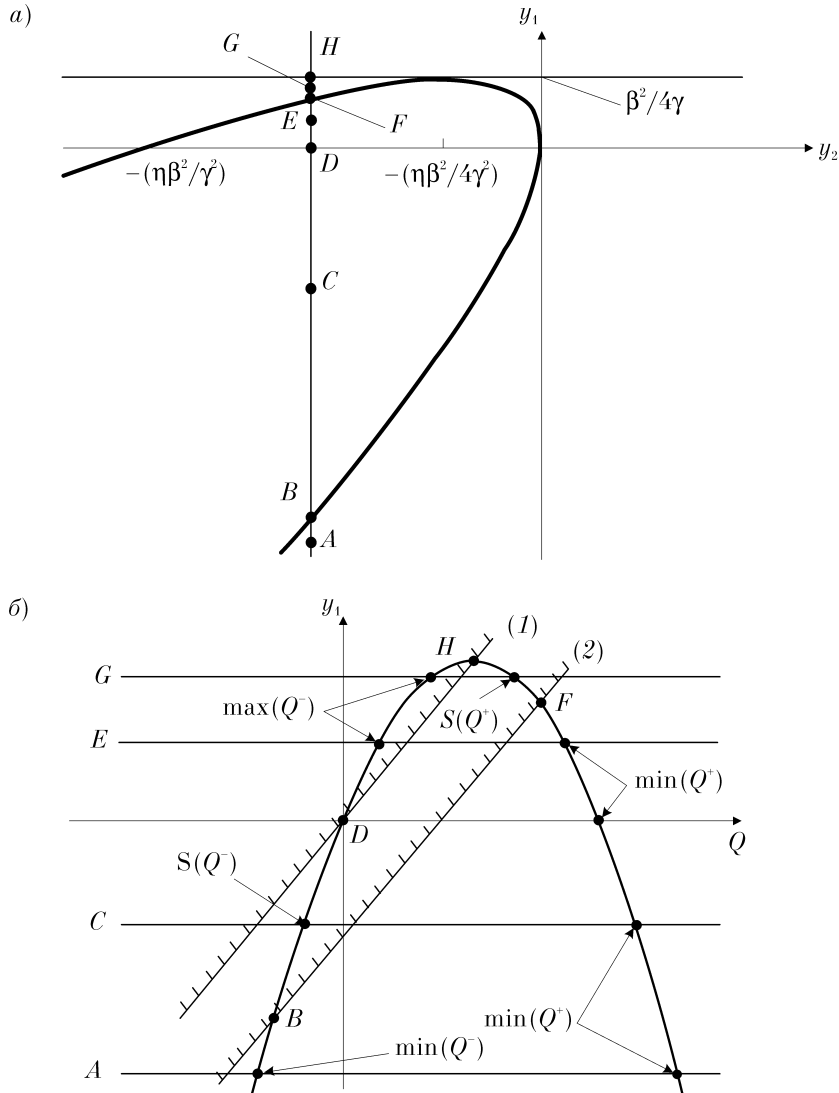


Рис. 3. Анализ устойчивости нематической фазы методом сечений бифуркационного множества в модели Ваза–Доана а — сепаратриса нематика и ее сечение  $A-B-C-D-E-F-G-H$ ; б — экстремальное поведение ( $\min$  — минимум,  $\max$  — максимум,  $S$  — седло) термодинамического потенциала на нематических решениях  $Q^-$  и  $Q^+$  на пути  $A-B-C-D-E-F-H$  при  $-\eta\beta^2/(4\gamma^2) < y_2 < -\eta\beta^2/\gamma^2$

$(Q, y_1)$  для которых справедливы неравенства

$$f_1(Q) = 2y_1 + \beta Q > 0,$$

$$f_2(Q) = y_2 - \frac{\eta y_1}{\gamma} + \frac{\beta \eta Q}{\gamma} > 0$$

(см. (12)). Перемещению вдоль сечения  $A-B-C-D-E-F-G-H$  на рис. 3, *a* отвечает движение «планки», параллельной оси  $O_Q$ , в направлении оси  $O_{y_1}$ , положение которой на координатной плоскости  $(Q, y_1)$  однозначно связано с выбором соответствующей точки на сечении  $A-B-C-D-E-F-G-H$  (рис. 3, *б*). Точки пересечения «планки» с параболой, лежащие

в области на рис. 3, *б*, где одновременно  $f_1(Q) > 0, f_2(Q) > 0$  соответствуют минимумам термодинамического потенциала (2) на «нематических» решениях  $Q^+$  и  $Q^-$  (см. (20), (21)); эти точки отвечают седлам потенциала, если они лежат между прямыми (1) и (2) (рис. 3, *б*), и максимума потенциала, если они находятся в области, где выполняются неравенства  $f_1(Q) < 0, f_2(Q) < 0$ . В результате, удастся выяснить типы критических точек термодинамического потенциала на решениях (21) (см. рис. 4, *a*) и (18) (рис. 4, *в*), следствием чего является определение области устойчивости  $N$ -фазы (рис. 4, *б*) в плоскости переменных  $(y_2, y_1)$  (рис. 4, *б*).

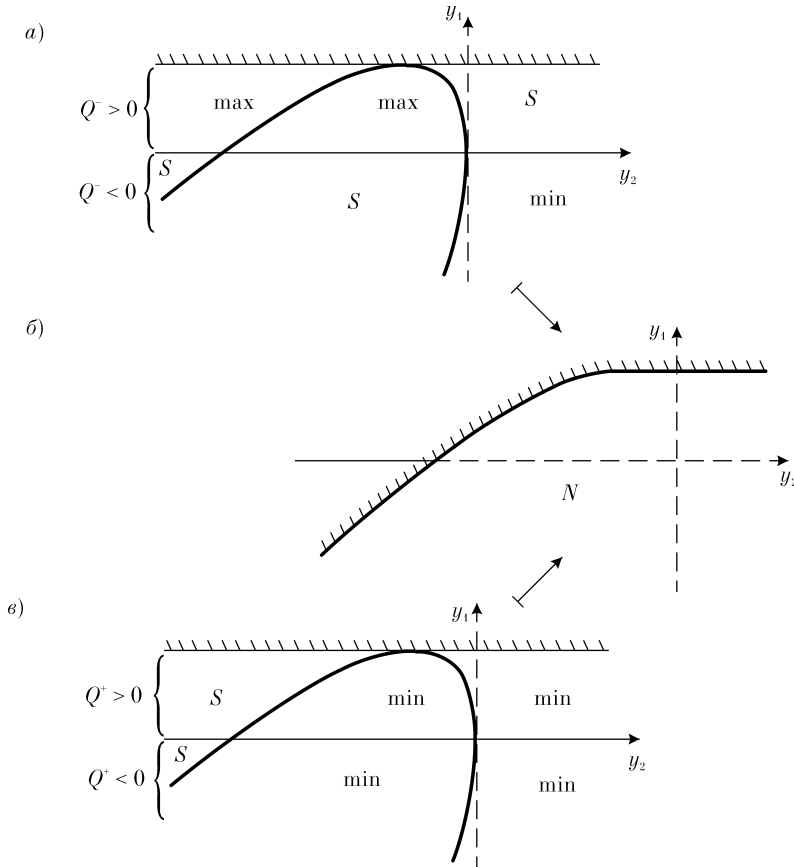


Рис. 4. Глобальная устойчивость нематической фазы в модели Ваза–Доана при  $\eta > 0$ . Распределение типов критических точек термодинамического потенциала на нематических решениях  $Q^-$  (а) и  $Q^+$  (в) и область существования нематического состояния (б) в плоскости переменных  $(y_2, y_1)$

Сравнение рис. 2, б и 2, в показывает, что  $Pl-IL$  линия является втородной и совпадает с частью оси  $O_{y_1}$ . Из равенств (7) и  $G_N = 0$ , где

$$G_N = \frac{y_1 Q^2}{2} - \frac{\beta Q^2}{3} + \frac{Q^4}{4} \quad (25)$$

— термодинамический потенциал  $N$ -фазы в равновесии, находим уравнение фазовой границы

$$y_1 = \frac{2\beta^2}{9\gamma} \quad (26)$$

между  $N$ - и  $IL$ -состояниями в системе координат  $(y_2, y_1)$ . Уравнение линии сосуществования  $N$ - и  $Pl$ -фаз определяется из равенства их термодинамических потенциалов  $G_N = G_{Pl} = -y_2^2/(4b)$ , что, с учетом (2), (7), эквивалентно системе уравнений

$$\begin{cases} bQ^2(-\beta Q + 3y_1) + 3y_2^2 = 0 \\ \gamma Q^2 - \beta Q + y_1 = 0 \end{cases} \quad (27)$$

Исключение из равенств (27) параметра  $Q$  приводит к явному виду фазовой  $N-Pl$ -границы

$$9\gamma(\gamma y_2^2 - b y_1^2)^2 + 18\gamma b \beta^2 y_1 y_2^2 - 2b^2 \beta^2 y_1^3 - 3b \beta^4 y_2^2 = 0. \quad (28)$$

Прямая подстановка в (28) величин  $y_2 = 0$  и формулы (26) позволяет утверждать, что точка с координатами  $(0; 2\beta^2/(9\gamma))$  является тройной  $Pl-N-IL$ -точкой.

Выясним, при каких условиях кривая (28) пересекает сепаратрису (19)  $N$ -фазы. Поиск общих корней у систем (19), (27) приводит к выводу, что такое пересечение возможно только при выполнении равенства

$$3(b\gamma - \eta^2)Q = 2b\beta. \quad (29)$$

Уравнение (29) несовместно при  $b\gamma - \eta^2 = 0$ , а при  $b\gamma - \eta^2 < 0$  имеет отрицательное решение, и потому линия сосуществования  $N$ - и  $Pl$ -фаз не обладает общими точками с физически значимой частью сепаратрисы НЖК. Следовательно, линия равновесия  $Pl$ - и  $N$ -фаз является перводной. Дополнительный анализ уравнения (28) показывает, что, кроме того, она еще и выпукла вверх (см. рис. 5). Поскольку в рамках теории фазовых

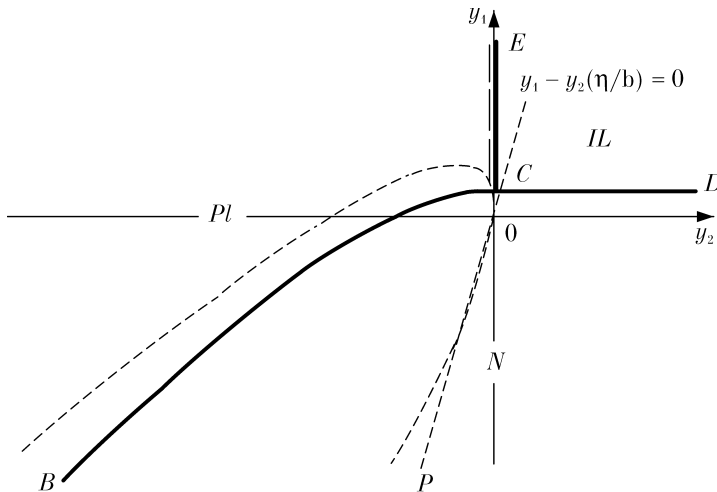


Рис. 5. Фазовая диаграмма модели Ваза–Доана смектического кристалла при  $b\gamma - \eta^2 \leq 0$   
 $BC$  — линия переходов  $Pl-N$  первого рода;  $CD$  — линия переходов  $IL-N$  первого рода;  
 $CE$  — линия переходов  $Pl-IL$  второго рода

переходов Ландау эволюционные траектории являются ориентированными прямыми, идущими в системе координат  $(y_2, y_1)$  из третьей четверти в первую; последнее означает, что в модели Ваза–Доана (при отмеченных выше условиях) при повышении температуры реализуются обратные превращения в последовательности  $Pl-N-Pl$ .

Результатом проведенного исследования является построение фазовой диаграммы физической системы, описываемой термодинамическим потенциалом (2), при условиях связи  $b\gamma - \eta^2 \leq 0, \eta > 0$  (рис. 5).

**Топология фазовой диаграммы в случае слабой трансляционно-ориентационной связи при  $\eta > 0$**

Перейдем к изучению случая  $b\gamma - \eta^2 > 0, \eta > 0$  — более сложного по сравнению с предыдущим, поскольку он требует включения в рассмотрение условий устойчивости  $Sm$ -фазы. Уравнение состояния (8) СЖК разрешим относительно параметров порядка  $Q$  и  $S$ :

$$(b\gamma - \eta^2)Q^2 - b\beta Q + by_1 - \eta y_2 = 0, \quad (30)$$

$$(b\gamma - \eta^2)^2 X^2 + r_1 X + r_2 = 0, X = S^2, \quad (31)$$

где

$$r_1 = 2b(b\gamma - \eta^2)(\gamma y_2 - \eta y_1) + \eta b^2 \beta^2, \quad (32)$$

$$r_2 = b^2(y_2 \eta \beta^2 + (\gamma y_2 - \eta y_1)^2), \quad (33)$$

и исследуем каждое из них.

На рис. 6, а показано бифуркационное множество СЖК, рассчитанное по формулам (18), (19) и (22). На этом же рисунке буквой  $D$  обозначена дискриминантная кривая  $D = 0$ , совпадающая с сепаратрисой (22), где

$$D = b^2 \beta^2 - 4(b\gamma - \eta^2)(by_1 - \eta y_2) \quad (34)$$

— дискриминант квадратных уравнений (30), (31). По знаку дискриминанта (34) с использованием правила Декарта найдем распределение корней уравнений (30), (31) на плоскости  $(y_2, y_1)$ , показанные на рис. 6, б, в. Здесь запись  $2^-0^+$  означает, что соответствующее уравнение (см. формулу (30) для рис. 6, б и формулу (31) для рис. 6, в) в области, где эта запись находится, имеет два отрицательных и ни одного положительного корня; другие обозначения аналогичны. Сделаем следующий промежуточный вывод: область устойчивости СЖК не включает те части разбиения плоскости  $(y_2, y_1)$  кривыми  $r_1 = 0, r_2 = 0, D = 0$  (см. (32)–(34)), которые на (рис. 6, в) помечены обозначениями  $0^+0^-$  и  $2^-0^+$ , то есть для которых хотя бы одно из уравнений (30), (31) не имеет положительных решений.

Покажем, применяя метод сечений бифуркационного множества, что областью существования  $Sm$ -состояния является подмножество декартовой плоскости  $(y_2, y_1)$ , которое на рис. 6, в обозначено через  $2^-+0^-$ , то есть для которого уравнение (31) имеет два положительных корня. Для этого предварительно перепишем уравнение  $Sm$ -состояния в виде

$$y_2 = \frac{by_1 - b\beta Q + (b\gamma - \eta^2)Q^2}{\eta}, \quad (35)$$

$$S^2 = -\frac{y_2 + \eta Q^2}{b} \quad (36)$$

и, зафиксировав величину  $y_1$ , на плоскости  $(Q, y_2)$  построим графики функций (35) и

$$y_2 = -\eta Q^2. \quad (37)$$

(см. рис. 7–9). Величину  $y_1$  выберем так, чтобы сечениями  $y_1 = \text{const}$  «покрыть» все характерные области разбиения плоскости  $(y_2, y_1)$

сепаратрисой  $Sm$ -фазы (см. вставку к рис. 7–9). По параболе (37) на диаграммах рис. 7–9 отштрихована та часть плоскости  $(Q, y_2)$ , для которой выполняется неравенство  $y_2 - \eta Q^2 < 0$ , то есть в уравнении (36)  $S^2(Q, y_2) > 0$ . Кроме этого, по прямой  $Q = \hat{Q}$ , где

$$\hat{Q} = \left(\frac{b\beta}{2}\right)(b\gamma - \eta^2)^{-1} \quad (38)$$

— точка экстремума параболы (35), на диаграммах рис. 7–9 отштрихована та часть плоскости  $(Q, y_2)$ , для которой справедливо соотношение  $Q > \hat{Q}$ , то есть, согласно формуле (17), для которой выполняется неравенство  $\text{Hes}|_{Sm} > 0$ . Это означает, что если в пересечении указанных частей плоскости  $(Q, y_2)$  лежит часть параболы (35), проецирующаяся на положительную полуось оси  $O_Q$ , то ему соответствуют минимумы термодинамического потенциала, имеющие физический смысл. Такова, например, ситуация, изображенная на диаграмме устойчивости (рис. 7). Отсюда, в частности, вытекает, что из двух положительных решений уравнений (35), (36) состояния  $Sm$ -фазы, локализованных в области, помеченной  $2^+0^-$  на рис. 6, в, одно соответствует минимуму (см. точку  $\min$  на рис. 7), а другое — седлу (см. точку  $S$  на рис. 7) потенциала (2) (на вставке к рис. 7 см. точку  $B$ ). Аналогично, для сечения  $A-B-C-D$  на вставке к рис. 8 можно показать, что на участке между точками  $A$  и  $C$  на положительном решении системы (35), (36) реализуется седло потенциала (2) (см. диаграмму устойчивости на этом рис.), а на участке между точками  $C$  и  $D$  экстремумы вообще отсутствуют. Последнее, как следует из диаграммы устойчивости (рис. 9), справедливо и для отрезков  $AC$  и  $DE$  сечения  $A-B-C-D-E$  (см. вставку к этому рис.), где нет точек экстремума потенциала, а на отрезке  $CD$  существует лишь одна седлообразная точка.

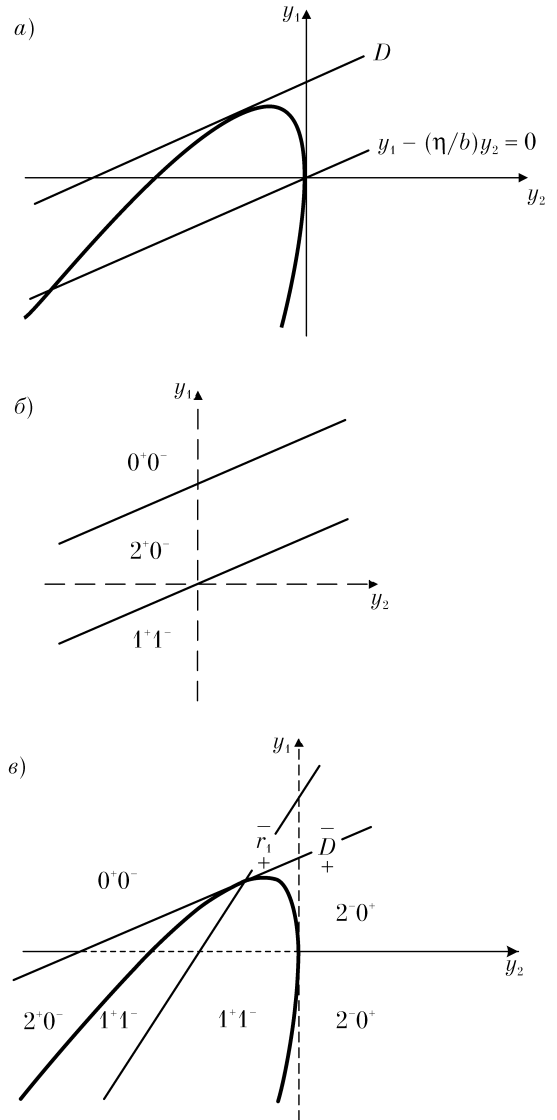


Рис. 6. Сепаратриса (а) и распределение корней уравнений состояния (б), смектической фазы на плоскости  $(y_2, y_1)$  (в) в модели Ваза — Доана при  $\eta > 0$   
 б — распределение корней уравнения состояния смектического жидкого кристалла относительно ориентационного параметра порядка; в — то же, что и на рисунке (б) относительно трансляционного параметра порядка

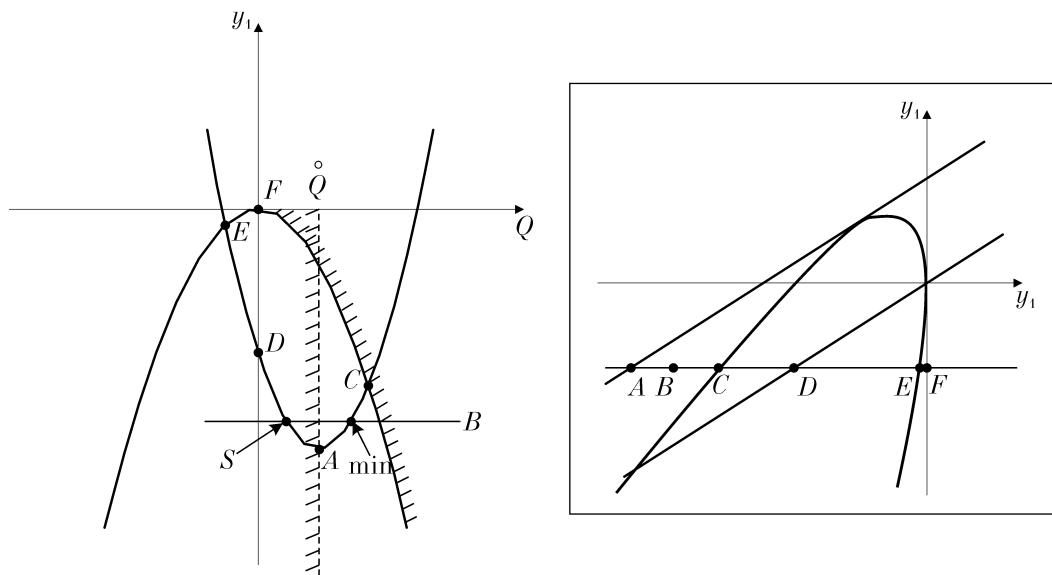


Рис. 7. Морсовские типы экстремального поведения термодинамического потенциала модели Ваза–Доана смектического жидкого кристалла на пути  $A-B-C-D-E-F$  (врезка) при  $y_1 = \text{const} : y_1 < 0$ . На диаграмме указаны точки, соответствующие значениям параметра  $Q$  в минимуме (min) и седле (S) термодинамического потенциала для фиксированной точки  $B$  (см. врезку) плоскости  $(y_2, y_1)$

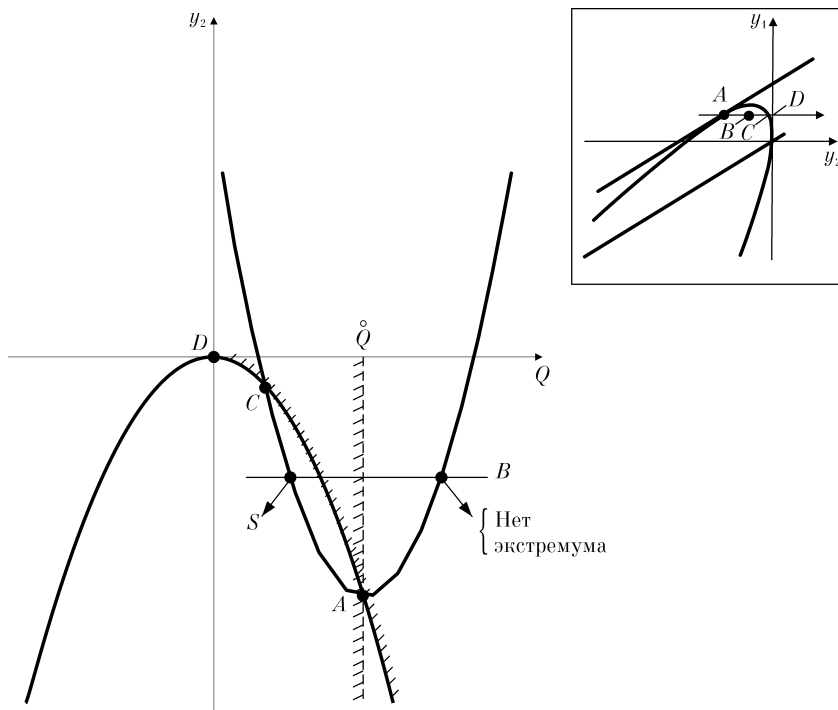


Рис. 8. Морсовские типы экстремального поведения термодинамического потенциала модели Ваза–Доана смектического жидкого кристалла на пути  $A-B-C-D$  (врезка) при  $y_1 = \text{const} : y_1 = b\beta^2(b\gamma - 2\eta^2)/(4(b\gamma - \eta^2)^2)$ . Диаграмма соответствует фиксированной точке  $B$  (см. врезку) плоскости  $(y_2, y_1)$

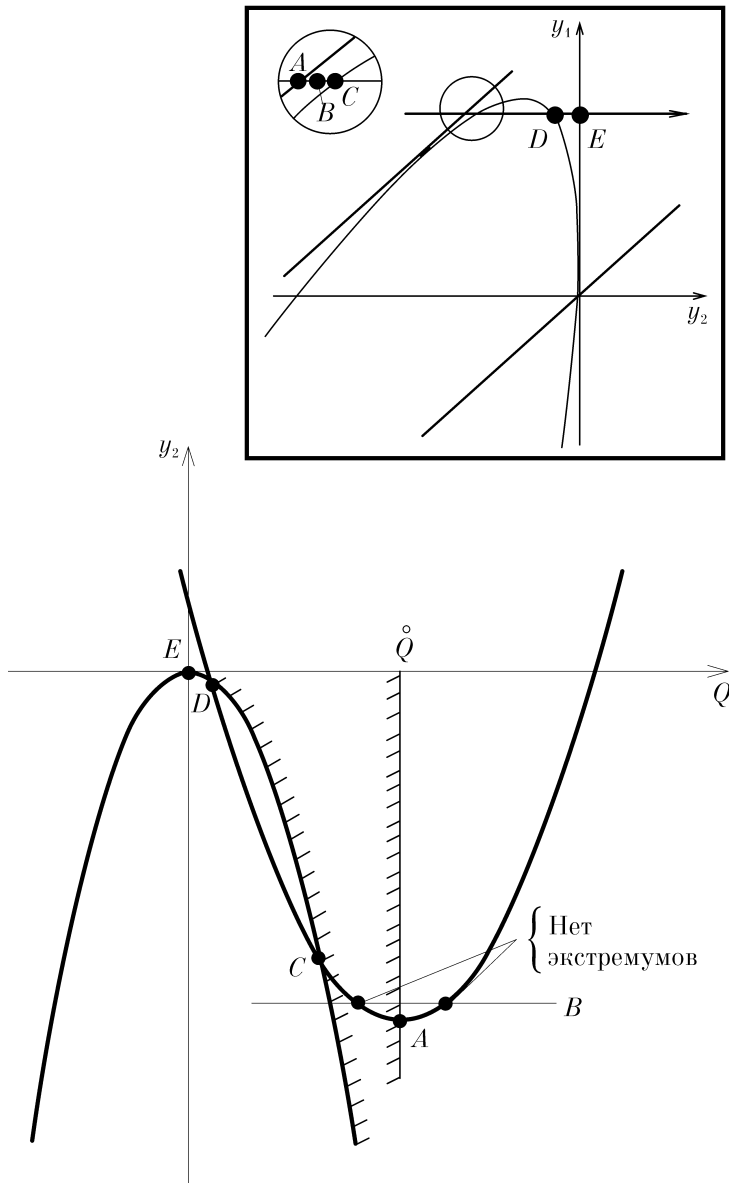


Рис. 9. Морсовские типы экстремального поведения термодинамического потенциала модели смектического жидкого кристалла на пути А–В–С–D–Е (врезка) при  $y_1 = \text{const} : b\beta^2(b\gamma - 2\eta^2)/(b\gamma - \eta^2)^2 < 4y_1 < \beta^2/\gamma$ . Диаграмма соответствует фиксированной точке В (см. врезку) на плоскости  $(y_2, y_1)$

Результатом проведенного бифуркационного анализа является выяснение всех типов экстремального поведения на решениях уравнений (35), (36) состояния  $Sm$ -фазы термодинамического потенциала (2) во всех

областях деления сепаратрисой этой фазы пространства управляющих параметров  $(y_2, y_1)$  (см. рис. 10, а, б).

Теперь уже нетрудно охарактеризовать топологию фазовой диаграммы СЖК при условиях связи

$b\gamma - \eta^2 > 0, \eta > 0$ . Заметим, что все сказанное выше относительно устойчивости трех фаз  $IL, Pl, N$  остается в силе и в данном случае. Сравнение рис. 10, б и 4, б показывает, что области существования  $Sm$ - и  $N$ -состояний граничат по левой ветви сепаратрисы (19) и, следовательно, эта ветвь является линией  $Sm-N$ -фазовых переходов второго рода. Из равенства соответствующих термодинамических потенциалов в равновесии найдем фазовую  $Sm-Pl$ -границу, которая, согласно (2), (6), (7), параметрически задается системой уравнений:

$$\begin{cases} 3(b\gamma - \eta^2)Q^2 - 4b\beta Q + 6(by_1 - \eta y_2) = 0, \\ by_1 - \eta y_2 = b\beta Q - (b\gamma - \eta^2)Q^2. \end{cases} \quad (39)$$

Прямой выкладкой можно убедиться, что следствием системы (39) является уравнение (29), обратная подстановка которого во второе равенство системы (39) с исключением параметра  $Q$  дает явный вид линии

$$by_1 - \eta y_2 = \left(\frac{2b^2\beta^2}{9}\right)(b\gamma - \eta^2)^{-1} \quad (40)$$

сосуществования  $Sm$ - и  $P$ -фаз.

Анализ показывает, что кривые (28) и (40) являются гладким продолжением друг друга, «склеиваясь» на сепаратрисе (19) в тройной  $Sm-Pl-N$ -точке, имеющей следующие координаты:

$$y_2^{tr} = -\frac{4b^2\beta^2\eta}{9}(b\gamma - \eta^2)^{-2},$$

$$y_1^{tr} = \frac{2b\beta^2}{9}(b\gamma - 3\eta^2)(b\gamma - \eta^2)^{-2}.$$

(см. точку  $B$  на рис. 11).

Фазовая диаграмма модели Ваза–Доана при условиях связи  $\eta > 0, b\gamma - \eta^2 > 0$  построена на рис. 11. Наиболее важной ее особенностью является выпуклость вверх линии равновесия  $Sm$ - и  $N$ -фаз — левой ветви сепаратрисы НЖК. Поскольку в рамках теории фазовых переходов Ландау эволюционные траектории являются прямыми, идущими в координатной системе  $(y_2, y_1)$  из третьей четверти в первую, последнее означает, что в модели Ваза–Доана при указанных условиях реализуются возвратные превращения типа  $Sm-N-Sm$ . Этот результат получен

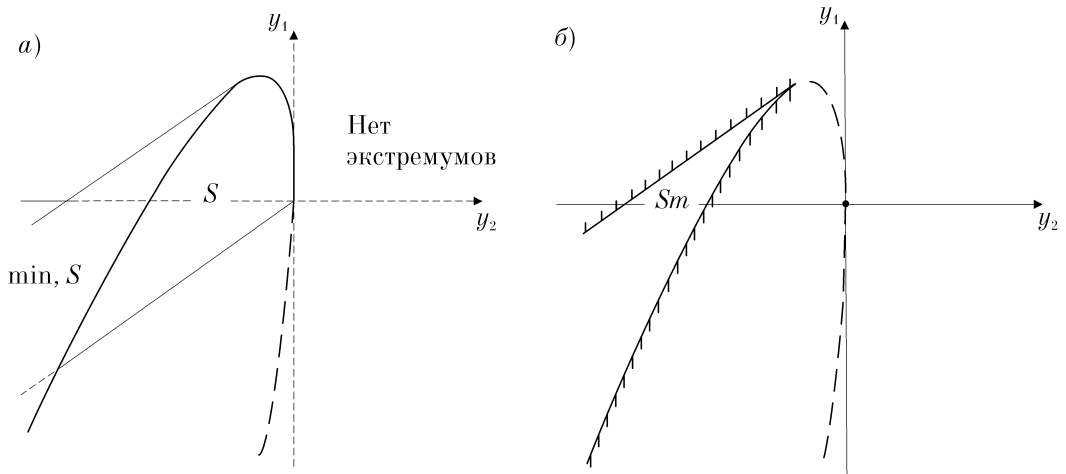


Рис. 10. Глобальная устойчивость смектической фазы при  $\eta > 0, b\gamma - \eta^2 > 0$   
 а — экстремальное поведение ( $\min$  — минимумы,  $S$  — седла) термодинамического потенциала на смектическом решении в областях деления сепаратрисой пространства управляющих параметров  $\{y_2, y_1\}$ ; б — область существования смектического состояния



На рис. 12 показаны области устойчивости  $IL$ -( $a$ ) и  $Pl$ -( $b$ ) фаз, найденные в соответствии с формулами (10), (11), (14), (15).

На рис. 13 построена диаграмма устойчивости  $N$ -фазы (рис. 13,  $a$ ), соответствующая сечению  $A-B-C$  ее бифуркционного множества (рис. 13,  $b$ ), описываемого уравнениями (18), (19). На рис. 13,  $a$  изображен график параболы, построенный согласно первому уравнению системы (19), и по прямым (23), (24) согласно (12), (16), отштрихована область плоскости ( $Q$ ), в которой реализуются минимумы термодинамического потенциала (2) на решении (7) (см. точку  $\min$  на рис. 13,  $a$ ). Это означает, что в той части плоскости ( $y_2, y_1$ ), где лежит точка  $B$  сечения  $A-B-C$  (рис. 13,  $b$ ), локализуются минимумы термодинамического потенциала. В точках  $A$  и  $C$  на рис. 13,  $a$  происходит бифуркация «нематических» решений (20), (21), так что в первой из них рождается седло потенциала, а во второй точка его минимума вырождается в не критическую точку. Следовательно, область, содержащая точку  $B$  и отштрихованная по соответствующим границам устойчивости (рис. 13,  $b$ ), является областью существования  $N$ -фазы. В остальных областях деления плоскости ( $y_2, y_1$ ) сепаратрисой на решениях (20), (21) реализуются либо максимумы, либо седла потенциала (рис. 13,  $e$ ).

На рис. 14,  $a$  и  $e$  показаны диаграммы устойчивости  $Sm$ -фазы, на которых построены графики функций (35), (37) и которые соответствуют сечениям  $A-B-C-D-E-F$  (I на рис. 14,  $b$ ) и  $A-B-C$  (II на рис. 14,  $b$ ) бифуркционного множества СЖК на рис. 14, ( $b$ ). На этих же рисунках по параболе (37) и прямой  $Q = \dot{Q}$  (см. формулу (38)) отштрихованы те части плоскости ( $Q, y_2$ ), для которых на решениях системы уравнений (8) реализуются минимумы термодинамического

потенциала (2). По диаграммам глобальной устойчивости на рис. 14  $a-e$  восстанавливаются морсовские типы экстремального поведения СЖК, приведенные на рис. 15,  $a$ , а также строится область существования  $Sm$ -фазы (рис. 15,  $b$ ). Последняя отштрихована по сепаратрисе (22) СЖК и правой ветви параболы — границы устойчивости НЖК.

Сравнение рисунков 12,  $a$  и 12,  $b$  показывает, что области существования  $Pl$ - и  $IL$ -фаз граничат по соответствующей сепаратрисе — части оси  $O_{y1}$ , которая, следовательно, является линией фазовых переходов  $Pl-IL$  второго рода. Аналогичное сравнение рисунков 13,  $b$  и 15,  $b$  приводит к выводу, что  $Sm$ - и  $N$ -фазы граничат по части правой ветви сепаратрисы НЖК, и поэтому последняя является линией фазовых превращений  $Sm-N$  второго рода. Фазовая граница  $Sm-IL$  определяется из равенства термодинамических потенциалов соответствующих фаз в равновесии и имеет, согласно (2), (5), (8), следующее параметрическое (с параметром кривой  $Q$ ) представление:

$$\begin{cases} y_2 = Q \sqrt{\frac{2b\beta Q}{3} - (b\gamma - \eta^2)Q^2}, \\ y_1 = \frac{-(b\gamma - \eta^2)Q^2}{b} + \beta Q + \\ + \eta Q \sqrt{\frac{2b\beta Q}{3} - (b\gamma - \eta^2)Q^2} / b^2. \end{cases} \quad (41)$$

Анализ показывает, что линии фазового равновесия (40) и (41), являясь аналитическим продолжением друг друга, «склеиваются» в тройной  $Sm-Pl-IL$ - точке с координатами

$$y_2^{tr} = 0, y_1^{tr} = \left(\frac{2b\beta^2}{9}\right)(b\gamma - \eta^2)^{-1}.$$

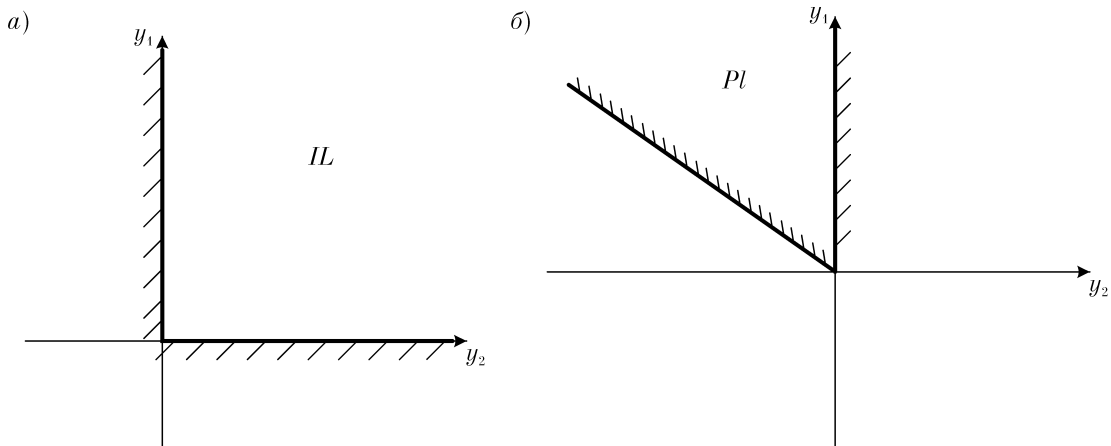


Рис. 12. Области существования изотропно-жидкой (а) и пластической (б) фаз в модели Ваза–Доана при условии  $\eta < 0$

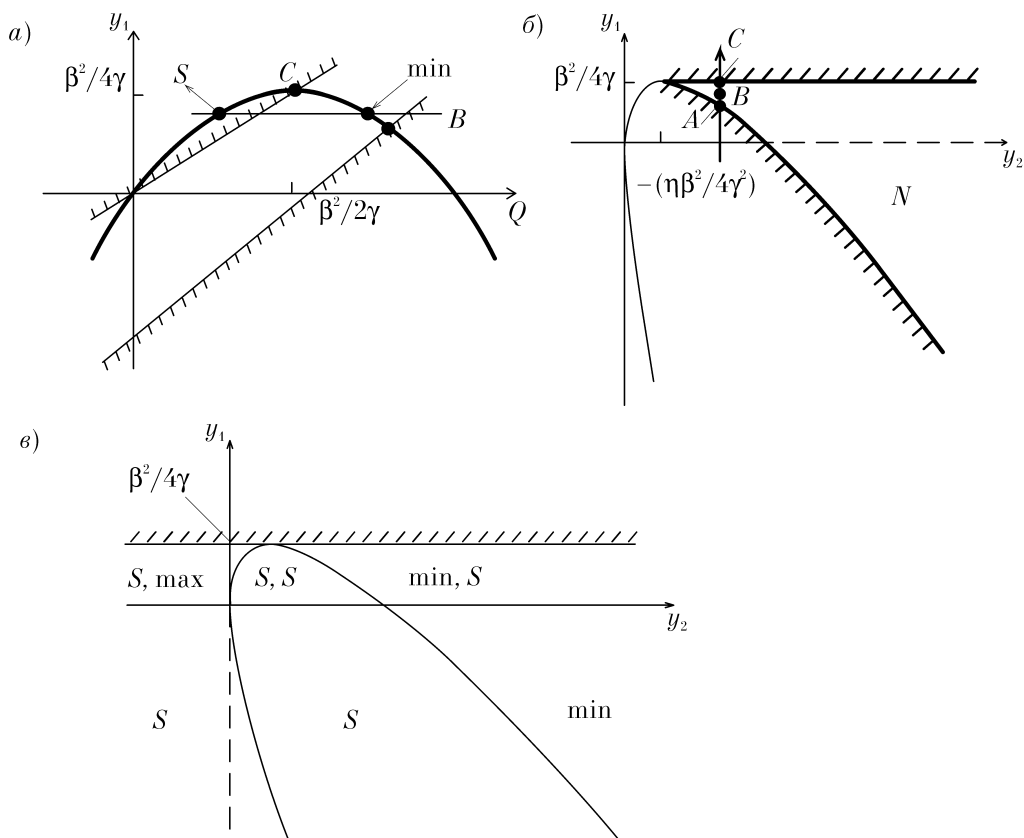


Рис. 13. Анализ устойчивости  $N$ -фазы методом сечений бифуркционного множества и локализация  $N$ -фазы на плоскости  $(y_2, y_1)$  в модели Ваза–Доана при  $\eta < 0$   
 а — диаграмма устойчивости  $N$ -фазы для фиксированной точки  $B$  (б) — плоскости  $(y_2, y_1)$ ;  
 б — область существования  $N$ -фазы; в — экстремальное поведение термодинамического потенциала на нематических решениях; седлам ( $S$ ) и максимумам ( $\max$ ) соответствует решение  $Q^-$ , минимумам ( $\min$ ) — решение  $Q^+$

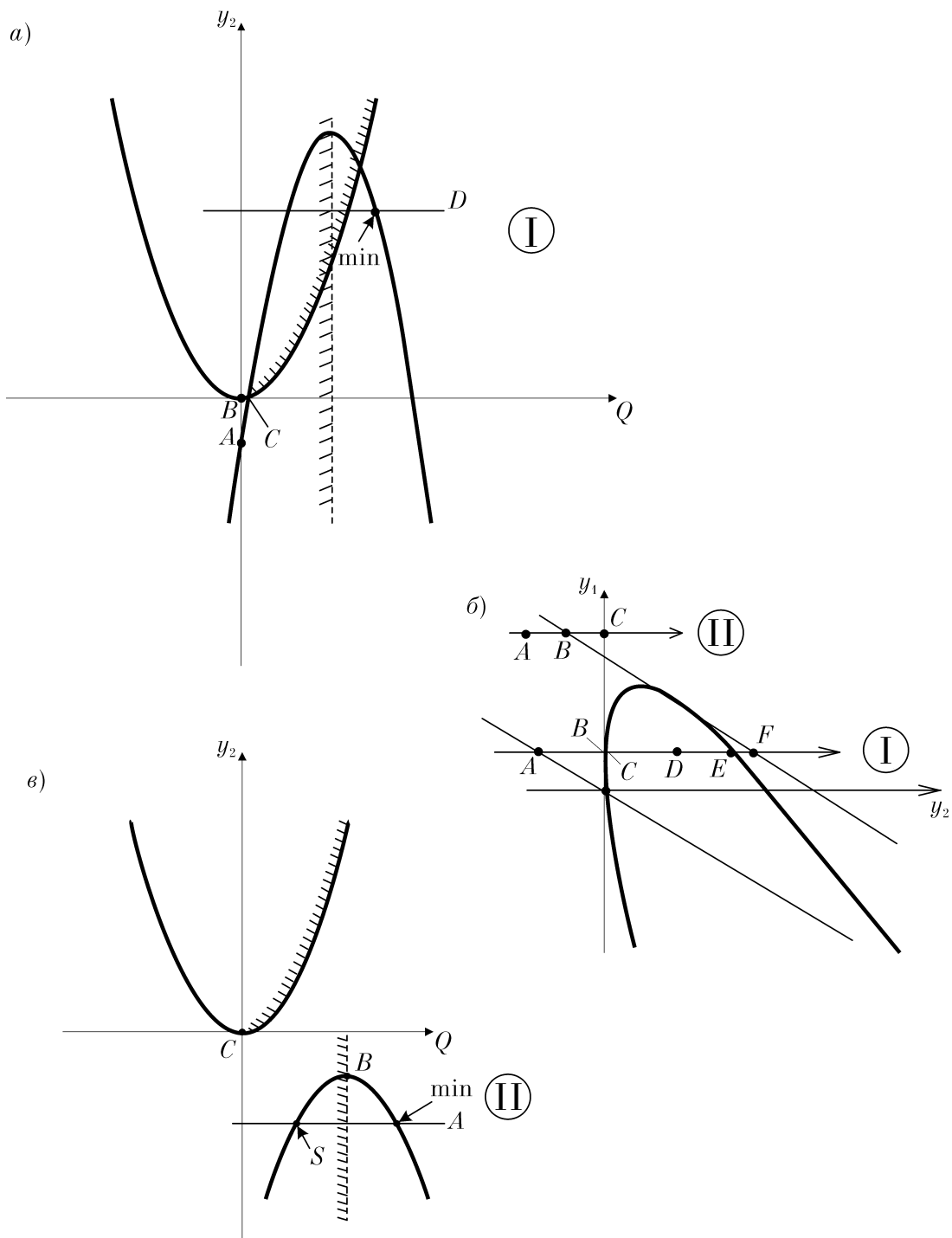


Рис. 14. Анализ устойчивости смектической фазы модели Ваза–Доана при  $\eta < 0$  методом сечений бифуркационного множества  
 а — диаграмма устойчивости, соответствующая сечению I бифуркационного множества  
 б — бифуркационное множество смектической фазы и его сечения A–B–C (I) и A–B–C–D–E–F (II);  
 в — то же, что и на рис. (а), только для сечения II (см. рис. б)

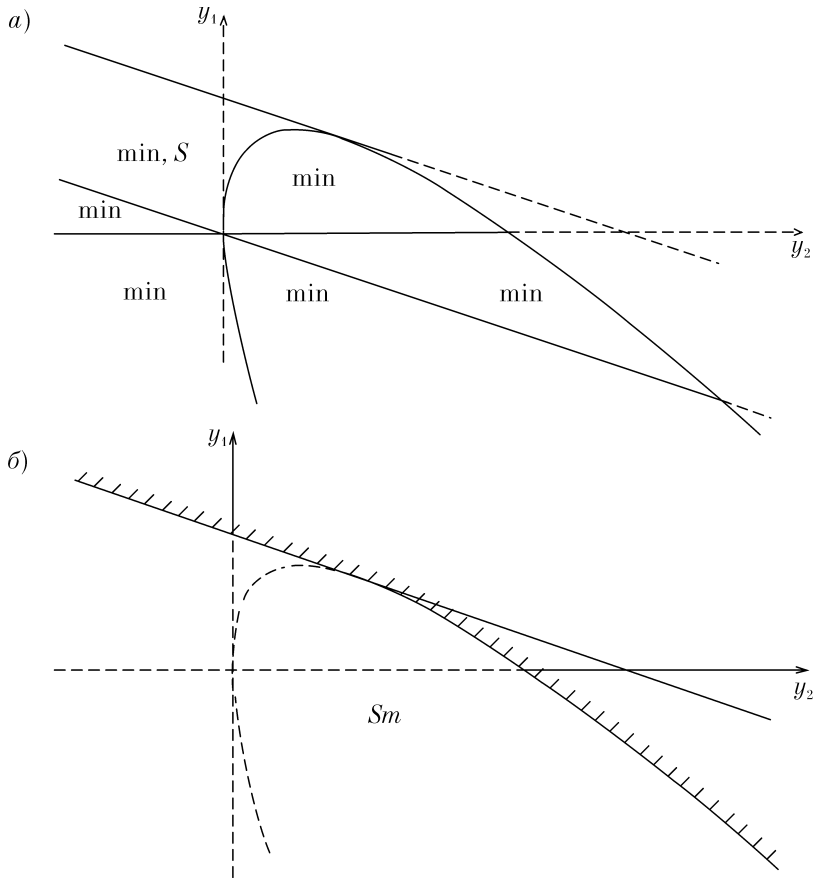


Рис. 15. Глобальная устойчивость смектической фазы на плоскости  $(y_2, y_1)$  в модели Ваза–Доана при  $\eta < 0$

*a* — экстремальное поведение термодинамического потенциала на плоскости переменных  $(y_2, y_1)$ ; *б* — область существования смектической фазы

Линия сосуществования  $N$ - и  $IL$ -фаз определяется, как и ранее, уравнением (26), что позволяет найти координаты тройной  $Sm-N-IL$ -точки. Для этого определим точку пересечения:

$$y_2^{tr} = -\eta \frac{4\beta^2}{9\gamma^2}, \quad (42)$$

$$y_1^{tr} = \frac{2\beta^2}{9\gamma} \quad (43)$$

и соответствующее ей значение параметра

$$Q^{tr} = \frac{2\beta}{3\gamma} \quad (44)$$

$N-IL$ -линии с сепаратрисой (19)  $N$ -фазы. Уравнения (41) удовлетворяются прямой подстановкой равенств (42)–(44). Это означает, что тройная  $(y_2^{tr}, y_1^{tr})$   $Sm-N-IL$ -точка лежит на сепаратресе НЖК.

Линия сосуществования  $Sm$ - и  $N$ -фаз находится из равенства равновесных значений их термодинамических потенциалов и, согласно (2), (7), (8), параметрически определяется следующей системой уравнений:

$$\begin{cases} G_{Sm}(P) = G_N(H), \\ (b\gamma - \eta^2)P^2 - b\beta P + by_1 - \eta y_2 = 0, \\ \gamma H^2 - \beta H + y_1 = 0, \end{cases} \quad (45)$$

где  $G_{Sm}(P) =$   

$$= P^2 \frac{3(by_1 - \eta y_2) - \beta P}{12b} - \frac{y_2^2}{4b}, \quad (46)$$

$$G_N(H) = \frac{H^2(3y_1 - \beta H)}{12}. \quad (47)$$

Отметим, что кривая (45)–(47) в качестве своего подмножества содержит сепаратрису  $N$ -фазы.

Топология фазовой диаграммы модели Ваза–Доана при  $b\gamma - \eta^2 > 0$ ,  $\eta < 0$ , определяется, кроме перечисленных факторов, еще одной существенной геометрической особенностью: сепаратрисы (19) и (22)  $Sm$ - и  $N$ -фаз касаются друг друга в точке с координатами

$$y_2^{cp} = -\frac{\eta b^2 \beta^2}{4} (b\gamma - \eta^2)^{-2}, \quad (48)$$

$$y_1^{cp} = \frac{\eta b^2 \beta^2}{4} (b\gamma - 2\eta^2) (b\gamma - \eta^2)^{-2}, \quad (49)$$

которая, как и в расширенной версии модели де Жена [10], может быть трикритической для фазовых  $Sm-N$ -переходов. Из формул (43), (49) следует, что точка  $(y_2^{cp}, y_1^{cp})$  является реальной трикритической, если

$$\eta^2 < b\gamma < 4\eta^2 \quad (50)$$

и она выступает в качестве виртуальной трикритической точки в случае

$$b\gamma > 4\eta^2. \quad (51)$$

Промежуточный между (50) и (51) случай

$$b\gamma = 4\eta^2 \quad (52)$$

описывает ситуацию, когда  $N-IL$ -линии приходит в трикритическую  $Sm-N$ -точку, то есть когда последняя совпадает с тройной  $Sm-N-IL$ -точкой.

Фазовые диаграммы, отвечающие условиям (50)–(52), приведены на рис. 16 *в, а* и *б* соответственно. Кроме

того, анализ формул (41) и (45)–(47) показывает, что, если выполняется неравенство (50), то три первородные  $Sm-N$ -,  $N-IL$ - и  $Sm-IL$ -линии гладко входят в тройную  $Sm-N-IL$ -точку. Если же выполняются условия (51) или (52), то только две из них —  $Sm-IL$ - и  $N-IL$ -линии — аналитически продолжают друг друга, гладко «склеиваясь» в тройной  $Sm-N-IL$ -точке.

Перечислим различия в фазовых диаграммах СЖК в модели Ваза–Доана, рассчитанных при одном и том же условии связи  $b\gamma - \eta^2 > 0$ , но при различных знаках константы трансляционно-ориентационного взаимодействия (ср. рис. 11 и 16):

- при  $\eta > 0$  на фазовых диаграммах имеет место наличие тройных  $Sm-Pl-N$ - и  $N-Pl-IL$ -точек, а при  $\eta < 0$  —  $Sm-Pl-IL$ - и  $Sm-N-IL$ -точек;

- при  $\eta < 0$  запрещены возвратные фазовые переходы, а при  $\eta > 0$  возможна их реализация;

- при  $\eta > 0$  трикритическая  $Sm-N$ -точка всегда является виртуальной, а при  $\eta < 0$  она может быть как виртуальной (см. рис. 16, *а*), так и реальной (рис. 16, *в*).

### Топология фазовой диаграммы в случае скомпенсированной и сильной трансляционно-ориентационной связи при $\eta < 0$

Осталось рассмотреть характеристические особенности фазовой диаграммы модели Ваза–Доана при условиях связи  $b\gamma - \eta^2 \leq 0$ ,  $\eta < 0$ , которая, согласно (17), не содержит стабильного  $Sm$ -состояния. Ее построение выполняется с учетом информации об областях локализации  $IL$ -,  $Pl$ - и  $N$ -фаз, показанных на рис. 12, 13. Результат приведен на рис. 17, *а*. Видно, что на фазовой диаграмме при  $b\gamma - \eta^2 \leq 0$ ,  $\eta < 0$ , имеют место такие пути термодинамической эволюции (см., к примеру, «стрелку» на рис. 17, *а*), на которых реализуется возвратная изотропно-жидкая фаза.

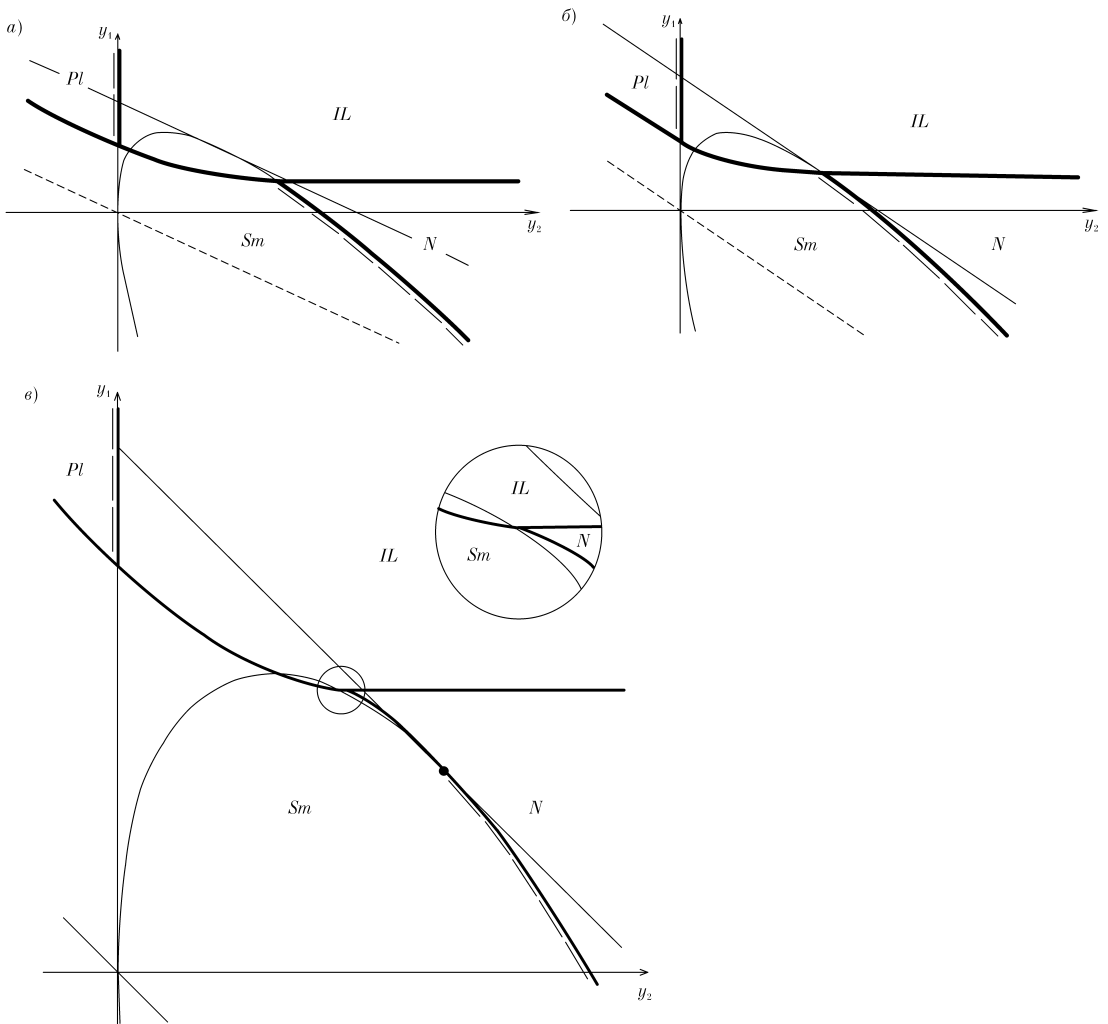


Рис. 16. Типы фазовых диаграмм смектического жидкого кристалла в модели Ваза–Доана при  $\eta < 0$ ,  $b - \eta^2 > 0$   
 а — фазовая диаграмма с тройной точкой  $Sm-N-IL$ ; б — фазовая диаграмма с тройной точкой  $Sm-N-IL$ ,  
 совпадающая с трикритической  $Sm-N$ ; в — фазовая диаграмма с тройной  $Sm-N-IL$  и трикритической  $Sm-N$  точками.  
 На врезке — окрестность тройной точки  $Sm-N-IL$

В отличие от механизма осуществления возвратных фазовых переходов, связанного с искривлением путей термодинамической эволюции относительно фазовых границ (модель Кладис при  $b\gamma - \eta^2 > 0$ ,  $\eta > 0$ ), или с искривлением фазовых границ относительно путей термодинамической эволюции (модель Ваза–Доана при  $b\gamma - \eta^2 > 0$ ,  $\eta > 0$ ), в данном случае реализуется иной механизм: ИЖ фаза является возвратной только из-за того,

что в низкотемпературной области  $N$ -состояние не существует как стабильное (так как решению уравнений состояния НЖК здесь соответствует седло термодинамического потенциала; см. рис. 13, в). Возможно, что такой механизм имеет место и на практике, поскольку известно, что множественные метастабильные состояния с различной локализацией играют важную роль в возвратном мезоморфизме [2].

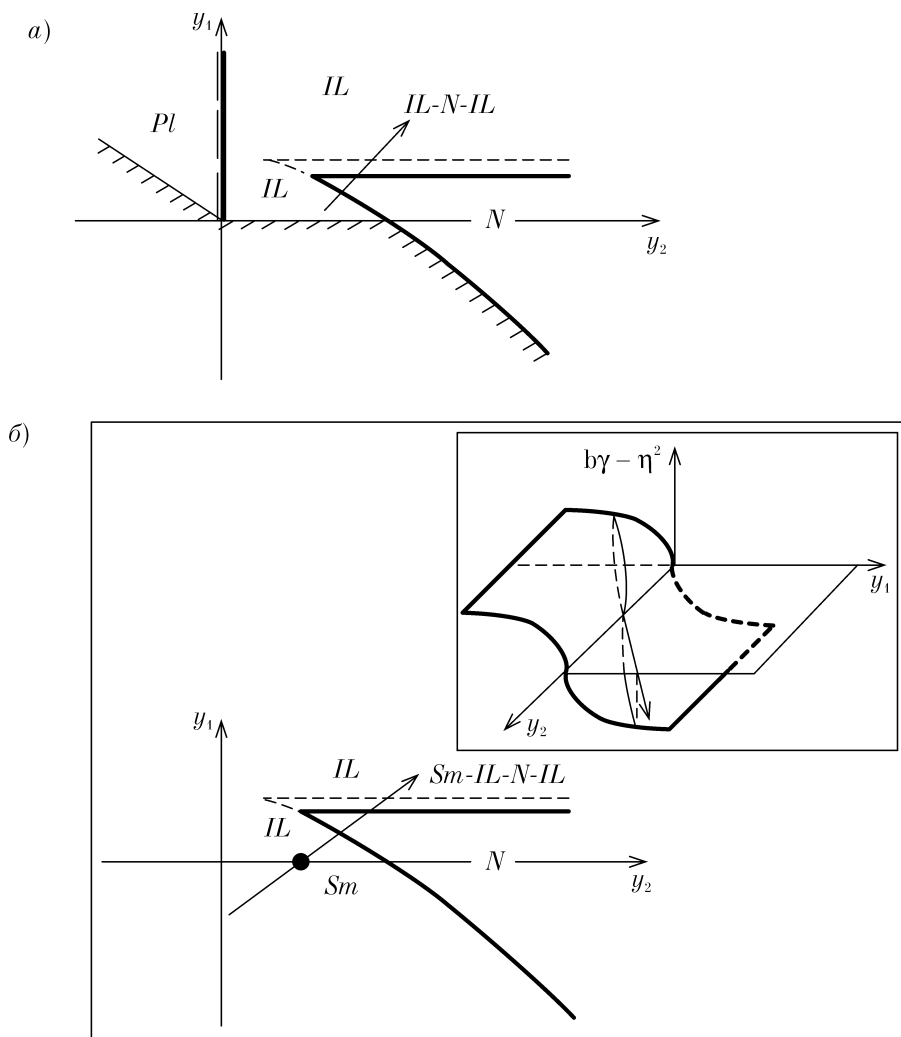


Рис. 17. Фазовая диаграмма модели Ваза–Доана при  $\eta < 0$  с возвратной изотропно-жидкой фазой  
 а —  $b\gamma - \eta^2 \leq 0$ ; б —  $(b\gamma - \eta^2)$  – функция переменных  $y_1, y_2$ , меняющая знак на оси  $Oy_2$  (врезка)

Фазовая диаграмма на рис. 17, а не является термодинамически согласованной в смысле теории фазовых переходов Ландау. Однако термодинамической согласованности можно добиться, если в духе теории Клядис считать, что величина  $(b\gamma - \eta^2)$  является функцией параметров  $y_1$  и  $y_2$ , например, такой, как на вставке к рис. 17, б. Тогда область, отштрихованная на рис. 17, а по координатной

оси, согласно рис. 16, занимается  $Sm$ -состоянием. Последнее на термодинамическом пути, показанном на рис. 17, б направленным отрезком прямой, теряет устойчивость в точке пересечения с осью  $Oy_2$ , переходя, в силу изложенного, в реентрантную ИЖ-фазу. Отметим, что возвратный ИЖ-мезоморфизм обнаружен в эксперименте как в термотропных, так и в лиотропных мезофазах [6, 7].

В настоящей работе на основании последовательного анализа условий термодинамической устойчивости мезофазы, описываемой в рамках модели Ваза–Доана, получены следующие новые результаты:

дана классификация возможных типов фазовых диаграмм ЖК. Показано, что они являются топологически различными в случаях слабой, сильной или скомпенсированной трансляционно-ориентационной связи при различных знаках параметра этой связи;

определены условия реализации возвратных переходов, идущих с повышением температуры, в последовательностях «смектик — нематик — смектик» и «пластик — нематик — пластик». Показано, что возвратные фазовые переходы в последовательности «нематик — смектик — нематик» не являются термодинамически стабильными;

выяснено, что в модели Ваза–Доана механизм осуществления возвратных превращений является иным по отношению к модели Кларис [1, 10]: в модели Ваза–Доана возвратный мезоморфизм является не следствием искривления путей термодинамической эволюции, а либо следствием искривления фазовых границ в пространстве управляющих параметров, либо следствием метастабильности низкосимметричной фазы, область локализации которой замещается реэнантной высокосимметричной фазой;

найжены условия существования трикритической точки СЖК — НЖК с возможностью варьирования ее положения на фазовой границе и изменения ширины нематической зоны в ней в зависимости от выбора мезогена (эффект наблюдается экспериментально). Показано, что эта

трикритическая точка может быть виртуальной, когда она лежит в области метастабильности и не проявляется явно, но оказывает влияние на физические свойства вещества (эффект предсказан теоретически). Возможно также пограничное состояние мезоморфной системы, в котором эта трикритическая точка совпадает с тройной точкой СЖК — НЖК — ИЖ (эффект наблюдается экспериментально).

В заключение подчеркнем, что значение феноменологического моделирования, подобного тому, которое выполнено выше, является более глубоким, чем это может показаться при поверхностном взгляде. Дело в том, что теория фазовых переходов Ландау представляет собой частный случай математической теории катастроф (см. по этому поводу [17]). При этом феноменологические потенциалы типа (1) или (2) сами являются частными случаями канонических катастроф, к которым, в конечном счете, должны сводиться термодинамические потенциалы как микро-, так и макротеорий. В этой связи актуальным представляется решение вопроса о минимальных требованиях, предъявляемых к числу параметров порядка и существенных управляющих параметров (то есть непосредственно к самой феноменологической модели в духе теории Ландау), чтобы соответствующая катастрофа описывала требуемый набор фаз и, в частности, наблюдаемые в эксперименте возвратные превращения без введения априорных зависимостей управляющих параметров от термодинамических переменных. Настоящая работа дает лишь некоторое начальное представление о возможностях данного направления исследований в физике молекулярного мезоморфизма. ■

## Литература

1. Cladis P. E. The reentrant nematic, enhanced smectic A phases and molecular composition // *Mol. Cryst. Liq. Cryst.* 1981. V. 67. № 1–4. P. 177–192.
2. Cladis P. E., Bogardus R., Aadsen D. High pressure investigation of the reentrant nematic bilayer smectic A transition // *Phys. Rev. A.* 1978. V. 18. № 5. P. 2292–2306.
3. Sigaud G., Tinh N., Hardouin F. Occurrence of the reentrant nematic and reentrant smectic A phases in mesogenic series // *Mol. Cryst. Liq. Cryst.* 1981. V. 69. № 1–4. P. 81–102.
4. Tinh N. Polimorphisme des substances mesogenes a molecules polaires // *J. Chim. Phys.* 1983. V. 80. № 1. P. 83–98.
5. Shashidhar R., Ratna S., Surendranath V. Experimental studies on a triply reentrant mesogen // *J. Phys. Lett. (Paris)*. 1985. V. 46. № 10. P. 445–450.
6. Shashidhar R., Venkataraman C., Abdoh M. Optical and DSC studies on pure nematogenic materials exhibiting reentrant isotropic state // *Acta Phys. Pol. A.* 1986. V. 69. № 4. P. 537–544.
7. Tinh N. J., Malthere J., Destrade C. Reentrant phenomenon in disc like liquid crystal // *Mol. Cryst. Liq. Cryst.* 1981. V. 64. № 1–4. P. 291–298.
8. Vaz N. A., Doane J. W. On the Landau description of the reentrant behavior in liquid crystals // *Mol. Cryst. Liq. Cryst.* 1983. V. 101. № 1–4. P. 35–45.
9. Де Жён П. Физика жидких кристаллов. М: Мир, 1977. 444 с.
10. Першин Вл. К. Модель Клядис и проблемы возвратного мезоморфизма // *Журнал физической химии*. 1993. Т. 67. № 2. С. 328–338; Топология фазовой диаграммы и трикритическое поведение смектического жидкого кристалла типа А. *Журнал физической химии*. 1995. Т. 69. № 1. С. 65–80.
11. Longa L. On the tricritical point of the nematic — smectic A phase transition in liquid crystals // *J. Chem. Phys.* 1986. V. 85. № 5. P. 2974–2985.
12. Pershin V. I. K., Khomenko A. V. Bifurcational analysis of the Prost model // *Mol. Cryst. Liq. Cryst.* 1992. V. 220. № 1–4. P. 159–166.
13. Konoplev V. A., Pershin V. I. K., Raevsky R. A. Topological types of phase diagrams of smectic A liquid crystal in external field // *Mol. Cryst. Liq. Cryst.* 1995. V. 260. № 1–4. P. 531–546.
14. Konoplev V. A., Pershin V. I. K., Khomenko A. V. Reentrant mesomorphism induced by external field. *Mol. Cryst. Liq. Cryst.* 1997. V. 301. № 1–4. P. 31–37.
15. Konoplev V. A., Pershin V. I. K., Khomenko A. V., Borovik B. M. Novel bifurcation set cross-section method for topological analysis of phase diagrams // *Mol. Cryst. Liq. Cryst.* 1997. V. 299. № 1–4. P. 51–60.
16. Pershin V. I. K., Konoplev V. A. Multicritical effects and reentrant phase transitions in smectic liquid crystals of type C // *R. J. Phys. Chem.* 2004. V. 78. Suppl. 1. P. S43–S56.
17. Першин Вл. К., Першин В. К., Коноплев В. А., Лобаскин В. А., Хоменко А. В. Элементарная теория катастроф и проблемы устойчивости молекулярных систем // *Журнал физической химии*. 1992. Т. 66. № 1. С. 246–273.

## Literature

1. Cladis P. E. The reentrant nematic, enhanced smectic A phases and molecular composition // *Mol. Cryst. Liq. Cryst.* 1981. V. 67. № 1–4. P. 177–192.
2. Cladis P. E., Bogardus R., Aadsen D. High pressure investigation of the reentrant nematic bilayer smectic A transition // *Phys. Rev. A.* 1978. V. 18. № 5. P. 2292–2306.
3. Sigaud G., Tinh N., Hardouin F. Occurrence of the reentrant nematic and reentrant smectic A phases in mesogenic series // *Mol. Cryst. Liq. Cryst.* 1981. V. 69. № 1–4. P. 81–102.
4. Tinh N. Polimorphisme des substances mesogenes a molecules polaires // *J. Chim. Phys.* 1983. V. 80. № 1. P. 83–98.
5. Shashidhar R., Ratna S., Surendranath V. Experimental studies on a triply reentrant mesogen // *J. Phys. Lett. (Paris)*. 1985. V. 46. № 10. P. 445–450.

6. Shashidhar R., Venkataraman C., Abdoh M. Optical and DSC studies on pure nematogenic materials exhibiting reentrant isotropic state // *Acta Phys. Pol. A.* 1986. V. 69. № 4. P. 537–544.
7. Tinh N.J., Malthere J., Destrade C. Reentrant phenomenon in disc like liquid crystal // *Mol. Cryst. Liq. Cryst.* 1981. V. 64. № 1–4. P. 291–298.
8. Vaz N.A., Doane J.W. On the Landau description of the reentrant behavior in liquid crystals // *Mol. Cryst. Liq. Cryst.* 1983. V.101. № 1–4. P. 35–45.
9. De Gen P. The physics of liquid crystals // M: Mir, 1977. 444 p.
10. Pershin V.I. Cladis's model and problems of reentrant mesomorphism // *The journal of physical chemistry.* 1993. T. 67. № 2. P. 328–338; The topology of phase diagram and tricritical behavior of smectic liquid crystal of A type // *The journal of physical chemistry.* 1995. T. 69. № 1. P. 65–80.
11. Longa L. On the tricritical point of the nematic — smectic A phase transition in liquid crystals // *J. Chem. Phys.* 1986. V. 85. № 5. P. 2974–2985.
12. Pershin V.I. K., Khomenko A. V. Bifurcational analysis of the Prost model // *Mol. Cryst. Liq. Cryst.* 1992. V. 220. № 1–4. P. 159–166.
13. Konoplev V. A., Pershin V.I. K., Raevsky R. A. Topological types of phase diagrams of smectic A liquid crystal in external field // *Mol. Cryst. Liq. Cryst.* 1995. V. 260. № 1–4. P. 531–546.
14. Konoplev V. A., Pershin V.I. K., Khomenko A. V. Reentrant mesomorphism induced by external field. *Mol. Cryst. Liq. Cryst.* 1997. V. 301. № 1–4. P. 31–37.
15. Konoplev V. A., Pershin V.I. K., Khomenko A. V., Borovik B. M. Novel bifurcation set cross-section method for topological analysis of phase diagrams // *Mol. Cryst. Liq. Cryst.* 1997. V. 299. № 1–4. P. 51–60.
16. Pershin V.I. K., Konoplev V. A. Multicritical effects and reentrant phase transitions in smectic liquid crystals of type C // *R.J. Phys. Chem.* 2004. V. 78. Suppl. 1. P. S43–S56.
17. Pershin V.I. K., Pershin V. K., Konoplev V. A., Lobaskin V. A., Khomenko A. V. Elementary catastrophe theory and the problems of molecular systems' stability // *The journal of physical chemistry.* 1992. T. 66 № 1. P. 246–273.

### References (transliteration)

1. Cladis P. E. The reentrant nematic, enhanced smectic A phases and molecular composition // *Mol. Cryst. Liq. Cryst.* 1981. V. 67. № 1–4. P. 177–192.
2. Cladis P. E., Bogardus R., Aadsen D. High pressure investigation of the reentrant nematic bilayer smectic A transition // *Phys. Rev. A.* 1978. V. 18. № 5. P. 2292–2306.
3. Sigaud G., Tinh N., Hardouin F. Occurrence of the reentrant nematic and reentrant smectic A phases in mesogenic series // *Mol. Cryst. Liq. Cryst.* 1981. V. 69. № 1–4. P. 81–102.
4. Tinh N. Polimorphisme des substances mesogenes a molecules polaires // *J. Chim. Phys.* 1983. V. 80. № 1. P. 83–98.
5. Shashidhar R., Ratna S., Surendranath V. Experimental studies on a triply reentrant mesogen // *J. Phys. Lett. (Paris).* 1985. V. 46. № 10. P. 445–450.
6. Shashidhar R., Venkataraman C., Abdoh M. Optical and DSC studies on pure nematogenic materials exhibiting reentrant isotropic state // *Acta Phys. Pol. A.* 1986. V. 69. № 4. P. 537–544.
7. Tinh N.J., Malthere J., Destrade C. Reentrant phenomenon in disc like liquid crystal // *Mol. Cryst. Liq. Cryst.* 1981. V. 64. № 1–4. P. 291–298.
8. Vaz N.A., Doane J.W. On the Landau description of the reentrant behavior in liquid crystals // *Mol. Cryst. Liq. Cryst.* 1983. V.101. № 1–4. P. 35–45.
9. De Zhen P. *Fizika zhidkikh kristallov.* M: Mir, 1977. 444 s.
10. Pershin V.I. K. Model kledis i problemy vozvratnogo mezomorfizma // *Zhurnal fizicheskoy himii.* 1993. T. 67. № 2. S. 328–338; Topologiya fazovoj diagrammy i trikriticheskoe povedenie smekticheskogo zhidkogo kristalla tipa A. *Zhurnal fizicheskoy khimii.* 1995. T. 69. № 1. S. 65–68.

11. Longa L. On the tricritical point of the nematic — smectic A phase transition in liquid crystals // J. Chem. Phys. 1986. V. 85. № 5. P. 2974–2985.
12. Pershin V.I. K., Khomenko A. V. Bifurcational analysis of the Prost model // Mol. Cryst. Liq. Cryst. 1992. V. 220. № 1–4. P. 159–166.
13. Konoplev V. A., Pershin V.I. K., Raevsky R. A. Topological types of phase diagrams of smectic A liquid crystal in external field // Mol. Cryst. Liq. Cryst. 1995. V. 260. № 1–4. P. 531–546.
14. Konoplev V. A., Pershin V.I. K., Khomenko A. V. Reentrant mesomorphism induced by external field. Mol. Cryst. Liq. Cryst. 1997. V. 301. № 1–4. P. 31–37.
15. Konoplev V. A., Pershin V.I. K., Khomenko A. V., Borovik B. M. Novel bifurcation set cross-section method for topological analysis of phase diagrams // Mol. Cryst. Liq. Cryst. 1997. V. 299. № 1–4. P. 51–60.
16. Pershin V.I. K., Konoplev V. A. Multicritical effects and reentrant phase transitions in smectic liquid crystals of type C // R.J. Phys. Chem. 2004. V. 78. Suppl. 1. P. S43–S56.
17. Pershin V.I. K., Pershin V. K., Konoplev V. A., Lobaskin V. A., Khomenko A. V. Elementarnaya teoriya katastrof i problemy ustojchivosti molekulyarnykh sistem // Zhurnal fizicheskoy khimii. 1992. T. 66. № 1. S. 246–273.

*Статья сдана в редакцию 21.07.2010.*

*Н. В. Буланов, Б. М. Гасанов*

## Интенсификация теплообмена и цепная активация центров кипения при использовании эмульсий с низкокипящей дисперсной фазой

*N. V. Bulanov, B. M. Gasanov*

## Heat transfer enhancement and boiling centers chain activation using the emulsions with low-boiling internal phase

### Аннотация

Рассмотрены особенности теплообмена при кипении эмульсий с низкокипящей дисперсной фазой. Предложена модель кипения эмульсий, получены формулы, определяющие момент перехода от конвективного режима к развитому кипению.

Предполагается, что центры кипения активируются под действием импульсов давления, возникающих при вскипании перегретых капелек дисперсной фазы. Для активации центров кипения необходимо, чтобы величина импульсов давления, возникающих при вскипании перегретых капелек дисперсной фазы эмульсии, была больше некоторого ее порогового значения. Если при вскипании какой-либо капельки дисперсной фазы инициируется вскипание следующих капелек, то наблюдается цепное вскипание эмульсии, момент возникновения которого зависит от так называемого критического объема  $V_C$  перегретой части эмульсии.

Получена формула для вычисления  $V_C$ , зная значение которого можно определить величину задержки начала кипения и плотность теплового потока.

### Ключевые слова:

интенсификация теплообмена, эмульсия, перегрев жидкости, взрывное вскипание, активация центров кипения.

### Abstract

There are described the peculiarities of heat transfer during emulsions' boiling with low-boiling internal phase. There is offered the model of emulsions' boiling, are found the formulae detecting the transfer moment from convective mode to developed boiling.

There is supposed that the boiling centers are activated by the influence of pressure pulses appearing during boiling of internal phase superheated drops. For boiling centers activation the pressure pulses' value appearing at emulsion internal phase superheated drops boiling should be more than its threshold value. If boiling of any internal phase drop causes other drops boiling than there is a chain emulsion boiling, the appearance moment depends on so called critical volume  $V_C$  of an emulsion superheated part.

There is found the formula for calculation  $V_C$ . If you know its value it is possible to detect overpoint delay value and heat flow density.

### Key words:

heat transfer enhancement, emulsion, liquid superheat, explosive boiling, boiling centers activation.

### Сведения об авторах:

**Николай Владимирович Буланов**, д-р техн. наук, профессор; кафедра «Физика» Уральского государственного университета путей сообщения. E-mail: [NBulanov@physics.usurt.ru](mailto:NBulanov@physics.usurt.ru).

**Байрамали Мехрали оглы Гасанов**, канд. техн. наук, научный сотрудник Института теплофизики УрО РАН. Работа выполнена при поддержке Российского фонда фундаментальных исследований, проект № 08–08–00174-а.

**About the author: Nikolay V. Bulanov**, DSc, Professor; 'Physics' department of the Ural State University of Railway Transport; Ekaterinburg, Russia. E-mail: [NBulanov@physics.usurt.ru](mailto:NBulanov@physics.usurt.ru).

**Bairamali Mekhrali O. Gasanov**, PhD, Scientific associate of The Institute of Thermal Physics of the Ural Branch of The Russian Academy of Sciences, Ekaterinburg, Russia.

*The work was executed with the support of the Russian Foundation of Fundamental Research, project № 08–08–00174-a.*

### Введение

Наиболее эффективными теплоносителями, предназначенными для охлаждения инструмента и оборудования, являются чистые жидкости и их смеси. Нами предлагается новый класс жидких смесей: нерастворимые или частично растворимые друг в друге жидкости; при их перемешивании образуется теплоноситель, представляющий собой эмульсию.

Нами исследуется тот случай, когда низкокипящая жидкость образует дисперсную фазу, а высококипящая — дисперсионную среду.

Приготовленные таким способом теплоносители наибольшую эффективность проявляют при использовании их в режиме пузырькового кипения. Рассматривается случай, когда кипит только дисперсная фаза приготовленной эмульсии. Парообразование в этом случае происходит не на охлаждаемой поверхности, как это обычно имеет место, а в тепловом пограничном слое, прилегающем к ней. Такое, казалось бы, не очень существенное отличие затрудняет образование сплошной паровой пленки и переход к малоэффективному режиму пленочного кипения, что существенно расширяет температурный интервал высокоэффективного режима пузырькового кипения.

Для кипения любого теплоносителя требуются центры кипения. При использовании обычных теплоносителей (чистых жидкостей и их растворов) такими центрами являются различные «дефекты» на теплоотдающей поверхности. В нашем случае капельки дисперсной фазы не контактируют с греющей поверхностью: они отделены от нее тонким слоем высококипящей жидкости — дисперсионной средой. Вскипание капелек дисперсной фазы в рассматриваемом случае может происходить только на центрах кипения, которые имеются или

возникают в объеме этих капелек. Но в обычных условиях число таких центров невелико, поэтому наблюдается чрезвычайно редкое вскипание капелек дисперсной фазы и режим теплообмена практически не отличается от конвективного. Переход к интенсивному режиму кипения возникает только тогда, когда температура поверхности  $T_w$  и теплоносителя в тепловом пограничном слое превышает температуру насыщенных паров  $T_S$  на некоторую величину  $\Delta T_{зд} = T_w - T_S$ , которую мы называем «температурной задержкой начала кипения» или просто «задержкой начала кипения». При достижении температуры  $\Delta T_{ц}$  (см. рис. 2) начинается интенсивное пузырьковое кипение, что проявляется в резком увеличении коэффициентов теплоотдачи (пять почти вертикальных кривых линий на рис. 2).

### Режим интенсивного (развитого) пузырькового кипения

При дальнейшем повышении тепловой нагрузки интенсивность теплоотдачи продолжает резко увеличиваться; сначала пропадает зависимость  $q$  и  $\alpha$  от дисперсионного состава (все линии соединяются в одну), а затем исчезает зависимость  $q$  и  $\alpha$  от температуры греющей поверхности (на рис. 2 эта область не показана). Наблюдается режим интенсивного (развитого) пузырькового кипения. Ранее нами была предложена модель кипения эмульсии при больших плотностях  $q$  и  $\alpha$ . Используя эту модель, мы получили формулу (1), которая хорошо описывает весь массив экспериментальных данных при высоких  $q$ :

$$Nu = AC_0 Ar Pr M^{-1} [1 - \exp(-Jv\tau)],$$

$$\tau = \frac{18\rho_{ph} D^2}{Nu Ar \eta_e}. \quad (1)$$

Здесь  $Nu$ ,  $Ar$ ,  $M$  — безразмерные критерии подобия Нуссельта, Архимеда и метастабильности;  $v$  — объем капелек дисперсной фазы;  $C_0$  — безразмерный параметр, определяемый концентрацией дисперсной фазы;  $\tau$  — время нахождения капелек дисперсной фазы в тепловом пограничном слое;  $\rho_{ph}$  — плотность дисперсной фазы в жидком состоянии;  $\eta_e$  — коэффициент вязкости дисперсионной среды (эмульсии);  $D$  — диаметр образующихся при их вскипании пузырьков пара;  $A$ ,  $J$  — подгоночные параметры. Коэффициент  $A$  определяется формой теплоотдающей поверхности, а  $J$  имеет физический смысл частоты образования центров кипения в капельках дисперсной фазы.

Непредвиденным фактом при использовании формулы (1) оказалось то, что для описания экспериментальных данных необходимо было брать необычайно высокие численные значения  $J$ , которые существенно превосходили значения, полученные разными авторами при традиционных

способах перегрева жидкости [2]. Расхождение доходит до 20 порядков.

Для объяснения этого факта и описания теплоотдачи при малых и средних плотностях теплового потока (см. рис. 2) предложенная модель была дополнена моделью низкотемпературного центра кипения (вскипания) [3] и их цепной активации, которая включает явление взрывного вскипания капелек дисперсной фазы эмульсии.

### Взрывное вскипание капелек дисперсной фазы и критический объем эмульсии

В любой жидкости всегда присутствуют загрязняющие ее твердые микроскопические частицы и растворенные газы (воздух). Частицы имеют произвольную форму, их средний поперечный размер существенно меньше  $10^{-7}$  м, поэтому они находятся в постоянном броуновском движении, не всплывают и не оседают на дно сосуда.

Твердые частицы адсорбируют растворенные в жидкости газы и могут

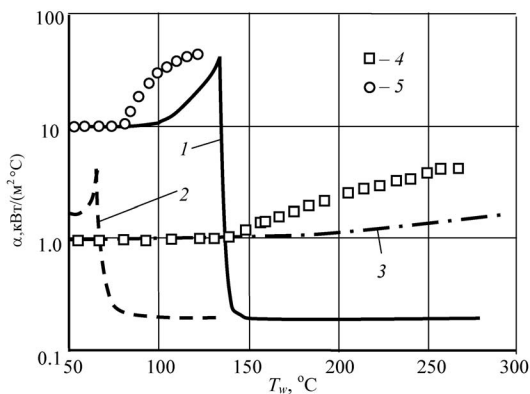


Рис. 1. Сравнительная эффективность теплоотдачи к чистым жидкостям и к эмульсиям при  $T_0 = 25^\circ\text{C}$

1 — вода; 2 — хладон-113; 3 — чистая жидкость ПЭС-5; 4 — эмульсия «вода/ПЭС-5» при  $C = 1,0$  об.%; 5 — эмульсия «хладон-113/вода» при  $C = 0,5$  об.%

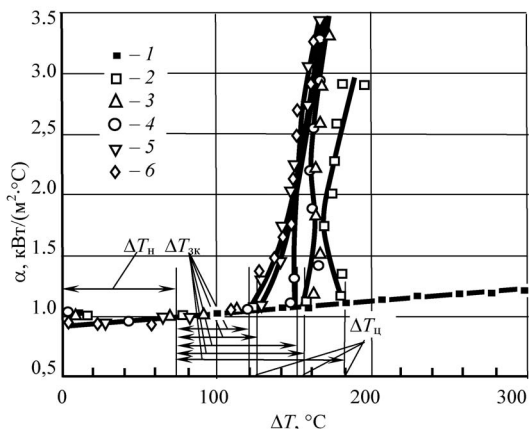


Рис. 2. Зависимость коэффициента теплоотдачи  $\alpha$  от разности температур  $\Delta T$  нагревателя  $T_w$  и теплоносителя  $T_0$  для эмульсий вода/масло VM-1C для вертикальной платиновой проволоки диаметром 0,10 мм,  $T_0 = 21,8^\circ\text{C}$   
1 — чистое масло VM-1C; 2–6 — эмульсии «вода/масло VM-1C» с концентрациями  $C = 0, 0,1, 0,3, 0,6, 1,0, 3,0$  об. % соответственно

объединяться в группы с образованием некоторых неустойчивых агрегатов — флоккул. Процесс образования и распада флоккул происходит в жидкости непрерывно. При попадании флоккул в тепловой пограничный слой их температура повышается. А так как растворимость газа в жидкости в тепловом пограничном слое уменьшается, то это приводит к быстрому увеличению объема газа, адсорбированного на поверхности частиц и образованию газовых пузырьков. В ряде случаев, в соответствии с законами равновесия, оказывается, что адсорбированный газ экранирован от окружающей среды частицами флоккулы. Если объем адсорбированного газа достигает размера критического пузырька [2], то он становится центром кипения, однако только в том случае, когда поверхность пузырьков граничит с перегретой жидкостью, а не отделяется от окружающей жидкости твердыми частицами.

При случайном вскипании любой из капелек дисперсной фазы в тепловом пограничном слое возникает ударная волна, характеризующаяся некоторым импульсом давления. При своем движении в эмульсии ударная волна разрушает встречающиеся на пути флоккулы — они распадаются на отдельные частицы. Адсорбированный частицами газ, ранее находящийся между ними и не соприкасающийся с перегретой жидкостью, теперь такой контакт имеет. В результате, освободившийся пузырек газа либо сразу же становится центром кипения, либо через некоторый короткий промежуток времени, в течение которого его объем вырастет до критического за счет диффузии газа из окружающей жидкости и за счет испарения перегретой жидкости. Этот промежуток времени мы называем временем активации низкотемпературных центров кипения. Капелька дисперсной фазы, содержащая

такой пузырек, вскипает, что приводит к новой ударной волне, к новому разрушению флоккул и новому вскипанию капелек. Такой процесс многократно повторяется, вызывая лавинообразное вскипание капелек дисперсной фазы.

Взрывное вскипание жидкости можно осуществить в следующих простых опытах с дистиллированной и водопроводной водой. Результаты получаются примерно одинаковыми. Схема экспериментальной установки приведена на рис. 3. Толстостенный стакан 3 емкостью 250 мл, заполненный водой, помещали в микроволновую печь 1 и нагревали до вскипания воды. Далее печь открывали (при этом нагрев воды автоматически прекращался) и по стенке стакана производили удар заданной силы при помощи стального шарика 7, подвешенного на нити 5 к консоли 2. Величина силы удара задавалась высотой его падения  $\Delta h$ . Результаты опытов регистрировались при помощи цифровой кинокамеры 6.

На рис. 4, а приведен кадр, полученный сразу после открытия микроволновой печи, кипение воды в стакане за время открывания печи (0,3 с) закончилось. На рис. 4, б зафиксировано резкое вскипание воды по всему

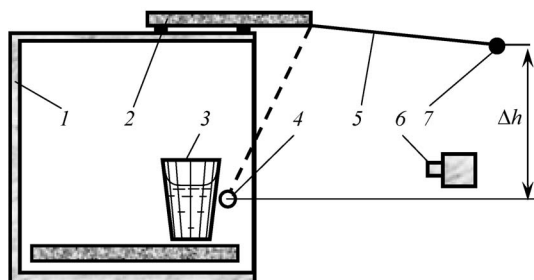


Рис. 3. Схема установки для изучения взрывного вскипания жидкости при малых ее перегревах

- 1 — микроволновая печь; 2 — консоль;
- 3 — толстостенный стакан с водой;
- 4, 7 — шарик; 5 — нить для подвески шарика;
- 6 — фотокамера

своему объему, которое происходит сразу же после удара о стакан стального шарика. Масса шарика около 10 г, высота падения  $\Delta h = 200$  мм. За время, необходимое для возврата шарика в исходное состояние (1,0 с), все образовавшиеся пузыри успевают всплыть, а объем воды в стакане становится чистым и прозрачным, свободным от паровой фазы (рис. 4, в). Новый удар шарика по стенке стакана приводит к новому вскипанию воды (рис. 4, г). Взрывное вскипание воды может наблюдаться до четырех раз, но с каждым разом интенсивность вскипания уменьшается. После третьего раза возникало не более десятка пузырьков пара, а после четвертого — лишь один-два пузырька, и то не каждый раз.

Предварительные опыты показали, что вода, при нагреве ее в микро-

волновой печи, первоначально вскипает на центрах кипения, расположенных на стенках стакана. После открытия дверки печи кипения практически сразу же прекращается, а температура воды в стакане превышает температуру ее насыщенных паров на 1–3 °С. При таком перегреве спонтанное образование центров кипения практически исключено [2]. При ударе шариком по стенке стакана в жидкости возникает импульс давления, который и приводит к активации центров кипения в объеме жидкости. Кроме того, проведенные опыты показали, что способные к активации центры кипения непрерывно образуются (а значит, и непрерывно и исчезают), иначе не было бы второго и третьего вскипаний жидкости. Число центров кипения, способных к активации, зависит от величины перегрева  $\Delta T = T - T_s$ .

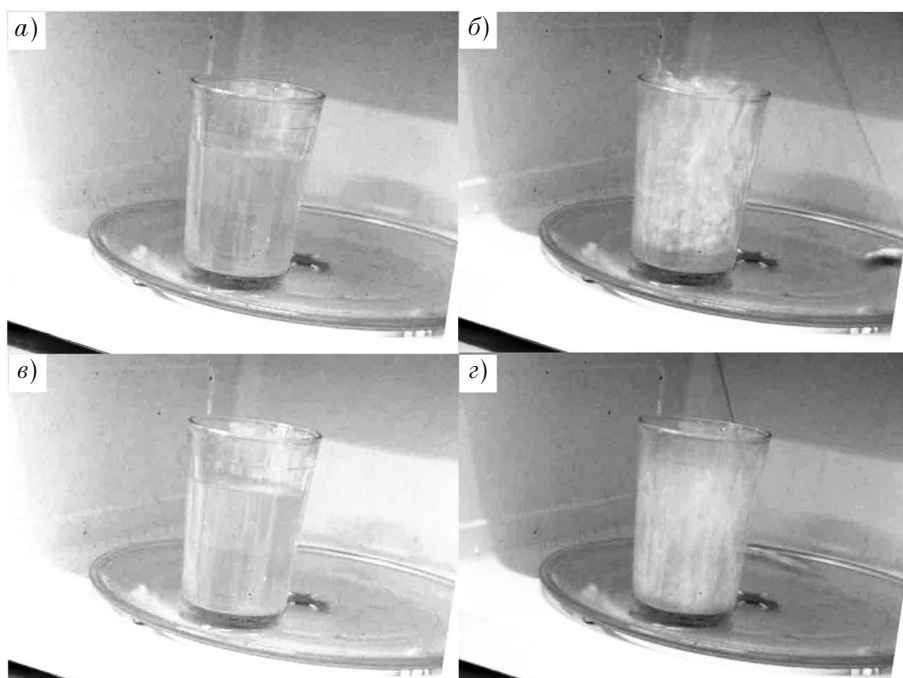


Рис. 4. Активация низкотемпературных центров кипения под действием импульсов давления

а — дистиллированная вода при температуре  $T \approx 102$  °С; б — активация центров кипения и вскипание воды при ударе шариком по стенке стакана; в — вода в стакане через 0,5–1,0 с после первого вскипания; г — активация центров кипения и вскипание воды при повторном ударе шариком по стенке стакана

Нами исследуется процесс кипения эмульсии, когда вскипают только капельки дисперсной фазы.

Для описания их вскипания можно использовать теорию точечного взрыва. Для максимального давления  $p_m$  и импульса  $M$  давления, передаваемого ударной волной какому-либо телу с характерным линейным размером  $L$ , имеются формулы

$$p_m = f_1 E/R^3, M = f_3 (\rho E/R)^{1/2} L^2, \quad (4)$$

где  $E$  — энергия взрыва,  $R$  — расстояние от места взрыва до места наблюдения,  $\rho$  — плотность среды, в которой распространяется ударная волна,  $f_1$  и  $f_3$  — эмпирические константы. При вскипании капелек перегретой жидкости энергия взрыва может быть определена по одной из следующих формул:

$$E = rvp \text{ или } E = c_p v \rho \Delta T, \quad (5)$$

где  $r$ ,  $c_p$ ,  $\rho$  и  $\Delta T$  — теплота фазового перехода (испарения), теплоемкость, плотность и величина перегрева вскипающей жидкости;  $v = \pi d^3/6$  — объем вскипающих капелек;  $d$  — их диаметр.

Воспользовавшись теорией подобия, можно определить константы  $f_1$  и  $f_3$ ; тогда для капельки воды диаметром  $d = 0,1$  мм, нагретой в масле до  $300^\circ\text{C}$  на расстоянии  $R = 5$  мм от нее, получим  $p_m = 37$  кгс/см<sup>2</sup>. Если же вместо капельки перегретой воды в эту же точку поместить кусочек тротила той же массы, то при его взрыве возникнет давление, равное 68 кгс/см<sup>2</sup>. Следовательно, разрушающая сила перегретой воды и тротила имеют один и тот же порядок.

Пусть для активации какого-либо центра кипения (для разрушения флоккулы) необходим импульс давления  $M_{p0}$ . Тогда из выражения (4)  $M_{p0} = f_3 (\rho E/R_0)^{1/2} L^2$  найдем радиус сферы  $R_0$ , внутри которой будут активированы все способные для

активации центры кипения; центр рассматриваемой сферы, очевидно, находится в центре вскипевшей капельки.

Из формул (5) следует, что чем меньше объем капелек  $v$ , тем меньше запасенной тепловой энергии  $E$  выделяется при ее вскипании и тем меньше величина возникающего при вскипании капельки импульса давления  $M_p$  (4). Однако при одной и той же объемной концентрации  $C$  в эмульсиях с крупными капельками  $v_2$  формируются импульсы давления большей амплитуды по сравнению с импульсами, возникающими в эмульсиях с маленькими капельками  $v_1$  ( $v_2 > v_1$ ). Но так как расстояния между капельками в мелкодисперсной эмульсии меньше (при постоянстве концентрации  $C$ ), чем в крупнодисперсной, то и энергии  $E$ , необходимой для активации нового центра кипения, также требуется значительно меньше. Необходимо определить, при каких условиях возможна цепная активация центров кипения, а следовательно, и взрывное вскипание эмульсии. Если внутри сферы с радиусом  $R_0$  окажется одна или более капелек, в которых активируются новые центры кипения, то процесс вскипания будет непрерывно продолжаться или взрывообразно нарастать до вскипания всех перегретых капелек. Условия, при которых наступает взрывообразное вскипание эмульсии, будем называть критическими.

Для реализации взрывного вскипания эмульсии получено условие:

$$\frac{V_c C}{v} \left[ 1 - \exp\left(-\frac{V_c C}{v}\right) \right] \times \\ \times [1 - \exp(-jCV_c)] = 1, \quad (7)$$

где величина  $V_c$  — это минимальный объем эмульсии, при котором возможно взрывное вскипание эмульсии (это критический объем эмульсии);

$j$  — плотность флоккул, способных к образованию центров кипения. В соответствии с предлагаемой моделью центров кипения, имеем соотношение  $J = j\tau$ . Заметим, что в наших опытах время  $\tau$  нахождения эмульсии в тепловом пограничном слое совпадает со средним временем  $\tau_{\text{акт.}}$  активации центров кипения под действием импульсов давления.

**Самоподдерживающаяся цепная активация низкотемпературных центров кипения при теплообмене с эмульсией**

Рассмотрим условия, при которых непрерывно поддерживаются цепная активация центров кипения, цепное вскипание капелек дисперсной фазы, что соответствует интенсивному режиму теплоотдачи, соответствующего высоким частотам зародышеобразования  $J$ .

Воспользуемся соотношением (7) и найдем связь между величиной задержки начала кипения  $\Delta T_{\text{зд}}$  и концентрацией  $C$  дисперсной фазы эмульсии, при которой начинается интенсивное кипение. Начало интенсивного кипения соответствует некоторому предельному случаю, когда начинается (или прекращается) цепная активация центров кипения. Очевидно, предельный случай будет наблюдаться при  $(V_C C/v) \rightarrow \infty$ , тогда выражение в первых квадратных скобках будет равно 1. Случай, когда  $(V_C C/v) \rightarrow 0$ , нами не рассматривается как нереальный, так как в этом случае объем дисперсной капелька  $v$  должен быть больше рассматриваемого критического объема  $V_C$ . Далее, из (7) легко получить два соотношения, удовлетворяющие рассмотренному предельному случаю

$$V_C = \frac{1}{C} \sqrt{\frac{v}{j}} = \frac{1}{C} \sqrt{\frac{\pi d^3}{6j}} \text{ при } j \rightarrow 0 \quad (8)$$

$$\text{и } V_C = \frac{v}{C} = \frac{\pi d^3}{6C} \text{ при } j \rightarrow \infty. \quad (9)$$

Для монодисперсной эмульсии из соотношений (4) и (5) получим

$$M = f_3 \left( \rho_m \frac{\pi d^3}{6} \rho_{ph} \Delta T / R \right)^{1/2} L^2$$

$$\text{и } R = \frac{L^4 f_3^2 \rho_{ph} \pi d^3 \rho_m \Delta T}{6M^2}. \quad (10)$$

Для рассматриваемого предельного случая имеем  $4\pi R_0^3/3 = V_C$ , тогда с учетом (8) и (9) будем иметь

$$\frac{4}{3} \pi R_0^3 = \frac{1}{C} \sqrt{\frac{\pi d^3}{6j}} \text{ при } j \rightarrow 0 \quad (11)$$

или

$$\frac{4}{3} \pi R_0^3 = \frac{\pi d^3}{6C} \text{ при } j \rightarrow \infty. \quad (12)$$

После подстановки  $R_0$ , найденного из выражения (10), в соотношение (11) и (12) получим для заданной концентрации  $C$  и диаметра капелек  $d$  и для любых других концентраций  $C_i$  и диаметров  $d_i$ :

$$\begin{aligned} \frac{4}{3} \pi \left( \frac{L^4 f_3^2 \rho_{ph} \pi d^3 \rho_m \Delta T_{\text{зд}}}{6M^2} \right)^3 &= \frac{1}{C} \sqrt{\frac{\pi d^3}{6j}}, \\ \frac{4}{3} \pi \left( \frac{L^4 f_3^2 \rho_{ph} \pi d_i^3 \rho_m \Delta T_{\text{зд}i}}{6M^2} \right)^3 &= \\ &= \frac{1}{C_i} \sqrt{\frac{\pi d_i^3}{6j}}, \end{aligned} \quad (14)$$

$$\text{и } \frac{4}{3} \pi \left( \frac{L^4 f_3^2 \rho_{ph} \pi d^3 \rho_m \Delta T_{\text{зд}}}{6M^2} \right)^3 = \frac{\pi d^3}{6C},$$

$$\frac{4}{3} \pi \left( \frac{L^4 f_3^2 \rho_{ph} \pi d_i^3 \rho_m \Delta T_{\text{зд}i}}{6M^2} \right)^3 = \frac{\pi d_i^3}{6C_i}. \quad (15)$$

Из соотношений (14) и (15) получаем

$$\Delta T_{\text{зди}} = \Delta T_{\text{зди}} \left( \frac{\rho_{ph1} d_1^3 \rho_{m1}}{\rho_{phi} d_i^3 \rho_{mi}} \right) \times \left( \frac{C_1}{C_i} \right)^{-1/3} \left( \frac{d_i^3 j_1}{d_1^3 j_i} \right)^{1/6} \text{ при } j \rightarrow 0 \quad (16)$$

и

$$\Delta T_{\text{зди}} = \Delta T_{\text{зди}} \left( \frac{\rho_{ph1} d_1^2 \rho_{m1}}{\rho_{phi} d_i^2 \rho_{mi}} \right) \times \left( \frac{C_1}{C_i} \right)^{-1/3} \text{ при } j \rightarrow \infty. \quad (17)$$

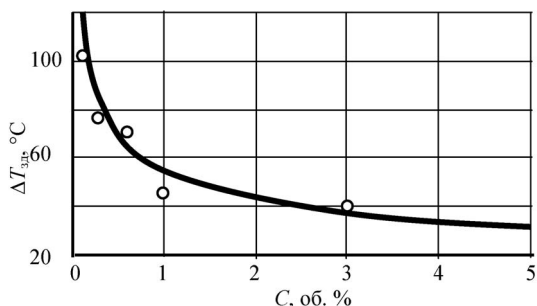


Рис. 5. Связь между концентрацией дисперсной фазы и температурой задержки начала кипения для эмульсии «вода/масло ВМ-1С»

На рис. 5 приведены экспериментальные данные для задержки начала кипения  $\Delta T_{\text{зди}}$  от концентрации эмульсии  $C$  (исходные данные приведены на рис. 2). Здесь же методом наименьших квадратов построена зависимость  $\Delta T_{\text{зди}} = k/\sqrt[3]{C}$ , которая следует из уравнений (16), (17), где  $k$  — коэффициент, равный 11 К для эмульсии «вода/масло ВМ-1С».

### Выводы

Продолженная работа показывает, что предполагаемое нами цепное вскипание капелек эмульсии вполне может иметь место. Движущей силой цепной активации центров кипения и

вскипания капелек дисперсной фазы эмульсии являются импульсы давления, возникающие при вскипании капелек. Разброс экспериментальных точек может быть обусловлен тем, что опыты проводились с полидисперсными эмульсиями, а расчетные формулы получены для монодисперсной эмульсии. Кроме того, средний и максимальный диаметры капелек дисперсной фазы могли изменяться при работе с эмульсиями разной концентрации несмотря на то, что они готовились путем разбавления из одних и тех же исходных эмульсий по одним и тем же методикам. ■

### Литература

1. Буланов Н. В. Расчет плотности теплового потока при кипении дисперсной фазы эмульсии // Теплофизика высоких температур, 2001. Т. 39, № 3. С. 495–502.
2. Теплофизические свойства жидкостей в метастабильном состоянии: справочник / В. П. Скрипов, Е. Н. Синицын, П. А. Павлов, Г. В. Ермаков, Г. Н. Муратов, Н. В. Буланов, В. Г. Байдаков. М.: Атомиздат, 1980. 208 с.
3. Буланов Н. В., Гасанов Б. М., Муратов Г. Н. Критический объем и цепная активация центров кипения в эмульсии с низкокипящей дисперсной фазой // Теплофизика высоких температур, 2009, Т. 47, № 6. С. 899–904.

### Literature

1. Bulanov N. V. Calculation of heat flow density at boiling of emulsion disperse phase // Thermal physics of high temperatures, 2001. — V. 39, № 3. — P. 495–502.
2. Thermophysical properties of liquids in metastable state: manual / V. P. Skripov, E. N. Sinitsyn, P. A. Pavlov, G. V. Ermakov, G. N. Muratov, N. V. Bulanov and others — M.: Atomizdat, 1980. 208 p.

3. Bulanov N. V., Gasanov B. M., Muratov G. N. Critical volume and chain activation of boiling centers in emulsion with low-boiling internal phase // Thermal physics of high temperatures, 2009. — V. 47, № 6. — P. 899–904.

### **References (transliteration)**

1. Bulanov N. V. Raschet plotnosti teplovogo potoka pri kipenii dispersnoj fazy emulsii teplofizika vysokikh temperatur 2001. — T. 39 № 3. — S. 495–502.

2. Teplofizicheskie svoystva zhidkостей v metastabilnom sostoyanii: spravochnik / V. P. Skripov, E. N. Sinitsyn, P. A. Pavlov, G. V. Ermakov, G. N. Muratov, N. V. Bulanov i t. d. — M. : Atomizdat 1980. 208 s.

3. Bulanov N. V., Gasanov B. M., Muratov G. N. Kriticheskij objom i tsepnaya aktivatsiya tsentrov kipeniya v emulsii s nizkokipyacshej dispersnoj fazoj // Teplofizika vysokikh temperature, 2009. — T. 47, № 6. — S. 899–904.

*Статья сдана в редакцию 28.05.2010*

# ЭКОНОМИЧЕСКАЯ ТЕОРИЯ

*Т. В. Кошкарлова*

УДК 656.2.078

## Инновационное развитие транспортного комплекса

*T. V. Koshkarova*

UDC 656.2.078

## Innovative development of transportation industry

*(Продолжение. Начало см. в №№ 1, 2009, 2(6), 2010)*

### **Аннотация**

Для России определение приоритетных направлений развития инновационного транспортного комплекса относится к задаче, имеющей первостепенное значение, так как транспорт — одна из крупнейших базовых отраслей экономики, важнейшая часть производственной инфраструктуры.

О месте и значении инновационного транспортного комплекса в экономике России свидетельствует существенная доля транспортных услуг в валовом национальном продукте страны. Значителен удельный вес транспортного комплекса в основных производственных фондах страны, инвестициях в основной капитал, в численности занятых в нем работников. Состояние инновационного транспортного комплекса в настоящее время нельзя считать оптимальным, а уровень его развития достаточным. Наиболее значимыми проблемами, сдерживающими дальнейшее развитие транспортного комплекса и в целом экономики, являются несоответствие уровня развития транспортного комплекса текущим и стратегическим потребностям экономики и населения; территориальные диспропорции в развитии транспортной инфраструктуры и уровне транспортной доступности различных территорий; несоответствие технического состояния транспортной инфраструктуры современным требованиям, высокая степень износа активной и пассивной части основных фондов.

### **Ключевые слова:**

инновационный транспортный комплекс, транспортная инфраструктура, стабилизационный фонд, транспортные услуги, виды транспорта.

### **Abstract**

The definition of priority directions of innovative transportation industry development is one of the paramount tasks for Russia as transport is one of the basic economic branches and essential part of production infrastructure.

Considerable part of transportation services in the gross national product proves the place and significance of innovative transportation industry in Russian economics. The specific weight of transportation industry is quite important in the main production funds of the country, investments in basic capital, in the number of employed people. At present time the state of the innovative transportation industry can not be estimated as the optimal one and its development level is not adequate. The most significant problems, which restrain the further development of transportation industry and the economics as a whole, are as follows: the unbalance of transportation industry development and strategic economics and population demands; territorial disproportions in transport infrastructure and the level of transport accessibility to different areas; mismatch of transport infrastructure technical state to the modern requirements, high wear rate of the active and passive part of key assets.

### **Key words:**

innovative transportation industry, transport infrastructure, stabilization fund, transportation services, means of transport.

Сведения об авторах: **Татьяна Владимировна Кошкарлова**, канд. эконом. наук, доцент, зав. кафедрой «Экономическая теория и мировая экономика» Уральского государственного университета путей сообщения; Екатеринбург, Россия. **Тел.: 358-56-02.**

**About the author: Tatjana V. Koshkarova**, PhD, Associate professor, Head of 'Economics and World Economy' department of the Ural State University of Railway Transport; Ekaterinburg, Russia. **Tel.: +7 (343) 358-56-02.**

**Б**лагополучие России в XXI в. напрямую зависит от наших успехов в развитии рынка идей, изобретений, открытий, инновационной экономики, нового качества жизни.

Пока росли цены на нефть, были иллюзии, что структурные реформы могут подождать. Бизнес воспользовался сложившимися ценами на нефть, форсировал рост старой, сырьевой экономики, а формирование новой экономики, создающей уникальные технологии и инновационные продукты, игнорировал.

Модернизация и технологическое обновление всей производственной сферы — это шанс для нашей страны на выживание в современном мире. Предлагается много идей по увеличению инвестиций в инфраструктуру. Но государство и бизнес не торопятся с инвестициями.

Инвестиции через обновление основного капитала являются важнейшим фактором повышения эффективности производства и экономического роста. Недостаток инвестиций, напротив, тормозит внедрение инноваций в производство и, следовательно, сдерживает и повышение эффективности производства, и экономический рост. Инновациям без инвестиций не обеспечить экономический рост.

Социальный аспект инвестиций состоит в повышении качества жизни населения. Инвестиционные процессы определяются динамикой ВВП, валовых сбережений и валовых накоплений. В России с 2000 г. были достаточно высокие темпы роста ВВП и высокая норма сбережений. Объемы валового сбережения за 2000–2004 гг. увеличились в 2,1 раза и достигли к 2004 г. 5506,2 млрд руб., а валового накопления в инвестициях в основной капитал стало меньше чем валового сбережения на 1974 млрд руб. В результате, недофинансированы

инвестиционные ресурсы в обновление основного капитала, а их доля в ВВП в 2001–2004 гг. не достигает 17 %.

Объем инвестиций предопределяет валовое накопление, зависит от абсолютной величины инвестиций и нормы накопления. Норма мирового валового накопления составляет 25 %. В развитых странах ее уровень составит от 18,5 % (США), до 24 % (Япония). В развивающихся странах она достигнет 29 %. В странах с переходной экономикой (без Китая и Вьетнама) — 23 %. В СССР норма валового накопления (отношение накопления к национальному доходу) составляла в 1985–1991 гг. от 32 до 37,1 %. В современной России: в 2000 г. — 18,7 %, 2006 г. — 20,3. Валовое накопление основного капитала в 2000 г. составило 15,7 %, а в 2006 г. — 18 % ВВП.

Учитывая сравнительно невысокую норму инвестиций в основной капитал, невозможно рассчитывать на увеличение темпов роста ВВП даже в обозримой перспективе. Причем в России вполне достаточно денежных средств, о чем свидетельствует одна из самых высоких в мире норма валовых сбережений — 32,9 %, в 2004 г. превысившая норму валовых накоплений (21,1 %) на 11,8 процентных пункта. Это превышение имеет устойчивую тенденцию. Когда сбережения не превращаются в инвестиции, как в нашей стране, они утекают за границу.

Превышение сбережений над инвестициями в России объясняется следующими причинами: существенная доля сбережений направляется на увеличение золотовалютных резервов и погашение внешнего государственного долга; большая доля разницы между сбережениями и инвестициями падает на дисбаланс участия нашей страны в международном движении капитала (превышение вывоза капитала над ввозом).

Главная функция инвестиций — создание предпосылок для повышения качества жизни людей и обеспечение структурных преобразований в экономике. Недостаточный объем инвестиций в реальный сектор экономики повышает уровень износа основных производственных фондов, снижает коэффициент их обновления. Этот индикатор отражает долю новых основных фондов в их общем объеме. Коэффициент обновления основных фондов по экономике в целом составлял в 1990 г. 5,8 %, в 2003 г. — 2. В промышленности он снизился в 4,2 раза (с 6,7 до 1,6 %), в сельском хозяйстве — в 8,8 (с 7 до 0,8), в строительстве — в 5,4 (с 11,8 до 2,2), в науке и научном обслуживании — в 5,8 (с 7,5 до 1,3).

Износ основных фондов в целом по экономике, наоборот, увеличился. В 2005 г. он составил 45,1 %, в промышленности — 50,6, износ машин и оборудования — 57,3.

Инновации влияют на эффективность производства посредством внедрения новейших методов производства. Однако инновации, как и инвестиции, в производительности труда и энергоотдаче имеют неодинаковое значение. Изменений в производительности труда на эти факторы приходится 90 %, а в энергоотдаче — только 18. В мире существует избыток трудовых ресурсов и нарастающий дефицит энергоресурсов. Именно этот дефицит выступает главным барьером экономического развития. Поэтому научной мысли необходимо обратить особое внимание на исследование проблем энергосберегающих технологий.

Затраты на нововведения в каждой стране определяются объемами капитальных вложений. В современной российской экономике объем этих затрат недостаточен для перевооружения производства.

Сдерживание инновационного развития объясняется тем, что до сих пор

так и не определена стратегия государственной инновационной политики, которая должна определить роль и место государства в обеспечении инновационного процесса, в развитии нормотворчества в инновационной сфере.

Эффективность производства во многом зависит от экономии материальных и финансовых ресурсов (наша страна остается одной из самых расточительных).

Россия потребляет больше газа, чем Англия, Германия, Италия, Франция и Япония вместе взятые. В то же время ВВП этих пяти стран превосходит наш примерно в 13 раз.

Согласно данным МВФ, Банк России положил на счета в иностранные банки средства на сумму 106,5 млрд долл. — 37 % (!) от всего объема международных резервных активов России. Иную политику проводит США, которые не отдали иностранным банкам ни цента от своего резерва. Аналогичная политика — у Японии, Норвегии и многих других стран.

В 1992–1999 гг. за приватизацию 133,2 тыс. предприятий (в том числе 500 крупнейших) и объектов государство получило всего лишь 9,2 млрд долл. Япония за приватизацию (в 1990–1998 гг.) получила 46,7 млрд долл., Австралия — 48 млрд, Франция — 48,5 млрд, Италия — 63,5 млрд, Великобритания — 66 млрд, Бразилия — 66,7 млрд. Небольшая Венгрия, в которой доля государственной собственности была невелика, от ее продажи выручила 11,3 млрд долл., то есть на 23 % больше, чем Россия. Дело в том, что в России предприятия и объекты продавали по предельно заниженным ценам: «Норильский никель» был продан «Интерросу» за 170 млн долл. (официально «Норильский никель» был застрахован за границей (!) на 30 млрд долл.)

Практика и характер приватизации в России предопределили и фак-

торы накопления богатства у небольшой кучки российских граждан. В современной России крупнейшие состояния, созданные интеллектуальным трудом, составляют всего лишь 4 %, а в США — 80 %, в Англии — 63 %. Следовательно, инвестициям в науку и в модернизацию производства неоткуда появиться.

Переход экономики России на инновационный путь развития на фоне постоянно увеличивающегося спроса на транспортно-логистические услуги требует соответствующего научно-технологического развития транспорта.

Для России эффективное развитие инновационного транспортного комплекса — важнейший фактор роста экономической активности, расширения производства.

О месте и значении инновационного транспортного комплекса в экономике России свидетельствует существенная доля транспортных услуг в валовом национальном продукте, значительный удельный вес транспортного комплекса в основных производственных фондах страны, инвестициях в основной капитал, численности занятых в нем работников, а также приобретении энергоресурсов, металлопроката, материалов, машин, оборудования.

Развитие транспортного комплекса и в целом экономики сдерживают несоответствие уровня развития транспортного комплекса текущим и стратегическим потребностям экономики и населения. Темпы развития инфраструктурной сети не отвечают долгосрочным тенденциям роста спроса на грузовые и пассажирские перевозки; территориальные диспропорции в развитии транспортной инфраструктуры и уровне транспортной доступности различных территорий (так, северные и восточные территории, в отличие от южных районов, обладающих высокой плотностью транспортных путей, характеризуются слабым развитием транспортной инфраструктуры, препятствующим дальнейшему хозяйственному освоению этих районов); несоответствие технического состояния транспортной инфраструктуры современным требованиям, высокая степень износа активной и пассивной части основных фондов (в целом по транспорту, доля полностью изношенных основных фондов выросла с 4,6 % в 2006 г. до 7,9 % к началу 2009 г.; таблица 1); недостаточный уровень развития комбинированных перевозок (неразвитость механизмов координации и комплексного развития видов транспорта, что ведет к снижению

Таблица 1

Удельный вес полностью изношенных основных фондов  
в общем объеме основных фондов, %, на конец года

Транспорт	2006 г.	2007 г.	2008 г.
Транспорт, всего (с учетом трубопроводного), из него по видам деятельности:	4,6	5,9	7,9
железнодорожный	1,2	1,3	3,4
автомобильный (автобусный) пассажирский, подчиняющийся расписанию	20,9	21,9	19,6
городской электрический	6,5	13,1	14,1
автомобильный грузовой	14,6	16,5	14,3
внутренний водный	5,2	5,5	12,4
воздушный	26,5	26,4	26,0

эффективности работы всей транспортной системы); недостаточный уровень надежности перевозок, высокие транспортные издержки, некачественное транспортное обслуживание; низкий уровень инновационной составляющей в развитии транспортного комплекса; недостаточный уровень внедрения информационных технологий в перевозочном процессе; отсутствие необходимой комплексности в управлении развитием и функционированием транспортного комплекса, в координации и взаимодействии различных видов транспорта.

Железнодорожный транспорт — одна из наиболее перспективных инфраструктурных отраслей, обладающая потенциалом долгосрочного экономического роста и обеспечивающая развитие всей страны в целом. Но и в работе железнодорожного транспорта существуют проблемы, связанные с дефицитом пропускной способности на некоторых участках железных дорог, технологическими проблемами в работе и развитии отдельных элементов и подсистем, недостаточным развитием интермодальных схем перевозок, отсутствием высокоскоростного движения.

Объемы работы железнодорожного транспорта (как основного грузоперевозчика) напрямую зависят от объемов промышленного производства. Таким образом, общая тенденция роста и снижения объемов перевозок грузов и грузооборота железнодорожного транспорта практически идентична тенденции промышленного производства. Справедливо предположить, что скорейшее восстановление тенденций роста объемов производства в грузобразующих отраслях обеспечит соответствующее увеличение объемов перевозок железнодорожным транспортом.

Автомобильный транспорт благодаря своим преимуществам (высокая скорость, мобильность, гибкая

система тарифов, работа «с колес») — самый востребованный транспорт в условиях рыночной экономики, и в хозяйственном комплексе страны его применение будет только увеличиваться.

Проблемами грузового и пассажирского автомобильного транспорта являются низкая обновляемость подвижного состава, недостаточный уровень развития системы страхования ответственности и рисков, связанных с автотранспортной деятельностью.

Сеть отечественных автомобильных дорог (федеральных и региональных) исчерпала резервы пропускной способности. В неудовлетворительном состоянии находятся дорожная одежда и искусственные сооружения, технические характеристики дорог не соответствуют требованиям современного грузопотока. Рост уровня автомобилизации приводит к увеличению интенсивности движения и исчерпанию пропускной способности на основных направлениях, в крупных городах и на подходах к ним, что приводит к потере времени, снижению производительности труда, росту транспортной составляющей в конечной цене продукции, загрязнению окружающей среды, снижению уровня безопасности дорожного движения.

Проблемы развития дорожной отрасли: противоречие между огромным потенциалом страны (территориальным, природно-сырьевым, промышленным) и низким уровнем обеспеченности автомобильными дорогами, что категорически не отвечает долгосрочным тенденциям развития грузовых и пассажирских автомобильных перевозок; существующая автодорожная сеть не соответствует международным требованиям, что сдерживает международные транспортные потоки и сопровождающие их финансовые ресурсы и, соответственно, процесс интеграции России

с евроазиатской сетью автомобильных дорог; низкая инвестиционная привлекательность дорожной отрасли не соответствует потребности в привлечении капиталовложений в модернизацию и развитие автодорожной сети. Высокая капиталоемкость дорожных объектов и длительный срок их окупаемости сдерживает приток частных инвестиций; отсутствие обходов крупных населенных пунктов; отсутствие комплексной системы организации дорожного сервиса, обеспечивающего, наряду с качеством дорог, скорость, комфорт, безопасность движения; недостаточный уровень внедрения инноваций в дорожной отрасли при строительстве, реконструкции, ремонте и содержании дорожной сети.

Почему следует развивать и инвестировать в первую очередь в транспортный комплекс? Потому что вслед за ним подтянутся и другие отрасли экономики, как это было уже в истории мировой экономики. Промышленный переворот в Америке начался в конце XVIII в. и происходил он в особых условиях. Особенно важным для США был переворот на транспорте, чтобы связать отдельные части огромной территории и хозяйственно освоить земли Дальнего Запада. Это стало возможным только с помощью железных дорог и пароходов. К середине XIX в. все грузы водным путем перевозились пароходами; по длине железных дорог США заняли первое место в мире. Грамотно выстроенная транспортная инфраструктура дала толчок развитию всей инновационной экономике США.

Подобная задача в настоящее время стоит перед Россией. Необходимо связать в единую транспортную инфраструктуру экономически плохо освоенные территории Севера и Востока нашей страны, а затем развитие транспортной инфраструктуры по инновационному варианту даст

импульс другим отраслям: горнодобывающей и химической промышленности, металлургии, производства железобетонных и металлических конструкций, строительных материалов, машин и оборудования и других. По экспертным оценкам, 1 млрд рублей, инвестированных в строительство объектов транспортной инфраструктуры, создает 425–550 рабочих мест в строительном секторе и еще 3300–3800 мест в других отраслях экономики.

Но необходимо ресурсное обеспечение инновационного транспортного комплекса. До 2003 г. в России существовал Дорожный фонд, который с самого начала составлял 3 % с оборота каждого предприятия.

Что бы мы хотели видеть к 2030 году? Прежде всего, единую скоростную систему рельсового транспорта по всей стране (не только Петербург–Москва) с транспортно-пересадочными узлами, которые будут размещаться в местах пересечения линий различных видов скоростного внеуличного транспорта, в непосредственной близости к остановкам наземного пассажирского транспорта\*.

1. Зачем России Стабилизационный фонд, если не затем, чтобы преодолеть хроническую отсталость, инвестиционный голод инновационного транспортного комплекса и зависимость от сырьевого экспорта для национального благосостояния будущих поколений? Что такое Стабфонд в России? Идея создания и использования такого фонда заимствована

\*Транспортно-пересадочные узлы предусматривают новые методы размещения и обслуживания крытых пешеходных переходов и посадочных платформ,двигающиеся тротуары, вертикальные лифты на пассажирских платформах, технически оснащенные места кратковременного хранения и стоянки легкового автотранспорта и велосипедов. На конечных станциях скоростного внеуличного транспорта перехватывающие парковки для пересадки пассажиров с индивидуального автомобильного транспорта на общественный транспорт.

за рубежом. Структура и функции Стабфонда России были скорректированы, его разделили на следующие три части: Резервный фонд (минимизирующий риски экономики России в случае резкого падения цен на энергоносители на мировых рынках, а также для поддержания макроэкономической стабильности и борьбы с инфляцией); вторая часть идет в федеральный бюджет для выполнения, прежде всего, масштабных социальных программ; Фонд будущих поколений (этот фонд президент предложил назвать Фондом национального благосостояния и использовать его для поддержания пенсионной системы и развития экономики через финансирование институтов развития — Банка развития, Венчурной компании, Корпорации нанотехнологий. Он будет составлять до 400 млрд руб.).

Модифицированы и функции Стабфонда. Его средства теперь можно использовать на развитие экономики и социальной сферы. На 1 января 2008 г. средства Стабфонда РФ составили 3 трлн 851,8 млрд руб., что на 76 % больше чем год назад. Эти деньги поделены теперь между Фондом национального благосостояния (782,8 млрд руб.) и Резервным фондом (3 трлн 69 млрд руб.). Из этих фондов вложено в иностранные облигации 80 %, облигации зарубежных центробанков и госагентств — 15,

долговые обязательства международных финансовых организаций — 5.

Ясно видно, что средства этих новых фондов, по-прежнему не инвестированы в экономику.

Что такое «стабилизационный фонд»? Это профицит государственного бюджета; превышение его доходов над расходами. В одних странах он выступает в виде доходов от экспорта нефти и газа (Россия), в других — доходов от экспорта нефти (Венесуэла, Норвегия), в третьих (Чили) — доходов от экспорта меди.

Стабилизационный фонд используется в зарубежных странах с последней четверти XX века. Это инструмент среднесрочной, а во многих странах долгосрочной финансовой политики. Он зависит от текущих цен на природные ресурсы в качестве инструмента формирования стратегии государства в реализации проблем будущих поколений, в целях формирования внешних активов государства посредством пополнения от процентного дохода.

Масштабы нашей страны, грандиозные планы экономического роста требуют запустить инновационный механизм развития транспортного комплекса России как можно скорее для реализации проблем будущих поколений, поскольку без инвестиций нет инноваций и экономического роста. ■

*Окончание следует.*

## Литература

1. Бор М. З. История мировой экономики. — М.: Изд-во «Дело и Сервис», 1998.
2. История мировой экономики / Под ред. акад. Г. Б. Поляка, проф. А. Н. Макаровой. — М.: ЮНИТИ, 1999.
3. Кошкарлова Т. В. Инновационная политика в транспортных отраслях: прогноз, развитие // Транспорт Урала. — № 1, 2009. ISSN 1815–9400.
4. Кошкарлова Т. В. Основные вехи зарождения научно-технического прогресса как составной части исторического прогресса // Вестник УрГУПС, № 1 (5), 2010. — С. 4–11. ISSN 2079–0392.
5. Кошкарлова Т. В. Нужен ли научно-технический прогресс и экономический рост? // Вестник УрГУПС, № 2 (6), 2010. — С. 6–14. ISSN 2079–0392.

6. Кощкарова Т. В. Инновационное развитие транспортного комплекса и системообразующие факторы инновационной деятельности на транспорте // Системообразующие факторы инновационной деятельности на транспорте: сб. научн. трудов УрГУПС. — Вып. 80 (163). — 2009. — С. 24–31.

### Literature

1. Bor M. Z. History of world economics. — M.: Publishing House 'Delo i Servis', 1998.
2. World economic history / Edited by Academician G. B. Polyak, Professor A. N. Makarova. — M.: UNITI, 1999.
3. Koshkarova T. V. Innovation policy on transport: forecast and development // Ural Transport, № 1. — 2009. P. 2–5. ISSN 1815–9400.
4. Koshkarova T. V. major milestones of scientific and technical advance origin as a constituent part of historical progress // Herald of USURT, № 1 (5), 2010. — P. 4–11. ISSN 2079–0392.
5. Koshkarova T. V. Are scientific-technical progress and economic growth necessary? // Herald of USURT, № 2 (6), 2010. — P. 6–13. ISSN 2079–0392.
6. Koshkarova T. V. Innovation development of transport complex and backbone factors of innovation activity at transport // Backbone factors of innovation activity at transport: Collection of scientific papers — Issue 80 (163). — 2009. — P. 24–31.

### References (transliteration)

1. Bor M. Z. Istoriya mirovoj ekonomiki. — M.: Izdvo «Delo i Servis», 1998.
2. Istoriya mirovoj ekonomiki / Pod red. akad. G. B. Polyaka, prof. A. N. Makarovoj. — M.: YUNITI 1999.
3. Koshkarova T. V. Innovatsionnaya politika v transportnykh otraslyakh: prognoz, razvitie // Transport Urala № 1. — 2009. S. 2–5 ISSN 1815–9400.
4. Koshkarova T. V. Osnovnye vehi zarozhdeniya nauchno-tekhnicheskogo progressa kak sostavnoj chasti istoricheskogo progressa // Vestnik UrGups, № 1 (5), 2010. — S.4–11. ISSN 2079–0392.
5. Koshkarova T. V. Nuzhen li nauchno-tekhnicheskij progress i ekonomicheskij rost? // Vestnik UrGUPS, № 2 (6), 2010. — S. ISSN 2079–0392
6. Koshkarova T. V. Innovatsionnoe razvitie transportnogo kompleksa i sistemoobrazuyushchie faktory innovatsionnoj deyatel'nosti na transporte // Sistemoobrazuyushchie faktory innovatsionnoj deyatel'nosti na transporte: sb. nauchn. trudov UrGUPS. — Vyp. 80 (163). — 2009. — S. 24–31.

*Статья сдана в редакцию 15.06.2010 г.*

# МАТЕМАТИЧЕСКИЕ МОДЕЛИ ТЕХНОЛОГИЧЕСКИХ ПРОЦЕССОВ

УДК 517.95+533.6

*А. Л. Казаков, А. В. Дронова*

## Применение обобщенного метода характеристических рядов для построения кусочно-аналитических решений уравнений с частными производными

UDC 517.95+533.6

*A. L. Kazakov, A. V. Dronova*

## Application of characteristics series generalized method for sectionally analytical equations' solutions construction with partial derivatives

### Аннотация

Метод характеристических рядов для построения решений уравнений с частными производными предложен Р. Курантом и детально разработан А. Ф. Сидоровым. Идея метода состоит в том, что решения некоторых начально-краевых задач строятся в виде рядов по степеням характеристических поверхностей. В статье предлагается модификация данного метода для построения неквазидномерных решений задач математической физики. Рассмотрены некоторые модельные задачи газовой динамики, для которых доказаны теоремы существования и единственности кусочно-аналитических решений со слабыми разрывами. Решения построены в явном виде, что позволяет использовать их для прямого численного моделирования и тестирования существующих численных методов.

### Ключевые слова:

дифференциальные уравнения с частными производными; начально-краевая задача; аналитическое решение; характеристика; степенной ряд, сходимость.

### Abstract

The method of characteristics series for equations' solutions construction with partial derivatives is offered by R. Kurant and worked out in details by A. F. Sidorov. The essence of the method is that some initial-boundary problems' solutions are build in series by characteristic surfaces degrees. In the article there is offered the modification of this method for non-quasi-one-dimensional problems' solutions construction of mathematical physics. There are considered some model problems of gas dynamics for which there are proved existence and uniqueness theorems of sectionally analytical solutions with weak discontinuity. The solutions are built in the explicit way that allows to use them for direct numerical simulation and testing of the existing numerical methods.

### Ключевые слова:

differential equations with partial derivatives; initial-boundary problem; analytical solution; characteristics; power series, convergence.

Сведения об авторах: **Александр Леонидович Казаков**, д-р физ.-мат. наук, доцент, ведущий научный сотрудник Института динамики систем и теории управления Сибирского отделения Российской академии наук; г. Иркутск, Россия. E-mail: [kazakov@icc.ru](mailto:kazakov@icc.ru).

**Дронова Алиса Вадимовна**, студентка Иркутского государственного университета; г. Иркутск, Россия. E-mail: [AlisaDronova@gmail.com](mailto:AlisaDronova@gmail.com).

About the author: **Aleksander L. Kazakov**, DSc, Associate professor, Key scientific associate of the Institute of System Dynamic and Control Theory of Siberian Branch of the Russian Academy of Sciences, Irkutsk, Russia. E-mail: [kazakov@icc.ru](mailto:kazakov@icc.ru).

**Alisa V. Dronova**, student of Irkutsk State University; Irkutsk, Russia. E-mail: [AlisaDronova@gmail.com](mailto:AlisaDronova@gmail.com).

**Введение**

Метод характеристических рядов был предложен Р. Курантом [1] для исследования линейных гиперболических уравнений с частными производными. Его идея заключается в том, что решения начально-краевых задач для дифференциальных уравнений и систем строятся в виде степенного ряда:

$$u(t, X) = \sum_{k=0}^{\infty} g_k(t, X)\varphi^k, \quad X = (x_1, \dots, x_n),$$

где функция  $\varphi(t, X) = 0$  определяет некоторую характеристическую поверхность.

Для нелинейных гиперболических уравнений метод обобщил А. Ф. Сидоров. В его работах построен ряд сложных пространственных течений газа со слабыми разрывами. Также данный подход был перенесен на случай параболических уравнений [2]. Один из авторов настоящей статьи, развивая идеи А. Ф. Сидорова, предложил метод кратных характеристических рядов, который, в частности, применен для построения решений неквазиодномерных (двумерных) задач математической физики [3].

Данная работа является продолжением статьи [3]. Результаты переносятся с двумерного на трехмерный случай. Конкретнее — рассматриваются две модельные задачи газовой динамики, для которых доказаны существование и единственность кусочно-аналитических решений со слабыми разрывами. Задачи решаются при помощи метода кратных характеристических рядов. В настоящее время хорошо изучены одномерные и квазиодномерные нестационарные разрывные течения газа [4, 5]. Общая теория двумерных, а тем более — трехмерных течений в настоящее время не построена. Имеются только отдельные результаты [2]. Полагаем, что метод кратных характеристических рядов позволит в дальнейшем

построить решения и других подобных, в том числе, более трудных задач.

**Применение метода характеристических рядов для построения решения нелинейного уравнения переноса**

В качестве примера, который показывает работу метода, рассмотрим смешанную задачу для квазилинейного уравнения первого порядка (пример принадлежит А. Ф. Сидорову [2]):

$$u_t + uu_x = 0, \quad (2.1)$$

$$u(t, x)|_{t=0} = 1, \quad (2.2)$$

$$u(t, x)|_{x=0} = f(t). \quad (2.3)$$

Задача (2.1)–(2.3) является характеристической задачей Коши, решение которой в секторе, ограниченном характеристикой  $x = t$  и осью  $Ot$  (см. рис. 1), ищется в классе аналитических функций в виде сходящегося характеристического ряда:

$$u(t, x) = \sum_{k=0}^{\infty} u_k(t)(x-t)^k. \quad (2.4)$$

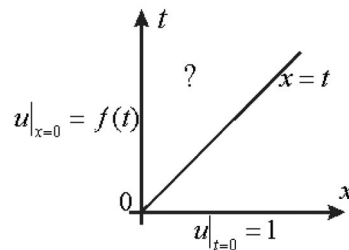


Рис. 1

Коэффициенты ряда (2.4) определяются индукцией по  $k$ . Очевидно, что  $u_0 = 1$ . Последующие коэффициенты ряда (2.4) определяются при его подстановке в уравнение (2.1). Коэффициент  $u_1$  определяется при решении уравнения

$$u_{1t} + u_1^2 = 0. \quad (2.5)$$

Начальное условие для уравнения (2.5) определяется из (2.3) и имеет вид

$$u_1(0) = -f'(0).$$

Решением данной задачи Коши является функция

$$u_1(t) = \frac{f'(0)}{tf'(0)+1}.$$

Таким образом, у решения рассматриваемой характеристической задачи Коши в случае  $f'(0) \neq 0$  заведомо имеет место градиентная катастрофа в момент времени

$$t = -\frac{1}{f'(0)}.$$

Остальные коэффициенты степенного ряда определяются из следующих задач Коши для линейных обыкновенных дифференциальных уравнений (ОДУ):

$$u'_k + (k+1)u_k + \sum_{l=2}^{k-1} C_l^k u_l u_{k-l+1} = 0,$$

$$u_k(0) = \frac{(-1)^k f^{(k)}(0)}{k!}.$$

Для построенного решения выполнены условия непрерывного согласования с граничными условиями при  $x = 0$  и однородным покоем при  $t = 0$  (см. рис. 1).

**Применение метода кратных характеристических рядов для построения решения линейного уравнения переноса**  
Рассматривается уравнение

$$u_t + \alpha u_x + \beta u_y + \gamma u_z = 0,$$

которое описывает перенос возмущений. Путем очевидных преобразований перейдем к более простому уравнению

$$u_t + u_x + u_y + u_z = 0, \quad (3.1)$$

для которого ставится смешанная задача

$$u|_{t=0} = 1, x \geq 0, y \geq 0, z \geq 0, \quad (3.2)$$

$$u|_{x=0} = f(t, y, z), u|_{y=0} = g(t, x, z),$$

$$u|_{z=0} = h(t, x, y), \quad (3.3)$$

где функции  $f(t, y, z)$ ,  $g(t, x, z)$ ,  $h(t, x, y)$  являются аналитическими, то есть могут быть разложены в сходящийся ряд

$$f(t, y, z) = \sum_{k=0}^{\infty} f_k(y, z)t^k,$$

$$g(t, x, z) = \sum_{l=0}^{\infty} g_l(x, z)t^l,$$

$$h(t, x, y) = \sum_{n=0}^{\infty} h_n(x, y)t^n.$$

Также предполагается, что выполнены условия согласования:

$$f(0, y, z) = g(0, x, z) = h(0, x, y) = 1,$$

$$f(t, 0, 0) = g(t, 0, 0) = h(t, 0, 0). \quad (3.4)$$

Задача (3.1)–(3.4) является модельной для газовой динамики.

Легко видеть, что характеристиками уравнения (3.1) являются следующие семейства прямых:

$$x - t = c_1, y - t = c_2, z - t = c_3,$$

$$x - y = c_4, x - z = c_5, y - z = c_6.$$

Решение задачи (3.1)–(3.4) будем строить в виде тройного характеристического ряда

$$u(t, x, y, z) = \sum_{k, l, n=0}^{\infty} a_{k, l, n}(t) (x-t)^k (y-t)^l (z-t)^n. \quad (3.5)$$

Подставив (3.5) в уравнение (3.1), можно убедиться, что коэффициенты  $a_{k, l, n} = \text{const}$ , то есть от  $t$  не зависят.

Значения коэффициентов будем определять дальше из начальных условий и условий согласования.

Введем области  $\Omega_0, \Omega_1, \Omega_2,$  и  $\Omega_3$  (см. рис. 2):

$$\Omega_0 = \{(x, y, z) | x \geq t, y \geq t, z \geq t, t \geq 0\},$$

$$\Omega_1 = \{(x, y, z) | x \leq y, x \leq z, 0 \leq x \leq t\};$$

$$\Omega_2 = \{(x, y, z) | y \leq x, y \leq z, 0 \leq y \leq t\},$$

$$\Omega_3 = \{(x, y, z) | z \leq x, z \leq y, 0 \leq z \leq t\}.$$

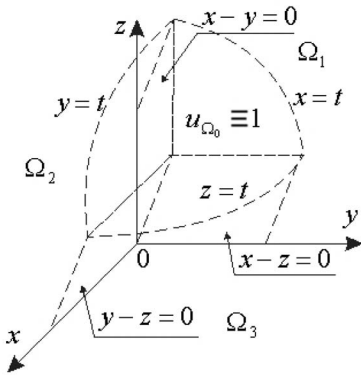


Рис. 2

Область  $\Omega_0$  — это область невозмущенного решения, в ней  $u \equiv 1$ . Области  $\Omega_1, \Omega_2, \Omega_3$  — области различных возмущенных решений, которые непрерывным образом состыкуются на соответствующих характеристиках.

Пусть решения в областях  $\Omega_1, \Omega_2$  и  $\Omega_3$  имеют вид

$$u(t, x, y, z) = \sum_{k, l, n=0}^{\infty} a_{k, l, n} (x-t)^k (y-t)^l (z-t)^n, \quad (3.6)$$

$$u(t, x, y, z) = \sum_{k, l, n=0}^{\infty} b_{k, l, n} (x-t)^k (y-t)^l (z-t)^n, \quad (3.7)$$

$$u(t, x, y, z) = \sum_{k, l, n=0}^{\infty} d_{k, l, n} (x-t)^k (y-t)^l (z-t)^n. \quad (3.8)$$

Будем предполагать, что решения (3.6), (3.7) состыкуются на характеристике  $x - y = 0$  решения (3.6), (3.8) — на характеристике  $x - z = 0$ , а решения (3.7), (3.8) — при  $y - z = 0$ .

Пользуясь представлением решений в виде (3.6)–(3.8), перепишем граничные условия:

$$\begin{aligned} u(t, 0, y, z) &= \\ &= \sum_{k, l, n=0}^{\infty} a_{k, l, n} (-t)^k (y-t)^l (z-t)^n = \\ &= \sum_{k=0}^{\infty} f_k(y, z) t^k, \\ u(t, x, 0, z) &= \\ &= \sum_{k, l, n=0}^{\infty} b_{k, l, n} (x-t)^k (-t)^l (z-t)^n = \\ &= \sum_{l=0}^{\infty} g_l(x, z) t^l, \end{aligned} \quad (3.9)$$

$$\begin{aligned} u(t, x, y, 0) &= \\ &= \sum_{k, l, n=0}^{\infty} d_{k, l, n} (x-t)^k (y-t)^l (-t)^n = \\ &= \sum_{n=0}^{\infty} h_n(x, y) t^n. \end{aligned}$$

Из начальных условий (3.2) следует, что

$$u(0, 0, y, z) = u(0, x, 0, z) = u(0, x, y, 0) = 1,$$

а значит,  $f_0(y, z) = g_0(x, z) = h_0(x, y) = 1$ . Из условий согласования (3.4) имеем, что

$$\begin{aligned} u|_{x=y=z=0} &= f(t, 0, 0) = g(t, 0, 0) = h(t, 0, 0), \\ f_m(0, 0) &= g_m(0, 0) = h_m(0, 0), \\ m &= 0, 1, \dots \end{aligned} \quad (3.10)$$

Вычисление коэффициентов рядов (3.6)–(3.8) осуществляется следующим образом.

Положив в условиях (3.9)  $t = 0$ , получим равенства

$$\sum_{l, n=0}^{\infty} a_{0, l, n} y^l z^n = f_0(y, z) = 1,$$

$$\sum_{k,n=0}^{\infty} b_{k,0,n} x^k z^n = g_0(x, z) = 1,$$

$$\sum_{k,l=0}^{\infty} d_{k,l,0} x^k y^l = h_0(x, y) = 1,$$

из которых однозначно определяются  $a_{0,1,n}$ ,  $b_{k,0,n}$ ,  $d_{k,1,0}$ ,  $k, l, n = 0, 1, \dots$ . При этом

$$a_{0,0,0} = b_{0,0,0} = d_{0,0,0} = 1,$$

$$a_{0,l,n} = b_{k,0,n} = d_{k,l,0}, \quad k, l, n = 1, 2, \dots$$

Для нахождения остальных коэффициентов продифференцируем граничные условия (3.9) по  $t$  и положим  $t = 0$ , затем сгруппируем слагаемые. Получим:

$$u_t(t, 0, y, z) \Big|_{t=0} =$$

$$= - \sum_{l,n=0}^{\infty} \left( a_{1,l,n} + (l+1)a_{0,l+1,n} + (n+1)a_{0,l,n+1} \right) y^l z^n = f_1(y, z),$$

$$u_t(t, x, 0, z) \Big|_{t=0} =$$

$$= - \sum_{k,n=0}^{\infty} \left( (k+1)b_{k+1,0,n} + b_{k,1,n} + (n+1)b_{k,0,n+1} \right) x^k z^n = g_1(x, z),$$

$$u_t(t, x, y, 0) \Big|_{t=0} =$$

$$= - \sum_{k,l=0}^{\infty} \left( (k+1)d_{k+1,l,0} + (l+1)d_{k,l+1,0} + d_{k,l,1} \right) x^k y^l = h_1(x, y).$$

Отсюда следует, что

$$\sum_{k,l=0}^{\infty} d_{k,l,1} x^k y^l = -h_1(x, y),$$

$$\sum_{k,n=0}^{\infty} b_{k,1,n} x^k z^n = -g_1(x, z),$$

$$\sum_{l,n=0}^{\infty} a_{1,l,n} y^l z^n = -f_1(y, z),$$

$$\sum_{k,n=0}^{\infty} b_{k,1,n} x^k z^n = -g_1(x, z),$$

то есть  $a_{1,0,0} = -f_1(0, 0)$ ,

$$b_{0,1,0} = -g_1(0, 0), \quad d_{0,0,1} = -h_1(0, 0).$$

А значит, коэффициенты  $a_{1, l, n}$ ,  $b_{k, 1, n}$ ,  $d_{k, l, 1}$  при  $k, l, n = 1, 2, \dots$  также однозначно определяются:

$$a_{1,l,n} = \frac{\partial^{l+n} f_1(y, z)}{l! n! \partial y^l \partial z^n} \Big|_{y=z=0},$$

$$b_{k,1,n} = \frac{\partial^{k+n} g_1(x, z)}{k! n! \partial x^k \partial z^n} \Big|_{x=z=0},$$

$$d_{k,l,1} = \frac{\partial^{k+l} h_1(x, y)}{k! l! \partial x^k \partial y^l} \Big|_{x=y=0}. \quad (3.11)$$

Аналогично находим коэффициенты  $a_{2,l,n}$ ,  $b_{k,2,n}$ ,  $d_{k,1,2}$  при  $k, l, n = 1, 2, \dots$  и т. д.

Таким образом, все коэффициенты рядов (3.6)–(3.8) построены.

Проверим выполнение условий непрерывного примыкания решений при  $x = y$ ,  $x = z$ ,  $y = z$ .

На характеристике  $x - y = 0$  данное условие имеет вид

$$\sum_{k,l,n=0}^{\infty} a_{k,l,n} (x-t)^{k+l} (z-t)^n =$$

$$= \sum_{k,l,n=0}^{\infty} b_{k,l,n} (x-t)^{k+l} (z-t)^n.$$

После группировки слагаемых при одинаковых степенях  $(x - t)$  и  $(z - t)$  получаем равенство

$$\sum_{n=0}^{\infty} \left( \sum_{p=0}^{\infty} \left( \sum_{k=0}^p a_{k,p-k,n} \right) (x-t)^p \right) (z-t)^n =$$

$$= \sum_{n=0}^{\infty} \left( \sum_{p=0}^{\infty} \left( \sum_{k=0}^p b_{k,p-k,n} \right) (x-t)^p \right) (z-t)^n,$$

из которого следует, что условие примыкания преобразуется к виду

$$\sum_{k=0}^p a_{k,p-k,n} = \sum_{k=0}^p b_{k,p-k,n} \quad p = 0, 1, \dots \quad (3.12)$$

Равенство (3.12) доказывается индукцией по  $p$  при фиксированном индексе  $n$  и с учетом (3.10), (3.14). Другими словами, доказывается

$$\sum_{k=0}^p a_{k,p-k,n} = (-1)^p f_p(0, 0),$$

$$\sum_{k=0}^p b_{k,p-k,n} = (-1)^p g_p(0, 0). \quad (3.13)$$

Индекс  $p$  принимает значения  $1, \dots, n$ .

Таким образом, если выполнено (3.10), то выполнено и (3.13), то есть доказано, что условие непрерывного примыкания решений (3.6)–(3.7) при  $x = y$  выполняется.

Аналогично устанавливается непрерывность при  $x - z = 0$  и  $y - z = 0$ .

Докажем сходимость построенных рядов. Следует отметить, что для доказательства сходимости рядов (3.6)–(3.8) достаточно доказать сходимость ряда (3.6), сходимость остальных рядов доказывается аналогично.

Рассмотрим граничные условия (3.9). Разложим коэффициенты в правой части в ряды по степеням независимых переменных  $y$  и  $z$ :

$$\sum_{k=0}^{\infty} f_k(y, z) t^k = \sum_{k,l,n=0}^{\infty} f_{k,l,n} t^k y^l z^n$$

и перепишем граничное условие в виде

$$\begin{aligned} u(t, 0, y, z) &= \\ &= \sum_{k,l,n=0}^{\infty} a_{k,l,n} (-t)^k (y-t)^l (z-t)^n = \\ &= \sum_{k,l,n=0}^{\infty} f_{k,l,n} t^k y^l z^n. \end{aligned} \quad (3.14)$$

Отметим, что из сходимости ряда

$$\sum_{k,l,n=0}^{\infty} a_{k,l,n} t^{k+l+n}$$

следует сходимость исходного ряда

$$\sum_{k,l,n=0}^{\infty} a_{k,l,n} (x-t)^k (y-t)^l (z-t)^n,$$

так как  $|x-t| \leq t$ ,  $|y-t| \leq t$ ,  $|z-t| \leq t$ .

Поэтому остается лишь доказать сходимость ряда по степеням  $t$ :

$$\sum_{k,l,n=0}^{\infty} a_{k,l,n} t^{k+l+n}.$$

Можно показать, что

$$a_{k,l,n} = f_{k,l,n}, \quad k, l, n = 0, 1, \dots$$

$$\text{Ряд } \sum_{k,l,n=0}^{\infty} f_{k,l,n} t^k y^l z^n$$

является сходящимся по условию задачи, а значит, ряд

$$\sum_{k,l,n=0}^{\infty} a_{k,l,n} t^{k+l+n}$$

также сходится в той же окрестности, что и ряд для  $f(t, y, z)$ . Таким образом, сходимость рядов доказана.

Итак, построено непрерывное кусочно-аналитическое решение задачи (3.1)–(3.4).

$$u(t, x, y, z) =$$

$$= \begin{cases} 1, \\ \sum_{k,l,n=0}^{\infty} a_{k,l,n} (x-t)^k (y-t)^l (z-t)^n, \\ \sum_{k,l,n=0}^{\infty} b_{k,l,n} (x-t)^k (y-t)^l (z-t)^n, \\ \sum_{k,l,n=0}^{\infty} d_{k,l,n} (x-t)^k (y-t)^l (z-t)^n, \end{cases}$$

$$x \geq t, y \geq t, z \geq t, t \geq 0;$$

$$x \leq y, x \leq z, 0 < x \leq t;$$

$$y \leq x, y \leq z, 0 < y \leq t;$$

$$z \leq x, z \leq y, 0 < z \leq t.$$

### Применение метода кратных характеристических рядов для построения решения квазилинейной системы

Теперь рассмотрим применение метода кратных характеристических рядов для исследования системы квазилинейных уравнений, которая также является модельной для математической физики:

$$\begin{cases} u_t + uu_x + vu_y + wu_z = 0, \\ v_t + uv_x + vv_y + wv_z = 0, \\ w_t + uw_x + vw_y + ww_z = 0. \end{cases} \quad (4.1)$$

где  $u, v, w$  — искомые функции,  $x, y, z$  — пространственные переменные,  $t$  — время.

Для системы (4.1) задаются начальные и краевые условия:

$$\begin{aligned} u|_{t=0} &= \phi(x, y, z), \phi|_{x=0} = 0, \\ v|_{t=0} &= \psi(x, y, z), \psi|_{y=0} = 0, \\ w|_{t=0} &= \chi(x, y, z), \chi|_{z=0} = 0. \end{aligned} \quad (4.2)$$

$$u|_{x=0} = 0, v|_{y=0} = 0, w|_{z=0} = 0. \quad (4.3)$$

Для задачи (4.1)–(4.3) линии  $x=0, y=0, z=0$  являются характеристиками. В самом деле, если записать систему (4.1) в матричном виде:

$$\vec{U}_t + A_1 \vec{U}_x + A_2 \vec{U}_y + A_3 \vec{U}_z = 0,$$

то из (4.2) следует, что матрицы  $A_1, A_2, A_3$  становятся нулевыми соответственно при  $x=0, y=0, z=0$ . Отсюда вытекает справедливость данного утверждения.

Задача (4.1)–(4.2) при условии аналитичности функций  $\phi(x, y, z), \psi(x, y, z), \chi(x, y, z)$  по теореме Коши–Ковалевской имеет единственное аналитическое решение в виде степенного ряда с коэффициентами, зависящими от  $t$ , то есть задача (4.1)–(4.3) является «переопределенной». Однако нижеследующая теорема позволяет построить непрерывное кусочно-аналитическое решение этой задачи, имеющее слабые разрывы на характеристиках.

**Теорема.** Пусть функции  $\phi(x, y, z), \psi(x, y, z), \chi(x, y, z)$  являются аналитическими в некоторой окрестности точки  $(x=0, y=0, z=0)$ . Тогда задача (4.1)–(4.3) имеет единственное аналитическое решение в некоторой окрестности точки  $(t=0, x=0, y=0, z=0)$ .

Доказательство теоремы. Решение задачи (4.1)–(4.3) строится в виде ряда

$$\begin{aligned} \xi &= \sum_{k,l,n=0}^{\infty} \xi_{k,l,n}(t) \frac{x^k y^l z^n}{k!l!n!}, \\ \xi_{k,l,n}(t) &= \left. \frac{\partial^{k+l+n} \xi}{\partial x^k \partial y^l \partial z^n} \right|_{x=y=z=0}. \end{aligned} \quad (4.4)$$

Здесь  $\xi$  принимает значения  $u, v, w$ .

Ряд (4.4) будет кратным характеристическим, так как координатные плоскости, как уже отмечалось, являются характеристиками.

Коэффициенты ряда (4.4) определяются индукцией по  $m = k + l + n, m = 0, 1, \dots$  следующим образом: при каждом  $m$  находятся  $\xi_{k,l,n}$  при решении задач Коши для ОДУ.

Из условий (4.2) следуют равенства:

$$u_{0,l,n} = v_{k,0,n} = w_{k,l,0} = 0.$$

В частности, при  $m = 0$ :

$$u_{0,0,0} = v_{0,0,0} = w_{0,0,0} = 0,$$

при  $m = 1$ :

$$\begin{aligned} u_{0,1,0} &= u_{0,0,1} = v_{0,0,1} = v_{1,0,0} = \\ &= w_{1,0,0} = w_{0,1,0} = 0. \end{aligned}$$

Для определения  $u_{1,0,0}, v_{0,1,0}, w_{0,0,1}$  первое уравнение системы (4.1) продифференцируем по  $x$ , второе — по  $y$ , а третье — по  $z$  и положим  $x = y = z = 0$ , а также, учитывая граничные условия (4.3), получим задачу Коши для нелинейных ОДУ:

$$\begin{cases} u'_{1,0,0} + u_{1,0,0}^2 = 0, \\ v'_{0,1,0} + v_{0,1,0}^2 = 0, \\ w'_{0,0,1} + w_{0,0,1}^2 = 0, \end{cases} \quad \begin{aligned} u_{1,0,0}(0) &= \phi_x(0, 0, 0); \\ v_{0,1,0}(0) &= \psi_y(0, 0, 0); \\ w_{0,0,1}(0) &= \chi_z(0, 0, 0). \end{aligned} \quad (4.5)$$

Решение задачи Коши (4.5) имеет вид

$$u_{1,0,0} = \frac{\varphi_x(0,0,0)}{t\varphi_x(0,0,0)+1},$$

$$v_{0,1,0} = \frac{\Psi_y(0,0,0)}{t\Psi_y(0,0,0)+1},$$

$$w_{0,0,1} = \frac{\chi_z(0,0,0)}{t\chi_z(0,0,0)+1}.$$

Остальные коэффициенты рядов (4.4) находятся путем последовательного дифференцирования уравнений системы (4.1) с учетом начальных и граничных условий (4.2), (4.3), которое сводится к решению задач Коши для линейных ОДУ:

$$\begin{cases} u'_{k,l,n} + \left[ (k+1)u_{1,0,0} + lv_{0,1,0} + nw_{0,0,1} \right] u_{k,l,n} + F_{k,l,n} = 0, \\ v'_{k,l,n} + \left[ ku_{1,0,0} + (l+1)v_{0,1,0} + nw_{0,0,1} \right] v_{k,l,n} + G_{k,l,n} = 0, \\ w'_{k,l,n} + \left[ ku_{1,0,0} + lv_{0,1,0} + (n+1)w_{0,0,1} \right] w_{k,l,n} + H_{k,l,n} = 0, \end{cases} \quad (4.6)$$

$$u_{k,l,n}(0) = \frac{\partial^{k+l+n}\varphi(0,0,0)}{\partial x^k \partial y^l \partial z^n},$$

$$v_{k,l,n}(0) = \frac{\partial^{k+l+n}\Psi(0,0,0)}{\partial x^k \partial y^l \partial z^n},$$

$$w_{k,l,n}(0) = \frac{\partial^{k+l+n}\chi(0,0,0)}{\partial x^k \partial y^l \partial z^n}. \quad (4.7)$$

Функции  $F_{k,l,n}$ ,  $G_{k,l,n}$ ,  $H_{k,l,n}$  будут известны, если известны производные порядка меньше  $m$ . Задачи (4.6), (4.7) однозначно разрешимы, следовательно, можно утверждать, что формальное решение задачи (4.1)–(4.3) построено, причем оно определяется единственным образом.

Сходимость рядов (4.4) доказывается методом мажорант.

Возьмем от обеих частей первого уравнения системы (4.1) производные по  $x$ , от обеих частей второго — по  $y$ , а от обеих частей третьего — по  $z$ . Получим следующую систему:

$$\begin{cases} u_{1x} + u_x^2 + uu_{xx} + v_x u_y + \\ + v u_{xy} + w_x u_z + w u_{xz} = 0, \\ v_{1y} + uv_{xy} + u_y u_x + v_y^2 + \\ + v v_{yy} + w_y v_z + w v_{yz} = 0, \\ w_{1z} + u_z w_x + u w_{xz} + v w_{yz} + \\ + v_z w_y + w_z^2 + w w_{zz} = 0. \end{cases} \quad (4.8)$$

Теперь введем новые искомые функции  $W_1, W_2, W_3, Z_1, Z_2, Z_3, K_1, K_2, K_3$ :

$$W_1 = u_x, W_2 = u_y, W_3 = u_z,$$

$$Z_1 = v_x, Z_2 = v_y, Z_3 = v_z,$$

$$K_1 = w_x, K_2 = w_y, K_3 = w_z.$$

Легко видеть, что справедливы следующие равенства:

$$W_{1y} = W_{2x}, W_{1z} = W_{3x}, W_{2z} = W_{3y},$$

$$Z_{1y} = Z_{2x}, Z_{1z} = Z_{3x}, Z_{2z} = Z_{3y},$$

$$K_{1y} = K_{2x}, K_{1z} = K_{3x}, K_{2z} = K_{3y},$$

$$W_{1yz} = W_{2xz} = W_{3xy}, Z_{1yz} = Z_{2xz} = Z_{3xy},$$

$$K_{1yz} = K_{2xz} = K_{3xy}.$$

Тогда система (4.8) примет вид

$$\begin{cases} W_{1t} = -W_1^2 - uW_{1x} - Z_1W_2 - \\ -vW_{1y} - K_1W_3 - wW_{1z}, \\ Z_{2t} = -uZ_{2x} - Z_1W_2 - Z_2^2 - \\ -vZ_{2y} - K_2Z_3 - wZ_{2z}, \\ K_{3t} = -K_1W_3 - uK_{3x} - vK_{3y} - \\ -K_2Z_3 - K_3^2 - wK_{3z} \end{cases} \quad (4.9)$$

с граничными условиями:

$$\begin{cases} W_1|_{t=0} = \varphi_x(x, y, z), Z_2|_{t=0} = \\ = \Psi_y(x, y, z), K_3|_{t=0} = \chi_z(x, y, z), \\ u|_{x=0} = W_2|_{x=0} = W_3|_{x=0} = 0, \\ v|_{y=0} = Z_1|_{y=0} = Z_3|_{y=0} = 0, \\ w|_{z=0} = K_1|_{z=0} = K_2|_{z=0} = 0. \end{cases} \quad (4.10)$$

Задача (4.9), (4.10) эквивалентна задаче (4.1) – (4.3) в классе аналитических функций. Для нее построим мажорантную задачу.

Предположим, что функция  $T_1$  мажорирует функции  $u, W_2, W_3$ , то есть  $T_1 \gg u, W_2, W_3$  функции  $T_2, T_3, N$  обладают свойствами:

$$\begin{aligned} T_2 \gg v, Z_1, Z_3, T_3 \gg w, K_1, K_2, \\ N \gg W_1 - \varphi_x(x, y, z), \\ Z_2 - \Psi_y(x, y, z), K_3 - \chi_z(x, y, z). \end{aligned}$$

Тогда мажорантная задача для (4.9), (4.10) запишется как

$$\begin{cases} N_t = N^2 + T_1 N_x + T_2 N_y + \\ + T_3 N_z + T_1 T_2 + T_1 T_3, T_{1x} = N_y + F; \\ N_t = N^2 + T_1 N_x + T_2 N_y + \\ + T_3 N_z + T_1 T_3 + T_2 T_3, T_{2y} = N_x + F; \\ N_t = N^2 + T_1 N_x + T_2 N_y + \\ + T_3 N_z + T_1 T_2 + T_2 T_3, T_{3z} = N_x + F. \end{cases} \quad (4.11)$$

А значит, при соответствующем выборе констант  $M, \rho$  мажорантная задача может быть взята в виде

$$\begin{cases} N_t = T_1 N_x + T_2 N_y + T_3 N_z + F, N|_{t=0} = 0; \\ T_{1x} = N_y + F, T_1|_{x=0} = 0; \\ T_{2y} = N_x + F, T_2|_{y=0} = 0; \\ T_{3z} = N_x + F, T_3|_{z=0} = 0; \end{cases}$$

где

$$F = \frac{M}{1 - \frac{(t+x+y+z+3T_1+3T_2+3T_3+3N)}{\rho}}.$$

Введем новую независимую переменную  $\tau = t + x + y + z$  и определим функцию  $F^*$ :

$$F^* = \frac{M}{1 - \frac{(\tau + 3T_1 + 3T_2 + 3T_3 + 3N)}{\rho}}.$$

Очевидно, что  $F^*|_{\tau=t+x+y+z} = F$ . Поэтому решение (4.11) будем искать в следующем виде:

$$N = N(\tau), T_1 = T_1(\tau), T_2 = T_2(\tau), T_3 = T_3(\tau).$$

Перепишем мажорантную задачу:

$$\begin{cases} N_\tau = (T_1 + T_2 + T_3)N_\tau + F^*, N|_{\tau=0} = 0; \\ T_{1\tau} = N_\tau + F^*, T_1|_{\tau=0} = 0; \\ T_{2\tau} = N_\tau + F^*, T_2|_{\tau=0} = 0; \\ T_{3\tau} = N_\tau + F^*, T_3|_{\tau=0} = 0. \end{cases} \quad (4.12)$$

Из (4.12) видно, что

$$T_1(\tau) = T_2(\tau) = T_3(\tau).$$

Введем новое обозначение:

$$T(\tau) = T_1(\tau) = T_2(\tau) = T_3(\tau),$$

учитывая которое перепишем систему (4.12) в нормальной (разрешенной относительно производных) форме:

$$\begin{cases} N_\tau = \frac{F_1^*}{1-3T}, N|_{\tau=0} = 0; \\ T_\tau = \frac{F_1^*(2-3T)}{1-3T}, T|_{\tau=0} = 0; \end{cases} \quad (4.13)$$

где  $\tau = t + x + y + z$ ,

$$F_1^* = \frac{M}{1 - \frac{\tau + 9T + 3N}{\rho}}.$$

Полученная задача (4.13) по теореме Коши имеет единственное решение, мажорирующее нуль. При надлежащем выборе констант  $M, \rho$  данное

решение будет мажорировать решение задачи (4.1)–(4.3), то есть

$$T(t+x+y+z) \gg u, v, w,$$

$$W_2, W_3, Z_1, Z_3, K_1, K_2,$$

$$N(t+x+y+z) \gg W_1 - \varphi_x(x, y, z),$$

$$Z_2 - \psi_y(x, y, z), K_3 - \chi_z(x, y, z).$$

Сходимость рядов (4.4) доказана.

**Замечание.** Аналогичная теорема для двумерного случая была доказана в [3], там же намечена схема доказательства в трехмерном случае, однако подробное доказательство теоремы публикуется впервые. ■

### Литература

1. Курант Р. Уравнения с частными производными / Р. Курант. — М. : Мир, 1964. — 830 с.
2. Сидоров А. Ф. Избранные труды: Математика. Механика. / А. Ф. Сидоров; Отв. ред. А. М. Ильин. — М. : Физматлит, 2001. — 576 с.
3. Казаков А. Л. Применение обобщенного метода характеристических рядов при построении решения одной начально-краевой задачи для системы квазилинейных уравнений. / А. Л. Казаков // Труды ИММ УрО РАН. — 2010. — Т. 16, № 2. — С. 91–109.
4. Овсянников Л. В. Лекции по основам газовой динамики / Л. В. Овсянников. — 2-е изд., доп. — М.-Ижевск: Институт компьютерных исследований, 2003. — 336 с.
5. Рождественский Б. Л. Системы квазилинейных уравнений и их приложения к газовой динамике / Б. Л. Рождественский, Н. Н. Яненко. — 2-е изд., перераб. и доп. — М. : Наука, 1978. — 688 с.

### Literature

1. Courant R. Equations with partial derivatives / M.: Mir, 1964. — 830 p.
2. Sidorov A. F. Selected works: Mathematics. Mechanics / A. F. Sidorov; Exec. editor A. M. Ilyin. — M.: Fizmatlit, 2001. — 576 p.
3. Kazakov A. L. Application of characteristics series generalized method for solution of one initial-boundary problem for quasi-linear equations / A. L. Kazakov // Works of IMM Ural Branch of RAS, 2010. — V. 16, № 2. — P. 91–109.
4. Ovsyannikov L. V. Lectures on the fundamentals of gas dynamics / L. V. Ovsyannikov. — 2 edition, suppl. — M.–Izhevsk: Institute of computer sciences, 2003. — 336 p.
5. Rozhdestvensky B. L. Systems of quasi-linear equations and their application to gas dynamics / B. L. Rozhdestvensky, N. N. Yanenko. — 2 edition, revised and suppl. — M. : Nauka, 1978. — 688 p.

### References (transliteration)

1. Kurant R. Uravneniya s chastnymi proizvodnymi / M.: Mir, 1964. — 830 s.
2. Sidorov A. F. Izbrannyye trudy: Matematika. Mekhanika / A. F. Sidorov; Otв. red. A. M. Iljin. — M.: Fizmatlit, 2001. — 576 s.
3. Kazakov A. L. Primenenie obobshennogo metoda kharakteristicheskikh ryadov pri postroenii resheniya odnoj nachalno kraevoy zadachi dlya sistemy kvazilinejnyh uravnenij / A. L. Kazakov // Trudy IMM UrO RAN, 2010. — T.16 № 2. — S. 91–109.
4. Ovsyannikov L. V. Lektsii po osnovam gazovoj dinamiki / L. V. Ovsyannikov. — 2e izd. dop. — M.–Izhevsk: Institut kompyuternykh issledovaniy, 2003. — 336 s.
5. Rozhdestvenskij B. L. Sistemy kvazilinejnyh uravnenij i ih prilozheniya k gazovoj dinamike / B. L. Rozhdestvenskij, N. N. Yanenko. — 2e izd. pererab. i dop. — M. : Nauka, 1978. — 688 s.

Статья сдана в редакцию 13.05.2010 г.

С. В. Сизый

**Об определяемости градуированных сетей**

S. V. Sizy

**About graded network detection****Аннотация**

Введено новое понятие — градуированная сеть. Градуированной называем сеть с заданным гомоморфизмом на конечное линейно упорядоченное множество. В работе введены локальные геометрические характеристики градуированных сетей и предложен новый метод представления градуированных сетей — метод кортежей, суть которого заключается в представлении градуированной сети локальными характеристиками её элементов, организованными в кортежи специального вида.

Доказана теорема об определяемости градуированной сети с точностью до изоморфизма, означающая полноту и однозначность метода кортежей. Показаны преимущества метода кортежей (по сравнению с традиционным матричным представлением сетей), суть которых — простота, наглядность, легкость восстановления диаграммы сети, простота выполнения стандартных алгоритмов анализа сетей, значительное сокращение объема хранимого числового массива, простота вычисления практически важных геометрических характеристик градуированных сетей.

**Ключевые слова:**

анализ сетей, организационные сети, градуированные сети, определяемость с точностью до изоморфизма, метод кортежей.

**Abstract**

There is introduced a new notion — graded network. Graded network is the network with stated homomorphism on the final linearly ordered set. In the work there are introduced the local geometrical characteristics of graded networks and there is offered a new method of graded networks presentation — method of tuples the essence of which is the graded network presentation by its local characteristics elements organized in special tuples.

There is proved the theorem about graded network detection within to isomorphism that signifies the completeness and definiteness of tuples' method.

There are shown the advantages of tuples' method (in comparison with networks traditional matrix presentation) the essence of which is simplicity, distinctness, easiness of network's diagram rebuild and standard algorithms of networks' analysis, considerable reduction of stored numeric array, simplicity of graded networks' practically important geometric characteristics calculation.

**Key words:**

network analysis, organizational networks, graded networks, detection within to isomorphism, tuples' method.

Сети и графы — классические понятия дискретной математики [1, 2]. Графы и сети традиционно используют для моделирования и исследования сетевых объектов — транспортных сетей (железнодорожных, автомобильных и т. п.), организационных структур, сетей экономического и правового взаимодействия хозяйствующих субъектов, информационного обмена между объектами [3, 4]. В работах [5, 6] введено понятие «градуированная сеть» и показано, что большинство сетей, встречающихся в практической деятельности, является градуированными. Градуированная сеть  $G$  — это сеть, имеющая гомоморфизм

Сведения об авторах: Сергей Викторович Сизый, канд. физ.-мат. наук, доцент кафедры алгебры и дискретной математики Уральского государственного университета им. А. М. Горького. E-mail: sergey.siziy@usu.ru.

About the author: Sergey V. Sizy, PhD; Algebra and discrete mathematics department of the Ural State University, Ekaterinburg, Russia. E-mail: sergey.siziy@usu.ru.

$$\varphi : G \rightarrow \langle \{1, 2, \dots, N\}; \leq \rangle$$

на начальный отрезок натурального ряда  $\{1, 2, \dots, N\}$ , упорядоченный естественным отношением порядка. Содержательно, отображение  $\varphi$  присваивает элементам (предприятиям) сети  $\mathbf{G}$  некоторое натуральное число — приоритет, или ранг, означающий важность и значимость предприятия в сети с точки зрения его производственных функций.

Пусть имеется градуированная сеть  $\mathbf{G}$  и ее градуировка

$$\varphi : G \rightarrow \langle \{1, 2, \dots, m\}; \leq \rangle.$$

Градуировка  $\varphi$  естественным образом разбивает множество узлов сети  $\mathbf{G}$  на уровни (классы эквивалентности)  $\mathbf{G} = G_1 \cup G_2 \cup \dots \cup G_m$  узлов одинакового ранга. Здесь  $G_j = \varphi^{-1}(j)$ , то есть на уровне  $G_j$  содержатся все узлы сети  $\mathbf{G}$ , имеющие ранг  $j$ . Уровни  $G_1, G_2, \dots, G_m$  удобно представлять в виде расположенных друг над другом горизонтальных плоскостей, на каждой из которых находятся все узлы сети, ранг которых равен номеру плоскости [7]. При этом ребра сети  $\mathbf{G}$  могут соединять узлы данного уровня  $G_j$  с узлами уровней  $G_{j-1}$ ,  $G_j$  и  $G_{j+1}$ , но не могут «перескакивать» через уровень (скажем, соединять узлы уровней  $G_{j-1}$  и  $G_{j+1}$ ) — это противоречит определению градуированной сети.

Стандартным общеупотребительным способом задания сетей и хранения их в электронном виде является представление сетей матрицами смежности (или матрицами потоков) [1]. Пусть дана сеть

$$\mathbf{G} = \langle \{P_1, P_2, \dots, P_N\}; E \rangle,$$

узлы которой занумерованы последовательными натуральными числами (здесь  $k$  — номер узла  $P_k$ ,  $N$  — число узлов сети  $\mathbf{G}$ ,  $E$  — множество

ребер). Матрица смежности  $(g_{ij})$  сети  $\mathbf{G}$  имеет размеры  $N \times N$  и определяется следующим образом:

$$g_{ij} = \begin{cases} 1, & \text{если между узлами } P_i \text{ и } P_j \text{ есть ребро;} \\ 0, & \text{если между узлами } P_i \text{ и } P_j \text{ нет ребра.} \end{cases}$$

Известно, что всякая сеть определяется своей матрицей смежности однозначно с точностью до изоморфизма [1]. Этим объясняется повсеместное использование матриц смежности для хранения, анализа и компьютерной обработки информации об организационных сетях и иных сетевых структурах. Однако метод представления сетей матрицами смежности имеет недостатки. Матричный метод, прежде всего, это избыточный способ (особенно при наличии априорной дополнительной информации об устройстве сети и виде ее диаграммы). Значительные объемы памяти в матрицах смежности занимают одинаковые числа, матрицы имеют большие размеры, поэтому работа различных стандартных алгоритмов анализа сетей (в особенности, алгоритмов переборного характера, например таких, как алгоритм поиска гамильтонова цикла или кратчайшего пути) затрудняется, а время на нее значительно увеличивается.

Избыточность метода представления сетей матрицами смежности объясняется его универсальностью и возможностью его применения в любых ситуациях. Разумно предположить, что для случая конкретных сетей (например, градуированных) существует более простой, наглядный и эффективный способ их представления, сохраняющий, тем не менее, все преимущественные и полезные свойства матричного представления. Кроме того, относительно предполагаемого способа разумно выдвинуть требования простоты и высокой скорости выполнения стандартных алгоритмов анализа сетей.

В настоящей работе предлагается новый метод представления организационных сетей, полностью удовлетворяющий сформулированным требованиям к однозначности, алгоритмической простоте, наглядности и эффективности.

Пусть дана градуированная сеть

$$\mathbf{G} = \langle G_1 \cup G_2 \cup \dots \cup G_m; E \rangle.$$

Определим для каждого узла  $P \in G_j \subseteq \mathbf{G}$ , лежащего на уровне  $G_j$ , две характеристики:

$R(P)$  — количество ребер, идущих из узла  $P$  в узлы того же ранга, то есть в узлы уровня  $G_j$ ;

$S(P)$  — количество ребер, идущих из узла  $P$  в узлы следующего ранга, то есть в узлы уровня  $G_{j+1}$ .

Занумеруем произвольным образом натуральными числами узлы каждого уровня  $G_j$ , то есть сопоставим каждому узлу

$$P \in G_j, \varphi(P) = j$$

натуральное число

$$i = i(P) \in \{1, 2, \dots, |G_j|\}$$

— номер этого узла. Здесь  $|G_j|$  — число узлов на уровне  $G_j$ . Подразумеваем, естественно, что нумерация

$$i : G_j \rightarrow \{1, 2, \dots, |G_j|\}$$

является биективным отображением; номера разных узлов  $P, Q \in G_j$  не могут совпадать:  $i(P) \neq i(Q)$ .

После того как нумерация узлов каждого уровня сети  $\mathbf{G}$  зафиксирована, сопоставим каждому узлу  $P$  сети  $\mathbf{G}$  следующий кортеж  $K(P)$  натуральных чисел:

$$P \mapsto K(P) = \left( j = \varphi(P), i = i(P); r_1, r_2, \dots, r_{R(P)}; n_1, n_2, \dots, n_{S(P)} \right). \quad (1)$$

В кортеже  $K(P)$  первые два числа суть ранг  $\varphi(P)$  узла  $P$  и номер  $i(P)$  узла  $P$  на его уровне  $G_j$  в зафиксированной нумерации. Назовем первые два числа  $j, i$  кортежа  $K(P)$  его префиксной частью.

Числа  $r_1, r_2, \dots, r_{R(P)}$  суть номера узлов на уровне  $G_j$ , смежных с узлом  $P$  на уровне  $G_j$  (все эти узлы имеют ранг, равный рангу узла  $P$ ). Договоримся, что если узел  $P$  не связан с узлами своего уровня  $G_j$ , то в кортеже  $K(P)$  на месте группы чисел  $r_1, r_2, \dots, r_{R(P)}$  стоит число 0. Числа  $n_1, n_2, \dots, n_{S(P)}$  суть номера узлов на уровне  $G_{j+1}$ , смежных с узлом  $P$ , то есть номера узлов, лежащих на следующем уровне  $G_{j+1}$  и связанных с узлом  $P$  (все такие узлы имеют ранг  $\varphi(P) + 1$ ). Договоримся, что если узел  $P$  не связан с узлами следующего уровня  $G_{j+1}$ , то в кортеже  $K(P)$  на месте группы чисел  $n_1, n_2, \dots, n_{S(P)}$  стоит число 0. Будем называть числа

$$(r_1, r_2, \dots, r_{R(P)}; n_1, n_2, \dots, n_{S(P)})$$

суффиксной частью кортежа  $K(P)$ .

В результате сопоставления каждому узлу сети  $G$  соответствующего кортежа получим набор  $K(G)$  кортежей вида (1) для всех узлов сети  $G$ .

По набору кортежей  $K(G)$  построим таблицу кортежей  $T(G)$ , организованную следующим образом: в  $j$ -й строке таблицы кортежей  $T(G)$  расположены все кортежи узлов уровня  $G_j$  в порядке возрастания номеров узлов, то есть префиксная часть каждого кортежа  $K(P)$  содержит номер строки и номер столбца ячейки таблицы, в котором находится данный кортеж  $K(P)$ . (Отметим, что после организации кортежей в таблицу, в целях экономии памяти, префиксную часть каждого кортежа  $K(P)$  можно удалить, поскольку префикс однозначно восстанавливается по расположению кортежа  $K(P)$  в таблице  $T(G)$ .) Пример градуированной сети

$G$  и соответствующей таблицы кортежей  $T(G)$  приведен на рис. 1.

Пусть дана некоторая таблица  $T$  кортежей вида (1). Если на некоторой градуированной сети  $G$  можно задать нумерацию узлов каждого уровня так, что заданная таблица кортежей  $T$  будет являться таблицей кортежей этой сети  $G$ , то есть  $T = T(G)$ , то условимся говорить в этом случае, что сеть  $G$  удовлетворяет таблице кортежей  $T$  или, что равносильно, таблица кортежей  $T$  выполняется на сети  $G$ .

Две градуированные сети  $G$  и  $H$  называем изоморфными, если существует биекция  $\psi : \mathbf{G} \rightarrow \mathbf{H}$  такая, что для любых двух узлов  $g_1, g_2 \in \mathbf{G}$  сети  $G$  и соответствующих им узлов  $\psi(g_1), \psi(g_2)$  в сети  $H$  выполнено:

- а) узлы  $g_1$  и  $\psi(g_1)$  имеют одинаковый ранг;
- б) узлы  $g_1, g_2$  соединены ребром в сети  $G$  тогда и только тогда, когда их образы  $\psi(g_1), \psi(g_2)$  соединены ребром в сети  $H$ .

Следующая теорема решает задачу об определяемости градуированной сети набором ее кортежей.

**Теорема.** *Всякая градуированная организационная сеть  $G$  определяется набором кортежей  $K(G)$  однозначно, с точностью до изоморфизма.*

Поскольку все рассматриваемые градуированные сети предполагаются конечными, то (на языке теории моделей) утверждение теоремы

означает, что произвольный набор кортежей  $K(G)$  порождает полную и категоричную теорию в соответствующей сигнатуре [8].

Сформулированная теорема решает задачу об однозначной и эффективной определяемости градуированной сети набором кортежей. Это означает, что метод представления набором кортежей не слабее матричного метода. Очевидно, что метод кортежей более экономный, чем матричное представление, поскольку требуемое для представления число кортежей равно количеству элементов в сети  $N = |\mathbf{G}|$ . Количество необходимо хранимых чисел (объем требуемой памяти) равно  $2N + |E|$ , где  $|E|$  — количество ребер сети  $G$ . Ясно, что в градуированных сетях, где число ребер меньше максимально возможного (поскольку, например, связи «через уровень» невозможны), выполнено неравенство  $2N + |V| \ll N^2$ , где  $N^2$  — объем памяти, необходимый для матричного представления сети  $G$ .

**Доказательство теоремы.** Сначала построим градуированную сеть, удовлетворяющую данному набору кортежей  $K(G)$ . Количество кортежей в наборе  $K(G)$  есть в точности число узлов сети:  $|\mathbf{K}(\mathbf{G})| = |\mathbf{G}| = N$ . Легко видеть, что заданный набор кортежей  $K(G)$  однозначно организуется в таблицу кортежей  $T(G)$  в силу того, что первое число всякого кортежа  $K(P)$

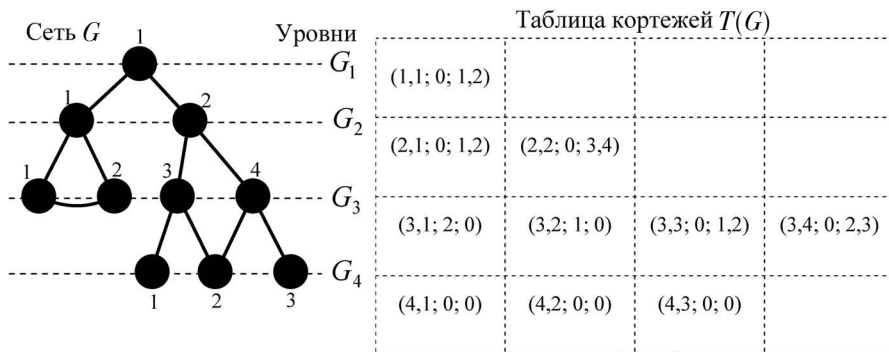


Рис. 1. Пример градуированной сети  $G$  и соответствующей таблицы

вида (1) является номером строки в таблице  $T(G)$ , а второе число кортежа — номером позиции данного кортежа в строке. Кортежу таблицы  $T(G)$ , стоящему в  $j$ -й строке и  $i$ -м столбце, соответствует узел  $P_{ji} \in \mathbf{G}$ , с номером  $i$  на уровне  $G_j$  градуированной сети  $G$ . Изобразим все узлы  $P_{ji}$  сети  $G$  в соответствующих клетках таблицы кортежей  $T(G)$ . Фактически, мы получим диаграмму сети  $G$ , на которой пока не изображены ребра. Связи узла  $P_{ji}$  с узлами уровней  $G_j$  и  $G_{j+1}$  указаны в суффиксной части кортежа этого узла в таблице  $T(G)$ , поэтому их изображение на диаграмме сети  $G$  является эффективной процедурой, то есть однозначно определенным конечным детерминированным процессом.

Таким образом, начиная с верхнего уровня  $G_1$  (на котором расположены все узлы сети  $G$ , не имеющие связей с узлами более высокого ранга), последовательно восстанавливаются ребра сети  $G$ , идущие от узлов данного уровня в узлы следующего более низкого уровня; этим полностью восстанавливается диаграмма градуированной сети  $G$ . Полученная градуированная сеть  $G$  очевидно удовлетворяет таблице кортежей  $T(G)$  по построению.

Покажем теперь однозначность представления. Пусть задана таблица кортежей  $T$  и имеются две градуированные сети  $G$  и  $H$ , удовлетворяющие рассматриваемой таблице. Покажем, что сети  $G$  и  $H$  изоморфны.

Поскольку обе сети  $G$  и  $H$  удовлетворяют одной и той же таблице кортежей  $T$ , содержащей  $|\mathbf{T}| = N$  штук кортежей вида (1), то эти сети содержат одинаковое число узлов  $|\mathbf{G}| = |\mathbf{H}| = N$ . Действительно, каждому кортежу вида  $(j, i; r_1, r_2, \dots; n_1, n_2, \dots)$  из таблицы  $T$  однозначно соответствуют некоторый узел сети  $G$

$$(j, i; r_1, r_2, \dots; n_1, n_2, \dots) \xrightarrow{g} g_{ji} \in \mathbf{G}$$

и некоторый узел сети  $H$

$$(j, i; r_1, r_2, \dots; n_1, n_2, \dots) \xrightarrow{h} h_{ji} \in \mathbf{H}.$$

Указанные отображения  $g, h$  кортежей в элементы сетей показаны на рис. 2 стрелками.

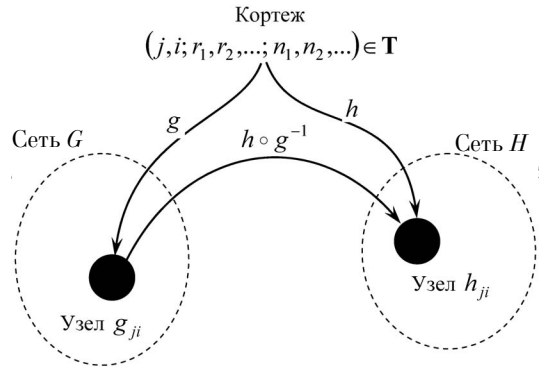


Рис. 2. Соответствия между узлами сетей  $G$  и  $H$  и кортежами таблицы кортежей  $T$

Поскольку указанное отображение  $g: \mathbf{T} \rightarrow \mathbf{G}$  — биекция, то существует обратное отображение  $g^{-1}: \mathbf{G} \rightarrow \mathbf{T}$ , также являющееся биекцией. Рассмотрим композицию отображений  $h \circ g^{-1}: \mathbf{G} \rightarrow \mathbf{H}$ . Поскольку композиция двух биективных отображений снова является биекцией, то отображение  $h \circ g^{-1}: \mathbf{G} \rightarrow \mathbf{H}$  устанавливает взаимно однозначное соответствие между элементами сетей  $G$  и  $H$ , следовательно, сети  $G$  и  $H$  содержат одинаковое число узлов.

Покажем теперь, что отображение  $h \circ g^{-1}: \mathbf{G} \rightarrow \mathbf{H}$  является изоморфизмом сетей  $G$  и  $H$ . Для этого достаточно показать, что между парой узлов  $g_{j_1 i_1}, g_{j_2 i_2} \in \mathbf{G}$  сети  $G$  имеется ребро  $(g_{j_1 i_1})\rho_G(g_{j_2 i_2})$  тогда и только тогда, когда ребро  $\rho_H$  имеется и между соответствующими узлами  $h \circ g^{-1}(g_{j_1 i_1}), h \circ g^{-1}(g_{j_2 i_2}) \in \mathbf{H}$  в сети  $H$ , то есть

$$(h \circ g^{-1}(g_{j_1 i_1}))\rho_H(h \circ g^{-1}(g_{j_2 i_2})).$$

Действительно, пусть узлы  $g_{j_1 i_1}, g_{j_2 i_2} \in \mathbf{G}$ , смежные в сети  $G$ , то есть  $(g_{j_1 i_1}, \rho_G(g_{j_2 i_2}))$ . Без ограничения общности считаем, что  $j_1 \geq j_2$ , то есть ранг второго узла  $g_{j_2 i_2}$  не превосходит ранга первого узла  $g_{j_1 i_1}$ . Это означает, что либо узлы  $g_{j_1 i_1}, g_{j_2 i_2}$  лежат на одном уровне и  $j_1 = j_2$ , либо они лежат на соседних уровнях  $G_{j_1}$  и  $G_{j_1+1}$  и в этом случае  $j_2 = j_1 + 1$ .

Пусть сначала смежные узлы  $g_{j_1 i_1}, g_{j_2 i_2}$  лежат на одном уровне  $G_{j_1}$  градуированной сети  $G$ . Поскольку сеть  $G$  удовлетворяет таблице  $T$ , то в этом случае в таблице  $T$  этим узлам соответствуют кортежи

$$g^{-1}(g_{j_1 i_1}) = (j_1, i_1; r_1, \dots, i_2, \dots; m_1, \dots)$$

и  $g^{-1}(g_{j_2 i_2}) = (j_1, i_1; r'_1, \dots, i_1, \dots; m'_1, \dots),$

Другими словами, в этих кортежах указано, что между данными узлами имеется связь  $\rho_G$ . Так как сеть  $H$  удовлетворяет таблице  $T$ , указанным кортежам в сети  $H$  соответствуют узлы

$$h_{j_1 i_1} = h(j_1, i_1; r_1, \dots, i_2, \dots; m_1, \dots)$$

$$\text{и } h_{j_1 i_2} = h(j_1, i_1; r'_1, \dots, i_1, \dots; m'_1, \dots).$$

Видно, что между узлами  $h_{j_1 i_1}$  и  $h_{j_2 i_2}$  также имеется связь  $\rho_H$ , поскольку именно эта связь (между узлами с номерами  $i_1$  и  $i_2$ ) указана в кортежах узлов  $h_{j_1 i_1}$  и  $h_{j_2 i_2}$ . Таким образом, в этом случае имеем  $(h_{j_1 i_1}, \rho_H(h_{j_2 i_2}))$ .

Пусть теперь смежные узлы  $g_{j_1 i_1}, g_{j_1+1, i_2}$  лежат на соседних уровнях  $G_{j_1}$  и  $G_{j_1+1}$  градуированной сети  $G$ . Поскольку сеть  $G$  удовлетворяет таблице  $T$ , то в таблице  $T$  этим узлам соответствуют кортежи

$$g^{-1}(g_{j_1 i_1}) = (j_1, i_1; r_1, \dots; m_1, \dots, i_2, \dots)$$

и  $g^{-1}(g_{j_1+1, i_2}) = (j_1+1, i_2; r'_1, \dots; m'_1, \dots),$

то есть в этих кортежах указано, что между данными узлами имеется

связь  $\rho_G$ . Так как сеть  $H$  удовлетворяет таблице  $T$ , указанным кортежам в сети  $H$  соответствуют узлы

$$h_{j_1 i_1} = h(j_1, i_1; r_1, \dots; m_1, \dots, i_2, \dots)$$

и  $h_{j_1+1, i_2} = h(j_1+1, i_2; r'_1, \dots; m'_1, \dots).$

Видно, что между этими узлами в сети  $H$  также имеется связь  $\rho_H$ , поскольку именно эта связь указана в суффиксе кортежа узла  $h_{j_1 i_1}$ . Таким образом, и в этом случае имеем

$$(h_{j_1 i_1}, \rho_H(h_{j_1+1, i_2})).$$

Мы показали, что если между некоторой парой узлов  $g_{j_1 i_1}, g_{j_2 i_2} \in \mathbf{G}$  сети  $G$  имеется ребро  $\rho_G$ , то и между соответствующими узлами

$$h_{j_1 i_1} = h \circ g^{-1}(g_{j_1 i_1}), h_{j_2 i_2} = h \circ g^{-1}(g_{j_2 i_2})$$

сети  $H$  имеется ребро  $\rho_H$ . Для доказательства изоморфизма сетей  $G$  и  $H$  осталось показать обратное утверждение: если между некоторой парой узлов  $h_{j_1 i_1}, h_{j_2 i_2} \in \mathbf{H}$  сети  $H$  имеется ребро  $\rho_H$ , то и между соответствующими узлами

$$g_{j_1 i_1} = g \circ h^{-1}(h_{j_1 i_1}), g_{j_2 i_2} = g \circ h^{-1}(h_{j_2 i_2})$$

сети  $G$  имеется ребро  $\rho_G$ .

Легко понять, что доказательство обратного утверждения проводится аналогично. Отличие заключается лишь в том, что при доказательстве обратного утверждения необходимо рассматривать биективное отображение сетей  $g \circ h^{-1}: \mathbf{H} \rightarrow \mathbf{G}$ , являющееся обратным к отображению  $h \circ g^{-1}: \mathbf{G} \rightarrow \mathbf{H}$ , то есть  $g \circ h^{-1} = (h \circ g^{-1})^{-1}$ .

Очевидно также, что отображение  $h \circ g^{-1}: \mathbf{G} \rightarrow \mathbf{H}$  сохраняет ранги узлов, поскольку ранг каждого узла указывается в префиксе соответствующего кортежа. Таким образом, любые две градуированные сети  $G$  и  $H$ , удовлетворяющие данной таблице кортежей  $T$ , изоморфны.

Теорема доказана.

Отметим, что при построении набора кортежей  $K(G)$  нумерация  $i(P)$  узлов каждого уровня сети  $G$  предполагалась нами зафиксированной, но, вообще говоря, произвольной и выбираемой по своему усмотрению. При изменении нумерации узлов сети ее матрица смежности изменяется — со строками и столбцами происходят некоторые элементарные преобразования [4].

Опишем, как изменяется таблица  $T(G)$  при изменении нумерации узлов градуированной сети  $G$ .

Пусть  $G_j$  — уровень сети, на котором произведена перенумерация узлов, то есть перестановка  $\sigma$  множества номеров  $\{1, 2, \dots, |G_j|\}$  узлов. Узел  $P_{ji} \in G_j$ , имевший номер  $i$ , после перенумерации получает номер  $\sigma(i)$ . Пусть  $G_j$  — самый нижний уровень сети, подвергшийся перенумерации; ниже этого уровня перенумерация узлов не производилась.

При перенумерации  $\sigma$  на  $j$ -й строке таблицы  $T(G)$  каждый кортеж  $K(P_{ji})$  изменит префикс с  $(j, i)$  на  $(j, \sigma(i))$ . Легко понять, что суффикс кортежа  $K(P_{ji})$  изменится следующим образом: первая половина его суффикса заменится на  $(\sigma(r_1), \sigma(r_2), \dots, \sigma(r_{p_{ji}}))$ , а вторая — на вторую половину суффикса узла  $P_{j, \sigma(i)}$ .

Изменение нумерации узлов на уровне  $G_j$  индуцирует изменение

суффиксов узлов на уровне над ним  $G_{j-1}$  (если таковой существует). А именно: перестановка  $\sigma$  номеров узлов на уровне  $G_j$  порождает соответствующую перестановку вторых половин суффиксов кортежей на уровне  $G_{j-1}$ , в которых указано, с какими узлами уровня  $G_j$  соединены узлы уровня  $G_{j-1}$ . Легко видеть, что перестановка  $\sigma$ , произведенная на уровне  $G_j$ , не повлечет изменения кортежей в следующей строке таблицы  $T(G)$  (то есть на следующем уровне  $G_{j+1}$ ), поскольку в каждом кортеже указываются связи узлов только с узлами равного и более низкого ранга.

Таким образом, изменение нумерации узлов на некотором уровне  $G_j$  градуированной организационной сети повлечет простую перестановку кортежей в  $j$ -й строке таблицы  $T(G)$  и соответствующую перестановку вторых частей суффиксов кортежей в  $(j-1)$ -й строке (если таковая имеется). Видно, что такое преобразование таблицы кортежей  $T(G)$  является легко осуществляемым эффективным процессом, позволяющим построить таблицу кортежей градуированной сети  $G$  при изменении нумерации узлов (причем построить новую таблицу кортежей из таблицы кортежей старой нумерации, без использования диаграммы самой сети  $G$ ). ■

## Литература

1. Емеличев В. А., Мельников О. И., Сарванов В. И., Тышкевич Р. И. Лекции по теории графов. М. : Наука, Гл. ред. физ.-мат. лит., 1990. — 384 с.
2. Филипс Д., Гарсиа-Диас А. Методы анализа сетей. М. : Мир, 1984. — 496 с.
3. Сай В. М. Планетарные структуры управления на железнодорожном транспорте. — Транспорт: наука, техника, управление. — М. : ВИНТИ РАН, 2002. — № 4. — С. 8–11. ISSN 0236–1914.
4. Сай В. М. Планетарная структура: корпоративные варианты // Мир транспорта. — М., 2003. — № 1. — С. 96–102. ISSN 1992–3252.
5. Сай В. М., Сизый С. В. Организационные структуры как мультиоператорные сети. Задачи прочности и устойчивости // Транспорт Урала. 2009, № 2 (21). — С. 5–9. ISSN 1815–9400.

6. Сизый С. В. Модель образования и распада организационных сетей в экономико-правовом пространстве // ВИНТИ РАН: Транспорт: наука, техника, управление, 2010, № 3. — С. 16–26. ISSN 0236–1914.
7. Сизый С. В. Сетевая поддержка предприятий в градуированных организационных сетях. Вестник УрГУПС. Екатеринбург : УрГУПС, 2010. № 1. — С. 33–45. ISSN 2079–0392.
8. Кейслер Г., Чэн Ч. Ч. Теория моделей. М. : Мир, 1977. — 614 с.

## Literature

1. Emelichev V. A., Melnikov O. I., Sarvanov V. I., Tyshkevich R. I. Lectures on graph theory. — M.: Nauka, Physico-Mathematical Literature, 1990. — 384 p.
2. Phillips D., Garcis-Diaz A. Fundamentals of Network Analysis. — M. : Mir, 1984. — 496 p.
3. Say V. M. Planetary management structures at railway transport. Transport: science, technology, management. — M.: VINITI RAS, 2002. — № 4. — P. 8–11. ISSN 0236–1914.
4. Say V. M. Planetary structure: corporate variants // World of transport. — M., 2003. — № 1. — P. 96–102. ISSN 1992–3252.
5. Say V. M., Sizy S. V. Organizational structures as multioperator networks. Durability and sustainability tasks // Ural Transport, 2009, № 2 (21). — P. 5–9. ISSN 1815–9400.
6. Sizy S. V. The model of organizational networks formation and destruction in economic-legal space // VINITI RAS: Transport: science, technology, management. — 2010. — № 3. — P. 16–26. ISSN 0236–1914.
7. Sizy S. V. Enterprises network support in graded organizational systems // Herald of USURT. — Ekaterinburg: USURT, 2010, № 1. — P. 33–45. ISSN 2079–0392.
8. Keisler H.J., Chang C. C. Model Theory. — M. : Mir, 1977. — 614 p.

## References (transliteration)

1. Emelichev V. A., Melnikov O. I., Sarvanov V. I., Tyshkevich R. I. Lektsii po teorii grafov. — M. : Nauka, Gl. red. fiz.-mat. lit., 1990. — 384 s.
2. Fillips D., Garsia-Dias A. Metody analiza setej. — M. : Mir, 1984. — 496 s.
3. Say V. M. Planetarnye struktury upravleniya na zheleznodorozhnom transporte Transport: nauka, tekhnika, upravlenie. — M. : VINITI RAN 2002. — № 4. — S. 8–11. ISSN 0236–1914.
4. Say V. M. Planetarnaya struktura: korporativnye varianty // Mir transporta. — M., 2003. — № 1. — S. 96–102. ISSN 1992–3252.
5. Say V. M., Sizy S. V. Organizatsionnye struktury kak multioperatornye seti. Zадachi prochnosti i ustojchivosti // Transport Urala, 2009 № 2 (21). — S. 5–9. ISSN 1815–9400.
6. Sizy S. V. Model obrazovaniya i raspada organizatsionnyh setej v ekonomikopravovom prostranstve // VINITI RAN: Transport: nauka, tekhnika, upravlenie. — 2010. — № 3. — S. 16–26. ISSN 0236–1914.
7. Sizy S. V. Setevaya podderzhka predpriyatij v graduированных организационных setyah // Vestnik UrGUPS. — Ekaterinburg : UrGUPS, 2010, № 1. — S. 33–45. ISSN 2079–0392.
8. Kejsler G., Chen Ch.Ch. Teoriya modelej. — M. : Mir, 1977. — 614 s.

*Статья сдана в редакцию 11.05.2010 г.*

# МЕХАНИКА МАШИН И РОБОТОВ

УДК 629.421.1

*А. П. Буйносов*

## **Влияние разности диаметров бандажей на износ колесных пар тягового подвижного состава**

UDC 629.421.1

*A. P. Buinosov*

## **Influence of tires' diameters difference on wear of motive power wheel pairs**

### **Аннотация**

Разработан метод и изложена методика определения допустимой разности в диаметрах бандажей колесной пары тягового подвижного состава в эксплуатации для различных депо и серий локомотивов. Приведен алгоритм программы расчета параметров уравнений множественной регрессии методом последовательных включений. По результатам расчетов показано, что значения предельной допустимой разности диаметров бандажей колесной пары в различных условиях эксплуатации могут значительно отличаться. Разность диаметров бандажей на одной колесной паре существенно влияет на интенсивность уменьшения толщины гребня и незначительно — на рост проката. При эксплуатации бандажей колесных пар необходимо руководствоваться рассчитанными значениями и не допускать выхода разности диаметров за предельные значения, так как в противном случае межремонтный период будет лимитировать износ гребня, вследствие чего увеличатся расходы на ремонт и уменьшится пробег до обточки.

### **Ключевые слова:**

локомотив, колесная пара, износ бандажа, разность диаметров, ресурс бандажа.

### **Abstract**

The author has developed the method and stated the estimation methodology of tires' diameters permissible difference of main power wheel pairs in operation for various depots and locomotives lines. The program algorithm of estimation of multiple regression equation parameters by the method of series mode is given. By the estimation results it is shown that the values of maximum diameters' difference of wheel pair's tire in different operation conditions may differ quite significantly. The tires' diameters difference on one wheel pair influences a lot the reduction intensity of flange thickness and a bit the rolled metal increase. During wheelpairs' tires operation it is necessary to follow the calculated values and not allow the diameters difference to exceed the extreme values. Otherwise overhaul period will limit flange wear that lead to repair costs increase and reduce the run till turning.

### **Key words:**

locomotive, wheel pair, tire wear, diameters difference, tire wear life.

Сведения об авторах: **Александр Петрович Буйносов**, канд. техн. наук, доцент кафедры «Электрическая тяга» Уральского государственного университета путей сообщения. E-mail: [byinosov@mail.ru](mailto:byinosov@mail.ru).

About the author: **Aleksander P. Buinosov**, PhD, Associate professor, 'Electric traction' department of the Ural State University of Railway Transport; Ekaterinburg, Russia. E-mail: [byinosov@mail.ru](mailto:byinosov@mail.ru).

Важным параметром ресурса бандажа колесной пары является его диаметр и разница диаметров. Величины разброса диаметров бандажей колесных пар по кругу катания на одном локомотиве тесно связаны с интенсивностью их изнашивания. Точно определить величины диаметров бандажей колесных пар локомотивов при существующих методах их измерения можно только при выкатке колесно-моторных блоков, то есть процесс контроля величин разбросов диаметров колесных пар на одном локомотиве и выхода размеров за пределы их допуска существенно затруднены.

Поступательное движение колесных пар разных диаметров, механически связанных между собой, сопровождается дополнительным («паразитным») их проскальзыванием. Этот факт впервые объяснил инженер Ромейко-Гурко: колесные центры таких колесных пар будут стремиться проходить разные пути, но вследствие наличия механической связи между колесными парами вынуждены проходить одинаковые пути.

Основным фактором, влияющим на интенсивный износ гребней колесных пар, является их проскальзывание относительно рельса в результате всползания и соскальзывания. Под всползанием понимается вертикальное перемещение колеса относительно рельса, возникающее в результате набегания гребня на головку рельса, а под соскальзыванием — аналогичное перемещение под воздействием сил от массы экипажа [1, 2].

Величину проскальзывания и угол набегания при разности диаметров можно сравнить (по разности путей пройденным большим и меньшим по диаметру колесами) с величиной проскальзывания при движении локомотива в кривой. Путь, пройденный с учетом проскальзывания большим по диаметру колесом в режиме тяги, определяется как

$$\Pi_{\text{H}} = \frac{R_{\text{H}}}{R_{\text{ВН}}} \Pi_{\text{ВН}} \quad (1)$$

$$\text{или} \quad \Pi_{\text{H}} = \frac{R_{\text{ВН}} + 1,58}{R_{\text{ВН}}} \Pi_{\text{ВН}}, \quad (2)$$

где  $R_{\text{H}}$  — радиус кривой по наружному рельсу, м;  $R_{\text{ВН}}$  — радиус кривой по внутреннему рельсу, м; 1,58 — ширина рельсовой колеи по кругам катания колес, м;  $\Pi_{\text{ВН}}$  — путь, пройденный внутренним колесом, м.

Разность путей пройденных внутренним и наружным колесами при движении в кривой определяется по уравнению

$$P_{\text{кр}} = \frac{1,58}{R_{\text{ВН}}} \Pi_{\text{ВН}}. \quad (3)$$

Для определения соответствия между проскальзыванием колес от разности диаметров и от движения локомотива в кривой необходимо приравнять выражения разности пройденного колесами для обоих случаев.

Тогда радиус кривой по оси пути, соответствующий по проскальзыванию колес разности диаметров, можно найти:

$$R = \frac{1,58}{D_{\text{б}} / D_{\text{м}} - 1} + 0,79. \quad (4)$$

Результаты расчета представлены в таблице 1.

При всползании колесная пара переходит в режим одноточечного касания с рельсом, с точкой контакта, приходящейся на гребень. Наличие непрерывного процесса «всползание-соскальзывание» является одной из основных причин интенсивного износа гребней колесных пар локомотивов и рельсов [3].

При движении электровоза в режиме тяги скольжение бандажа с большим диаметром протекает более интенсивно, чем бандажа с меньшим диаметром. При торможении —

наоборот. Поэтому разность в диаметрах бандажей колесной пары в эксплуатации постоянно меняется, а значит, изменяется и интенсивность износа.

С увеличением скорости движения величина перераспределения тягового усилия по колесным парам возрастает настолько, что колесная пара с меньшим диаметром бандажей может иметь отрицательное значение силы тяги, то есть может перейти в режим торможения, а нагрузка большей колесной пары значительно превышает расчетную.

Увеличение разности диаметров колесных пар ведет к пропорциональному увеличению разности вращающих моментов по колесным парам группового тягового привода, что существенно снижает его надежность и долговечность в эксплуатации. Интенсивность изнашивания бандажей колесных пар можно значительно уменьшить путем подбора колесных пар в соответствии с соотношениями их диаметров и электро-механическими характеристиками тяговых двигателей локомотивов. При этом существенно увеличивается использование мощности электровозов и уменьшается неравномерность нагружения ТЭД.

При решении вопроса о толщине снимаемой стружки при обточке бандажей основополагающим фактором

служит состояние гребня: чем больше его износ, тем, соответственно, большую стружку приходится снимать по кругу катания колеса и, наоборот, при равномерном гребне и наличии проката совершенно нет необходимости в дополнительном съеме металла с поверхности катания [4].

Выделить среди рассматриваемых контролируемых параметров (прокат, толщина гребня) нужный, наилучшим образом отражающий зависимость изнашивания бандажей от разности диаметров, можно методом множественного корреляционного анализа. Разность диаметров бандажей колесной пары рассмотрена как функция двух аргументов:

$$y = f(x_1, x_2), \quad (5)$$

где  $y$  — разность диаметров бандажей колесной пары;  $x_1$  — прокат бандажей;  $x_2$  — изменение толщины гребня. Их реализации будут соответственно:  $x_1, x_2, y_i$  ( $i = 1, 2, \dots, n$ ), если  $n$  — объем выборки.

Если случайная величина  $Y$  для любой фиксированной пары значений  $(x_1; x_2)$  распределяется по нормальному закону, то ее можно описать математическим ожиданием и дисперсией  $\sigma^2$  [5, 6]:

$$Y = a + b_1x_1 + b_2x_2. \quad (6)$$

Таблица 1

Результаты расчета радиуса кривой, соответствующего проскальзыванию колес по разности диаметров

Диаметр большого колеса, мм	Разность диаметров, мм	Радиус кривой, м
1250,0	1	1974
	2	986
	3	657
	4	492
	5	394
	6	328
	7	281
	8	246
	9	218

Для оценки неизвестных параметров  $a$ ,  $b_1$ ,  $b_2$  и  $\sigma^2$  представим  $n$  значений  $(x_{1i}; x_{2i}; y_i)$  ( $i = 1, 2, \dots, n$ ) в виде точек в пространстве и попытаемся описать их некоторой плоскостью. Уравнение плоскости в общем виде запишем следующим образом:

$$y = a + b_1 x_1 + b_2 x_2. \quad (7)$$

По методу наименьших квадратов получаем подходящие оценки  $\tilde{a}, \tilde{b}_1, \tilde{b}_2$  для коэффициентов  $a$ ,  $b_1$ ,  $b_2$  исходя из требования

$$\sum_{i=1}^n [y_i - (a + b_1 x_{1i} + b_2 x_{2i})]^2 = \min. \quad (8)$$

Приравняв к нулю частные производные (8) по  $a$ ,  $b_1$ ,  $b_2$ , получим систему линейных уравнений для определения  $\tilde{a}, \tilde{b}_1, \tilde{b}_2$ :

$$\begin{cases} n \cdot \tilde{a} + \tilde{b}_1 \sum_{i=1}^n x_{1i} + \tilde{b}_2 \sum_{i=1}^n x_{2i} = \sum_{i=1}^n y_i, \\ \tilde{a} \sum_{i=1}^n x_{1i} + \tilde{b}_1 \sum_{i=1}^n x_{1i}^2 + \tilde{b}_2 \sum_{i=1}^n x_{1i} x_{2i} = \sum_{i=1}^n x_{1i} y_i, \\ \tilde{a} \sum_{i=1}^n x_{2i} + \tilde{b}_1 \sum_{i=1}^n x_{1i} x_{2i} + \tilde{b}_2 \sum_{i=1}^n x_{2i}^2 = \sum_{i=1}^n x_{2i} y_i. \end{cases} \quad (9)$$

Преобразование этой системы уравнений с учетом (10):

$$\sum_{i=1}^n (x_{ki} - \bar{x}_k) = S(x_r^2), \quad k=1,2,$$

$$\sum_{i=1}^n (x_{ki} - \bar{x}_k) (y_i - \bar{y}) = S(x_k, y),$$

$$\sum_{i=1}^n (x_{1i} - \bar{x}_1) (x_{2i} - \bar{x}_2) = S(x_1, x_2), \quad (10)$$

$$\sum_{i=1}^n (y_i - \bar{y})^2 = S(y^2)$$

дает оценки (11)–(13):

$$\tilde{b}_1 = \frac{S(x_2^2)S(x_1 y) - S(x_1 x_2)S(x_2 y)}{S(x_1^2)S(x_2^2) - [S(x_1 x_2)]^2}, \quad (11)$$

$$\tilde{b}_2 = \frac{S(x_1^2)S(x_2 y) - S(x_1 x_2)S(x_1 y)}{S(x_1^2)S(x_2^2) - [S(x_1 x_2)]^2}, \quad (12)$$

$$\tilde{a} = \bar{y} - \tilde{b}_1 \bar{x}_1 - \tilde{b}_2 \bar{x}_2. \quad (13)$$

Коэффициенты  $\tilde{b}_1$  и  $\tilde{b}_2$  являются частными коэффициентами регрессии. Величина  $\tilde{b}_1$  показывает зависимость значений  $y$  от значений  $x_1$  при постоянном  $x_2$ .

Уравнение плоскости регрессии получают путем подстановки оценок по формулам (11), (12) и (13) в (7), тогда:

$$\tilde{a} = \bar{y} + \tilde{b}_1 x_1 + \tilde{b}_2 x_2. \quad (15)$$

Выражение имеет смысл лишь в определенной области изменения значений  $x_1$  и  $x_2$ . В общем случае можно определить остаточную дисперсию, то есть дисперсию  $y_i$  относительно плоскости регрессии:

$$S_0^2 = \frac{1}{n-k} \sum_{i=1}^n (y_i - \tilde{y}_i)^2. \quad (16)$$

Здесь  $k = 3$  — число наблюдаемых в одном элементе признаков. При расчете  $S_0^2$  по формуле (16) используется в соотношении:

$$\sum_{i=1}^n (y_i - \tilde{y}_i)^2 = S(y^2) - \tilde{b}_1 S(x_1 y) - \tilde{b}_2 S(x_2 y). \quad (17)$$

Расчет уравнений множественной регрессии разности диаметров бандажей колесной пары, в зависимости от рассматриваемых контролируемых параметров, осуществлен по принципу последовательных включений: сначала определяли зависимость от одного контролируемого параметра, затем — от двух [7].

При вводе в уравнение регрессии в качестве независимой переменной контролируемого параметра проверялась существенность улучшения зависимости. Степень существенности определялась долей дисперсии контролируемого параметра,

скомпенсированной введенной независимой переменной. Если введенному на следующем шаге в уравнение контролируемому параметру соответствует отличная от нуля скомпенсированная часть дисперсии разности диаметров бандажей, то значит, что этот контролируемый параметр существенно улучшает зависимость и следует учитывать его влияние на изменение разности диаметров бандажей колесной пары электровозов.

Существенность отличия от нуля этой доли дисперсии разности диаметров бандажей, обусловленной контролируемым параметром, включенным на следующем шаге, проверяли при помощи  $F$ -критерия [8]:

$$\hat{F} = \frac{S_{0_1}^2/k_1}{S_{0_2}^2/k_2}, \quad (18)$$

где  $S_{0_1}^2$  — дисперсия разности диаметров бандажей, обусловленная регрессией на первом шаге;  $S_{0_2}^2$  — дисперсия разности диаметров бандажей, обусловленная регрессией на втором шаге.

В уравнении (18) числитель характеризует долю дисперсии разности диаметров, обусловленной очередным контролируемым параметром, включенным в зависимость на первом шаге, знаменатель — на втором. Такая проверка позволяет выяснить, существенно ли улучшается зависимость, описывающая изменение разности диаметров бандажей после включения в уравнение регрессии рассматриваемого контролируемого параметра в предположении, что он введен в уравнение последним.

При этом контролируемый параметр, вносящий незначительный вклад в эту зависимость, исключали из числа независимых переменных множественного уравнения регрессии. В качестве первого независимого аргумента использован контролируемый параметр  $x_i$ , максимально

коррелированный с рассматриваемой разностью диаметров бандажей колесной пары [9].

По методике, разработанной автором, можно в более общем случае подвергнуть коэффициенты регрессии статистической проверке, которая позволит решить, зависит ли и как зависит случайная величина от двух других случайных величин  $X_1$  и  $X_2$ .

Так коэффициент регрессии  $\hat{b}_1$  позволяет установить, существенно ли зависят значения  $y$  от значений  $x_1$  при исключении воздействия признака  $X_2$  (то есть зависит ли разность диаметров от проката, если не учитывать влияния толщины гребня). Относительно параметра  $b_1$  генеральной совокупности, из которой взята выборка объема  $n$  для трех признаков, выдвигается гипотеза  $H_0^{(1)}: b_1 = b_1^{(0)}$ , где  $b_1^{(0)}$  — заданная величина. Например, опровержение гипотезы  $H_0^{(1)}: b_1 = 0$  означает, что  $Y$  и  $X_1$  не являются взаимно независимыми и что между ними имеет место линейная стохастическая связь, если абстрагироваться от третьей случайной величины  $X_2$ .

Гипотеза  $H_0^{(1)}$  проверяется по величине критерия:

$$\hat{t}_1 = \frac{\tilde{b}_1 - b_1^{(0)}}{S_{\tilde{b}_1}}, \quad (19)$$

где

$$S_{\tilde{b}_1} = S_0 \sqrt{\frac{S(x_1^2)}{S(x_1^2)S(x_2^2) - [S(x_1x_2)]^2}}. \quad (20)$$

Точно так же, для проверки гипотезы  $H_0^{(2)}: b_2 = b_2^{(0)}$ , рассчитывают:

$$\hat{t}_2 = \frac{\tilde{b}_2 - b_2^{(0)}}{S_{\tilde{b}_2}}, \quad (21)$$

для

$$S_{\tilde{b}_2} = S_0 \sqrt{\frac{S(x_1^2)}{S(x_1^2)S(x_2^2) - [S(x_1x_2)]^2}}. \quad (22)$$

Выражения (20) и (22)  $S_0$  представляют собой функции, удовлетворяющие распределению Стьюдента с  $m = n - 3$  степенями свободы, для проверки которых можно вос-

пользоваться значениями табл. IV в [7]. Расчеты по выбору уравнений регрессии выполнены на ПЭВМ по программе, алгоритм которой представлен на рис. 1.

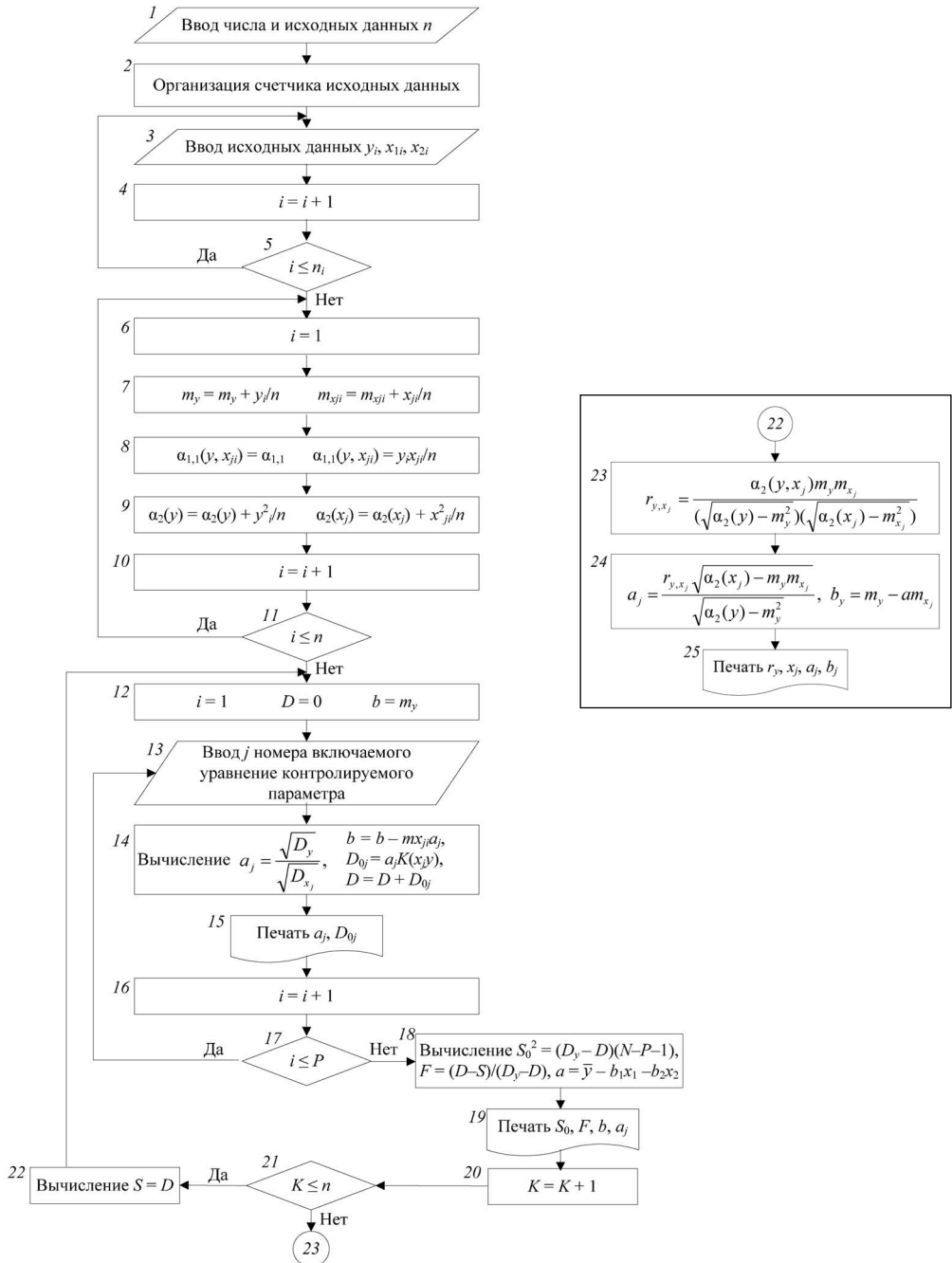


Рис. 1. Алгоритм программы расчета параметров уравнений множественной регрессии методом последовательных включений

Результаты расчетов по выбору наилучшего уравнения регрессии для рассматриваемых контролируемых параметров приведены в таблицах 2 и 3.

Из табл. 2 видно, что наилучшие уравнения регрессии получены в случае, когда в качестве независимых переменных для разности диаметров бандажей колесной пары взяты величины проката и износа гребня.

Анализ уравнений множественной регрессии контролируемых параметров, построенных с использованием

принципа последовательных включений рассматриваемых контролируемых параметров (прокат, толщина гребня) в качестве независимых переменных, показал, что разность диаметров бандажей колесной пары электровозов в рассматриваемых депо зависит от обоих контролируемых параметров в одинаковой степени, то есть  $y = f(x_1; x_2)$ .

Наилучшие уравнения регрессии получены в случае, когда в качестве независимых переменных для разности диаметров бандажей колесной

Таблица 2

Параметры уравнений регрессии при реализации метода включения

Число исходных данных, $N$	Исходное уравнение	Коэффициенты уравнения регрессии			Коэффициент корреляции, $r$	Остаточная дисперсия, $S_0^2$ , мм
		$a$ , мм	$b_1$	$b_2$		
120	$y(x_1)$	0,511	-0,009		-0,506	2,411
	$y(x_2)$	0,672	0,319		0,651	2,019
	$y(x_1; x_2)$	0,521	-0,299	0,820	0,716	1,541
536	$y(x_1)$	1,633	0,003		0,554	1,998
	$y(x_2)$	0,923	0,312		0,506	1,918
	$y(x_1; x_2)$	1,452	-0,009	0,349	0,571	1,669
500	$y(x_1)$	1,365	-0,011		-0,498	1,295
	$y(x_2)$	0,671	0,255		0,647	1,142
	$y(x_1; x_2)$	0,589	-1,365	0,789	0,795	0,439
478	$y(x_1)$	0,974	-0,008		-0,446	2,001
	$y(x_2)$	0,616	1,082		0,665	1,515
	$y(x_1; x_2)$	0,589	-1,089	2,198	0,776	0,965
120	$y(x_1)$	2,564	-0,029		-0,773	5,055
	$y(x_2)$	0,525	0,808		0,895	4,959
	$y(x_1; x_2)$	1,088	-1,061	2,954	0,996	0,037
186	$y(x_1)$	1,835	-0,025		-0,612	3,313
	$y(x_2)$	0,342	0,980		0,598	2,342
	$y(x_1; x_2)$	0,001	-1,053	1,237	0,939	0,689
480	$y(x_1)$	0,567	-0,009		-0,676	1,679
	$y(x_2)$	0,945	0,249		0,645	1,895
	$y(x_1; x_2)$	1,452	-0,009	0,349	0,886	0,654
530	$y(x_1)$	0,786	-0,076		-0,783	0,554
	$y(x_2)$	0,997	0,382		0,664	0,912
	$y(x_1; x_2)$	0,011	-1,318	1,661	0,880	0,449
425	$y(x_1)$	0,612	-0,003		-0,503	2,111
	$y(x_2)$	0,511	0,293		0,650	2,018
	$y(x_1; x_2)$	0,422	-0,148	0,400	0,698	1,516

пары электровозов взяты величины проката и износа гребня. Поэтому для определения зависимостей рассматриваемых контролируемых параметров бандажей колесных пар электровозов в качестве аргумента использованы оба из рассматриваемых контролируемых параметров — прокат и толщина гребня (таблица 4).

Для оценки предельно допустимой разницы в диаметрах бандажей колесной пары электровозов необходимо использовать два контролируемых параметра. Для определения

$y_{\text{доп.}} = \Delta D_{\text{доп.}}$  необходимо исходя из допусков на параметры  $x_1$  и  $x_2$  [4] найти значение того контролируемого параметра, который раньше достигает предельно допустимой величины, и для этого параметра найти значение другого, используя при этом уравнения табл. 4. Подставив полученные величины  $x_1$  и  $x_2$  в уравнения для  $y = f(x_1; x_2)$ , можно получить предельно допустимую разность диаметров бандажей одной колесной пары во время эксплуатации (таблица 5).

Таблица 3

Выбор наилучшего уравнения регрессии методом включения

Исходное уравнение	Остаточная дисперсия, $S_0^2$ , мм <sup>2</sup>	$\hat{F}$	Число степеней свободы, $m_1/m_2$	$F_{\alpha, m_1, m_2}$	$\hat{t}$	$t_{\alpha, m}$
$y(x_1)$	2,411				2,95	2,62
$y(x_2)$	2,019				5,98	2,62
$y(x_1; x_2)$	1,541	1,310	118/117	1,49	—	—
$y(x_1)$	1,998				3,17	2,58
$y(x_2)$	1,918				4,00	2,58
$y(x_1; x_2)$	1,669	1,149	534/533	1,11	—	—
$y(x_1)$	1,295				4,19	2,58
$y(x_2)$	1,142				4,44	2,58
$y(x_1; x_2)$	0,439	2,601	498/497	1,19	—	—
$y(x_1)$	2,001				4,77	2,58
$y(x_2)$	1,515				4,09	2,58
$y(x_1; x_2)$	0,965	1,570	476/475	1,20	—	—
$y(x_1)$	5,055				3,54	2,62
$y(x_2)$	4,959				4,25	2,62
$y(x_1; x_2)$	0,037	134,0	118/117	1,49	—	—
$y(x_1)$	3,313				3,05	2,60
$y(x_2)$	2,342				4,48	2,60
$y(x_1; x_2)$	0,689	3,399	184/183	1,41	—	—
$y(x_1)$	1,679				3,93	2,58
$y(x_2)$	1,895				3,51	2,58
$y(x_1; x_2)$	0,654	2,567	478/477	1,20	—	—
$y(x_1)$	0,554				3,78	2,58
$y(x_2)$	0,912				5,99	2,58
$y(x_1; x_2)$	0,449	1,234	528/527	1,11	—	—
$y(x_1)$	2,111				2,91	2,61
$y(x_2)$	2,018				5,45	2,62
$y(x_1; x_2)$	1,516	1,310	423/422	1,49	—	—

Полученные значения  $\Delta D_{\text{доп.}}$  различны объясняются различной конструкцией механической части электроваза, различными условиями эксплуатации и другими причинами [3].

Таким образом, разность диаметров бандажей на одной колесной паре существенно влияет на интенсивность уменьшения толщины гребня и незначительно на рост проката.

При эксплуатации бандажей колесных пар необходимо руководствоваться рассчитанными значениями и не допускать выхода разности диаметров за предельные значения, так как в противном случае межремонтный период будет лимитировать износ гребня, вследствие чего увеличатся расходы на ремонт и уменьшится пробег до обточки. ■

Таблица 4

Параметры уравнений регрессии и значения предельной разности диаметров бандажей колесной пары тягового подвижного состава

$X_{1 \text{ доп.}}$ мм	$X_{2 \text{ доп.}}$ мм	$Y_{\text{доп.}} = \Delta D_{\text{доп.}}$ мм	Коэффициент уравнения $\Delta D = aL + b$	
			$a$ , мм/ $10^3$ , км	$b$ , мм
7,0	5,0	1,70	0,006	0,509
5,0	5,0	3,15	0,005	1,682
5,0	5,0	0,87	0,002	1,146
7,0	5,0	2,00	0,008	0,678
7,0	5,0	2,28	0,015	4,958
5,0	5,0	1,60	0,011	0,458
5,0	5,0	2,35	0,006	1,723
5,0	5,0	0,02	0,007	1,744
7,0	5,0	0,35	0,005	0,612

Таблица 5

Параметры уравнений регрессии и значения предельной разности диаметров бандажей колесной пары

Допустимое значение, $x_{1 \text{ доп.}}$ , мм	Допустимое значение, $x_{2 \text{ доп.}}$ , мм	Предельно допустимая величина, $Y_{\text{доп.}} = \Delta D_{\text{доп.}}$ , мм
7,0	5,0	1,700
5,0	5,0	3,150
5,0	5,0	0,070
7,0	5,0	2,000
7,0	5,0	2,280
5,0	5,0	1,600
5,0	5,0	2,350
5,0	5,0	0,020
7,0	5,0	1,709

## Литература

1. Андриевский С. М. Коэффициент сцепления паровозов при движении по кривым участкам железнодорожного пути: Дисс ... канд. техн. наук: 05.22.07. Утв. 20.09.1951; Хс-1234. М., 1950. — 134 с.
2. Курасов Д. А. Повышение долговечности бандажей колесных пар подвижного состава. — М.: Транспорт, 1981. — 160 с.

3. Буйносов А. П. Основные причины интенсивного износа бандажей колесных пар подвижного состава и методы их устранения. — Екатеринбург : Изд-во УрГУПС, 2009. — 224 с. — ISBN 978-5-94614-148-2.
4. Об износе бандажей электровозов ЧС2 и ЧС7 / А. П. Буйносов, В. С. Клинский // Железнодорожный транспорт. — 1992. — № 5. С. 45–46.
5. Проников А. С. Надежность машин. — М. : Машиностроение, 1978. — 592 с.
6. Вентцель Е. С. Теория вероятностей. — М. : Наука, 1969. — 576 с.
7. Шторм Р. Теория вероятностей. Математическая статистика. Статистический контроль качества. М. : Мир, 1970. — 368 с.
8. Шор Я. Б. Прикладные вопросы теории надежности. — М. : Знание, 1966. — 422 с.
9. Хальд А. Математическая статистика с техническими приложениями. — М. : ИЛ, 1956. — 426 с.

### Literature

1. Andrievsky S. M. Coefficient of locomotives' coupling when running on curved track sections: PhD thesis: 05.22.07. Approved 20.09.1951; Хс-1234. М., 1950. — 134 p.
2. Kurasov D. A. Increasing of durability of wheel pairs' tires of a rolling stock. — М. : Transport, 1981. — 160 p.
3. Buinosov A. P. Major causes of wear of rolling stock wheel pairs' tires and methods of their elimination. — Ekaterinburg : Publishing House : USURT, 2009. — 224 p. — ISBN 978-5-94614-148-2.
4. On tires' wear of electric locomotives ChS2 and ChS7 / A. P. Buinosov, V. S. Klin-sky // Railway transport. — 1992. — № 5. P. 45–46.
5. Pronikov A. S. Dependability of machines. — М. : Mashinostroyeniye, 1978. — 592 p.
6. Ventsel E. S. Theory of probabilities. — М. : Nauka, 1969. — 576 p.
7. Shtorm R. Theory of probabilities. Mathematical statistics. Statistic quality control. М. : Mir, 1970. — 368 p.
8. Shor Y. B. Applied questions of reliability theory. — М. : Znaniye, 1966. — 422 p.
9. Hald A. Mathematical statistics with technical applications. — М. : IL, 1956. — 426 p.

### References (transliteration)

1. Andrievsky S. M. Koeffitsient stsepleniya parovozov pri dvizhenii po krivym uchastkam zheleznodorozhnogo puti: Diss ... kand. tehn. nauk: 05.22.07. Utv. 20.09.1951; HS-1234. М., 1950. — 134 s.
2. Kurasov D. A. Povyshenie dolgovechnosti bandazhej koljosnykh par podvizhnogo sostava. — М., Transport, 1981. — 160 s.
3. Bujnosov A. P. Osnovnye prichiny intensivnogo iznosa bandazhej kolesnykh par podvizhnogo sostava i metody ih ustraneniya. — Ekaterinburg : Izd-vo UrGUPS, 2009. — 224 s. — ISBN 978-5-94614-148-2.
4. Ob iznose bandazhej elektrovovozov ChS2 i ChS7 / A. P. Bujnosov, V. S., Klinsky zheleznodorozhnyj transport. — 1992. — № 5. S. 45–46.
5. Pronikov A. S. Nadjozhnost mashin. — М. : Mashinostroyeniye, 1978. — 592 s.
6. Ventsel E. S. Teoriya veroyatnostej. — М. : Nauka 1969. — 576 s.
7. Shtorm R. Teoriya veroyatnostej. Matematicheskaya statistika. Statisticheskij kontrol kachestva. М. : Mir, 1970. — 368 s.
8. Shor Ya. B. Prikladnye voprosy teorii nadjozhnosti. — М. : Znanie 1966. — 422 s.
9. Hald A. Matematicheskaya statistika s tekhnicheskimi prilozheniyami. — М. : IL. 1956. — 426 s.

*Статья сдана в редакцию 20.05.2010 г.*

# ОРГАНИЗАЦИЯ И ЛОГИСТИКА

УДК 656.073: 658.8

*Т. П. Воскресенская, О. Д. Покровская*

## Методика и алгоритмизация принятия решений по формированию терминальной сети в регионе

UDC 656.073: 658.8

*T. P. Voskresenskaya, O. D. Pokrovskaya*

## Decision-making method and algorithmization of terminal network formation in the region

### Аннотация

Межрегиональная интеграция невозможна без создания региональных логистических систем, основа которых — сеть логистических накопительно-распределительных центров. Оптимальный проект терминальной сети возможен только пошаговым перебором альтернатив, а это достаточно сложно. Решения принимаются с учетом экономических показателей процесса грузодвижения. Разработана методика последовательного принятия решений по числу и дислокации терминалов. Предложены расчетная схема и алгоритм проектирования терминальной сети в регионе. Обоснована целесообразность формирования в регионе терминальной сети для логистического сопровождения грузодвижения.

Прежде комплексная задача параллельного выбора числа и дислокации логистических накопительно-распределительных центров в регионе, а также выбора вида (сочетания видов) транспорта для обслуживания терминальной сети не ставилась.

### Ключевые слова:

единое транспортно-экспедиционное пространство, логистический накопительно-распределительный центр, логистические принципы, терминальная сеть, грузодвижение, алгоритм принятия решений.

### Abstract

Interregional integration is not possible without the creation of regional logistic system, the essence of which is the network of logistic storage- distribution centers. Terminal network optimal project is possible only by step by step alternatives search and this is quite difficult. The decisions are made with the regard for economic factors of cargo traffic. There is developed the method of sequential decisions by the number and dislocation of terminals. There is offered the design model and algorithm of terminal network planning in the region. There is proved the suitability of terminal network formation in the region for logistic cargo traffic tracking.

Before the complex problem of number parallel choice and dislocation of logistic storage-distribution centers in the region and also the choice of transport mode (combination of modes) for terminal network maintenance was not set.

### Key words:

common forwarding space, logistic storage-distribution center, logistic center, logistic principles, terminal network, cargo traffic, algorithm of decision-making.

Сведения об авторах: **Тамара Петровна Воскресенская**, д-р техн. наук, профессор, зав. кафедрой «Организация перевозок и управление на транспорте» Сибирского государственного индустриального университета; г. Новокузнецк, Россия. E-mail: [wwti@mail.ru](mailto:wwti@mail.ru).

**Оксана Дмитриевна Покровская**, аспирант; кафедра «Организация перевозок и управление на транспорте» Сибирского государственного индустриального университета; г. Новокузнецк, Россия. E-mail: [insight1986@inbox.ru](mailto:insight1986@inbox.ru).

About the author: **Tamara P. Voskresenskaya**, DSc, Professor, Head of 'Transportation processes organization and management et railway transport' department of Siberian State Industrial University; Novokuznetsk, Russia. E-mail: [wwti@mail.ru](mailto:wwti@mail.ru).

**Oksana D. Pokrovskaya**, Postgraduate student; 'Transportation processes organization and management on railway transport' department of Siberian State Industrial University; Novokuznetsk, Russia. E-mail: [insight1986@inbox.ru](mailto:insight1986@inbox.ru).

Рыночная конъюнктура объективно требует единства транспортно-экспедиционного пространства региона, гармонизацию интересов всех участников процесса товаро- и грузодвижения, создания конкурентной среды для реализации транспортных и логистических услуг [1]. Создание терминальной (накопительной) сети — сложная методологическая задача. Здесь необходимо учитывать интересы не только всех сторон перевозочного процесса, но и другие аспекты управления грузодвижением (величина запасов и партии, вместимость склада, территориальное и количественное размещение терминалов, анализ рынков). Кроме того, проблемы проектирования региональной логистической системы, обеспечивающей рациональное грузодвижение, неразрывно связаны с определением числа и дислокации логистических накопительно-распределительных центров (ЛНРЦ) узлов терминальной сети.

Цель настоящей работы — разработка методики пошагового принятия решения по формированию терминальной сети региона. Основные задачи: 1) определение роли терминальной сети в региональном грузодвижении и последовательность выхода через нее на транспортные коридоры страны; 2) формирование целевой функции, в соответствии с которой будут приниматься решения по созданию терминальной сети; 3) разработка схемы комплексного расчета параметров формируемой терминальной сети.

За рубежом затраты на перевозку и перегрузочные операции достигают 15–18 % в конечной стоимости товара, аналогичные затраты в России — более 30 % [2]. Основная часть операций с грузом проводится в местах грузообразования — на грузовых фронтах, входящих в транспортно-складскую инфраструктуру предприятий.

Содержание предприятиями грузовых и складских комплексов повышает себестоимость готовой продукции, что затрудняет дистрибуцию продукции. Таким образом, для производителей актуально сокращение собственной складской инфраструктуры.

Один из способов сокращения затрат на транспортно-логистическое сопровождение грузодвиженческих процессов — это ориентация накопительно-распределительной работы предприятий-производителей через сеть ЛНРЦ.

ЛНРЦ — самостоятельный транспортно-грузовой специализированный комплекс сооружений и технических устройств, организационно и технологически взаимосвязанных и предназначенных для выполнения логистических операций по приему, погрузке-разгрузке, хранению, сортировке, грузопереработке, коммерческому и информационному обслуживанию перевозочного процесса на основе единого экономического, финансового, информационного, кадрового и нормативно-правового обеспечения [3].

Терминальная сеть региона — совокупность взаимодействующих и централизованно управляемых терминалов (ЛНРЦ), обеспечивающая межрегиональную интеграцию и выходы на транспортные коридоры. Региональные ЛНРЦ, размещенные вблизи мест промышленного производства, формируют материальную основу транспортной инфраструктуры агломерации и условия для углубленной переработки сырья внутри региона.

Единое транспортно-экспедиционное пространство (ЕТЭП) региона — комплекс, включающий в свой состав терминальную сеть и транспортно-дорожную инфраструктуру, и обеспечивающий логистическое сопровождение доставки грузов.

Пропуск грузопотоков, образуемых и поглощаемых в регионе, через терминальную сеть обеспечит конкурентную среду на транспортно-логистическом рынке области, передачу распределительных, логистических и маркетинговых функций грузоперерабатывающим терминалам. Это решит определенные задачи дистрибуции: 1) мониторинг потребностей в продукции (как в общих объемах производства, так и по номенклатуре); 2) сосредоточение на терминалах всей управленческой работы и логистических функций по грузонакоплению и грузораспределению на внешнюю сеть (например, на условиях привлечения экспедиторов или иных агентских компаний); 3) планирование систем доставки груза и выбор вида транспорта. Увязывая рынки транспортно-логистических услуг и потребителей в единое пространство, терминалы сформируют условия для работы политранспортных систем, межрегиональной интеграции и обеспечат выходы на кластеры и транспортные коридоры страны.

Логистический подход (например, терминальные технологии доставки) позволит сократить уровень складских запасов у производителей на 30–50 %, а также снизить затраты на перевозку груза; способствует развитию политранспортного обслуживания потребителей, ускоряет доставку груза получателям по технологии «точно в срок», сокращает время хранения груза в системе дистрибуции, обеспечивает эффективную дистрибуцию груза, непрерывность транспортно-грузовых процессов и комплексное транспортно-экспедиционное обслуживание грузодвижения по технологии «от двери до двери» [4]. Все это даст мультипликативный эффект в части развития городов, транспортно-дорожной инфраструктуры и рациональных транспортно-хозяйственных связей.

В аспекте тенденций развития «передельного» производства внутри региона от терминальной сети требуется не только обеспечить эффективную внутрирегиональную дистрибуцию и рациональное управление грузопотоками, но и обеспечить инфраструктурную подготовленность выхода продукции на внешние (зарубежные) рынки. Эффективность создания ЕТЭП заключается в реализации экономического потенциала региона за счет комплексного развития транспортной инфраструктуры агломерации и гармонизации экономических интересов участников системы дистрибуции [5].

Последовательность опосредованного выхода региона на транспортные коридоры страны/стран СНГ через терминальную сеть представлена на рис. 1.

Рис. 1 иллюстрирует логические и транспортные связи, возникающие в процессе грузодвижения, а также роль терминалов в обеспечении выхода региона на транспортные коридоры страны. На полигоне обслуживания как территории, в пределах которой работают ЛНРЦ, формируются входящие и выходящие грузопотоки.

Чтобы проанализировать влияние количества и размещения терминалов на величину суммарных затрат на обслуживание перевозки груза, необходимо определить величину суммарных затрат для каждого из возможных вариантов и сделать вывод о целесообразности применения каждого варианта.

Целевая функция может формироваться в двух аспектах: количественном (стоимостном) и качественном (относительном, или эффективном). В данной работе рассмотрим целевую функцию стоимостного аспекта (см. формулу (1)).

Методика выбора количества и размещения терминалов базируется на выборе из множества возможных



Рис. 1. Схема выхода на транспортные коридоры страны через сеть терминалов транспортные связи, перевозчики видов транспорта (сквозной уровень); логические связи; цифрами указан номер уровня

вариантов наиболее выгодного. В качестве критерия оптимальности принят минимум суммарных затрат на обслуживание перевозки груза  $S_{\text{сумм}}$ . В данном исследовании допускается предположение, что для анализа количественного (стоимостного) аспекта необходимости создания терминальной сети следует разработать, а затем минимизировать целевую функцию  $F$  по выбранному критерию оптимальности при условии, что число ЛНРЦ детерминировано, а если в регионе функционирует сеть из двух и более ЛНРЦ, то перевозки между ними запрещены. В частном случае терминальная сеть может быть представлена одним ЛНРЦ, в общем — несколькими. В любом случае грузовой терминал работает как на сбор платы за оказываемые услуги, так и на распределение груза.

$$\begin{aligned}
 F &= \sum_i \sum_j \sum_k \sum_{\alpha=1}^{\alpha} S^{\alpha(\beta, \lambda)} \Rightarrow \min; \\
 F &= (\sum_i \sum_k Q_{ik} S_{(ik)} + \sum_{(m)} Q_{ik} S_{(k)}) + \\
 &+ (\sum_{(n)} Q_{kj} S_{(k)} + \sum_k \sum_j Q_{kj} S_{(kj)}) \Rightarrow \min; \\
 F &= \sum_i \sum_j \sum_k \begin{bmatrix} S_{\text{тран.}}; S_{\text{инвест.}}; S_{\text{хран.}}; \\ S_{\text{перераб.}}; S_{\text{груз.}}; S_{\text{сервис}} \end{bmatrix} \Rightarrow \min, \quad (1)
 \end{aligned}$$

где  $S^{\alpha(\beta, \lambda)}$  — суммарные затраты на обслуживание перевозки груза, руб./год;  $S_{ik}$  — суммарные затраты на этапе обслуживания перевозки груза объемом  $Q_{ik}$  от поставщика  $i$  на терминал  $k$ , руб./год;  $S_k$  — суммарные затраты на обслуживание терминальной (внутри- и межтерминальной) перевозки, руб./год;  $S_{kj}$  — суммарные затраты на этапе распыления объема перевозок  $Q_{kj}$  терминалом  $k$  потребителям  $j$ , руб./год;  $Q_{ik}$  — количество груза, поступающего от поставщиков  $i$  на терминал  $k$ , тонн/сут;  $Q_{kj}$  — количество

груза, отправляемого (распределяемого) терминалом  $k$  потребителям  $j$ , тонн/сут. Сумма затрат на обслуживание перевозки

$$\sum_{\alpha=1}^{\alpha} S_{\alpha}^{(\beta;\lambda)}$$

на  $\alpha$ -этапе ( $\alpha_1 = ik$  — сбор;  $\alpha_2 = kj$  — терминальная перевозка;  $\alpha_3 = kj$  — распределение) грузодвижения  $\beta$ -м или  $\lambda$ -м видом транспорта ( $\beta$  — доставка автомобильным транспортом;  $\lambda$  — железнодорожным;  $\beta + \lambda$  — доставка политранспортная) минимизируется: по варианту дислокации и размещения терминалов;

поставщику  $(\sum_i S_i)$ ,

терминалу  $(\sum_k S_k)$

и потребителю  $(\sum_j S_j)$ ;

этапам  $m$  и  $n$  ( $m$  — прибытие груза от поставщика на терминал;  $n$  — отправление груза с терминала потребителю) по каждой транспортной связи.

$$\sum_{x=1}^x S_x^{(y,z)}$$

складываются из следующих видов затрат:  $S_{\text{тран.}}$  — собственно транспортные затраты на обслуживание перевозки груза, руб./год;  $S_{\text{инвест.}}$  — размер инвестиций, необходимых для строительства грузового терминала (ЛНРЦ), с учетом вложений в инфраструктуру и оснащение, руб./год;  $S_{\text{хран.}}$  — затраты, связанные с хранением груза на терминале, руб./год;  $S_{\text{перераб.}}$  — затраты, связанные со складской переработкой груза (маркировка, упаковка, подгруппировка и др.), руб./год;  $S_{\text{груз.}}$  — затраты, связанные с выполнением грузовых операций (погрузка, разгрузка, перегрузка), руб./год;  $S_{\text{сервис}}$  — затраты, связанные с выполнением транспортно-экспедиционного и коммерческо-информационного сервиса, дистрибуции

груза, мониторинга и др. логистических услуг, руб./год [4].

Ограничим область исследования целевой функцией  $F$ , в которой определим основные показатели, которые наиболее влияют на принятие итогового решения:  $S_{\alpha}^{(\beta;\lambda)}$  — суммарные затраты на обслуживание перевозки, руб./год;  $S_{\text{тран.}}$  — транспортные затраты на обслуживание перевозки груза, руб./год;  $S_{\text{инвест.}}$  — размер инвестиций для строительства определенного числа ЛНРЦ, руб./год. В рыночных условиях определяющий фактор при выборе вида транспорта — величина затрат по доставке груза от начального поставщика до конечного потребителя. Выбор границ исследования обусловлен этим фактом.

Транспортная задача в соответствии с целевой функцией  $F$  дополняется комбинаторной на основе направленного перебора вариантов (НПВ) и усложняется за счет дополнительного вложенного расчетного цикла — выбора вида (сочетания видов) транспорта. Продифференцировать целевую функцию невозможно, поскольку число терминалов детерминировано.

При проектировании терминальной сети следует учитывать не только весь спектр затрат, сопутствующих перевозке груза, но и многовариантность возможных пространственно-количественных решений сети. Необходимость анализа большого числа возможных вариантов обусловлена поиском из всех существующих наиболее рационального варианта. Только на основе варьирования возможных сочетаний как числа и дислокации терминалов, так и видов транспорта для их обслуживания, их комплексного анализа достижимо получение рационального решения. Изменение числа и/или дислокации терминалов приводит к сдвигу зон обслуживания каждого терминала,

к изменению величины затрат. Данное обстоятельство усложняет задачу формализации и поиска рационального решения терминальной сети.

В данной работе предлагается методика пошагового решения задачи определения требуемого количества и параметров размещения ЛНРЦ путем перебора возможных вариантов. В основу расчетной схемы положена оценочная модель.

Число и дислокация ЛНРЦ в терминальной сети и вид транспорта для ее рационального обслуживания обуславливают ее пространственно-количественные и транспортные параметры соответственно. При этом вид транспортного обслуживания по каждой транспортной связи может быть различным. Наиболее удачная комбинация числа и дислокации терминалов, а также видов транспорта для их обслуживания обеспечит рационализацию грузодвижения (реализация минимума целевой функции  $F$ ).

ЛНРЦ (терминалы) работают по сбору и накапливанию груза у региональных производителей продукции, группировке грузов и формированию грузовых партий по номенклатуре и направлению перевозки. Входящий поток — грузопотоки, централизованно сосредоточенные на терминал от грузоотправителей (производителей продукции) с учетом зон тяготения к терминалу. Выходящий поток — грузопотоки, предварительно сгруппированные и распределенные по направлениям доставки на внешнюю по отношению к региону, где проектируется терминальная сеть.

Вариант числа терминалов — это возможное число терминалов в регионе (один единственный в регионе, два в регионе и т. д.) из всех назначенных. Вариант дислокации терминалов — это возможное размещение терминала (если он один в регионе) или узлов терминальной сети (если их несколько в регионе) (в соответ-

ствии с числом терминалов) из всех назначенных. Направленным перебором (итеративно) оцениваются все возможные варианты числа и дислокации терминалов. Поиск решения, таким образом, сводится к нахождению наилучшего варианта числа и дислокации узлов терминальной сети (НВТС) и параллельному выбору вида транспорта.

Для проведения расчета предлагается алгоритм принятия решений по количеству и дислокации ЛНРЦ на основе расчета и последующего анализа экономических показателей по методике пошагового принятия решений [4]. В результате принимается решение сразу в двух аспектах: пространственно-количественном (по числу и дислокации ЛНРЦ) и транспортно-организационном (по виду транспорта).

Процесс принятия решений таков: вводится блок исходных данных и назначается вариант числа и дислокации (по сектору или по ближайшему пункту выхода из региона) терминалов; проводится расчет транспортных затрат для автомобильного и железнодорожного транспорта. На основе анализа полученных результатов принимается промежуточное решение о целесообразности политранспортной доставки по сбору или дистрибуции груза по каждой транспортной связи.

Расчет повторяется для каждого назначенного варианта; по итогам всех расчетов принимается решение об эффективности применения того или иного варианта (по числу и дислокации терминалов и по виду транспорта, средствами которого обслуживание перевозки будет иметь минимальные транспортные затраты). В качестве критерия выбора наилучшего варианта выступает требование целевой функции  $F$  (1). Расчеты проводятся параллельно по двум видам транспорта (автомобильному

и железнодорожному) и двум видам доставки. В итоге, на выходе получаем ответ на вопрос: целесообразна ли организация политранспортных перевозок груза через запроектированную терминальную сеть?

Пошаговая схема проведения комплексного расчета параметров терминальной сети и принятия решения по формированию терминальной сети в регионе представлена на рис. 2.

Расчет блоков, отмеченных цветом, в данной работе подробно не рассматривается. Расчет показан укрупненно. Подробной формализации задачи посвящена работа [5]. Расчет параметров надежности ЛНРЦ рассмотрен в работе [6]. Блок-схема комплексного расчета параметров терминальной сети (см. рис. 2) позволяет решить вопрос о числе и дислокации терминалов в регионе и параллельно выбрать вид (сочетание видов транспорта) для их обслуживания.

Рассмотрим состав блок-схемы (рис. 2). Расчет состоит из двух блоков: расчет показателей прямой (блоки 3–15) и терминальной перевозки (блоки 17–18) — большие пунктирные прямоугольники. Расчет блоков 3–5 и 8–10 (малые пунктирные прямоугольники) аналогичен по каждому уровню. Расчет показателей прямой и терминальной перевозки отличаются лишь тем, что затраты на обслуживание терминальных перевозок груза  $S_{\text{сумм. терм.}}$  (блок 14) состоят из суммарных транспортных затрат  $S_{\text{тран. сумм.}}$  (блок 12) и инвестиций на строительство соответствующего числа ЛНРЦ  $S_{\text{инвест.}}$  (блок 13). Расчеты ведутся параллельно по автомобильному и по железнодорожному транспорту и делается выбор наилучшего вида транспорта. Для прямой доставки затраты на обслуживание перевозок груза состоят из суммарных транспортных затрат  $S_{\text{сумм. прям.}}$  (блок 17) (расчеты ведутся автомобильному виду транспорта).

При расчете показателей терминальной доставки внутри региона выбирается наилучший вариант терминальной сети по числу и дислокации ЛНРЦ в ее числе и вида транспорта для ее обслуживания (блок 7); в межрегиональном аспекте определяются общие затраты на обслуживание перевозок груза через запроектированную терминальную сеть и наилучший вид транспорта для ее обслуживания (блоки 8–14); обосновывается экономическая целесообразность формирования в регионе терминальной сети и организации терминальных политранспортных перевозок груза (блок 19).

Предварительно выбираются варианты числа (ВЧ) параметров ЛНРЦ в регионе и варианты дислокации (ВД) узлов терминальной сети — ЛНРЦ. Эти варианты числа и дислокации назначаются с учетом зон тяготения к терминалам как пунктов выхода из региона, так и грузообразующих и грузопоглощающих предприятий\*.

При расчете каждого ВЧ терминалов (блоки 3–5) требуется направленным перебором (итеративным методом) оценить общие затраты на перевозку груза для каждого ВД терминалов. Затраты на перевозку груза по терминальной технологии складываются из затрат по сбору груза в регионе и затрат по распределению груза до соответствующих направлениям вывоза пунктов выхода из региона. Затраты на перевозку груза определяются по автомобильному и по железнодорожному транспорту. На основе этого расчета для конкретного ВЧ и ВД по каждой транспортной связи по минимуму суммарных транспортных затрат  $S_{\text{сумм.}}$  (на сбор и распределение груза до границ

\*В условиях Кемеровской области разработаны четыре ВЧ терминалов. При ВЧ «один ЛНРЦ» выявлены 7 ВД; «два ЛНРЦ» — 15; «три ЛНРЦ» — 31; «четыре ЛНРЦ» — 14.

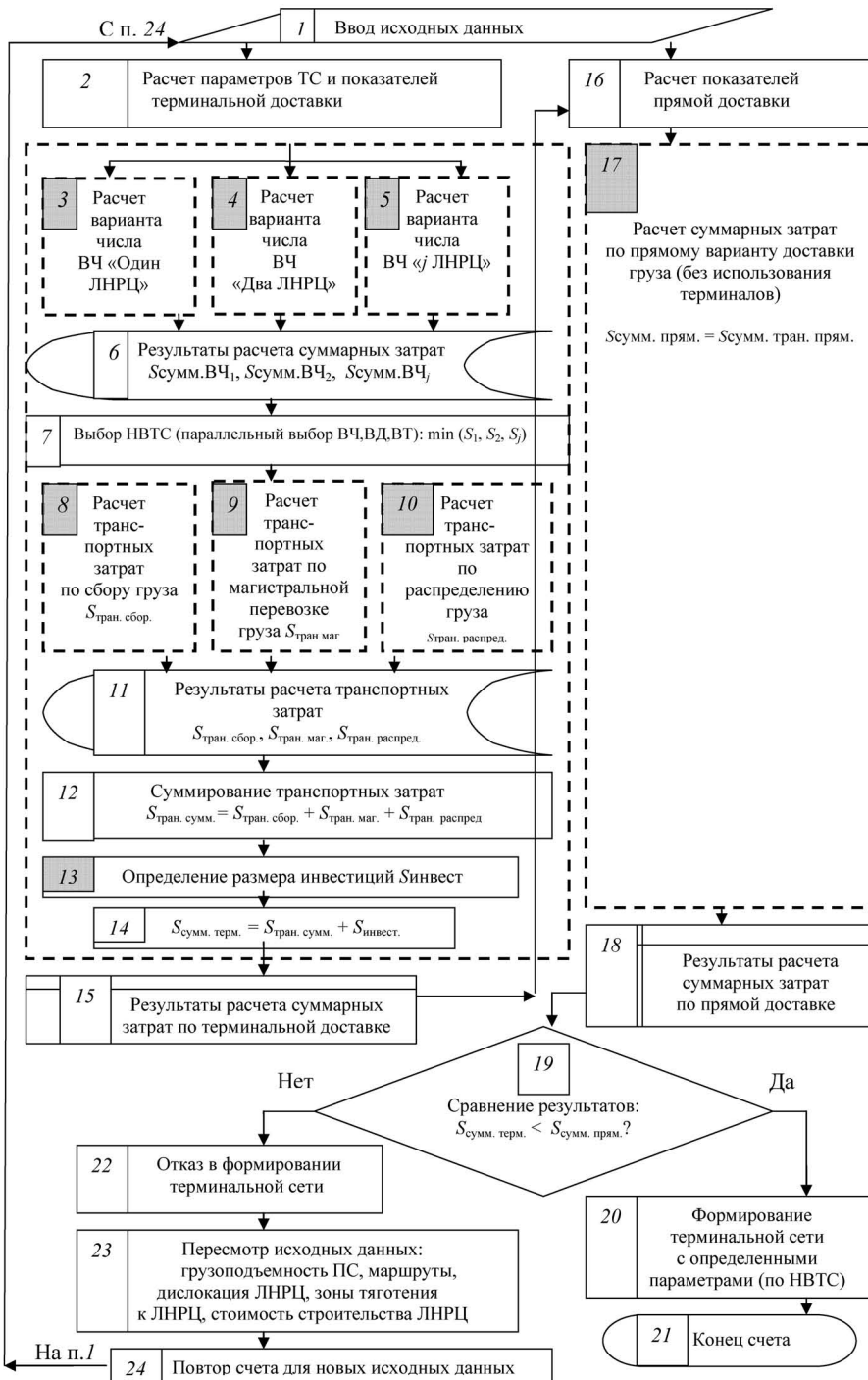


Рис. 2. Блок-схема комплексного расчета

рассматриваемого региона) выбирается вид/сочетание видов транспорта (ВТ). Результат расчета каждого ВЧ —  $S_{\text{сумм. ВЧ}}$  — величина суммарных затрат на обслуживание перевозки груза. Результаты по каждому ВЧ сохраняются в блоке 6. Это позволяет параллельно выбрать и вид транспорта, и рациональное число, и дислокацию ЛНРЦ. В этом заключается комплексность расчета и принимаемых решений. В каждом из блоков 3–5 последовательность расчета аналогична (на рис. 2 не показан).

Так проводятся расчеты для всех ВЧ ЛНРЦ в составе терминальной сети. Анализ результатов по величине суммарных затрат  $S_{\text{сумм.}}$  позволяет принять первое решение внутри региона, то есть выявить целесообразность применения того или иного из назначенных вариантов терминальной сети региона (наилучший вариант терминальной сети по ВЧ, ВД и ВТ) (блок 7). Наилучшее сочетание ВЧ, ВД и ВТ, обеспечивающее освоение объема перевозок груза с минимальными суммарными затратами, — это искомый НВТС (блок 7).

После нахождения оптимального варианта терминальной сети внутри региона рассчитываются показатели терминальной перевозки груза через запроектированную сеть по НВТС (блоки 8–14, рис. 2). Результаты расчета каждого из блоков (8–10) —  $S_{\text{тран. сбор.}}$ ,  $S_{\text{тран. маг.}}$ ,  $S_{\text{тран. распр.}}$  — транспортные затраты по сбору, распределению и магистральной перевозке груза — сохраняются в блоке 11 и суммируются в блоке 12. Затем (блок 13) определяется  $S_{\text{инвест.}}$  — размер инвестиций на строительство необходимого ВЧ числа терминалов (в исходных данных задается стоимость строительства одного ЛНРЦ). Результаты расчета транспортных затрат и инвестиций суммируются (блок 14) и фиксируются во вну-

тренней памяти  $S_{\text{сумм. терм.}}$  (блок 15). На данном этапе расчета определяются общие затраты на обслуживание перевозок груза через запроектированную терминальную сеть и наилучший вид транспорта для ее обслуживания.

Далее проводится расчет показателей (суммарных затрат на обслуживание перевозки) прямой перевозки без использования терминалов (блок 17). Результаты расчета фиксируются во внутренней памяти  $S_{\text{сумм. терм.}}$  (блок 18). Затем зафиксированные результаты (блоки 15 и 17) сравниваются в блоке 19; делается вывод о целесообразности организации перевозок через терминальную сеть на основе расчета экономического эффекта. Так принимается третье, окончательное, решение. Если неравенство, проверяемое в блоке 19, выполняется, то формирование терминальной сети целесообразно (блок 20). Расчеты завершаются этим решением (блок 21). В случае невыгодности терминальных перевозок (невыполнение неравенства блока 19) терминальную сеть не формируют (блок 22). Расчет может быть повторен (блок 23) для новых исходных данных (блок 24) (например, по новой схеме прямой доставки, грузоподъемности подвижного состава, вариантам дислокации ЛНРЦ).

Работа ЛНРЦ обеспечит: для клиентов — рациональную дистрибуцию готовой продукции; перевозчиков — снижение транспортной составляющей в стоимости грузопотока; региона (объекта Федерации) — инфраструктурную подготовленность межрегиональной интеграции. При минимизации целевой функции учитывается число и дислокация ЛНРЦ, а также вид транспорта для обслуживания терминальной сети, то есть задача формирования терминальной сети региона комплексно решена. ■

## Литература

1. Интегрированная логистика накопительно-распределительных комплексов (склады, транспортные узлы, терминалы): учеб. для транспортных вузов / Под общ. ред. Л. Б. Миротина. — М.: Изд-во «Экзамен», 2003. — 448 с. ISBN 5-94692-489-3.
2. Надежность систем и комплексов по обслуживанию общетранспортных систем / Воскресенский И. В. // Транспорт Урала, 2009, № 3 (22). — С. 7-10. ISSN 1815-9400.
3. Сервис на транспорте: учеб. / В. М. Николашин, Н. А. Зудилин, А. С. Синицына и др. Под ред. В. М. Николашина. — М.: Изд. центр «Академия», 2004. — 272 с. ISBN 5-7695-1664-X.
4. Громова [Покровская] О. Д. О необходимости создания логистических распределительных центров на примере угольной промышленности юга Кузбасса / О. Д. Громова [Покровская], Т. П. Воскресенская // Политранспортные системы: м-лы 6-й Всероссийской научно-технической конференции. Новосибирск, 21-23 апреля 2009 г.: в 2-х ч.; Ч. 1. Новосибирск: Изд-во СГУПС, 2009. — С. 236-243. ISBN 5-93461-385-5.
5. Формализация задачи оптимизации грузодвижения в регионе на основе логистических принципов (постановка задачи) / Покровская О. Д., Воскресенская Т. П. // Наука и образование — транспорту: м-лы Международной научно-практической конференции. 5-7 октября 2009 г. — Самара, СамГУПС, 2009. — с. 29-32. ISBN 978-5-98941-101-6.
6. Воскресенский И. В. Исследование подсистем выгрузки в интегрирующем транспортно-технологическом комплексе / Вестник УрГУПС. — 2009, № 1-2, с. 62-70. ISSN 2079-90392.

## Literature

1. Integrated logistics of storage — distribution complexes (warehouses, transport junctions, terminals): textbook for transport Universities / Edited by L. B. Mirotin. — M.: Publishing House «Ekzamen», 2003. — 448 p. ISBN 5-94692-489-3.
2. Voskresensky I. V. Reliability of systems and complexes on general transportation systems' maintenance // Ural transport, 2009, № 3 (22). — P. 7-10. ISSN 1815-9400.
3. Service at transport: textbook / V. M. Nikolashin, N. A. Zudilin, A. S. Sinitsyn and others. / Edited by V. M. Nikolashin. — M.: Publishing center «Academia», 2004. — 272 p. ISBN 5-7695-1664-X.
4. Gromova (Pokrovskaya) O. D. About the necessity of logistic distribution centers creation on the example of Kuznetsk Basin South coal industry / O. D. Gromova (Pokrovskaya), T. P. Voskresenskaya // Polytransport systems: Papers of the 6-th All-Russian scientific-technical conference, Novosibirsk, 21-23 April 2009. In 2-volumes, cl. 1. — Novosibirsk: Publishing House STU, 2009. — P. 236-243. ISBN 5-93461-385-5.
5. Formalization of cargo traffic optimization problem in the region on the basis of logistic principles (problem statement) / O. D. Pokrovskaya, T. P. Voskresenskaya // Science and education for transport: Papers of the International practice-scientific conference, 5-7 October 2009. — Samara: Samgups, 2009. — P. 29-32. ISBN 978-5-98941-101-6.
6. Voskresensky I. V. The research of unloading subsystem in the integrating transport-technological complex // Herald of USURT, 2009, № 1-2. — P. 62-70. ISSN 2079-0392.

## References (transliteration)

1. Integrirovannaya logistika nakopitelno-raspredelitelnykh kompleksov (sklady, transportnye uzly, terminaly): ucheb. dlya transportnykh vuzov / Pod obshch. red. L. B. Miroтина. — М.: Изд-во «Экзамен», 2003. — 448 с. ISBN 5-94692-489-3.

2. Voskresensky I. V. Nadezhnost sistem i kompleksov po obsluzhivaniyu obshche-transportnykh sistem // Transport Urala, 2009, № 3 (22). — S. 7–10. ISSN 1815–9400.

3. Servis na transporte: ucheb./V. M. Nikolashin, N. A. Zudilin, A. S. Sinitsyna i dr. / Pod red. V. M. Nikolashina. — M. : Izd. centr «Akademiya», 2004. — 272 s. ISBN 5–7695–1664–H.

4. Gromova (Pokrovskaya) O. D. O neobkhodimosti sozdaniya logisticheskikh raspredelitelnykh centrov na primere ugolnoj promyshlennosti yuga Kuzbassa / O. D. Gromova (Pokrovskaya), T. P. Voskresenskaya // Politransportnye sistemy: m-ly 6 Vseross. nauchn.-tehn. konf., Novosibirsk, 21–23 Aprelya 2009 g. V 2h ch., ch.1. — Novosibirsk: Izdvo SGUPS, 2009. — S. 236–243. ISBN 5–93461–385–5.

5. Formalizatsiya zadachi optimizatsii gruzodvizheniya v regione na osnove logisticheskikh printsipov (postanovka zadachi) / O. D. Pokrovskaya, T. P. Voskresenskaya // Nauka i obrazovanie transportu: m-ly Mezhdunarod. nauchn.-prakt., konf., 5–7 Oktyabrya 2009 g. — Samara : SamGUPS, 2009. — S. 29–32. ISBN 978–5–98941–101–6.

6. Voskresensky I. V. Issledovanie podsistem vygruzki v integriruyushchem transportno-tehnologicheskom komplekse // Vestnik UrGUPS, 2009 №, 1–2. — S. 62–70. ISSN 2079–0392.

*Статья сдана в редакцию 28.04.2010 г.*

УДК 338.2:629

*В. В. Литовский*

## Пространственный анализ развития инфраструктуры северных территорий Урала, Приуралья и территорий Западной Сибири

UDC 338.2:629

*V. V. Litovsky*

## Analysis of infrastructure development of northern territories of the Urals, Transurals and Territories of Western Siberia

### Аннотация

В статье выполнен пространственный анализ современного развития инфраструктуры северных территорий Урала, Приуралья и территорий Западной Сибири и исследованы географические аспекты существующих и перспективных грузопотоков в зоне Урала. Показаны новые возможности усиления внутренней региональной сети за счет связывания западно-уральской железнодорожной сети с Северной железной дорогой, инфраструктурой Северного морского пути и транспортной инфраструктурой проекта «Урал промышленный — Урал Полярный». Предложены долгосрочные приоритеты для формирования меридиональных грузопотоков на основе возобновляемых природных ресурсов, в частности, питьевой воды.

Задача формирования меридиональных грузопотоков рассмотрена с учетом оптимального использования возможностей окружающей региональной среды: ее климатических, геофизических и экологических ресурсов, аспектов разумного природопользования.

### Ключевые слова:

транспортная инфраструктура, пространственный анализ, региональные грузопотоки, природные ресурсы, «Урал промышленный — Урал Полярный».

### Abstract

In the article the spatial analysis of infrastructure modern development of northern territories of the Urals, Transurals and Western Siberia is executed. The author has also examined the geographical aspects of existing and perspective freight traffics in the zone of the Urals. New opportunities of amplification of an internal regional network are shown due to linkage of the Western Ural railway network with Northern railway, with the infrastructure of Northern sea way and transport infrastructure of the project «Ural industrial — Ural Polar». Long-term priorities for freight flows formation along the Ural meridian are offered on the basis of renewed natural resources, in particular, potable water.

The task of freight flows formation along the Ural meridian is considered subject to optimum use of regional environment opportunities: its climatic, geophysical and ecological resources, reasonable nature management.

### Key words:

transport infrastructure, the spatial analysis, regional freight flows, natural resources, the project «Ural industrial — Ural Polar».

Сведения об авторах: **Владимир Васильевич Литовский**, д-р географ. наук (Институт экономики УрО РАН). E-mail: VLitovskiy@rambler.ru.

Статья подготовлена при финансовой поддержке УрО РАН, проект № 09-С-6–1003.

About the author: **Vladimir V. Litovsky**, DSc, The Institute of Economics of the Ural Branch of the Russian Academy of Sciences, Ekaterinburg, Russia. E-mail: VLitovskiy@rambler.ru.

The article was prepared with the financial support of the Ural Branch of the Russian Academy of Sciences, project № 09-С-6–1003.

В постперестроечный период развитие инфраструктуры северных территорий Уральского федерального округа было обусловлено, главным образом, проблемами развития нефтегазового комплекса Западной Сибири. Железные дороги строили на Ямале, в районе Уренгоя и Ямбурга. В частности, в 1986 году для соединения Бованенковского газоконденсатного месторождения на западе Ямала с основной сетью железных дорог началось сооружение линии Обская — Лаборовое — Паюта — Бованенково с перспективой ее продления до пос. Харасавэй и веткой от Паюты к Новому Порту. Также в период с 1988-го по 1996-й годы проведена реконструкция старого участка Воркута — Лабытнанги, построенного в конце 1940-х гг. как часть железной дороги Воркута — Игарка. Клету 1995 г. на железной дороге Обская — Бованенково пути были уложены до 224-го километра, а в 1997-м — до 360-го километра трассы. Движение рабочих поездов осуществлялось до 270-го километра (на этом участке курсировал даже пассажирский поезд Обская — Паюта) [1]. Через некоторое время строительство на несколько лет заморозили, а в последние годы возобновили (с перспективой ввода линии в эксплуатацию с 2010 г.).

В настоящее время из планируемых 524 км железнодорожной ветки Обская — Бованенково построено 450 км. Построен перегон Обская — Паюта (189 км), от которого предполагается построить ветку в Новый Порт.

Объемы перевозимых грузов за весь период освоения (2007–2015 гг.), поступающих через станцию Обская на строящиеся объекты нефтегазоконденсатного месторождения Бованенково и системы транспорта газа должны составить около 14 млн тонн [2]. Из них основную массу составят стро-

ительные материалы, железобетонные изделия и конструкции, стальные трубы и ГСМ. Кроме того, для строительства самой железнодорожной линии Обская — Бованенково предполагается завоз грузов в объеме 6,5 млн тонн. В целом, в 2010 г. завоз ожидается в объеме 1,5–2,0 млн тонн; в 2011 г. — 2,5–2,7 млн тонн; в 2012 г. — 2,7–3,0 млн тонн; в 2013 г. — 3,0–3,3 млн тонн; в 2014 г. — 3,3–3,5 млн тонн; в 2015 г. — около 3,5 млн тонн.

Предполагаемый вывоз грузов по железнодорожной линии Обская — Бованенково к 2015 г. (после освоения промысла добываемых жидких углеводородов с нефтегазоконденсатного месторождения Бованенково) — 2,5–3,0 млн тонн в год. При этом исходно предполагалось, что первый газ месторождения Бованенково будет выдан в 2011 г.

Другой участок железной дороги, предопределивший реанимацию идеи Полярной железной дороги, строился с 1983-го по 1990-й гг. в направлении Уренгоя. В частности, участок от Ноябрьска до Пурпе (184 км) был сдан в эксплуатацию в начале 1985 г., от Пурпе до Пура (110 км) — в декабре 1985 г., от Пура до Коротчаево (82 км) — в 1990 г. Тогда же была построена линия Новый Уренгой — Пангоды — Надым (219 км). С 1984 г. строилась также линия Новый Уренгой — Ямбург (236 км), а движение по участку от Нового Уренгоя до Ямбургского газоконденсатного месторождения открылось в феврале 1989 г. В сентябре 2003 г. сдан в эксплуатацию и участок Коротчаево — Уренгой (21 км).

Летом 2005 г. участники совещания в Челябинске предложили идею создания уральского транспортно-коридора «Север — Юг», ставшего известным как проект «Урал промышленный — Урал Полярный». Главная функция этого коридора — соединение промышленных центров

Среднего Урала с месторождениями полезных ископаемых Полярного и Приполярного Урала, а также с месторождениями нефти и газа полуострова Ямал. Здесь ключевой участок для Урала — участок Полуночное — Обская. Его решено построить вдоль Восточного склона Уральских гор, чтобы с учетом уже построенного участка Обская — Бованенково обеспечить связь Среднего Урала с Заполярьем (включая порт Харасавэй). В перспективе, эти участки должны образовать меридиональный транспортный коридор УрФО для оптимального обслуживания месторождений углеводородов на Ямале и их освоения за счет улучшения транспортной связи со средне- и южноуральскими промышленными центрами. Это важно, так как в настоящее время на территории ЯНАО открыто 211 месторождений углеводородного сырья. Из них: нефтяных — 68, нефтегазовых — 15, нефтегазоконденсатных — 62, газоконденсатных — 40, газовых — 26. В разработке находятся 50 месторождений, к разработке подготовлено еще 11, а на стадии разведки — 150. Из 154 трлн м<sup>3</sup> мировых запасов газа 22,4 % мировых разведанных запасов газа сосредоточены на территории ЯНАО (35 трлн м<sup>3</sup>). Если в 2005 г. в ЯНАО добывалось 565 млрд м<sup>3</sup> газа, то в 2009 году планировалась добыть уже 635 млрд м<sup>3</sup>. Суммарная добыча нефти и газового конденсата в 2009 году планировалась на уровне 57 млн тонн (37 и 20 млн тонн соответственно). Если перевозку жидких углеводородов осуществлять не по трубопроводам, то потенциальный объем грузоперевозки для сухопутного и морского транспорта может уже сейчас исчисляться 50–60 млн тонн. Весьма перспективным для добычи газа и жидких углеводородов считается также Приямальский шельф Карского моря, где уже выявлены крупные Русановское

и Ленинградское морские газоконденсатные месторождения, а также прибрежно-морские — Харасавэйское и Крузенштернское. Есть планы освоения и других месторождений полуострова Ямал. В целом, территория ЯНАО и прилегающие акватории по прогнозам могут содержать до 125 трлн м<sup>3</sup> природного газа, 16 млрд тонн нефти и около 7 млрд тонн газового конденсата.

В настоящее время в структуре инвестиций ЯНАО на добычу полезных ископаемых отдается 72 %, на развитие транспортной инфраструктуры — 11 %, на иное строительство — 3 %. Помимо вышеуказанных месторождений, в зоне Ямала очень перспективны Южно-Тамбейское, Северо-Тамбейское, Западно-Тамбейское, Малыгинское, Новопортовское и Ростовцевское месторождения. На разработку крупнейших из них уже выданы лицензии сроком до 2018–2019 гг. При этом в структуре инвестиций собственные средства предприятий составляют от 43 % (2005 г.) до 41 % (2009 год). За счет уже разрабатываемых месторождений и освоения новых в ЯНАО можно будет добывать от 750 млрд м<sup>3</sup> до 800 млрд м<sup>3</sup> газа в год.

Отметим, что логика строительства ямальских железных дорог формально осуществляется в соответствии с логикой развития мировой транспортно-грузовой системы (в частности, США и развитых стран), экономическим императивом которых остается приоритетное совершенствование системы морских коммуникаций и логистики обслуживающих их сухопутных дорог по периметру материков. Однако архитектура таких зарубежных коммуникаций рассчитана на всесторонний охват территорий («рынков») с моря, а не на профильные специализации в глубине территорий [3].

С учетом этого зарубежные логисты принципиально отводят вторичную

роль коммуникациям внутри евроазиатского континента, Транссиб в таком подходе не рассматривается как ключевой элемент транспортной логистики ЕС, АТЭС и АСЕАН. К тому же, прагматическая оценка экономической эффективности логистической транспортно-технологической системы вариантов доставки грузов из Восточной и Юго-Восточной Азии в Европу с учетом российских реалий контейнерных грузоперевозок оказывается пока не в пользу Транссиба [4]. А с учетом диверсификации транспортных артерий между Западной Европой и странами Юго-Восточной и Центральной Азии посредством создания южных сухопутных коридоров, включая проекты Китая, Казахстана, Узбекистана, Таджикистана, Киргизии и Туркменистана, Транссиб оказывается в еще более сложном положении. В частности, Транссиб в перспективе может быть ослаблен Южным сухопутным коридором, а также другими проектами, в которые активно включились бывшие среднеазиатские республики СССР и Казахстан, например, проектом «Великий шелковый путь».

Не меньшее беспокойство вызывают и тенденции изменения правового статуса Северного морского пути, попытки расчленить его на транснациональные экономические районы, тем самым усилить внешнюю зависимость прибрежных территорий России. В этом отношении замыкание коммуникаций европейской части России по уральской части периметра ее территорий существенно усилило бы использование прилегающих районов для развития внутренней и внешней торговли.

Альтернативным вариантом для России в таком случае может быть не только ставка на Транссиб и «Евроазиатскую диагональ», но и на развитие уральской меридиональной инфраструктуры с перспективой обес-

печения через нее кратчайших южных и северных (включая кроссполлярные) коммуникаций. Уральская меридиональная международная ось в таком подходе в ближайшем будущем должна иметь не только геоэкономический, но и геополитический статус, что, к сожалению, не отражено должным образом в «Стратегии социально-экономического развития Уральского федерального округа» [5]. В ней к каркасообразующим транспортным проектам УрФО отнесены проекты строительства железнодорожных линий Полуночное — Обская — Надым, регионального участка Северо-Сибирской магистрали, Ямальской железной дороги (Обская — Паюта — Бованенково — Харасавей, Паюта — Новый Порт), наконец, участков линии Коротчаево — Русское — Игарка, Русская — Заполярная. В контексте проблем геобезопасности отметим роль Северно-Сибирского транспортного коридора, который призван не только разгрузить Транссиб от дополнительных потоков, но и обеспечить резервный северный широтный ход, не выходя за рамки российского геопространства.

Оставляя за рамками пространственного анализа известные достоинства проекта «Урал промышленный — Урал Полярный», рассмотрим дополнительные возможности для связи уральских транспортных коммуникаций с северными перспективными территориями и Северным морским путем. Среди них по комплексу преимуществ (включая обеспечение наиболее коротких выходов Урала и Сибири к портам Северного морского пути) очень важно направление на специализированный морской порт в бухте Индига. Особо интересен этот порт, который мог бы стать вторым (после Мурманска) арктическим портом России, при прокладке к нему меридиональных коммуникаций, например, железной

дороги от Воркуты или при создании Западно-Уральского транспортного коридора. Одним из традиционных его вариантов считается маршрут Соликамск — Троицко-Печорск (Сойва) — Сосногорск — Ухта — Усть-Цильма — Индига. Причем уже введение в эксплуатацию участка Сойва — Соликамск (394 км) позволило бы в среднем сократить маршрут печорских углей на Урал с 2400 км до 800 км. Такой коридор позволит перевозить более чем 50 млн тонн потенциальных грузов из южных районов Урала, Сибири, Казахстана, а также с прилегающих к коридору территорий. Отметим, что западно-уральский склон не столь сложный по рельефу и заболоченный, как восточный склон, имеет сравнительно большие ресурсы строительных материалов. С учетом перспективных оценок грузоперевозок по трассе проекта «Урал промышленный — Урал Полярный» (4,5 млн тонн в 2015 году; 20–21 млн тонн — в 2020 г. и 30–36 млн тонн — в 2030 г. [6, с. 186]) она оказывается менее выгодной. Для заболоченных же территорий Западной Сибири большего внимания заслуживает возможность использования очищающего и водоресурсного потенциала болот в рамках Киотского соглашения. В частности, Киотское соглашение позволяет России поделиться с Европой своей квотой на выбросы парниковых газов в объеме до 300 млн тонн эквивалента CO<sub>2</sub> по рекомендованной цене 10 долл. за тонну. До 2012 г. у России, в принципе, еще есть возможность получить 6–9 млрд долл. Для этого, однако, необходимо создать соответствующую мировым стандартам систему мониторинга выбросов и поглощения парниковых газов и представить заявки от страны (в виде пакета заявок региональных структур) в Международную комиссию по реализации Киотского протокола.

Так, в плане экологической безопасности Киотское соглашение только для ХМАО позволяет за счет квот очищения биосферы от вредных веществ болотами получать существенный дополнительный доход. Действительно, болота составляют 30–50 % площади ХМАО, из которых к низинным относятся 35 %, к переходным — 13 % и к верховым — 52 %. Эти болота выполняют не только региональные средообразующие функции, но и глобальные по части депонирования углекислого газа и метана. Эколого-экономическая оценка потенциала болотных геосистем ХМАО, проведенная специалистами МГУ [7], показала, что выгода от использования Киотского соглашения составит свыше 1 млрд долларов. В частности, за депонирование углерода можно получать до 87 млн долларов, за водорегулирующие услуги — 256 млн, за водообеспечивающие услуги — около 370 млн, за отопляющий эффект — 320 млн. Это треть от объема поступлений в бюджет округа 2008 г. (около 113 млрд рублей).

При заболоченности ЯНАО около 50 % — еще одной из самых заболоченных территорий земного шара — выгоды от использования возможностей, даваемых Киотским протоколом, могут быть еще большими. Свердловская область с помощью механизмов Киотского протокола также могла бы привлечь значительные инвестиции на модернизацию промышленности и повышение энергоэффективности. В частности, только реализация проекта модернизации сталеплавильного передела НТМК, сокращающая выброс парниковых газов почти на 900 тыс. тонн в год, позволяет получать дополнительно примерно 270 млн рублей. В целом же, потенциал области оценивается в объеме около 30 млрд рублей.

Еще одним ныне недооцениваемым сравнительным преимуществом

меридиональных, а не диагональных или широтных магистралей является большой ресурс гео- и биоразнообразия территорий. В частности, это позволяет УрФО более эффективно и выгодно использовать и продавать свои ресурсы южным соседям. Действительно, географическая зональность Западной Сибири (например, при следовании по Надымскому меридиану) включает в себя горы Средней Азии, пустыни, полупустыни, степи; в таежной зоне — зону подтайги (южной, средней и северной), затем зону лесотундры — зону Обской губы и устья р. Надым, далее — подзональные разрезы Ямала (самую южную подзону на территории ЯНАО — северную тайгу, полосу лесотундры, две подзоны субарктической тундры: южную — подзону кустарниковых тундр (от крайнего юга Ямала до широты мыса Каменного) и северную подзону мохово-лишайниковой тундры (от мыса Каменного до широты Харасавэя и Сабетты), наконец, подзону арктических тундр (на Крайнем севере Ямала и Гыданского полуострова, включая о. Белый и более мелкие острова у северного побережья) [8, с. 9]. Это существенно расширяет возможности использования природных ресурсов в сравнении с широтным ходом, где зональность ограничивается меньшим количеством зон и разнообразием геобиоресурсов. С учетом того, что вся территория ЯНАО представляет собой зону сплошного распространения вечной (многолетней) мерзлоты, это позволяет ее рассматривать также как естественное хранилище запасов не только поверхностной (болотной) воды, но и твердой воды, сосредоточенной в форме мерзлоты. И чем дальше на север, тем эти запасы становятся больше (в отдельных местах мощность слоев мерзлоты возрастает до 600 м). Заболоченность Ямала обусловлена тем, что значительная часть

земной поверхности здесь выровнена и едва возвышается над уровнем Мирового океана, водоупорный слой многолетней мерзлоты здесь близок к поверхности, а дренажная способность рек очень низка. Гыданский полуостров также сильно заболочен. Большая часть его территории относится к зоне арктических болот (на мохолишайниковых тундрах), более южные территории — к зоне плоскобугристых болот (кустарниковые тундры), наконец, подавляющую часть болот в лесотундровой зоне составляют крупнобугристые болота [8, с. 35]. Болота водораздельных междуречных пространств Западной Сибири относятся к верховым, а болота, тяготеющие к речным долинам, — к низинному типу. В целом, в болотах Западной Сибири аккумулируется около 490 км<sup>3</sup> воды, что на 20 % превышает среднегодовой сток Оби по створу Салехарда [8, с. 37], а это означает, что болота здесь ответственны за регулирование стока. Так, при значительном понижении уровня воды в реках они автоматически сбрасывают часть своего водного запаса (до 25 % аккумулярованного объема воды), а в многоводные годы восстанавливают свои водные запасы, предотвращая огромный сброс масс речной воды в моря. Помимо того, торфяные болота аккумулируют в себе значительные количества тепла, содержащегося в воде. Понижение воды в болотах на 0,5 м приводит к уменьшению выделения тепла с 1 м<sup>2</sup> их поверхности на 2,5 Мкал (10,5 МДж), что ведет к увеличению колебаний амплитуды местного климата. Деградация лесов Западной Сибири в большой степени обусловлена этими факторами, а не общими колебаниями климата. Поэтому своевременный отбор воды из болот может сглаживать микроклимат. Отметим, что рост мерзлоты ведет к усилению заболочивания, а уменьшение

мерзлотного слоя приводит к ослаблению заболачиваемости. Вероятно, справедливо и обратное. Таким образом, изменение этих факторов приводит к эффектам самоусиления процессов климатических изменений [8, с. 38]. В целом же, при разумном подходе запасы пресной воды, сосредоточенные в ЯНАО, ХМАО, для железнодорожного транспорта могли бы стать альтернативой нынешнему экспорту ограниченных нефтегазовых запасов.

В этом аспекте, равно как и при пространственной организации транспортных систем, следовало бы принять во внимание геофизический принцип изостазии, то есть явление непрерывного выравнивания давления вышележащих слоев земной коры на нижележащие за счет процессов уплотнения-разуплотнения и физико-химической трансформации образующих их пород во всех точках земного шара. При извлечении из недр полезных ископаемых это явление приводит к активизации таких процессов выравнивания, как заболачивание и др. Таким образом, оптимальными для дорог оказываются гравитационно уравновешенные поверхности или естественные морские акватории, что и делает их выгодными. В целях исследования соответствия данному принципу в работах [9–12] нами были предварительно исследованы пространственные особенности формирования инфра-

структуры Урала и зафиксированы факты соответствия наиболее эффективных дорог условию их расположения на территориях с наилучшей изостатической уравниваемостью поверхности земной коры, поэтому проекты новых транспортных коммуникаций также должны этому следовать.

Этого, к сожалению, нельзя сказать о ряде проблемных территорий Пермского края (Верхнекамское месторождение калийных солей) и Западной Сибири, где предприняты попытки реанимации проектов строек № 501 и 503 [13]. Как показано в работе [14], в настоящее время Печорская и Западно-Сибирская низменности опускаются не только из-за инерционного восстановления изостатического равновесия, но и благодаря извлечению запасов недр. С учетом этого, императивом разработки полезных ископаемых должны являться территории с положительными гравиметрическими девиациями (западный и восточный склоны Уральских гор), а для транспортных коммуникаций — меридиональные направления (продолжения Западно-Уральской и Восточно-Уральских дорог). При этом важным аспектом является их замыкание, превращение линейных элементов региональной сети в «решеточную». Также существенно более активное продвижение перспективных инновационных видов транспорта и коммуникаций, например, струнно-рельсовых [15–16]. ■

## Литература

1. Тархов С. А. Новые железные дороги в постсоветском пространстве // URL: <http://www.1september.ru/ru/geo/2000/no03.htm> (дата обращения: 20.06.2010).
2. Гмызин С. В. Ямало-Ненецкий автономный округ: основа газовой безопасности России // Энергетическая безопасность: роль российских газовых компаний. Вторая ежегодная международная конференция, 2003. URL: <http://www.iea.org/Textbase/work/2003/soyuzgaz>. (дата обращения: 20.06.2010).
3. Didik F. The Trans-Global Highway. Peace and prosperity through commerce. URL: <http://www.TransGlobalHighway.com/www.didik.com>. (дата обращения: 20.06.2010).
4. Нгуен Т. Х. Почему побеждает морской маршрут // Мир транспорта, 2006. № 4. С. 74–81. ISSN 1992–3252.

5. Схема развития и размещения производительных сил. Министерство экономики Свердловской области. Стратегия развития–2020. URL: <http://econom.midural.ru/> (дата обращения: 20.06.2010).
6. Концептуальные основы формирования и реализации проекта «Урал промышленный — Урал Полярный». М.: Экономика, 2007. С. 176. ISBN 978–5–282–02729–7.
7. Евсеев А. В., Красовская Т. М. Эколого-экономическая оценка средообразующих услуг болот как части природного капитала Ханты-Мансийского АО // Окружающая среда и устойчивое развитие регионов: новые методы и технологии исследований. Т. II. Климат, макроциркуляционные процессы в экологии атмосферы. Социально-экономические и природные условия конкурентоспособности и позиционирования региона. Казань: Изд-во «Отечество», 2009. С. 283–287. ISBN 978–5–9222–0290–9.
8. Природа Ямало-Ненецкого автономного округа. Екатеринбург: Изд-во Урал. ун-та, 2006. 204 с. ISBN 978–5–7525–0661–1.
9. Литовский В. В., Ахунова Е. Д. Изостазийный принцип в ретроспективном анализе фундаментальных закономерностей формирования транспортно-коммуникационного комплекса Урала // Труды II Всеросс. симпозиума по экономической теории. Екатеринбург: Ин-т экономики УрО РАН, 2006. Т. 2. С. 126–128. ISSN 978–5–94646–113–1.
10. Литовский В. В. Трудный путь на Север. Транспортно-коммуникационное освоение и развитие Северного и Полярного Урала, а также северных территорий Западной Сибири // Наука. Общество. Человек. Вестник Уральского отделения РАН. 2008. № 4 (26). С. 15–25. ISSN 1997–9703.
11. Литовский В. В. Трудный путь на Север. Транспортно-коммуникационное освоение и развитие Северного и Полярного Урала, а также северных территорий Западной Сибири. Ч. 2. От коммерческих дорожных изысканий к фундаментальному научному решению транспортно-коммуникационной проблеме на Севере Урала и Западной Сибири во второй половине XIX — начале XX века // Наука. Общество. Человек. Вестник Уральского отделения РАН. 2009. № 1 (27). С. 25–39. ISSN 1997–9703.
12. Литовский В. В. Трудный путь на Север. Транспортно-коммуникационное освоение и развитие Северного и Полярного Урала, а также северных территорий Западной Сибири. Ч. 3. Малокларковые элементы и освоение северных территорий УрФО: к истории вопроса // Наука. Общество. Человек. Вестник Уральского отделения РАН. 2009. № 2 (28). С. 25–39. ISSN 1997–9703.
13. Крафт Я. С. Развитие железных дорог Ямала — важнейшее условие роста экономики УрФО // Государство и транспорт. 2006. № 6. С. 6–8. ISSN 1994–831X.
14. Никонов А. А. Современные движения земной коры. М. : КомКнига, 2006. С. 42–43. ISBN 978–5–484–00653–3.
15. Строчевус В. К., Юницкий А. Э. Транспортная система «второго уровня» // Мир транспорта. 2003. № 1. С. 57–61. ISSN 1992–3252.
16. Киселенко А. Н., Сундуков Е. Ю. Инновационные технологии в создании опорной транспортной сети и совершенствовании функционирования транспорта в регионе // Вестник НИЦ корпоративного права, управления и венчурного инвестирования Сыктывкарского гос. ун-та. 2007. № 1. URL: <http://www.syktsu.ru/vestnik/2007/2007–1/10.htm> (дата обращения: 20.06.2010).

## Literature

1. Tarkhov S. A. New railways in the post-Soviet environment // URL: <http://www.1september.ru/ru/geo/2000/no03.htm> (search date: 20.06.2010).
2. Gmyzin S. V. Yamal-Nenets Autonomous Area: the basis of gas safety of Russia // Energy safety: role of Russian gas companies. The II<sup>nd</sup> annual international conference, 2003 // URL: <http://www.iea.org/Textbase/work/2003/soyuzgaz> (search date: 20.06.2010).
3. Didik F. The Trans-Global Highway. Peace and prosperity through commerce // URL: <http://www.TransGlobalHighway.com/www.didik.com> (search date: 20.06.2010).
4. Nguyen T. H. Why does the sea route win? // Mir transporta, 2006. № 4. — P. 74–81.

5. Ministry of economics of Sverdlovsk region. Development strategy –2020. Scheme of production resources development and placement // URL: <http://econom.midural.ru/> (search date: 20.06.2010).
6. Conceptual fundamentals of formation and realization of ‘Ural Industrial — Ural Polar’ project. M.: «Ekonomika», 2007. — P. 176.
7. Evseev A. V., Krasovskaya T. M. Ecological and economic assessment of environment services of bogs as a part of natural fund of Khanty-Mansi Autonomous Area // Environment and stable development of regions: new methods and technologies of research. T. II. Climate, macro-circulating processes in atmosphere ecology. Social and economic, natural conditions of region competitiveness and positioning. — Kazan: Publishing house «Otechestvo», 2009. — P. 283–287. ISSN 978–5–9222–0290–9.
8. The nature of Yamal-Nenets Area. — Ekaterinburg: Publishing house of the Ural State University, 2006. 204 p. ISBN 978–5–7525–0664–1.
9. Litovsky V. V., Akhunova E. D. Isostatic principle in the retrospective analysis of fundamental regularities of Ural transport and communication complex formation. // Proceedings of the II<sup>nd</sup> All-Russian symposium on Economic theory. Ekaterinburg: Institute of Economics Ural Branch, Russian Academy of Sciences, 2006. T. 2. — P.126–128. ISBN 978–5–94646–113–1.
10. Litovsky V. V. Hard way to the North. Transportation and communication opening and development of Northern and Polar Ural and Northern territories of Western Siberia // Science. Society. Man. Herald of Ural Branch of the Russian Academy of Sciences, 2008, № 4 (26). — P. 15–25. ISSN 1997–9703.
11. Litovsky V. V. Hard way to the North. Transportation and communication opening and development of Northern and Polar Ural and Northern territories of Western Siberia. Part 2. From commercial road survey towards the fundamental scientific solution of transportation and communication problem on the north of the Urals and Western Siberia in the second part of XIX century — the beginning of XX century // Science. Society. Man. Herald of The Ural Branch of the Russian Academy of Sciences, 2009, № 1 (27). — P. 25–39. ISSN 1997–9703.
12. Litovsky V. V. Hard way to the North. Transportation and communication opening and development of Northern and Polar Ural and Northern territories of Western Siberia. Part 3. Low-clark elements and assimilation of Ural northern territories: to the problem background // Science. Society. Man. Herald of The Ural Branch of the Russian Academy of Sciences, 2009, № 2 (28). — P. 25–39. ISSN 1997–9703.
13. Kraft Y. S. Development of Yamal railways is one of the most significant conditions of economic growth of the Ural Federal District // State and transport, 2006, № 6. — P. 6–8. ISSN 1994–831X.
14. Nikonov A. A. Modern Present motions of the Earth’s crust. M.: KomKniga, 2006. — P. 42–43. ISBN 978–5–484–00653–3.
15. Strochevus V. K., Yunitsky A. E. Transportation system of ‘the second level’ // Mir transporta, 2003, № 1. — P. 57–61. ISSN 1992–3252.
16. Kisilenko A. N., Sundukov E. Y. Innovative technologies in the process of development of basic transportation network and improvement of transport functioning in the region // ‘Vestnik’ of Scientific and Research Center of corporate law, management and venture investment of Syktyvkar State University, 2007, № 1 // URL: <http://www.syktsu.ru/vestnik/2007/2007-1/10.htm> (search date: 20.06.2010).

### References (transliteration)

1. Tarkhov S. A. Novye zheleznye dorogi v postsovetskom prostranstve // URL: <http://www.1september.ru/ru/geo/2000/no03.htm>.
2. Gmyzin S. V. Yamalo-Nenetskiy avtonomnyj okrug: osnova gazovoj bezopasnosti Rossii // Energeticheskaya bezopasnost: rol rossijskikh gazovyh kompanij. Vtoraya ezhegodnaya mezhdunarodnaya konferentsiya, 2003 // URL: <http://www.iea.org/Textbase/work/2003/soyuzgaz>.

3. Didik F. The Trans-Global Highway. Peace and prosperity through commerce // URL: <http://www.TransGlobalHighway.com/www.didik.com>.
4. Za Nguen T. H. Pochemu pobezhdaet morskoy marshrut // Mir transporta, 2006. № 4. — S.74–81.
5. Ministerstvo ekonomiki Sverdlovskoy oblasti. Strategiya razvitiya–2020. Skhema razvitiya i razmeshcheniya proizvoditelnykh sil // URL: <http://econom.midural.ru>
6. Kontseptualnye osnovy formirovaniya i realizatsii proekta «Ural promyshlenniy — Ural polyarnyj». M.: «Ekonomika», 2007. — S. 176.
7. Evseev A. V., Krasovskaya T. M. Ekologo-ekonomicheskaya otsenka sredobrazuyushchikh uslug bolot kak chasti prirodnogo kapitala Khanty-Mansijskogo AO // Okruzhayushchaya sreda i ustojchivoe razvitie regionov: novye metody i tekhnologii issledovaniy. T. II. Klimat, makrotsirkulyatsionnye protsessy v ekologii atmosfery. Sotsialno-ekonomicheskie i prirodnye usloviya konkurentosposobnosti i pozitsionirovaniya regiona. — Kazan: Izd-vo «Otechestvo», 2009. — S. 283–287.
8. Priroda Yamalo-Nenetskogo Avtonomnogo Okruga. — Ekaterinburg: Izd-vo Ural. Un-ta, 2006. 204 s.
9. Litovsky V. V., Akhunova E. D. Izostazijnyj printsip v retrospektivnom analize fundamentalnykh zakonomernostej formirovaniya transportno-kommunikatsionnogo kompleksa Urala. // Trudy II Vserossijskogo simpoziuma po ekonomicheskoy teorii. Ekaterinburg: In-t ekonomiki UrO RAN, 2006. T.2. — S. 126–128.
10. Litovsky V. V. Trudnyj put na Sever. Transportno-kommunikatsionnoe osvoenie i razvitie Severnogo i Polyarnogo Urala a takzhe severnyh territorij Zapadnoj Sibiri // Nauka. Obschestvo. Chelovek. Vestnik Uralskogo otdeleniya RAN, 2008, № 4 (26). — S. 15–25. ISSN 1997–9703.
11. Litovsky V. V. Trudnyj put na Sever. Transportno-kommunikatsionnoe osvoenie i razvitie Severnogo i Polyarnogo Urala a takzhe severnyh territorij Zapadnoj Sibiri. Ch. 2. Ot kommercheskikh dorozhnykh izyskanij k fundamentalnomu nauchnomu resheniyu transportno-kommunikatsionnoj probleme na Severe Urala i Zapadnoj Sibiri vo vtoroj polovine XIX — nachale XX veka // Nauka. Obschestvo. Chelovek. Vestnik Uralskogo otdeleniya RAN, 2009 № 1 (27). — S. 25–39. ISSN 1997–9703.
12. Litovsky V. V. Trudnyj put na Sever. Transportno-kommunikatsionnoe osvoenie i razvitie Severnogo i Polyarnogo Urala a takzhe severnyh territorij Zapadnoj Sibiri. Ch. 3. Maloklarkovye elementy i osvoenie severnyh territorij UrFO: k istorii voprosa // Nauka. Obschestvo. Chelovek. Vestnik Uralskogo otdeleniya RAN, 2009 № 2 (28). — S. 25–39. ISSN 1997–9703.
13. Kraft Ya. S. Razvitie zheleznykh dorog Yamala — vazhneyshee uslovie rosta ekonomiki UrFO // Gosudarstvo i transport, 2006 № 6. — S. 6–8.
14. Nikonov A. A. Sovremennye dvizheniya zemnoj kory. M.: KomKniga, 2006. — S. 42–43.
15. Strochevus V. K., Yunitskij A. E. Transportnaya sistema «vtorogo urovnya» // Mir transporta, 2003, № 1. — S. 57–61.
16. Kiselenko A. N., Sundukov E. Yu. Innovatsionnye tekhnologii v sozdanii opornoj transportnoj seti i sovershenstvovanii funkcionirovaniya transporta v regione // Vestnik NIC korporativnogo prava upravleniya i venchurnogo investirovaniya Syktyvkarskogo gos. Un-ta, 2007, № 1 // URL: <http://www.syktsu.ru/vestnik/2007/2007-1/10.htm>.

*Статья сдана в редакцию 28.06.2010 г.*

# ОРГАНИЗАЦИЯ ОБРАЗОВАТЕЛЬНОГО ПРОЦЕССА

УДК 658.3

*В. А. Антропов, Е. Н. Морозова*

## Кадровая политика саморазвития предприятий

UDC 658.3

*V. A. Antropov, E. N. Morozova*

## Personnel policy of enterprises' self-development

### Аннотация

Продолжающаяся реформа профессионального образования ослабила отлаженную систему кадрового прогнозирования и распределения молодых специалистов. Как важная составляющая часть кадровой политики железнодорожной отрасли в статье на базе авторского подхода разработана модель личности специалистов-железнодорожников. В их основе лежит понимание того, что кадровая политика устойчивой саморазвивающейся системы (государства, отрасли, предприятия) может существовать лишь в том случае, если есть поддерживающая ее система (или подсистема) профессионального образования. Эта система должна своевременно перестраиваться, включать актуальные программы обучения. Программами обучения во многом определяется качество персонала в саморазвивающейся организации. Саморазвивающаяся организация должна иметь собственную модель личности работника, желающего и способного постоянно учиться, а система профессионального образования должна предоставить возможность получить необходимые знания, умения и навыки. В основе саморазвития предприятия (организации) лежит активное использование его потенциала и, прежде всего, кадров.

### Ключевые слова:

кадровая политика, реформирование, саморазвитие, самоорганизация, система профессионального образования.

### Abstract

The continuing reform of the professional education abated the efficient system of personnel forecasting and young specialists' job placement. In the article on the basis of the authors' approach the model of railway specialist's personality has been developed, which is the constituent component of personnel policy in the railway sector. Inherently there is a conception that personnel policy of a stable self-developing system (a state, a branch, an enterprise) can exist only if it has its supporting system or sub-system of the professional education. This system should promptly reorganize, use modern educational programs. The quality of personnel in a self-developing organization is estimated to a large extent by the educational programs. A self-developing organization must have its own model of an employee's personality, who wishes and is able to study permanently, and the system of professional education must provide the opportunities for obtaining necessary knowledge, abilities and skills. The active use of organization potential and first of all its personnel underlies in the enterprises's (organization) self-development.

### Key words:

personnel policy, reorganization, self-development, self-organization, system of professional education.

Сведения об авторах: **Владимир Алексеевич Антропов**, доктор экономических наук, профессор кафедры «Управление в социальных и экономических системах» Уральского государственного университета путей сообщения. E-mail: [antrvl@mail.ru](mailto:antrvl@mail.ru).

**Елена Николаевна Морозова**, инженер кафедры «Прикладная информатика» Уральского государственного университета путей сообщения. E-mail: [EMorozova@vt.usurt.ru](mailto:EMorozova@vt.usurt.ru).

About the author: **Vladimir A. Antropov**, DSc, Professor, 'Frames of Society and Business Systems Management' department of the Ural State University of Railway Transport; Ekaterinburg, Russia. E-mail: [antrvl@mail.ru](mailto:antrvl@mail.ru).

**Elena N. Morozova**, engineer; 'Applied Informatics' department of the Ural State University of Railway Transport; Ekaterinburg, Russia. E-mail: [EMorozova@vt.usurt.ru](mailto:EMorozova@vt.usurt.ru).

**П**од саморазвивающимися региональными социально-экономическими системами мы будем понимать конкретные территории/регионы или конкретные организации (предприятия, профессиональные образовательные учреждения), где применяется кадровая политика или обеспечивается подготовка высококвалифицированных кадров для функционирования и развития этих систем.

Новая модель кадровой политики заключается в том, что из средства борьбы за власть она все более превращается в обязательное условие социального и политического развития, в основной ресурс управления — будь то территорией или всем государством.

С нашей точки зрения, формирование кадровой политики должно начинаться с самого главного — с формулировки основополагающей идеи развития предприятия или с видения, миссии, стратегии организации (региона, кластера, вертикально интегрированной структуры).

Прогноз социально-экономического развития государства [1–3] должен позволить определить прогноз на количественное и качественное изменение рабочих мест. Это и будет основой для формирования соответствующего кадрового заказа (общества, государства, отдельного предприятия, конкретного физического лица) на подготовку специалистов требуемого качества и количества в заданные сроки, то есть основой формирования концепции кадровой политики государства, его регионов, отраслей, а также механизмов ее реализации.

Продолжающаяся модернизация профессионального образования развила отлаженную систему кадрового прогнозирования и распределения молодых специалистов.

Раньше в нашей стране все прогнозы социально-экономического раз-

вития страны разрабатывались фундаментально. В первую очередь, обеспечивалось прогнозирование на верхнем, государственном уровне, далее на втором уровне — это республики, дальше — области, края. Над этим системным планированием работали сотни научно-исследовательских институтов.

Сейчас специалистами предлагается другая схема организации планирования. В ней не хватает многих элементов, прежде всего не учтено наличие принятой социально-экономической стратегии России. Далее, например, ОАО «РЖД» или другие мощные корпорации создают (или уже создали, как ОАО «РЖД») свои собственные программы развития, но пока и они не сведены в целостную систему.

Актуальность кадрового прогнозирования и планирования (в целом, кадровой политики) на данном этапе развития российской экономики очевидна как для сферы научных исследований, так и необходимости оперативной реализации в кадровой практике. Однако, к сожалению, работ по этим проблемам очень мало, и они в значительной мере носят постановочный характер.

Именно из-за отсутствия кадровой политики и ее основного элемента — кадрового прогнозирования — с 90-х годов прошлого века отсутствующее государственное распределение выпускников вузов по предприятиям и гарантии их трудоустройства по специальности привели к возникновению «ножниц» между отраслевыми профессиональными и государственными образовательными стандартами, возросли диспропорции между спросом и предложением квалифицированных инженерных кадров на рынке труда.

Таким образом, одним из важнейших этапов концептуального осмысления и создания кадровой политики

саморазвития на всех уровнях управления как системы является решение проблемы кадрового прогнозирования.

Сейчас совершенно ясно, что сами вузы в отрыве от потребителей своих выпускников не могут сформулировать требования к специалисту — необходимо обязательное участие работодателей в процессе подготовки кадров [4]. Реализацию этого процесса обеспечивает Закон «О внесении изменений в отдельные законодательные акты Российской Федерации в целях предоставления объединениям работодателей права участвовать в разработке и реализации государственной политики в области профессионального образования».

Во главе угла «кадровых» проблем стоит вопрос о модели развивающейся личности специалиста, востребованного современным инновационным производством со средним и высшим профессиональным образованием.

При решении проблемы кадровой политики железнодорожной отрасли мы разработали модели личности специалистов-железнодорожников на базе авторского подхода [5], который может быть использован и в других отраслях экономики.

Кадровая политика устойчивой саморазвивающейся системы (государства, отрасли, предприятия, организации) может существовать лишь в том случае, если есть поддерживающая ее система (или подсистема) профессионального образования. Поэтому следующий этап нашей методологии — это формулировка прогноза развития системы профессионального образования под государственную кадровую политику и прогноз развития рабочих мест в условиях развития социально ориентированной экономики [6].

Рассмотрим основные компоненты кадровой политики, начав с уточ-

нения основополагающих понятий; прежде всего, рассмотрим такое понятие, как «самоорганизация» применительно к рассматриваемой нами проблеме кадровой политики саморазвития. Авторы поддерживают точку зрения, что самоорганизация системы — это способность системы самостоятельно преодолевать противоречия своего развития усилиями самих участников системы, способность к самоуправлению: постановке целей, проектированию нового состояния и способов его достижения, объективному анализу достижения поставленных целей

Большинство исследований посвящены понятиям самоорганизации систем, самоорганизации мировой экономики или региона. Недостаточно проработаны вопросы самоорганизации предприятий, кадровой политики их саморазвития. Практически все авторы среди показателей устойчивого развития предприятия называют показатель кадровой обеспеченности, но и только.

Устойчивое развитие современного предприятия во многом предопределяется степенью обеспеченности высококвалифицированными и креативными кадрами. Это обусловлено тем, что мир вступил в эпоху информационной экономики, или экономики знаний, главными факторами производства в которой являются знания и интеллект человека, реализуемые в производстве. Следовательно, самоорганизация предприятия предъявляет особые требования к интеллектуальному капиталу предприятий: способностям, уровню знаний, квалификации и мобильности персонала, уровню качества и своевременности выполнения производственных заданий, в целом к профессиональной компетенции работника.

С нашей точки зрения, внутренние резервы развития предприятий определяются шестью генеральными

ценностями: эффективное управление, высокий инновационный потенциал, тактика ориентации на клиента, социальная направленность, устойчивый прибыльный рост, экологическая ответственность.

Схема взаимосвязи таких ценностей служит ориентиром для разработки модели саморазвития предприятий и их кадровой политики, позволяя повысить их производственно-сбытовые и организационно-экономические возможности (см., например [7]).

Требования к кадровому составу с точки зрения самоорганизации предприятий должны быть четко и полно сформулированы в стратегии устойчивого развития: уже на стадии концептуальных разработок в плановом порядке должна быть учтена реакция

персонала на изменения. Следовательно, в контексте управления развитием предприятия адаптация персонала к изменениям осуществляется за счет кадровых процессных инноваций.

В основе саморазвития предприятия (организации) лежит активное использование его потенциала. Оценивание потенциала промышленных предприятий (ППП) представлено в таблице.

При экспресс-оценке уровня ППП достаточно рассмотреть три-пять ключевых обобщающих показателей оценки каждой составляющей ППП.

Рассмотрев понятия «самоорганизация» и «саморазвитие» во взаимосвязи с реализацией кадровой политики, обратимся к уточнению

Таблица

Направление исследования	Показатель оценки производственной составляющей	Показатель оценки материальной составляющей	Показатель оценки кадровой составляющей
Анализ движения составляющих ППП	Коэффициент обновления основных фондов; коэффициент выбытия основных фондов; коэффициент прироста основных фондов	Коэффициент неравномерности поставок материалов; коэффициент вариации	Коэффициент оборота по приему; коэффициент оборота по выбытию; коэффициент текучести кадров; коэффициент постоянства кадров
Текущее состояние составляющих ППП	Коэффициент износа основных фондов; коэффициент годности основных фондов; коэффициенты использования парка наличного, установленного, сданного в эксплуатацию оборудования; показатели, характеризующие фонд времени использования оборудования; коэффициенты использования производственных мощностей	Коэффициент обеспеченности материальными ресурсами фактический; коэффициент обеспеченности материальными ресурсами плановый	Среднегодовая выработка продукции одним работающим; показатели баланса рабочего времени
Эффективность использования составляющих ППП	Фондоотдача; фондоемкость; рентабельность по основным фондам; коэффициент загрузки оборудования; коэффициент интенсивной нагрузки оборудования; показатель интегральной нагрузки	Материалоотдача продукции; материалоемкость продукции; удельный вес материальных затрат в себестоимости продукции; коэффициент использования материалов	Изменение среднего заработка работающих за период; изменение среднегодовой выработки; непроизводительные затраты рабочего времени; сравнение средних тарифных разрядов работ и рабочих; экономия (перерасход) фонда заработной платы

еще одного ведущего понятия нашего исследования — собственно понятие «кадровая политика».

Кадровая политика — это система принципов и правил поведения всех субъектов процесса управления персоналом, установленная руководством и позволяющая организации наиболее эффективно достичь долгосрочных целей ее развития в существующих условиях внешней среды [8].

Главная цель кадровой политики — обеспечение функциональных подсистем организации мотивированным персоналом требуемого качества и количества в заданные сроки.

Любая кадровая политика состоит из следующих элементов.

1. Своевременное обеспечение квалифицированным персоналом, создание необходимых условий труда, обеспечение возможностей профессионально-квалификационного продвижения — политика занятости [9].

2. Формирование условий для обучения персонала — политика обучения.

3. Увязка заработной платы со способностями, опытом, ответственностью работников, их вкладом в развитие организации — политика организации труда.

4. Обеспечение широкого набора услуг и льгот для персонала — политика благосостояния.

5. Установление и поддержание организационной культуры — политика трудовых отношений.

Кадровая политика может быть пассивной (нет программы действий, перспектив развития, только ликвидация), реактивной (выявляются признаки плохой работы и определяется проблема), превентивной (руководство видит проблемы, знает как решить, есть прогноз, но нет средств для реализации) и, наконец, активной (есть прогноз и средства для реализации).

Естественно, что для реализации кадровой политики саморазвития возможно использование только активной политики, открытой по отношению к внешней среде. Закрытая политика не сможет обеспечить притока необходимого количества востребованного для саморазвития организации персонала [9].

Один из вариантов структуры кадровой политики крупных промышленных предприятий приведен на рис. 1 [10].

В этой структуре в качестве основных направлений совершенствования кадровой политики на современном этапе выделены административные и экономические методы, социальные отношения и гарантии.

В условиях саморазвивающейся организации очень важна обратная связь, гибкость, оперативное реагирование на изменения внешней среды, мотивированный на саморазвитие персонал.

Основными принципами кадровой политики саморазвивающейся организации должны быть: соответствие общей стратегии организации, подчиненность кадровой политики состоянию и задачам стратегического развития предприятия; принцип экономической целесообразности, баланс экономических и социальных аспектов кадровой политики; согласованность кадровой политики с региональным рынком труда по квалификации работников, по уровню оплаты труда различных категорий, условиям труда, темпам развития предприятия и наличию персонала и др.; согласованность решений администрации вопросов кадровой политики с трудовым коллективом (профсоюзом) в вопросах кадровой политики при условии соблюдения действующего законодательства; уважение и доверие в трудовом коллективе; инвестиции в развитие профессиональных компетенций сотрудников; самомотивация

сотрудников на достижение высоких результатов и успеха; индивидуализированное и адекватное активности сотрудников вознаграждение; обеспеченность сотрудников максимально возможными социальными гарантиями с учетом развития задач предприятия.

Процесс управления невозможен без наличия структурированной и оперативной информации, без технологий анализа этой информации. Структура информации по кадровому потенциалу должна измениться в соответствии с решаемыми пробле-

мами управления и включать в себя как объективно-учетную информацию (ф. и. о., год рождения, образование, стаж и т. д.), так и оценочно-функциональную (план деловой карьеры, оценка способностей, результаты аттестации, самооценки и т. д.).

Кадровое планирование — это составление программ развития персонала для достижения целей организации. Оно опирается на анализ структурно-функциональных моделей органов управления, анализ содержания деятельности, определения стандартов профессиональной



Рис. 1. Структура кадровой политики крупных промышленных предприятий

деятельности, требуемых для реализации стратегии организации [13].

Структурно-функциональные модели управления зависят как от особенностей внешней, так и внутренней среды организации. В соответствии с теорией организации, необходимо согласование степени специализации структурных единиц системы и их координации, объединение усилий отдельных подсистем организации для достижения синергетического эффекта саморазвивающейся организации [6].

Успех кадрового планирования сильно зависит от того, насколько тесно служба управления персоналом в состоянии интегрировать эффективное планирование персонала с плановым процессом предприятия. Однако до сих пор кадровое планирование недостаточно связано с полным общим планированием, в чем мы неоднократно убеждались, выполняя научно-исследовательские проекты на ряде предприятий региона [3, 13].

Сосредоточенность на краткосрочных потребностях организации является естественным следствием неинтегрирования кадрового и стратегического планирования. Этот подход почти всегда ведет к возникновению проблем, которые вынуждают отдел кадрового планирования (если он есть!) сконцентрироваться на краткосрочных кризисах.

Полностью эффективным для саморазвивающейся организации кадровое планирование является лишь в том случае, если оно интегрировано с общим процессом планирования (рис. 2) [10].

Кадровая политика саморазвивающейся организации должна базироваться на стратегических планах предприятия. Фактически это означает, что цели кадровой политики должны быть производными от стратегических целей предприятия с одновременным пониманием того, какая модель личности специалиста востребована данным предприятием.

Стимулирование как процесс побуждения субъектов к деятельности для достижения поставленных целей наиболее эффективно, если в полной мере учитывается диалектическое взаимодействие интересов работников с интересами организации.

Для саморазвивающейся организации важно прежде всего стимулирование потребности сотрудников в профессиональном образовании. Саморазвитие идет наиболее активно, если потребности личности работника в образовании совпадают с потребностями организации в ее развитии. Основной задачей в обучении персонала является необходимость связать подготовку и повышение квалификации с целями организации [11].

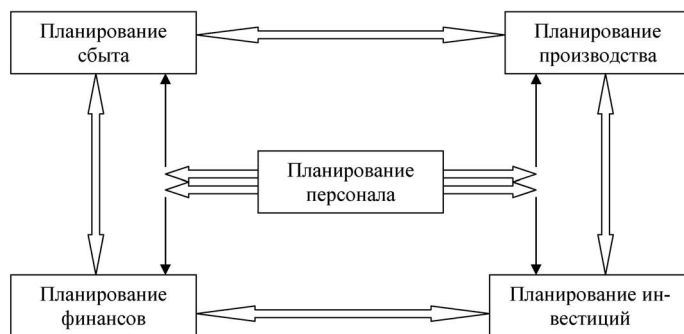


Рис. 2. Интегрированное планирование персонала

Однако данный ресурс системно практически не реализован ни на одном предприятии России, а потому обучение работников идет бессистемно, точно, вне связи желания конкретного работника учиться с его использованием после окончания обучения. Не подсчитывается и экономический эффект от такого обучения [12].

Сближение интересов личности и саморазвивающейся организации происходит на основе высокой корпоративной культуры органа управления, нацеленной на развитие персонала, повышение его квалификации, профессионального роста, соответствующее затраченным усилиям материальное и моральное вознаграждение.

При разработке системы мотивации и стимулирования персонала весьма важно определение критериев и технологий отбора кандидатов на вакантную должность. Эта задача сейчас решается в ассесмент-центрах. Однако мы считаем, что наиболее эффективно эту задачу следует решать исходя из модели работника, его профессионального стандарта, соответствующих уровней профессиональных компетенций.

Отбор, расстановка кадров, работа с резервом должны учитывать: модель специалиста, предъявляемые квалификационные требования к деловым и личностным качествам персонала; формирование системы адаптации кадров; создание нормативно-правовой, научно-методической базы для работы с резервом для повышения его квалификации [5]. Качество работающего персонала в самораз-

вивающейся организации во многом определяется программами обучения.

Саморазвивающаяся организация должна иметь собственную модель личности работника, желающего и способного постоянно учиться [10]. Основные характеристики персонала саморазвивающейся организации: активная жизненная позиция; креативность; максимальная инициативность в создании и реализации новых процессов и технологий; лояльность на уровне убеждений, проявляющаяся в самоидентификации с организацией; направленность деловой активности на достижение целей организации; развитое чувство долга, высокая самооценка; эффективный самоконтроль в профессиональной деятельности; стремление к саморазвитию, выработка идей, постановка целей, планирование действий по их реализации; стремление действовать и быть вознагражденным.

Основные функции службы управления персоналом саморазвивающейся организации: долговременное планирование кадрового потенциала; отбор сотрудников на основе их ценностных ориентаций и уровня профессиональной компетентности; обеспечение деловой оценки персонала (в том числе на основе самооценки достижений) с целью развития профессионально важных качеств; делегирование полномочий и ответственности; реализация системы индивидуальных планов профессионального развития и должностного продвижения (планов деловой карьеры); активное использование кадрового резерва. ■

## Литература

1. О стратегии развития России до 2020 года. Выступление президента России В. В. Путина на расширенном заседании Государственного совета Российской Федерации. URL: <http://www.kremlin.ru> (дата обращения: 12.12.2009).
2. Программа антикризисных мер правительства Российской Федерации на 2009 год (тезисы) // Аргументы и факты. — 2009. — № 13.

3. Схема кадрового обеспечения экономики Свердловской области на период до 2015 года / Рук. д-р экон. наук, проф. Г. А. Ковалева. Екатеринбург: Правительство Свердловской области, Министерство экономики и труда Свердловской области, 2006. 92 с.
4. Ефимов А. В., Антропов В. А. Кадровое обеспечение предприятий в условиях корпоративного университета / Образование, производство, кадры. 2006. — № 1. — С. 56–68.
5. Антропов В. А., Мочалин В. В., Нестеров В. Л. Мониторинг профессионального становления личности специалиста железнодорожного транспорта М.: УМЦ, 2007. 301 с.
6. Нестеров В. Л., Радченко В. И., Морозова Е. Н. Расчет, анализ и прогнозирование обеспечения устойчивости кадров в вузе // Транспорт: наука, техника, управление, — 2006. — № 11. — С. 13–15.
7. Антропов В. А., Ревина Е. В. Совершенствование внутривузовских организационно-экономических отношений: постановка проблемы // Университетское управление: практика и анализ. 2003. № 2. — С. 41–49.
8. А. Сидорова, О. Курносова. Процессные инновации в системе управления развитием предприятий / Экономист, 2008, № 1. — С. 28–32.
9. Паршина В. С., Антропов В. А. Управление внутриорганизационной карьерой руководителей и специалистов отрасли железнодорожного транспорта. Екатеринбург: УрГУПС, 2002. 149 с.
10. Строителиева Т. Г. Новые подходы к разработке кадровой политики предприятий Алтайского края, определяющиеся условиями экономического роста // Управление персоналом, — 2008. — № 9.
11. Антропов В. А., Нестеров В. Л., Тимошин А. А. Научно-методические основы подготовки кадров для информатизации железнодорожного транспорта. М.: Маршрут, 2003. 91 с.
12. Антропов В. А., Паршина В. С., Кудинов А. В. Социально-экономическая эффективность инвестиций в подготовку кадров // Экономика региона, 2009, № 1. — С. 28–41.
13. Паршина В. С. Система развития персонала в организации. Екатеринбург: Институт экономики УрО РАН, 2006. 74 с.

## Literature

1. On Russia's development strategy up to 2020 year. Russian President V. V. Putin's speech at enlarged session of the Russian Federation's Government Council. [Electronic resource]. URL: <http://archive.kremlin.ru/text/appears/2008/02/159528.shtml>. (search date: 15.07.2010).
2. Crisis management program of Russian Federation Government for the year 2009 (synopsis) // AIF — 2009. № 13. ISSN 0204–0476.
3. Scheme of personnel supply for Sverdlovsk region economy within the period up to the year of 2015 / under the direction of Sverdlovsk region Economy and Labour Minister, Doctor of Economic Sciences, Prof. G. A. Kovaleva. Ekaterinburg. Sverdlovsk Regional government, Ministry of Economy and Labour, 2006, 92 p.
4. A. V. Efimov, V. A. Antropov HR supplying of an enterprise in the conditions of corporate university // Education, production, human resources, 2006, № 1.P. 56–68.
5. Antropov V. A., Mochalin V. V., Nesterov V. L. Monitoring of professional achievement of railway specialist's personhood M.: UMZ, 2007. 301 p. ISBN 978–5–89035–424–2.
6. Nesterov V. L., Radchenko V. I., Morozova E. N. Calculation, analysis and forecasting of providing staff stability in the higher educational institution // Transport: science, engineering, management, — 2006. — № 11.—p. 13–15. ISSN 0236–1914.
7. Antropov V. A., Revina E. V. Improvement of intra–university organizational and economic relations: problem statement // University management: practice and analysis. 2003. № 2. P.41–49. ISSN 1999–6640.

8. A. Sidorova, O. Kurnosova. Process innovations in management of enterprise development / Economist. — 2008. — № 1. — P. 28–32.

9. Parshina V. S., Antropov V. A. Management of intra-organization career of railway administrators and specialists. Ekaterinburg. USTU –UPI, 2002. 149p. ISBN 5–94646–003–X.

10. Stroiteleva T. G. New approaches to the development of personnel policy of Altai enterprises, determined by economic growth conditions // Personnel management, — 2008. — № 9.

11. Antropov V. A., Nesterov V. L., Timoshin A. A. Fundamentals of scientific methods of staff training for railway transport informatization. M: Marshrut, 2003. 91 p.

12. Antropov V. A., Parshina V. S., Kudinov A. V. Social and economic efficiency of investments to personnel training // The Economy of the Region. 2009. N 1. P.28–41

13. Parshina V. S. Personnel development in an organization. Ekaterinburg: Institute of Economics Ural Branch, Russian Academy of Sciences, 2006, 74 p.

### References (transliteration)

1. O strategii razvitiya Rossii do 2020 goda. Vystuplenie prezidenta Rossii V. V. Putina na rasshirennom zasedanii Gosudarstvennogo soveta Rossijskoj Federatsii. URL: <http://archive.kremlin.ru/text/appears/2008/02/159528.shtml>. (data obrashcheniya: 15.07.2010).

2. Programma antikrizisnykh mer pravitelstva Rossijskoj Federatsii na 2009 god (tezisy) // Argumenty i fakty. — 2009. — № 13. ISSN 02040476.

3. Skhema kadrovogo obespecheniya ekonomiki Sverdlovskoj oblasti na period do 2015 goda / Ruk. D-r ekon. nauk, prof. G. A. Kovaleva. Ekaterinburg: Pravitelstvo Sverdlovskoj oblasti, Ministerstvo ekonomiki i truda Sverdlovskoj oblasti, 2006. 92 s.

4. Efimov A. V., Antropov V. A. Kadrovoe obespechenie predpriyatij v usloviyah korporativnogo universiteta / Obrazovanie, proizvodstvo, kadry. 2006. — № 1. — S. 56–68.

5. Antropov V. A., Mochalin V. V., Nesterov V. L. Monitoring professionalnogo stanovleniya lichnosti spetsialista zheleznodorozhnogo transporta M.: UMC, 2007. 301 s. ISBN 978–5–89035–424–2

6. Nesterov V. L., Radchenko V. I., Morozova E. N. Raschet, analiz i prognozirovaniye obespecheniya ustojchivosti kadrov v vuze // Transport: nauka, tekhnika, upravlenie, — 2006. — № 11. — S. 13–15. ISSN 0236–1914.

7. Antropov V. A., Revina E. V. Sovershenstvovanie vnutrivuzovskih organizatsionno-ekonomicheskikh otnoshenij: postanovka problemy // Universitetskoe upravlenie: praktika i analiz. 2003. № 2. S. 41–49. ISSN 1999–6640.

8. A. Sidorova, O. Kurnosova. Protsessnye innovatsii v sisteme upravleniya razvitiem predpriyatij / Economist. — 2008. — № 1. — S. 28–32. Zgidno z postanovoyu Prezidii VAK Ukraïni vid 10.11.99 № 3\_05/11 «Economist» — v pereliku naukovih fahovih vidan VAK Ukraïni.

9. Parshina V. S., Antropov V. A. Upravlenie vnutriorganizatsionnoj karjeroj rukovoditelej i spetsialistov otrasli zheleznodorozhnogo transporta. Ekaterinburg: UGTU-UPI, 2002. 149 S. ISBN 5–94646–003–X.

10. Stroiteleva T. G. Novye podkhody k razrabotke kadrovoy politiki predpriyatij Altajskogo kraja, opredelyayushchiesya usloviyami ekonomicheskogo rosta // Upravlenie personalom, — 2008. — № 9.

11. Antropov V. A., Nesterov V. L., Timoshin A. A. Nauchno-metodicheskie osnovy podgotovki kadrov dlya informatizatsii zheleznodorozhnogo transporta. M.: Marshrut, 2003. 91 s.

12. Antropov V. A., Parshina V. S., Kudinov A. V. Sotsialno-ekonomicheskaya effektivnost investitsij v podgotovku kadrov // Ekonomika regiona, — 2009. — № 1 — S. 2841. ISSN 2072–6414.

13. Parshina V. S. Sistema razvitiya personala v organizatsii. Ekaterinburg: Institut ekonomiki UrO RAN, 2006. 74 s. ISBN 5–7691–1161–5.

*Статья сдана в редакцию 18.06.2010 г.*

658.3.014.1

*О. В. Куликова, А. А. Конов*

## Диагностика сформированности общекультурных компетенций в процессе выполнения системы контрольно-обучающих мероприятий

658.3.014.1

*O. V. Kulikova, A. A. Konov*

## Diagnosis of cultural competences in the process of control educating events accomplishment

### Аннотация

Предложена технология построения системы диагностики сформированности общекультурных компетенций в процессе овладения учебной дисциплиной. Механизмом определения уровня сформированности освоения учебного материала выступает классификация учебных задач по В. П. Беспалько, которая позволяет качественно и количественно оценить эффективность педагогических воздействий.

Этапы деятельности преподавателя показаны на примере проектирования и применения педагогических измерительных материалов для аттестации таких общекультурных компетенций, как способность понимать закономерности исторического процесса и осознавать социальную значимость своей будущей профессии при изучении дисциплины «История развития транспорта».

### Ключевые слова:

общекультурные компетенции; учебная деятельность; критерии усвоения учебного материала; коэффициент сформированности результатов обучения.

### Abstract

The construction technology of diagnostic system of cultural competences formation in the process of becoming proficient in a discipline is offered in the article. The classification

of tasks by V. P. Bepalko, which allows to assess the quality and quantity of teacher's influences' efficiency, is the mechanism of estimating the level of formation of study material mastering.

The stages of teacher's activities are shown by giving the example of projecting and applying the educational measuring materials for assessment of such cultural competences as ability to understand the objective laws of historical process and to realize the social significance of future profession when studying the subject 'The History of Transport Development'.

### Key words:

cultural competences; study activities; criteria of study material mastering; coefficient of formation education results.

**В**ыпускники бакалавриата в процессе освоения вузовской программы обучения должны овладеть определенной совокупностью общекультурных (ОК) и профессиональных (ПК) компетенций.

Нормативные документы трактуют понятие «компетенция» как способность применять знания, умения

Сведения об авторах: **Ольга Валентиновна Куликова**, канд. пед. наук, доцент; кафедра «Высшая математика» Уральского государственного университета путей сообщения; Екатеринбург, Россия.

E-mail: [Kulikova1000@rambler.ru](mailto:Kulikova1000@rambler.ru).

**Алексей Александрович Конов**, канд. ист. наук (Уральский государственный университет путей сообщения). E-mail: [drednoute@e1.ru](mailto:drednoute@e1.ru).

About the author: **Olga V. Kulikova**, PhD, Associate professor; 'Higher mathematics' department of the Ural State University of Railway Transport; Ekaterinburg, Russia. E-mail: [kulikova1000@rambler.ru](mailto:kulikova1000@rambler.ru).

**Aleksey A. Konov**, PhD, Associate professor; 'History and Political Science' department of the Ural State University of Railway Transport; Ekaterinburg, Russia. E-mail: [drednoute@e1.ru](mailto:drednoute@e1.ru).

и личностные качества для успешной деятельности в определенной области [5, 6].

В. Д. Шадриков, исследуя психическую сущность способностей, рассматривает их как «свойства функциональных систем, реализующих отдельные психические функции, имеющих индивидуальную меру выраженности, проявляющуюся в успешности и качественном своеобразии освоения и реализации отдельных психических функций» [7]. Мы предлагаем в качестве такой функциональной системы рассматривать не только систему знаний, умений и навыков (ЗУН), но и систему компетенций.

В своей работе «Слагаемые педагогической технологии» В. П. Беспалько выделяет в структуре деятельности человека четыре уровня усвоения учебного материала, которые раскрывают его способность решать различные задачи [1]. Первый уровень усвоения — ученический (У); характеризуется умением решать задачи, когда известны цель, ситуация и действия, необходимые для ее достижения (задачи первого типа). Второй — алгоритмический (А); требует применения ранее усвоенных действий для решения задач в том случае, если известны цель и ситуация (задачи второго типа). Если обучающийся правильно определяет ситуацию, которая обеспечит достижение цели (задачи третьего типа), и самостоятельно выбирает необходимую последовательность действий, то он проявляет умения третьего уровня усвоения — эвристического (Э). Достижение четвертого уровня усвоения — творческого (Т) — отражает умение не только конкретизировать сформулированную в общем виде цель (задачи четвертого типа), но конструировать ситуацию с системой действий, необходимой для ее решения.

В. П. Беспалько предлагает диагностировать уровни усвоения в про-

цессе решения задач, стоимость которых устанавливается по равномерной дискретной двенадцатибалльной шкале [1]. Репродуктивная деятельность на ученическом или алгоритмическом уровне, требующая только воспроизведения учебного материала, проявляется при решении задач стоимостью от 1 до 6 баллов. При этом задачи, в которых заданы цель, ситуация и действия оцениваются от 1 до 3 баллов, а задачи, в которых известны цель и ситуация, имеют стоимость от 4 до 6 баллов. Продуктивная деятельность на эвристическом или творческом уровне связана с генерацией новых идей, которые реализуются в решении задач стоимостью от 7 до 12 баллов. Задачи, в которых известна только цель, оцениваются от 7 до 9 баллов, а задачи, в которых цель сформулирована в общем виде, стоят от 10 до 12 баллов.

Представляется целесообразным составить такую систему диагностики, в которую входили бы задачи всех четырех типов. Такая система контрольно-обучающих мероприятий (КОМ) создает благоприятные условия как для измерения качества сформированных знаний, умений и навыков, проявляющихся в репродуктивной деятельности, так и для измерения качества сформированных компетенций, раскрывающих свой потенциал в продуктивной деятельности.

Балльная стоимость каждого КОМ выделяет его значимость в содержании дисциплины и непроизвольно отражает характер решаемых задач. Если, согласно «Положению о рейтинговой системе оценки деятельности студентов» [3], максимальная стоимость овладения учебной дисциплиной в семестре (независимо от ее общей трудоемкости) равна 100 баллам, то возникает необходимость построения 100-балльной шкалы оценки КОМ.

Обоснованное распределение 100 баллов по всем КОМ связано с ус-

тановлением методом экспертной оценки их степени значимости, которая определяется предметом диагностики и рассматривается как относительная трудоемкость, измеряемая в условных единицах. Например, степень значимости может быть средней ( $K_1$ ), высокой ( $K_2$ ) и очень высокой ( $K_3$ ). Если средней степени значимости присвоить одну условную единицу  $K_1 = 1$  у. е., то высокой и очень высокой степени значимости целесообразно присвоить две и три условные единицы:  $K_2 = 2$  у. е. и  $K_3 = 3$  у. е.

Балльная стоимость условной единицы определяется по формуле

$$1 \text{ у. е.} = \frac{100 \text{ баллов}}{1m_1 + 2m_2 + 3m_3}, \quad (1)$$

где  $m_1$  — количество КОМ средней степени значимости;  $m_2$  — количество КОМ высокой степени значимости;  $m_3$  — количество КОМ очень высокой степени значимости.

Балльная стоимость КОМ в этом случае вычисляется умножением балльной стоимости у. е. на стоимость ее степени значимости.

Качество результата обучения может определяться относительным коэффициентом его сформированности  $C$  (коэффициентом сформированности знаний, умений и навыков  $C_{ЗУН}$  или коэффициентом сформированности компетенций  $C_K$ ), который вычисляется по формуле

$$C = \frac{\sum_{i=1}^m q_i}{\sum_{i=1}^m Z_i}, \quad (2)$$

где  $q_i$  — балльная оценка учебной работы студента за выполнение  $i$ -го КОМ;  $Z_i$  — максимальная балльная стоимость  $i$ -го КОМ;  $m$  — количество КОМ в системе диагностики сформированности результата обучения.

Коэффициент  $C$  принимает зна-

чения от 0 до 1 и характеризует долю качественно выполненной студентом запланированной учебной работы. Установить уровень усвоения изученного материала возможно, если использовать непрерывную относительную четырехуровневую шкалу, построенную на основе преобразования двенадцатибалльной шкалы В. П. Беспалько (первый уровень — 0–0,25; второй — 0,26–0,50; третий — 0,51–0,75; четвертый — 0,76–1).

Подготовка пакета педагогических измерительных материалов по учебной дисциплине включает следующие действия: 1) определение предмета диагностики; 2) проектирование критериев сформированности у студентов результата обучения; 3) составление системы КОМ.

Рассмотрим этот алгоритм на примере конструирования системы диагностики сформированности у студентов первого курса общекультурных компетенций в процессе изучения дисциплины «История развития транспорта», которая входит в основную образовательную программу подготовки бакалавров экономики. Объем учебного времени — 60 ч (из них аудиторная работа студентов — 18 ч, самостоятельная — 42 ч) [5].

**I этап.** Тематика и содержание учебных занятий создают благоприятные условия для начала формирования на первом курсе у будущих бакалавров экономики следующих общекультурных компетенций (ОК): понимание движущих сил и закономерностей исторического процесса, событий и процессов экономической истории, места и роли своей страны в истории человечества и в современном мире (ОК-3); осознание социальной значимости своей будущей профессии, обладание высокой мотивацией к выполнению профессиональной деятельности (ОК-11) [6].

Для увеличения повышения мотивации студентов к изучению

дисциплины «История развития транспорта» на каждом занятии вводятся элементы истории транспорта на Урале, особенно по истории Свердловской и Южно-Уральской железных дорог. Практические занятия по дисциплине в студенческих группах подтверждают целесообразность такого подхода\*.

Пример использования отдельных материалов из истории Урала в наиболее трудоемкой для изучения теме «Транспорт России и СССР в 1917–начале 1940-х гг.» представлен в таблице 1.

\*Конкретные примеры из истории транспорта на Урале способствуют развитию у студента системного исторического мировоззрения, позволяют ему воспринимать события исторической значимости не как отвлеченные абстрактные явления или юбилейные разрозненные даты, а как непрерывный, единый процесс прогрессивного развития техники и трудовых коллективов, без которого невозможен современный уровень развития транспорта как сложной системы. Привязка дисциплины «История развития транспорта» к локальному историческому пространству воспитывает у студента уважение к достижениям предшествующих поколений инженеров и изобретателей в области транспорта, позволяет сделать осознанный выбор своей будущей профессии.

**II этап.** По результатам проблемно-ориентированного анализа видов профессиональной деятельности бакалавров экономики выделены критерии сформированности общекультурных компетенций ОК-3 и ОК-11.

Критерии сформированности способности понимать движущие силы и закономерности исторического процесса, события и процессы экономической истории, место и роль своей страны в истории человечества и в современном мире (ОК-3): творческий уровень (хорошее знание терминологии и проведение системного и концептуального анализа изучаемых проблем по истории развития отечественного транспорта; оперативное ориентирование в большом объеме учебного и научного материала, раскрывающего закономерности становления транспортной системы России; выдвижение оригинальных гипотез и их подтверждение самостоятельно собранными фактами; стремление студента получить информации по изучаемой теме больше, чем это предусмотрено рабочей программой; эффективный поиск необходимой

Таблица 1

Изучаемая проблема	Изучение на основе общих материалов по истории железнодорожного транспорта СССР	Изучение на основе материалов по истории Свердловской железной дороги
Электрификация железных дорог	Краткие сведения по плану ГОЭЛРО, общие данные по протяженности электрифицированных линий и их локализации к 1941 году	Электрификация линий в 1933–1937 гг.: Чусовская — Кизел, Нижний Тагил — Свердловск, Нижний Тагил — Гороблагодатская, Гороблагодатская — Чусовская, Кизел — Свердловск
Модернизация локомотивного парка	Краткая характеристика новых локомотивов ФД, СО, ИС	Преимущества и недостатки новых локомотивов на дороге (в десять раз мощнее прежних, снабжены автотормозами, электроосвещением, но не соответствуют мощности полотна)
Модернизация вагонного парка	Пополнение вагонного парка большегрузными вагонами с автосцепкой и автотормозами	История Уралвагонзавода, по проектам которого с 1940 года выпускались все вагоны в СССР
Социалистическое соревнование	Основные цели социалистического соревнования, оценка его результатов	Конкретные формы соревнования, личности передовиков

информации в Интернете, фондах музеев, библиотеке); эвристический уровень (хорошее знание терминологии и проведение элементов системного анализа изучаемых проблем по истории развития отечественного транспорта; оперативное ориентирование в объеме учебно-методического материала, раскрывающего закономерности становления транспортной системы России; эффективный поиск необходимой информации в Интернете, фондах музеев, библиотеке); алгоритмический уровень (знание терминологии и представление об этапах истории развития отечественного транспорта; ориентирование в объеме учебного материала, раскрывающего закономерности становления транспортной системы России; эффективный поиск необходимой информации в Интернете); ученический уровень (знание некоторых элементов системы понятий по истории развития отечественного транспорта; плохое ориентирование в объеме учебного материала, раскрывающего закономерности становления транспортной системы России; неэффективный поиск нужной информации).

Критерии сформированности способности осознавать социальную значимость своей будущей профессии и обладать высокой мотивацией к выполнению профессиональной деятельности (ОК-11): творческий уровень (свободное выступление с развернутыми ответами на вопросы слушателей о роли различных видов транспорта в истории современного мира; доказательная аргументация социальной значимости железнодорожного транспорта в историческом пространстве нашей страны; компьютерная презентация творческих заданий о достижениях отечественных железнодорожников на основе богатого иллюстративного материала, схем, таблиц, карт, копий документов); эвристический уровень (вы-

ступление с краткими ответами на вопросы слушателей о роли различных видов транспорта в истории современного мира; слабая доказательная аргументация социальной значимости железнодорожного транспорта в историческом пространстве нашей страны; компьютерная презентация творческих заданий о достижениях отечественных железнодорожников на основе схем, таблиц, карт); алгоритмический уровень (выступление без ответов на вопросы слушателей о роли различных видов транспорта в истории современного мира; отсутствие доказательной аргументации социальной значимости железнодорожного транспорта в историческом пространстве нашей страны; компьютерная презентация учебных заданий о достижениях отечественных железнодорожников на основе рисунков и текста); ученический уровень (нежелание подготовить выступление о роли различных видов транспорта в истории современного мира и достижениях отечественных железнодорожников либо стремление выступить без предварительной подготовки текста сообщения, причем взятого из Интернета; подмена темы сообщения на другую, не связанную с темой занятия).

Достижение студентом творческого, эвристического, алгоритмического, ученического уровней определяется его умением решать задачи четвертого, третьего, второго, первого типа по классификации В. П. Беспалько [1]. Это может фиксироваться с помощью коэффициента сформированности компетенций  $C_k$  (1) следующим образом: творческий уровень  $0,75 < C_k \leq 1$ ; эвристический уровень  $0,50 < C_k \leq 0,75$ ; алгоритмический уровень  $0,25 < C_k \leq 0,50$ ; ученический уровень  $0 < C_k \leq 0,25$ .

**III этап.** Основные КОМ по дисциплине «История развития транспорта»: тестирование (Т1 и Т2),

коллоквиум (К), поисковые задания (ПЗ), доклады (Д1 и Д2), контрольные работы (КР1 и КР2). Предмет диагностики каждого КОМ и степень его значимости представлены в таблице 2.

Стоимость всех представленных КОМ составляет 13 у. е. (таблица 2), что эквивалентно 100 баллам, следовательно, балльную стоимость 1 у. е. можно вычислить по формуле 1 и принять приблизительно равной семи или восьми баллам

$$1_{\text{у.е.}} = \frac{100}{13} = 7,69 \approx 8 \text{ баллов.}$$

Стоимость контрольно-образовательного мероприятия Z равна произведению балльной стоимости условной единицы на его условную стоимость степени значимости.

Для диагностики сформированности у студентов репродуктивной учебной деятельности применяются тестирование или подготовка ими докладов по заданному плану (такие оценки имеют наименьшую стоимость, равную 1 у. е., или 7–8 баллам). В содержании контрольных работ и коллоквиума включаются дидактические задания, выполнение которых раскрывает эвристиче-

ские способности обучаемых, следовательно, их стоимость увеличивается на 1 у. е. и становится равной 2 у. е., или 14–16 баллам. Неравнозначность трудоемкости контрольных работ позволяет оценить стоимость КР1 в 16 баллов, а стоимость КР2 — в 12. Простор для проявления творческих способностей предоставляет поисковое задание, стоимость которого равна 3 у. е., или 21–24 балла [2]\*.

Поисковое задание должно содержать в себе проблему, как правило, дискуссионную, и соответствовать следующим требованиям: достаточно узкая тема и ее предельно четкая формулировка; студент в течение длительного срока занимается исследованием под постоянным научным руководством преподавателя; в от-

\*При диагностике уровня сформированности общекультурных компетенций по дисциплине «История развития транспорта» особое внимание уделяется поисковому заданию, так как оно позволяет студенту в полной мере проявить свои исторические способности, впервые провести самостоятельную исследовательскую работу, твердо усвоить тему, связанную с поисковым заданием, освоить основные методы научного анализа (умение работать с научной литературой и статистическими сборниками, уметь извлекать историческую информацию из архивных документов и музейных экспонатов). Именно поэтому оценка ПЗ может составлять до 24 баллов.

Таблица 2

Система диагностик сформированности результатов обучения

№ п/п	КОМ	Предмет диагностики			Степень значимости (стоимость у. е.)		
		ЗУН	ОК-3	ОК-11	K <sub>1</sub> (1 у. е.)	K <sub>2</sub> (2 у. е.)	K <sub>3</sub> (3 у. е.)
1	T1	+			+		
2	T2	+			+		
3	K1	+	+			+	
4	ПЗ		+	+			+
5	Д1		+	+	+		
6	КР1	+	+			+	
7	Д2		+	+	+		
8	КР2	+	+			+	
				Σ	1×4 = 4	2×3 = 6	1×3 = 3
				Σ	4 + 6 + 3 = 13		

чете о выполнении задания должен быть анализ трудов предшественников по изучению данной проблемы.

В течение семестра каждому студенту по дисциплине «История развития транспорта» необходимо выполнить восемь КОМ (см. таблицу 2). Качество учебной работы каждого выполненного студентом КОМ оценивается по балльной шкале на основании выделенных критериев [2]. Результаты аттестации студентов одной из учебных групп представлены в таблице 3.

Определение предмета диагностики и балльной стоимости КОМ позволяет составить формулы для вычисления коэффициентов сформированности результатов обучения:

$$C_{\text{ЗУН}} = \frac{q_1 + q_2 + q_3 + q_6 + q_8}{Z_1 + Z_2 + Z_3 + Z_6 + Z_8}, \quad (3)$$

$$C_{\text{ОК-3}} = \frac{q_3 + q_4 + q_5 + q_6 + q_7 + q_8}{Z_3 + Z_4 + Z_5 + Z_6 + Z_7 + Z_8}, \quad (4)$$

$$C_{\text{ОК-11}} = \frac{q_4 + q_5 + q_7}{Z_4 + Z_5 + Z_7}. \quad (5)$$

Значения коэффициентов  $C_{\text{ЗУН}}$ ,  $C_{\text{ОК-3}}$ ,  $C_{\text{ОК-11}}$ , вычисленные по формулам (3)–(5), и распределение студентов учебной группы по уровням сформированности общекультурных компетенций отражено в таблице 4 и на рис. 1.

В формулы (3)–(5) вводятся в разных соотношениях показатели выполнения и стоимости дидактических заданий, диагностирующие репродуктивный и продуктивный уровень учебной деятельности. Предлагаемое сочетание заданий отражает иерархию освоения продуктивной деятельности через овладение репродуктивной.

Таблица 3

Мониторинг учебных достижений студентов

Показатель		КОМ							
Вид КОМ		T1	T2	K1	ПЗ1	Д1	КР1	Д2	КР2
Обозначение		Z <sub>1</sub>	Z <sub>2</sub>	Z <sub>3</sub>	Z <sub>4</sub>	Z <sub>5</sub>	Z <sub>6</sub>	Z <sub>7</sub>	Z <sub>8</sub>
Стоимость, max		8	8	16	24	8	16	8	12
№	ФИО	Балльная оценка аттестации q							
		q <sub>1</sub>	q <sub>2</sub>	q <sub>3</sub>	q <sub>4</sub>	q <sub>5</sub>	q <sub>6</sub>	q <sub>7</sub>	q <sub>8</sub>
1	А***	0	8	10	13	5	13	8	12
2	Б***	0	5	10	10	0	10	2	10
3	В***	0	5	10	10	8	16	8	12
4	Г***	7	8	15	8	8	16	5	10
5	Д***	7	5	2	0	7	0	0	0
6	Е***	8	8	16	24	8	16	8	12
7	Ж***	6	8	5	5	7	0	0	0
8	З***	0	5	5	15	8	16	8	12
9	И***	6	5	0	4	5	11	5	11
10	К***	5	8	13	8	8	16	6	8
11	Л***	5	8	5	5	8	11	7	10
12	М***	7	8	10	20	8	10	7	11
13	Н***	0	8	15	10	5	9	5	9
14	О***	5	5	0	15	8	16	8	12
15	П***	0	8	5	12	8	16	8	12

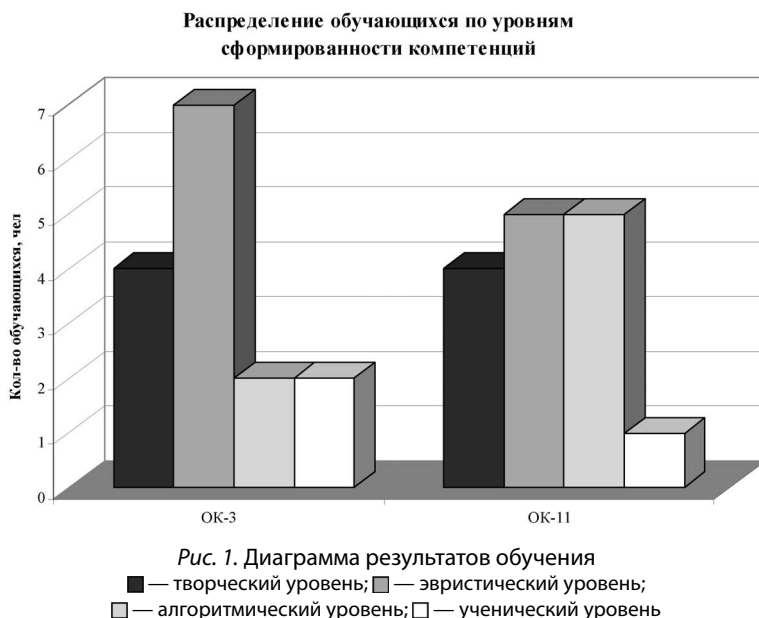


Таблица 4

Уровни сформированности общекультурных компетенций

№	ФИО	СЗУН	Общекультурные компетенции									
			ОК-3				ОК-11					
			уровень сформированности				уровень сформированности					
			СОК-3	Т (0,76–1,0)	Э (0,51–0,75)	А (0,26–0,50)	У (0–0,25)	СОК-11	Т (0,76–1,0)	Э (0,51–0,75)	А (0,26–0,50)	У (0–0,25)
1	А***	0,72	0,73	+			0,65	+				
2	Б***	0,58	0,50			+	0,30			+		
3	В***	0,72	0,76	+			0,65	+				
4	Г***	0,93	0,74		+		0,53	+				
5	Д***	0,23	0,11			+	0,18			+		
6	Е***	1,00	1,00	+			1,00	+				
7	Ж***	0,32	0,20			+	0,30			+		
8	З***	0,63	0,76	+			0,78	+				
9	И***	0,55	0,43			+	0,35			+		
10	К***	0,83	0,70		+		0,55	+				
11	Л***	0,65	0,55		+		0,50			+		
12	М***	0,77	0,79	+			0,88	+				
13	Н***	0,68	0,63		+		0,50			+		
14	О***	0,63	0,70		+		0,78	+				
15	П***	0,68	0,73		+		0,70	+				
			Σ	4	7	2	2	Σ	4	5	5	1
			Σ		15			Σ		15		

Одиннадцать студентов (73 %) способны продуктивно решать учебные задачи, раскрывая способность понимать движущие силы и закономерности исторического процесса, место и роль истории транспорта в современном мире (творческий и эвристический уровни сформированности ОК-3).

Девять студентов (60 %) продуктивно решают задачи, осознавая социальную значимость экономического развития отрасли и проявляя познавательный интерес к выбранной профессиональной деятельности (творческий и эвристический уровни сформированности ОК-11).

Приближенно оценить степень взаимосвязи элементов системы КОМ можно с помощью корреляционного анализа [3]. В таблице 5 представлено значение коэффициента корреляции  $r_{x_i y_i}$ , который отражает корреляционную зависимость между коэффициентами сформированности результатов обучения и вычисляется по формуле

$$r_{x_i y_i} = r_{y_i x_i} = \frac{n \sum_{i=1}^n x_i y_i - \left( \sum_{i=1}^n x_i \right) \left( \sum_{i=1}^n y_i \right)}{\sqrt{n \sum_{i=1}^n x_i^2 - \left( \sum_{i=1}^n x_i \right)^2} \sqrt{n \sum_{i=1}^n y_i^2 - \left( \sum_{i=1}^n y_i \right)^2}}, \quad (5)$$

где  $x_i, y_i$  — значения переменных величин  $X$  и  $Y$  (в нашем случае — это коэффициенты сформированности результатов обучения  $C_{ЗУН}$  и  $C_{ОК-3}$ ,  $C_{ЗУН}$  и  $C_{ОК-11}$ ,  $C_{ОК-3}$  и  $C_{ОК-11}$ );  $n$  — количество наблюдаемых пар значений переменных величин  $X$  и  $Y$ ,  $|r_{x_i y_i}| \leq 1$ .

Значимость коэффициентов корреляции проверяется с помощью  $t$ -распределения Стьюдента и признается существенной при выполнении неравенства

$$|t_{\text{набл.}}(r_{x_i y_i})| > t_{\text{кр.}}(\alpha; k), \quad (6)$$

$$t_{\text{набл.}}(r_{x_i y_i}) = \frac{r_{x_i y_i} \sqrt{n-2}}{\sqrt{1-r_{x_i y_i}^2}}$$

где  $t_{\text{набл.}}(r_{x_i y_i})$  — наблюдаемое значение критерия Стьюдента;  $t_{\text{кр.}}(\alpha; k)$  — критическое значение критерия Стьюдента на уровне значимости  $\alpha$  при числе степеней свободы  $k = n - 2$  [3].

Таблица 5

Значения $r_{x_i y_i}$			
$x_i \backslash y_i$	$C_{ЗУН}$	$C_{ОК-3}$	$C_{ОК-11}$
$C_{ЗУН}$	1	0,92	0,72
$C_{ОК-3}$	0,92	1	0,90
$C_{ОК-11}$	0,72	0,90	1

Таблица 6

Значения критерия $t_{\text{набл.}}(r_{x_i y_i})$			
$x_i \backslash y_i$	$C_{ЗУН}$	$C_{ОК-3}$	$C_{ОК-11}$
$C_{ЗУН}$	—	8,42	3,77
$C_{ОК-3}$	8,42	—	7,52
$C_{ОК-11}$	3,77	7,52	—

Наблюдаемые значения критерия Стьюдента  $t_{\text{набл.}}(r_{x_i y_i})$  для коэффициентов корреляции  $r_{x_i y_i}$  (см. таблицу 5) представлены в таблице 6. Критическое значение критерия Стьюдента на уровне значимости 0,05 при числе степеней свободы 13 определяется по таблице  $t$ -распределения Стьюдента и равно 2,16. Неравенство (6) выполняется для каждого значения  $t_{\text{набл.}}(r_{x_i y_i})$ , следовательно, имеет место корреляционная зависимость между коэффициентами сформированности результатов обучения. Значение коэффициента корреляции  $r_{C_{ЗУН} C_{ОК-3}} = r_{C_{ОК-3} C_{ЗУН}} = 0,92$ , близкое к единице, отражает сильную взаимосвязь между способностью понимать движущие силы и закономерности исторического развития транспорта и системой

знаний о них, которая сформировалась в процессе обучения. Взаимосвязь между способностью осознавать социальную значимость своей будущей профессии и системой исторического знания о ней показывает значение коэффициента корреляции  $r_{C_{\text{зун}}C_{\text{ок-11}}} = r_{C_{\text{ок-11}}C_{\text{зун}}} = 0,72$ . Сильную взаимосвязь между способностями, представленными в виде компетенций ОК-3 и ОК-11, иллюстрирует

значение коэффициента корреляции  $r_{C_{\text{ок-3}}C_{\text{ок-11}}} = r_{C_{\text{ок-11}}C_{\text{ок-3}}} = 0,90$ .

Система КОМ, включающая дидактические задания, предназначенные для диагностики сформированности не только репродуктивной, но и продуктивной учебной деятельности студентов, обладает многофункциональными возможностями и создает условия непрерывного совершенствования квалиметрических измерений результатов учебного процесса. ■

## Литература

1. Беспалько В. П. Слагаемые педагогической технологии. М.: Педагогика, 1989. — 192 с. ISBN 5-7155-0099-0.
2. Конов А. А., Куликова О. В. Рейтинговая система оценки сформированности общекультурных компетенций по дисциплине «История развития транспорта»: метод. рекомендации. — Екатеринбург, 2010. — 40 с.
3. Кремер Н. Ш. Теория вероятностей и математическая статистика: учебник для вузов. — 2-е изд., перераб. и доп. — М.: ЮНИТИ-ДАНА, 2004. — 573 с. ISBN 5-238-00573-3.
4. Рейтинговая система оценки деятельности студентов университета. Утверждено и введено в действие приказом от 27.02.2007 № 39. — Екатеринбург, 2007. — 19 с.
5. Рабочая учебная программа по дисциплине «История развития транспорта» на 60 учебных часов для всех специальностей. — Екатеринбург, 2007. — 34 с.
6. Федеральный государственный образовательный стандарт высшего профессионального образования по направлению подготовки 61 б — «Экономика». Квалификация (степень) «Бакалавр». — М., 2009. — 26 с.
7. Шадриков В. Д. Способности, одаренность, талант // Развитие и диагностика способностей. Отв. ред. В. Н. Дружинин, В. Д. Шадриков. М.: Наука, 1991. С. 11.

## Literature

1. Bepalko V. P. Components of pedagogical technology. M.: Pedagogics, 1989. — 192 p. ISBN 5-7155-0099-0.
2. Konov A. A., Kulikova O. V. Rating system of cultural competences formation assessment on the subject 'The History of Transport Development': methodological recommendations. — Ekaterinburg, 2010. — 40 p.
3. Kremer N.Sh. Probability theory and mathematical statistics: Textbook for higher educational institutions— 2-nd edition, revised and suppl. — M.: YUNITI-DANA, 2004. — 573 p. ISBN 5-238-00573-3.
4. Rating system of students work assessment. Introduced by the order № 39 from 27.02.2007. — Ekaterinburg, 2007. — 19 p.
5. The History of Transport Development: educational program. — Ekaterinburg, 2007. — 34 p.
6. State Educational Standard of Higher Professional Education on the specialty 61 б «Economics». Qualification (degree) «Bachelor». — M., 2009. — 26 p.
7. Shadrikov V. D. Abilities, gifts, talent // Abilities development and diagnostics / Exec. editor. V. N. Druzhinin, V. D. Shadrikov. — M.: Science, 1991. — P.11.

### References (transliteration)

1. Беспалко В. П. Slagaemye pedagogicheskoy tekhnologii. М.: Pedagogika, 1989. — 192 s. ISBN 5-7155-0099-0.
2. Konov A. A., Kulikova O. V. Rejtingovaya sistema otsenki sformirovannosti obshchekulturnykh kompetentsiy po distsipline «Istoriya razvitiya transporta» metod. rekomendatsii. — Ekaterinburg, 2010. — 40 s.
3. Kremer N.Sh. Teoriya veroyatnostej i matematicheskaya statistika: Uchebnik dlya vuzov. — 2-e izd., pererab. i dop. — М.: UNITI-DANA, 2004. — 573 s. ISBN 5-238-00573-3.
4. Rejtingovaya sistema otsenki deyatel'nosti studentov universiteta. Vved. prikazom ot 27.02.2007 № 39. — Ekaterinburg, 2007. — 19 s.
5. Istoriya razvitiya transporta: uch. progr. — Ekaterinburg, 2007. — 34 s.
6. Federalnyj gosudarstvennyj obrazovatelnyj standart vysshego professional'nogo obrazovaniya po napravleniyu podgotovki 61 b — «Ekonomika». Kvalifikatsiya (stepen) «Bakalavr». — М., 2009. — 26 s.
7. Shadrikov V. D. Sposobnosti, odarennost, talent // Razvitie i diagnostika sposobnostej / Otv. red. V. N. Druzhinin, V. D. Shadrikov. — М.: Nauka, 1991. — S.11.

*Статья сдана в редакцию 03.06.2010*

# ИНТЕЛЛЕКТУАЛЬНАЯ СОБСТВЕННОСТЬ

Заявка № 2009132763/14 (046009)

Патентообладатель: Уральский государственный университет путей сообщения

Автор: Гилева О.Б.

## Способ повышения психофизиологической устойчивости работающих к стрессогенным факторам производственной среды

Изобретение относится к способам, вызывающим изменения психофизиологического состояния работающих при воздействии стрессогенных факторов производственной среды.

**Цель изобретения** — повысить психофизиологическую устойчивость работающих к стрессогенным факторам производственной среды.

### Практическая актуальность

Преимущество данного способа заключается в том, что определяют факторы производственной среды, способные вызвать дискомфорт работающих, выделяют из них стрессогенные факторы, ранжируют последние по степени их воздействия на работающих; по результатам ранжирования для каждого рабочего места с помощью



ранжированных факторов разрабатывают модели стрессогенных свойств производственной среды, отбирают группу работающих, подвергающихся воздействию стрессогенных факторов, и измеряют исходные показатели психофизиологической устойчивости каждого работающего к стрессогенным факторам с помощью способа компьютерного биоуправления, затем каждому работающему подбирают наиболее адекватные для него способы саморегуляции психофизиологического состояния организма и на разработанных моделях обучают и тренируют работающих, начиная с низкой и до самой высокой степени стрессогенности под контролем компьютерного биоуправления, осуществляют контрольное тестирование

показателей психофизиологической устойчивости каждого работающего, формулируют заключение о достигнутой работающим степени способности к саморегуляции под воздействием стрессогенных факторов производственной среды.

#### **Ожидаемый результат**

Использование предлагаемого способа повышения психофизиологической устойчивости работающих позволит значительно и снизить негативное действие производственных стрессов на работающих, что способствует укреплению здоровья, адаптирует участников тренинга именно к той производственной ситуации, которая существует на их рабочих местах. ■

# В ДИССЕРТАЦИОННЫХ СОВЕТАХ

## Отзыв

официального оппонента — доктора технических наук, профессора А. В. Дмитренко (Сибирский государственный университет путей сообщения) на диссертационную работу Фуфачевой Марины Валерьевны

### **«Развитие методов этапного овладения перевозками на двухпутных линиях при обращении длинносоставных поездов»,**

представленную на соискание ученой степени кандидата технических наук по специальности 05.22.08 — «Управление процессами перевозок»

#### **Актуальность темы исследования**

Перспективные задачи, связанные с освоением повышенных объемов перевозок, требуют эффективного использования технических средств, повышения степени использования провозных способностей магистральных линий, улучшения качества эксплуатационной работы в целом всего железнодорожного транспорта.

Увеличение полигона вождения длинносоставных поездов одиночной тягой позволяет повысить производительность локомотивов за счет увеличения числа вагонов в составах, сократить эксплуатационные расходы, связанные с передвижением поездов. Вождение длинносоставных грузовых поездов на железных дорогах Сибири применяют достаточно давно Восточно-Сибирская, Красноярская и Западно-Сибирская дороги, имеющие значительный опыт в организации пропуска таких поездов по участкам.

В последние годы наметилась устойчивая тенденция к росту доли длинносоставных поездов в структуре поездопотока, особенно в нечетном порожнем направлении для восточных районов страны. В то же время вождение поездов величиной 80 и 100 условных вагонов создает определенные трудности при пропуске их по участкам, так как полезные длины станционных путей не всегда позволяют

принимать такие поезда для обработки или для обгона другими более скорыми поездами. В связи с этим диссертационное исследование Фуфачевой М. В. является актуальным для железнодорожного транспорта.

**Научная новизна** данной работы заключается в установлении аналитических зависимостей количества и величины задержек длинносоставных грузовых поездов под обгоном, обоснования оптимальной этапности увеличения емкости путей на промежуточных станциях участков.

**Практическая значимость** диссертационного исследования Фуфачевой М. В. состоит в том, что при ограниченных размерах инвестиций существенно облегчается задача отбора тех раздельных пунктов, где реконструкция может быть проведена с малыми затратами при значительном сокращении потерь от задержек поездов.

Практическая ценность работы подтверждается тем, что результаты диссертационной работы использованы Красноярской железной дорогой при определении плана реконструктивных мероприятий на перспективу.

Диссертация состоит из введения, четырех глав, заключения, списка использованных источников и 9 приложений.

**Во введении** обозначена актуальность темы диссертационной работы

и отмечается, что она направлена на исследование проблемы повышения эффективности пропуска длинносоставных поездов одиночной тягой по двухпутным участкам и оценка необходимой этапности проведения реконструктивных мероприятий на отдельных пунктах линии.

**В первой главе** «Состояние вопроса и постановка задачи исследования» подробно охарактеризованы основные работы ученых и специалистов в области организации пропуска длинносоставных поездов и обоснование вариантов реконструкции станций при удлинении приемно-отправочных путей.

Рассмотрен отечественный и зарубежный опыт вождения длинносоставных поездов на полигонах большой протяженности. Автор справедливо отмечает, что при недостаточной емкости путевого развития станций для пропуска длинносоставных поездов эксплуатационная работа магистральных линий значительно осложняется, что приводит к снижению эффективности данного мероприятия.

В конце главы определены объект исследования, сформулирована его цель и задачи.

**Во второй главе** «Методика оценки задержек подвижного состава при организации пропуска по участку длинносоставных поездов» диссертант исследовала параметры поездопотоков, определила законы распределения интервалов поступления поездов на станцию и фактическое количество вагонов в составах поездов, что впоследствии использовала в имитационной модели.

Имитационная модель работы железнодорожного участка включает в себя блоки, позволяющие учесть занятость станционных путей, моменты поступления заявок на пропуск поездов, категоричность поездов (пассажирский, пригородный, обычный грузовой поезд, длинносоставный поезд), полезную длину станционных путей, время проследования станций поездами приоритетных категорий. В технико-экономических расчетах варьировалось количество поездов, проходящих по участку, расстояние между отдельными пунктами и соотношение скоростей пассажирских и грузовых поездов.

Автор исследовала вероятность отцепки вагонов от поездов из-за неисправности на промежуточных станциях участка.

Так как вероятность мала, то в модели она не нашла отражения.

При обработке результатов исследования (которая производилась с помощью метода планирования эксперимента) автор получила эмпирические зависимости количества и продолжительности задержек от ранее перечисленных факторов. На основании этих зависимостей далее были определены эксплуатационные расходы, связанные с задержками длинносоставных поездов под обгоном пассажирскими поездами.

В целом, вторую главу можно считать важным исследованием в части определения величины задержек длинносоставных грузовых поездов на промежуточных и участковых станциях.

**В третьей главе** «Этапность реконструкции отдельных пунктов участка при обращении длинносоставных поездов» диссертантом на основе динамического программирования были намечены станции, на которых требуется в первую очередь увеличить емкость путей. Критерием эффективности является максимальный чистый дисконтированный доход. Изменение длины путей промежуточных станций выгодно в тот год, сразу после которого экономия эксплуатационных расходов за счет этого изменения окупает потребные капитальные вложения на реализацию перехода не более чем за нормативный срок.

После проведения первого этапа реконструктивных мероприятий определялись необходимые инвестиции и эксплуатационные расходы на содержание постоянных устройств и связанные с задержками поездов под обгоном. Для этого производится моделирование работы рассматриваемого участка уже после реконструкции, определяются задержки поездов и рассчитываются энергетические и временные расходы. После этого проводится следующий этап реконструкции, и цикл повторяется снова.

Был выполнен расчет для конкретного двухпутного участка Красноярской железной дороги. Оценка экономического эффекта от удлинения путей на промежуточных станциях участка.

**В четвертой главе** «Выбор схемных решений реконструкции станций при обращении длинносоставных грузовых поездов» решена задача выбора

рациональных конструкций горловин отдельных пунктов. Для этого были рассмотрены технико-экономические показатели горловины: число вновь укладываемых (перекладываемых) стрелочных переводов; объем земляных работ, связанных с реконструкцией; дополнительные затраты на централизацию, сигнализацию; длину горловины; число взаимосвязей различных путей через горловину; число сочетаний различных параллельных маршрутов; степень маневренности; приведенные затраты или отдельно капитальные затраты на строительство; эксплуатационные расходы на содержание горловины; годовые расходы, связанные с дополнительным простоем подвижного состава из-за задержек по враждебности на пересечениях маршрутов передвижений.

В технико-экономических расчетах использовались четыре этапа установления рациональных конструкций горловин. Вначале выбирались самые эффективные с использованием подмножества Парето. На втором этапе определялись оптимальные величины показателей. На третьем варианте строились графики изменения величин показателей. На заключительном этапе устанавливается рациональный вариант развития станций в условиях ограниченных средств.

Применение методики поиска рациональных конструкций горловин станций позволяет комплексно оценить и выявить конкурентоспособные варианты и выбрать такую конструкцию, показатели которой будут оптимальными или близкими к этому.

**В заключении** диссертации приведены основные результаты выполненных исследований.

#### **Общие замечания по работе**

1. Текст рукописи изобилует математическими выкладками, в то время как практической стороне вопроса уделяется меньшее внимание. Следовало бы привести номограммы и графики, обеспечивающие лучший порядок использования полученных зависимостей практически работниками железных дорог.

2. Целесообразно было рассмотреть работу участка по пропуску длинносо- ставных грузовых поездов в «послеоконный» период. Ведь в этом случае возникают наибольшие сложности в экс-

плуатационной работе по пропуску и вводу поездов в график.

3. В третьей главе автор совершенно справедливо отмечает необходимость обеспечить сопоставимость приведенных затрат с помощью используемого в экономике коэффициента дисконтирования. Однако в четвертой главе диссертант об этом забывает, и в качестве одного из технико-экономических показателей горловины применяет приведенные расходы.

4. В тексте (стр. 23) рекомендуется длинносоставные грузовые поезда отправлять последними в пачке. В практических условиях эксплуатации становится более целесообразным после пассажирских длинносоставные грузовые поезда отправлять со станций в первую очередь. Это позволяет освободить в быстрые сроки станцию от длинносоставных поездов. При этом появляется возможность осуществлять меньшее количество обгонов пассажирскими длинносоставных грузовых поездов на промежуточных станциях участка.

5. В тексте согласно моделированию приведен порядок приема и отправления поездов последовательно через короткий интервал. В то же время, при наличии электрической централизации и быстрым приготовлении маршрутов возможно организовать одновременное движение в горловине двух поездов: грузового и пассажирского. Это повышает пропускную способность горловин участковых станций в случае приема поездов и, в первую очередь, длинносоставных на участковую станцию.

6. Излагается, что по американскому опыту более эффективно строительство удлиненных путей для обеспечения приема и отправления длинносоставных грузовых поездов. В то же время, пропуск длинносоставных грузовых поездов увеличивает продолжительность простоя составов грузовых поездов на станциях. Поэтому при пропуске длинносоставных грузовых поездов возрастают затраты, связанные со строительством путей на участковых станциях.

7. При оценке рациональных конструкций для реконструкции оценивались показатели эксплуатационной работы отдельных изолированных станций. В то же время, более рационально и достигается с меньшими удельными капитальными

вложениями, когда при реконструкции технической станции осуществляется перераспределение технологических операций между станциями, в результате чего достигаются минимальные удельные суммарные капитальные вложения в реконструкцию станций.

Автореферат диссертации содержит основные положения исследуемой проблемы и полученные при этом выводы. Содержание диссертации достаточно полно отражено в опубликованных печатных работах автора.

В целом, несмотря на высказанные замечания, диссертационная работа представляет собой законченное научное исследование, в котором решена важная транспортная проблема определения оптимальной этапности реконструкции раздельных пунктов для пропуска длинно-составных грузовых поездов на двухпутных линиях, отвечает требованиям п. 8. «Положения о порядке присуждения ученых степеней», а ее автор — Фуфачева М. В. — заслуживает при суждения ей ученой степени кандидата технических наук. ■

*Официальный оппонент — А. В. Дмитриенко, д-р техн. наук, профессор*

---



---

## Отзыв

официального оппонента — доктора технических наук

О. Н. Ларина (ГОУ ВПО «Южно-Уральский государственный университет») на диссертационную работу Пыталевой Ольги Анатольевны

### **«Обоснование параметров маршрутной сети городского наземного пассажирского транспорта»,**

представленную на соискание ученой степени кандидата технических наук по специальности 05.22.01 «Транспортные и транспортно-технологические системы страны, ее регионов и городов, организация цроизводства на транспорте»

---



---

#### **Актуальность темы**

В настоящее время отставание развития структуры улично-дорожной сети (УДС) крупных и средних городов России негативно влияет на условия работы пассажирского транспорта. За последние десять лет уровень автомобилизации в России вырос почти в два раза, а протяженность УДС при этом увеличилась не более чем на 5 %. В результате, в часы пик плотность транспортного потока достигает предельного значения, что приводит к полному исчерпанию резервов пропускной способности отдельных элементов УДС. В связи с этим, существенно снизилось качество городских пассажирских перевозок. Решение данной проблемы связано с рациональной

организацией маршрутной сети городского пассажирского транспорта.

Решению проблемы загруженности УДС и повышению качества городских пассажирских перевозок посвящены многие труды российских и зарубежных ученых, в которых решаются задачи по организации городских транспортных потоков, повышению эффективности работы городского пассажирского транспорта, снижению негативного влияния развития коммерческого транспорта. Однако снизить загруженность основных улиц городов не возможно только за счет оптимизации транспортных потоков. Техническое и организационное регулирование имеет дело с уже сформированным транспортным потоком, который

только увеличивается с каждым годом. Все большую долю в транспортном потоке занимает коммерческий пассажирский транспорт, который, как правило, передвигается по центральным улицам города. В этой связи необходима разработка новых решений транспортной проблемы в городах, которое бы учитывало как уровень загруженности транспортной сети, так и организацию городских пассажирских перевозок.

Поэтому диссертационная работа Пыталевой О. А., направленная на разработку методики обоснования параметров маршрутной сети городского наземного пассажирского транспорта, является актуальной.

#### **Защищаемые научные положения.**

В диссертации на защиту выносятся три основных научных положения.

1. Организация работы городского пассажирского транспорта в условиях интенсивного роста уровня автомобилизации населения должна предусматривать компенсацию недостаточного уровня развития городской транспортной инфраструктуры путем корректировки параметров маршрутной сети городских пассажирских перевозок.

2. Снижение уровня загрузки элементов УДС при одновременном повышении качества городских пассажирских перевозок в условиях большой доли коммерческих пассажирских транспортных средств в общем транспортном потоке достигается посредством минимизации числа пассажирских транспортных средств малой вместимости и равномерном перераспределении маршрутов движения по элементам УДС.

3. Разработка новой или корректировка существующей маршрутной сети должны учитывать меняющиеся суточные колебания потребностей различных категорий населения в пассажирских перевозках, а также ограничения на фактические резервы пропускной способности элементов УДС, используемые для освоения расчетных пассажиропотоков.

**Степень обоснованности и достоверности научных положений, выводов и рекомендаций** подтверждается представительностью и надежностью исходных данных; сопоставимостью результатов, полученных различными методами исследований; положительными

результатами применения методических положений диссертации при организации маршрутной сети в городе Магнитогорске.

**Научная новизна.** Научную значимость представляют следующие положения диссертационного исследования.

Автором исследованы и систематизированы факторы, влияющие на уровень загрузки элементов УДС, а также способы снижения этого уровня. Количество транспортных средств является основным фактором, оказывающим определяющее влияние на уровень загрузки УДС. Если одновременно с основным проявляется даже один из выявленных дополнительных регулярных или нерегулярных факторов, то наблюдается качественное изменение уровня загрузки УДС. В городах со значительным количеством автобусов малой вместимости целесообразно использовать методы, регулирующие их количество, а также маршруты их движения при условии обеспечения необходимого уровня качества городских пассажирских перевозок.

Разработанная автором математическая модель минимизации числа пассажирских транспортных средств на маршруте учитывает ограничение на пропускную способность элементов УДС при условии полного удовлетворения потребности населения в перевозках. Целевая функция минимизирует суммарное количество транспортных средств, используемых на пассажирских перевозках по всем или отдельному маршруту заданного варианта схемы. Оптимальное количество транспортных средств определяется при безусловном удовлетворении существующего пассажиропотока и минимальном уровне использования пропускной способности отдельных участков УДС.

Автором разработана методика определения рациональных параметров маршрутной сети городского пассажирского транспорта, позволяющая снизить уровень загрузки УДС и обеспечить необходимый уровень качества городских пассажирских перевозок. Методика определяет рациональные значения двух параметров маршрутной сети количества транспортных средств, определяемое с помощью математической модели, и рациональных маршрутов движения городского пассажирского транспорта, определяемых с использованием алгоритма

разработки маршрутной сети городского наземного пассажирского транспорта.

**Практическую значимость работы** составляют:

1. Способ снижения уровня загрузки улично-дорожной сети на основе оптимизации маршрутной сети городского пассажирского транспорта;

2. Аналитический способ определения пассажиропотоков по элементам улично-дорожной сети города;

3. Алгоритм определения параметров маршрутной сети наземного пассажирского транспорта, который позволяет разрабатывать рациональную маршрутную сеть городского пассажирского транспорта.

Полученные результаты и выводы диссертации могут быть использованы в проектных организациях при разработке и корректировке маршрутной сети городского пассажирского транспорта, а также в учебном процессе в вузах по специальности 190701 — «Организация перевозок и управление на транспорте».

**Работа является завершённым научным исследованием**, изложена последовательно, грамотно, доступным языком. Обработку результатов исследований соискатель выполнил при помощи современных компьютерных технологий.

**Структура и объём работы.** Диссертация состоит из введения, 4 глав и заключения, изложенных на 135 страницах машинописного текста, содержит 26 рисунков, 14 таблиц, список литературы из 115 наименований и 3 приложений.

**Качество оформления работы.** Работа выполнена и оформлена на высоком уровне, в соответствии с требованиями, предъявляемыми к оформлению диссертационных работ. Демонстрационный материал выполнен с использованием современных графических компьютерных программ. Таблицы, графики и рисунки легко читаются и воспринимаются.

**Содержание автореферата** полностью соответствует содержанию диссертационной работы и отражает основные идеи и выводы диссертационной работы.

**Публикации по работе.** Основные научные положения и результаты исследований опубликованы в десяти печатных работах. Две работы выполнены автором лично, остальные в соавторстве; две печатные работы опубликованы в изданиях, рекомендованных ВАК. В публика-

циях соискателя содержатся основные результаты выполненного диссертационного исследования.

**Апробация работы.** Основные положения диссертации докладывались на научно-технических семинарах факультета горных технологий и транспорта Магнитогорского государственного технического университета, на объединенных семинарах Уральского государственного университета путей сообщения и Уральского государственного лесотехнического университета (Екатеринбург). Автор представлял результаты исследований на VI Международной научно-технической конференции (Пенза, 2007); на Всероссийской научно-практической конференции ученых транспортных вузов, инженерных работников и представителей академической науки (Хабаровск, 2006).

#### **Замечания по диссертации**

1. В работе автор систематизирует различные способы снижения уровня загрузки УДС, а также приводит сведения об их преимуществах и недостатках. Однако при этом не указывает, является ли перечень приведенных способов исчерпывающим или могут быть еще другие способы. При этом автор не указывает, каким образом у перечисленных способов снижения уровня загрузки УДС выявлялись установленные преимущества и недостатки (экспериментальным путем или по результатам аналитических исследований). Также в работе не указано, по каким критериям способы снижения уровня загрузки УДС разделены на организационные и технические.

2. Из текста диссертационной работы неясно, как изменится уровень загрузки тех улиц, на которые предлагается перераспределять маршруты движения автобусов малой вместимости с наиболее загруженных участков УДС.

3. В работе автор использует понятие «резерв пропускной способности».

Так как автор утверждает, что не при любом уровне загрузки дороги УДС, а только при критическом отмечается снижение скорости движения транспортного потока, то следовало определить допустимый уровень снижения резерва пропускной способности УДС, то есть предельный уровень загрузки, при котором условия движения по УДС могут считаться

приемлемыми для использования пассажирского транспорта. Данный предельный уровень (минимально допустимый резерв) можно использовать в модели в качестве ограничения.

4. В работе можно было предусмотреть необходимые организационные мероприятия по реализации и внедрению в существующих условиях рекомендаций по обоснованию параметров маршрутной сети городского пассажирского транспорта, так как на сегодняшний день во многих городах страны отсутствует нормативно-правовая база по регулированию деятельности коммерческого пассажирского транспорта.

#### **Общее заключение по диссертации**

Несмотря на указанные замечания, диссертационная работа О. А. Пыталевой является завершенной научно-квалификационной работой, посвященной актуальной теме — обоснованию параметров маршрутной сети городского пассажирского наземного транспорта. В работе изложены научно обоснованные тех-

нические и технологические разработки по снижению уровня загрузки улично-дорожной сети и повышению качества транспортного обслуживания населения на основе оптимизации параметров маршрутной сети городского пассажирского транспорта, имеющие существенное значение для транспортных систем городов и регионов. Работа выполнена на высоком научном уровне, содержит научную новизну и практическую ценность, содержание диссертации соответствует пункту 1 паспорта научной специальности 05.22.01 — «Транспортные и транспортно-технологические системы страны, ее регионов и городов, организация производства на транспорте» и заслуживает положительной оценки, а ее автор — Пыталева Ольга Анатольевна заслуживает присуждения ученой степени кандидата технических наук по специальности 05.22.01 — «Транспортные и транспортно-технологические системы страны, ее регионов и городов, организация производства на транспорте». ■

*Официальный оппонент — О. Н. Ларин, д-р техн. наук*

## Уважаемые коллеги!

### Информирую вас о требованиях, предъявляемых к оформлению статей.

При наборе используйте Word-2003 или Word-2007; шрифт (по всему тексту, в том числе в рисунках и таблицах) — тип Times, размер шрифта — 14, межстрочное расстояние — 1,5, абзацный отступ — 1,25 (1,27) см, поля — 2 см; расстановка переносов по всему тексту — автоматическая.

Набор формул: простые формулы и сочетания символов ( $x^2 < y^2$ ;  $E = mc^2$ ;  $a^2 + b^2 = c^2$ ;  $Q_{i-1}$ ;  $\psi_j$ ) — только в текстовом режиме, сложные

$$\left( s^2 = \frac{1}{n-1} \left[ \sum_{j=1}^e x_j^2 n_j - \frac{1}{n} \left( \sum_{j=1}^e x_j n_j \right)^2 \right] \right); \left( \frac{\sigma_a}{[n]} \right)$$

или  $S_i^m$ ) — только в редакторе формул (встроен в Word).

Написание букв: русские (а, б, в, А, Б, В), греческие ( $\Theta$ ,  $\Sigma$ ,  $\Omega$ ,  $\Psi$ ,  $\alpha$ ,  $\beta$ ,  $\delta$ ,  $\varepsilon$ ,  $\lambda$ ,  $\pi$ ), а также цифры и функции (1, 2, 3; I, II, III; max, lg, sin и т. п.) пишутся только прямо; латинские ( $a$ ,  $b$ ,  $n$ ,  $A$ ,  $B$ ,  $N$  и т. д.) — только курсивом. Исключение — курсив во вспомогательном тексте (слова «Таблица» и «Рис.», примечания в рисунках и ссылки в тексте на эти примечания).

Оформление текста: левый верхний край — инициалы, фамилия; заголовок — все буквы ПРОПИСНЫЕ, жирные, расположение — по центру набора; таблиц и рисунков: в таблицах размер шрифта — на полтора-два размера меньше, чем в основном тексте (11,5–12), расположение текста в «шапке» таблицы — по центру, в столбцах — по ширине; межстрочное расстояние — 1; слово «Таблица» — курсивное начертание, в правый край таблицы; название таблицы — начертание нормальное (прямое), расположение — по центру таблицы. В рисунках (графиках, диаграммах): размер подрисуночной подписи — 14, расположе-

ние — по центру набора, слово «Рис.» — курсив, название рисунка — нормальное начертание, описание рисунка (экспликация) — нормальное начертание, условные обозначения — курсивное начертание, их расшировка — нормальное. Расположение таблиц и рисунков — строго после ссылки на них.

Кроме того, рисунки обязательно прилагаются к материалу (один рисунок — один файл; формат — \*.jpg).

Ссылки на литературу в тексте пишутся в квадратных скобках ([1], [1, 2] или [3–5]); нумерация сквозная. Список литературы/источников оформляется по ГОСТ 7.0.5–2008.

В конце статьи обязательно ставится дата отсыла материала в редакцию.

Объем статьи — не более 14-ти страниц.

Название файла: Фамилия. Первое слово заголовка. Многоточие. Последнее слово заголовка (Сидоров. Синтез... электроприводом).

К материалу (статье) обязательно прилагаются (отдельным файлом): УДК, сведения об авторе, аннотация, ключевые слова (название файла: УДК 000. Сидоров. Синтез... электроприводом).

Материалы для очередного номера журнала «Вестник УрГУПС» принимаются до 30 числа первого месяца квартала (до 30-го января, 30-го апреля, до 30-го июля, до 30-го октября). Материалы, поступившие в редакцию после 30-го числа, будут опубликованы только в следующем номере.

Успешной работы!

*Л. Барышникова,  
литературный и выпускающий редактор  
журнала «Вестник УрГУПС»*



# ИЗДАТЕЛЬСТВО УрГУПС

Предоставляет весь спектр  
редакционно-издательских услуг

## ДОПЕЧАТНАЯ ПОДГОТОВКА

- Редактирование текстов любой сложности
- Рецензирование  
(с привлечением опытных рецензентов,  
имеющих научную степень в соответствующей области науки)
- Корректурa
- Дизайн и верстка
- Препресс  
(подготовка работы для сдачи в типографию)
- Сдача файлов и контроль прохождения  
работы в типографии

## ПЕЧАТНЫЕ, ПЕРЕПЛЕТНЫЕ РАБОТЫ

- Оперативная полноцветная, одноцветная  
и многоцветная печать на цифровом оборудовании
- Широкоформатная печать на плоттере
- Несколько видов переплета
- Ламинирование

## ВСЕГДА В ПРОДАЖЕ

- Научная и учебно-методическая литература,  
выпущенная в издательстве УрГУПС.  
Каталог литературы можно найти  
на сайте университета ([www.usurt.ru](http://www.usurt.ru))  
в разделе «Издательская деятельность»

По вопросам приобретения книг  
и возможного сотрудничества обращаться:

620034, г. Екатеринбург, ул. Колмогорова, 66, главный учебный корпус, к. 193.

Телефон: (343) 245-43-90.

E-mail: [AKoltyshev@rio.usurt.ru](mailto:AKoltyshev@rio.usurt.ru).

Сайт: [www.usurt.ru](http://www.usurt.ru).